

INSTITUTUL POLITEHNIC „TRAIAN VUIA”
TIMIȘOARA
FACULTATEA DE ELECTROTEHNICĂ

ing. IACOB NICOLAE TRIF

CONTRIBUȚII LA ACTIONARILE ELECTRICE
DE CURENT CONTINUU COMANDATE CU
MICROSISTEME
- CU APLICAȚII LA ROBOȚI -

-TEZĂ DE DOCTORAT -

BIBLIOTECA CENTRALĂ
UNIVERSITATEA „POLITEHNICA”
TIMIȘOARA

Conducător științific :
Prof. dr. ing. TOMA DORDEA

TIMIȘOARA
-1987-

22.1.91

26.1.

C U P R I N S

NOTATII PRINCIPALE	3
1. INTRODUCERE.	5
2. ÎNDRÎPTE ÎN ACȚIONARILE CU MOTOCARE ELECTRICE DE CURENT CONTINUU	9
2.1. Structura sistemului de acționare electrică	9
2.2. Rezistențile mașinii de curent continuu.	10
2.3. Alimentarea prin variator de tensiune	13
3. MODELUL MATEMATIC AL ACȚIONARILOR CU MOTOCARE DE C.C. COMANDATE ÎN IMPULSURI	17
3.1. Schema structurală a motorului de c.c. cu excitare independentă și constantă.	17
3.2. Modelarea matematică a motorului de c.c. cu excitare independentă și constantă.	21
3.3. Sinteză și simulară analogică a acțiunilor electrice cu motoare de curent continuu.	25
3.4. Tratarea acționărilor cu motoare de c.c. comandate în impulsuri.	29
4. COMANDA MOTOFULUI DE CURENT CONTINUU CU MICRO- SISTEME.	34
4.1. Conectarea calculatorului WANG la siste- mul de acționare.	34
4.2. Conectarea microsistemeului MICROPORG 228 la sistemul de acționare.	35
4.3. SEPAMECC - Sistem Experimental cu Micro- procesor pentru Acționarea Motoarelor de Curent Continuu	42
4.3.1. Modulele microsistemeului SEPAMECC. . .	45
4.3.2. Modulul NGI - Numărător Generator de Impulsuri	47
4.3.3. Programarea modulului NGI.	51
4.3.4. Circuite și dispozitive auxiliare SEPAMECC	57
5. PROGRAMAREA MICROSYSTEMELOR PENTRU REALIZAREA DIAGRAMILOR DE MIECARE	69
5.1. Programarea calculatorului WANG	69
5.2. Programarea microsistemeului MICROPORG 228 . .	72
5.3. Implementarea acționărilor cu motoare de c.c. pe SEPAMECC.	74
5.4. Programul de simulare și acționare.	79

6. REALIZARI EXPERIMENTALE	119
6.1. Acționarea motorului electric tip MRF	119
6.2. Instalație de metalizare	122
6.3. Analizor și factorizări de comandă	125
6.4. Robotul RMTEP	128
6.5. Robotul RIGAUS	132
6.6. Robotul ROCCOS.	135
6.7. Robotul ROMUS	139
6.8. Robotul REMECC-03	142
6.9. Aplicații și utilizări industriale.	151
7. CONCLUZII SI CONTRIBUTII ORIGINALE	153
8. BIBLIOGRAFIE	157
9. ANEXE	
1. Programul DOTI - 1 - Metoda formelor seriale.	167
2. Programul DOTI - 2 - Modelarea sistemului dat prin scheme bloc	170
3. Programul DOTI - 3 - Calculul elementelor sistemului.	175
4. Programul de simulare - DATE.	177
5. Programul A 1 - Fixarea timpului pînă la V_n . .	179
6. Programul A 2 - Testarea vitesei.	181
7. Programul A 3 - Testarea motorului.	183
8. Programul PRINCIPAL SURSA = PP = de acționare și simulare	185
9. Programul PRINCIPAL OBIECT = PP = de acționare și simulare	197.

NOTATII PRINCIPALE

- a - acceleratia instantanea, numarul perechilor de cai de curent ale infigurarii rotorice
- a_1 - acceleratia de pornire
- a_2 - acceleratia de frinare
- B - inducția maximă în intrefier
- D - diametrul exterior al indușului
- E_A - tensiunea electromotrice
- E_d - energia termică dezvoltată în induș
- f_c - factorul de comandă, raportul dintre durata de conducție și perioada de tact
- FI - factorul de inertie
- I - curentul absorbit de motor
- I_A, I_e - curentul din circuitul indușului, respectiv al excitării
- i_a - curentul pe o cale de curent
- I_N - curentul nominal
- $I_{2min}, I_{2max}, I_{2med}$ - curentii minim, maxim, mediu în motor
- J - momentul total axial de inertie
- J_m - momentul de inertie intern al motorului
- K - constante electrică a motorului
- K_0 - constante de acțiune initială
- L_A, L_e - inductivitatea circuitului indușului, respectiv a excitării
- l_1 - lungimea liniară a indușului
- l_{med} - lungimea medie a unui conductor
- M - cuplul electromagnetic al mașinii electrice
- M_J - cuplul inertial sau dinamic
- M_R - cuplul static rezistent
- N - numărul total de conductoare al indușului
- N_C - numărul de conductoare în creșătură
- P - puterea motorului
- P_A - puterea electromagnetică
- P - numărul perechilor de poli
- R - rezistența conectată în serie cu indușul
- R_A, R_E - rezistențe infițurării indușului, respectiv a excitării
- R_N - rezistența nominală a indușului

r_1	- rezistență echivalentă a VTC în perioade de conducție
r_2	- rezistență echivalentă a VTC în perioade de blocare
S	- spațiul instantaneu
S_0	- spațiul initial
S_a	- spațiul de accelerare
S_f	- spațiul de la care începe frinarea
S_p	- spațiul de mers cu viteză constantă și $a = 0$ (palier)
S_{cond}	- secțiunea standardizată a conductorului
T	- durata impulsului
T_A	- constanta electrică de timp a motorului
T_c	- durata de conducție
T_m	- constanta electromecanică de timp a instalației
t	- timpul
t_p	- durata de pausă
t_a	- timpul de accelerare
t_c	- durata unui ciclu
t_f	- timpul de frinare
t_p	- timpul de mers cu viteză constantă și $a = 0$ (palier)
U_A, U_e	- tensiunea de alimentare, respectiv a excitării
U_R	- tensiunea nominală
v	- viteza instantaneu
v_1	- viteza de regim tehnologic
v_2	- viteza finală
s	- numărul de creștături
κ, β	- constante de proporționalitate
Ω	- viteza unghiulară
Ω_0	- viteza unghiulară de mers în gol
ϵ	- eroare de pozitionare
ϕ	- fluxul de excitare
ϕ_0	- fluxul la mers în gol ideal
$\Delta \phi$	- scăderea fluxului datorită rezistenței inducării
Φ_{up}	- fluxul util pe pol
ρ_s	- rezistența materialului la temperatură de lucru
T_b	- pesul polar
VIC	- variator de tensiune continuu
LRF	- motoreductor

I N T R O D U C E R E

Desvoltarea economiei țării noastre necesită în prezent, între altele, punerea accentului pe dezvoltarea industriei de mecanică fină, a producției de roboți și manipulatori care vor incorpora echipamente și aparaturi electro-nică de înaltă performanță [1].

Electronica și calculatoarele electronice, intrate relativ recent în arena mondială, constituie o grupă de bază a „tehnorevoluției” care implică înlocuirea rapidă a industriei tipice, mari consumatoare de energie cu industrii mult mai modeste în privința consumului energetic.

Vîsta a demonstrat că în tot mai multe domenii de activitate se impune cu succes tehnicii acționărilor, ca element de bază al industrializării și al progresului tehnic.

Sistemele de acționare electrică au în prezent trei structuri de bază și anume : sisteme de acționare clasice sau elementare, sisteme de acționare automatizate și sisteme de acționare complex automatizate. În compoziție pot intra acționări cu un singur motor sau cu mai multe motoare.

Progresurile rapide realizate în ultimul deceniu de către electrotehnicii au permis automatizarea complexă a sistemelor de acționare electrică. În sistemele de acționare moderne se utilizează repetat combinații de semnale analogice și numerice realizând astfel sisteme de acționare hibride. Reglajul analogic are sarcina de a elibera rapid modificările dinamice, în timp ce corecția numerică are rolul de a menține stabilitatea sistemului și obținerea unei înalte precizii de reglare. În tehnici acționărilor moderne conceptele clasice analogice se completează sau chiar se înlocuiesc cu cele numerice.

Utilizarea μ P în tehnici acționărilor electrice aduce o serie de avantaje. Problema principală în realizarea unui microsistem cu μ P constă în implementarea unui algoritm executabil în timp real care să descrie fenomenul fizic cu o precizie acceptabilă.

Un domeniu nou de aplicabilitate a μ P cu multiple posibilități de adaptabilitate sunt acționările electrice cu viteză variabile. Acestea pot fi controlate și automatizate prin programarea unității de comandă.

Lucrarea de față se ocupă tocmai de acest domeniu al acționării motoarelor electrice de curenț continuu comandate cu microsisteme. Sistemul de comandă realizat, are în vedere supervizarea fenomenelor dinamice rapide din unitățile centrale, unitățile de comandă și din sarcină. Dificultatea constă în implementarea în timp real a constițiilor de pozitionare ale rotorului motorului electric de curenț continuu.

Cerințele care au stat la baza studiilor și cercetărilor întreprinse de autor în vederea implementării micropresorului în acționarea motorului electric de curenț continuu au fost :

- posibilitatea simularii fenomenelor fizice complexe (pernire, oprire, accelerare, frânare, reversare etc.) cu precizia numerică în condiții identice cu cele tehnologice,
- eliminarea factorului subiectiv în timpul reglării parametrilor de acționare,
- flexibilitatea funcțiilor sistemului generată de posibilitatea modificării programelor,
- eliminarea variașterii parametrilor în funcție de timp și mediu ambient,
- posibilitatea menținerii dialogului între sistemul de acționare și operator,
- reducerea numărului de componente, a consumului de putere, a prețului de cost în condițiile unei fiabilități mîrite și a unei întrețineri simple și eficiente,
- luarea unor decizii în exploatare pe baza unor criterii optimale,
- supravegherea, memorarea și sincronizarea unor parametrii externi,
- efectuarea unor temporizări de mare precizie în vederea generației și distribuirii impulsurilor de comandă pentru pozitionare,
- utilizarea numai de elemente fabricate în țară.

Lucrarea de față tratează un domeniu nou al acționărilor electrice cu motoare de curenț continuu comandate în impulsuri generate de microsisteme.

Plecind de la stadiul actual al acționărilor electrice cu motoare de curenț continuu, în capitolul 2 se prezintă structura sistemului de acționare electrică și echipările mașinii de curenț continuu. Se prezintă principiul și avantajele alimentării motorului de c.c. prin variator de tensiune numerică cu modulație a impulsurilor în durată.

În capitolul 3 se prezintă modelul matematic al acționărilor cu motoare de c.c. comandate în impulsuri. În acest sens se tratează schema structurală a motorului de c.c. cu excitare independentă și constantă, concepându-se în limbajul BASIC un pechet de programe, prezentate în anexele 1-4, care face sinteza și simularea pe calculatorul WANG.

Capitolul 4 tratează teoretic și aplicativ comanda motorului de c.c. cu microsistemele: WANG, MICROPROG 228 și SEPANMECC. A fost conceput și realizat microsistemul SEPANMECC – Sistem Experimental Procesor de Acționare a Motoarelor Electrice de Curenț Continuu – destinat comenzi unui robot electric de sudare. Comanda motoarelor electrice de c.c. se face în impulsuri cu factor de umplere programabil în modulul NGI – Numărător Generator de Impulsuri – urmărind un profil de viteză și acceleratie impas. În acest sens la SEPANMECC s-a proiectat și executat o serie de circuite și dispozitive auxiliare controlate prin intermediul software-ului specializat prezentat în subcapitolul 5.4.

În capitolul 5 se prezintă modul de programare pentru cele trei microsisteme: WANG, MICROPROG 228 și SEPANMECC care comandă motorul de c.c. în vederea implementării unor diagrame de mișcare. Programarea calculatorului WANG se face în limbajul BASIC elaborindu-se în acest sens trei programe: A1- de sincronizare, A2- de testare a vitezelor motorului și A3- de testare a motorului, programe care sunt prezentate în anexele 5,6 și 7.

Programarea microsistemeului MICROPROG 228 se face utilizând cele două canale analogice "A1" și "A2" generindu-se o tensiune liniar variabilă în timp corespunzătoare profilului de viteză impas.

Programarea microsistemeului SEPANMECC se face în limbaj

de asamblare, prezentindu-se în acest sens un pachet de programe de simulare și acționare a patru motoare electrice de c.c. după un profil de viteză și acceleratie impus.

In capitolul 6 se prezintă o serie de aplicații și realizări experimentale ce au la bază acționari a motoarelor electrice de c.c. cu microsisteme. In acest sens se prezintă familia celor cinci roboți: RETEP, REMUS, ROCCOS, NOMUS și NEFEGG-e3 proiectați și realizati experimental.

Rezultatele teoretice și aplicative prezentate pe parcursul acestei lucrări, concluziile și contribuțurile personale sunt prezentate în capitolul 7.

Aplicațiile descrise în lucrare au fost realizate în cadrul catedrei de Tehnologia Metalelor și Sudării a Universității din Brașov.

Soluțiile propuse de prezenta teză de doctorat, rezultatele cercetărilor, pot constitui atât puncte de plecare pentru aprofundarea studiilor în aceste domenii cât și argumente convingătoare pentru factorii de decizie din întreprinderi în vederea aplicării comensilor cu microsisteme la acționarea motoarelor electrice de curent continuu, pentru realizarea de roboți industriali.

Autorul își exprimă și pe acestă cale profunde recunoștință față de conducătorul științific prof.dr.ing.Toms Dordos pentru sprijinul acordat cu deosebită generozitate și îndrumarea de înaltă competență științifică în finalizarea și redactarea acestei lucrări, adresându-i încă odată cele mai calde și sincere mulțumiri.

De asemenea aduc alese mulțumiri tovarășului prof.dr. ing.Petru Tudoran de la Universitatea din Brașov, pentru sprijinul acordat în finalizarea acestei lucrări, asigurându-l de întreaga mea considerație și prețuire.

Adresez mulțumiri cadrelor didactice și tehnice ale catedrei TMS din Universitatea Brașov precum și altor colege care m-au sprijinit în finalizarea acestei lucrări cu importanță aplicativă și realizată.

De asemenea aduc vii mulțumiri conducătorii Institutului Politehnic "Traian Vuia" din Timișoara, personal tovarășei Rector, pentru înțelegerea și încrederea acordată în finalizarea acestei lucrări.

2. TENDINTE IN ACTIONARILE CU MOTOARE ELECTRICE DE CURENT CONTINUU

Motorul electric transformă energia electrică în energie mecanică cu un rendament bun și prezintă o bună adaptabilitate la diferite condiții de lucru limită. În prezent acționările electrice consumă aproximativ 50-60 % din totalul energiei electrice disponibile.

Motorul asincron, cea mai simplă și robustă mașină electrică nu poate realiza cu ușurință reglarea vitezei, decit cu pierderi mari de energie utilizând instalații auxiliare complexe și la un preț de cost ridicat.

În prezent eficiența economică, ce are în vedere: prețul de cost, rendamentul, simplitatea, siguranța în funcționare, factorul de putere, domeniul de reglaj, precizia de reglaj, ușurința controlului și a întreținerii, raportul putere-grevitate, găsrit, etc., este în favoarea acționărilor de curent continuu.

Obiectivele prioritare urmărite de acționările electrice în conlucrare cu electronica s-au sintetizat prin rezolvarea problemelor legate de: pornirea automată, frânarea electrică, reversarea sensului de rotire, funcționarea cu turăție constantă, funcționarea cu cuplu constant, variația turăției în limite cît mai largi, reglarea automată a regimului de lucru, poziționarea rotorului, comande după program complex, protecția etc.

În un sistem de conducere a unui proces tehnologic un loc tot mai important îl detine comanda numerică directă cu ajutorul microprocesorului care este mai avantajoasă decit reglares individuală deoarece microprocesorul are posibilitatea de a controla mai mulți parametri în paralel, coresponditori proceselor care intervin.

2.1. Structura sistemului de acționare electrică

Un sistem de acționare electrică se compune din: motorul electric, ce furnizează putere mecanică necesară mașinii de lucru (sarcina) și elemente mecanice intermediare (cuplaje, transmisii cu curea sau lant, engraneje etc.).

Un sistem de acționare electrică (S.A.E.) este descris prin mărimi caracteristice funcție de timp :

$$F(a, v, \Omega, \delta, I, U_A, M, P, \theta) = f(t) \quad (2.1)$$

In figura 2.1. este prezentată structura unui S.A.E., fluxul de energie fiind îndreptat de la electromotorul EM spre mașina de lucru ML prin cuplajul K.

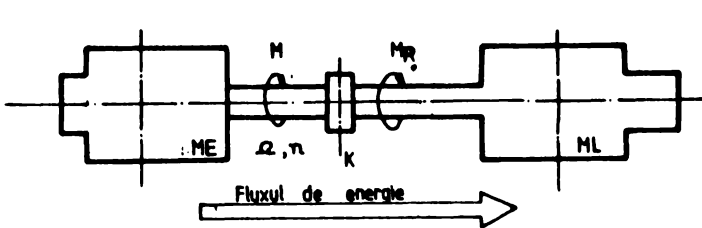


Fig.2.1. Structura unui sistem de acționare electrică
- S.A.E. -

Ecuatia de mișcare în regim stationar sau stabilizat, cind mărimele din relația (2.1) sunt constante este :

$$M = M_R = 0 \quad (2.2)$$

In regim transitoriu sporește cuplul inertial sau dinamic, M_J definit ca diferența celor două cupluri:

$$M = M_R = M_J \quad (2.3)$$

unde

$$M_J = \frac{d}{dt} (J \cdot \Omega) = J \frac{d\Omega}{dt} + \Omega \frac{dJ}{d\alpha} \cdot \frac{d\alpha}{dt} \quad (2.4)$$

Dacă J este constant în timp ecuația mișcării devine :

$$M = M_R = J \frac{d\Omega}{dt} \quad (2.5)$$

Acestă relație definește ecuația generală de mișcare a unui S.A.E.

2.2. Ecuatiile mașinii de curent continuu

Acționările electrice de curent continuu pot fi realizate prin alimentarea cu tensiune constantă sau cu tensiune reglabilă.

In lucrare se tratează modelul matematic al acționărilor electrice cu motoare de curent continuu cu excitare indepen-

densă, la flux de excitație constant.

Schémă electrică a motorului de c.c. cu excitație independentă este redată în figura 2.2.

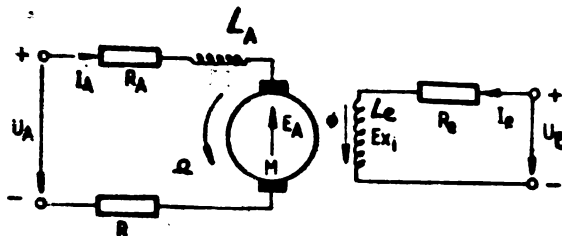


Fig.2.2. Schémă electrică a motorului electric de curent continuu

Tensiunea electromotoare este :

$$E_A = \frac{1}{2\pi} \cdot \frac{P}{a} \cdot N \phi_{\text{SR}} = k \phi_{\text{SR}} \quad (2.6)$$

unde constanta electrică a motorului are expresia:

$$k = \frac{1}{2\pi} \cdot \frac{P}{a} \cdot N \quad (2.7)$$

Puterea electromagnetică P_A este :

$$P_A = E_A \cdot I_A \quad (2.8)$$

Cuplul electromagnetic rezultă din relațiile (2.6) și (2.8)

$$M = \frac{P_A}{\Omega} = k \phi \cdot I_A \quad (2.9)$$

În cazul în care curentul I_A din circuitul indușului este variabil, adică în timpul proceselor tranzitorii, ecuația tensiunilor din circuitul indușului în regim de motor este :

$$U_A - E_A - L_A \frac{dI_A}{dt} = (R_A + R) I_A \quad (2.10)$$

În funcționarea stabilă, având I_A constant, relația (2.10) devine :

$$U_A - E_A = (R_A + R) I_A \quad (2.11)$$

Dacă $R = 0$ obținem caracteristica mecanică naturală :

$$U_A - E_A = R_A I_A \quad (2.12)$$

Fluxul de excitație la motorul de c.c. depinde, în general, de curentul indușului I_A și de curentul de excitație independentă I_E :

$$\theta = \theta(I_A, I_E) \quad (2.13)$$

Velocarea fluxului se poate exprima sub forma :

$$\beta = \theta_0 - \Delta \theta \quad (2.14)$$

Din considerarea relațiilor (2.6) și (2.11) la $I_A = 0$, rezultă valoarea vitezei unghiulare de funcționare în gal ideală Ω_0 :

$$\Omega_0 = \frac{U_A}{k \theta_0} \quad (2.15)$$

Pentru o sarcină orizontală, luând în considerație și relația (2.14), rezultă expresia caracteristicii mecanice :

$$\Omega = \frac{U_A - (R + R_A) I_A}{k(\theta_0 - \Delta \theta)} = \frac{U_A}{k \theta_0} - \frac{\frac{(R + R_A) I_A}{U_A}}{1 - \frac{\Delta \theta}{\theta_0}} \quad (2.16)$$

Relația (2.16) pune în evidență faptul că vîrteza scade pe măsură ce crește sarcina, iar $\Delta \theta$ este ca efect creșterea vitezei.

In multe situații se poate considera pentru motoarele de curent continuu cu excitație independentă că $\theta = \theta_0 = \text{const.}$ deci :

$$c = k \theta = k \theta_0 \quad (2.17)$$

În aceste ipoteze rezultă relația :

$$\Omega = \frac{U_A}{c} - \frac{R_A + R}{c^2} \cdot I_A \quad (2.18)$$

echivalentă cu :

$$\Omega = \frac{U_A}{c} - \frac{R_A + R}{c} \cdot I_A \quad (2.19)$$

Pe baza acestei relații se trasează caracteristicile mecanice ale motorului de c.c. cu excitație independentă, pentru diferite valori ale rezistenței R , ale tensiunii la borne U_A și ale fluxului de excitație θ .

Pentru scrierea relațiilor în mărimi reportate se consideră rezistența de reportare, notată cu R_N , rezistență fictivă pe care ar trebui să o săibă indușul moșini, astfel ca la poziția canonică a acestuia, la tensiunea nominală U_N , indușul să fie pe -

care de curentul nominal I_N . Valoarea lui R_N este :

$$R_N = \frac{U_N}{I_N} \quad (2.20)$$

Constanta electrică α , coincide cu constanta de cuplu electromagnetic, iar valoarea ei corespunzătoare fluxului nominal este :

$$\alpha = \frac{U_N - R_A I_N}{\Omega_N} \quad (2.21)$$

Pentru reglarea vitezei mașinii de curenț continuu sunt cunoscute următoarele metode :

- reglarea vitezei prin introducerea de rezistențe suplimentare în circuitul inducătorului, metodă limitată la instalații de putere mică datorită pierдерilor pe rezistențele de reglare;

- reglarea vitezei prin variația curentului de excitație și de alii, a fluxului de excitație, prin introducerea de rezistențe în circuitul de excitație, sau alimentarea înfigurării de excitație de la o sursă de tensiune variabilă. Această metodă este utilizat în special la putere constantă;

- reglarea vitezei prin variația tensiunii de alimentare U_A , reprezentă principala metodă de reglare a vitezelor rotosimilor de curenț continuu cu excitație independentă. Tensiuni de alimentare variabile se pot obține prin diferite metode tehnice: grup Ward - Leonard, tiristore, convertizor rotativ, redresare cu vaporii de mercur, ventile semiconductoare, amplificatoare magnetice, mutatoare sau convertizor static. Reglarea vitezelor motorului de curenț continuu se face în principal utilizând variatoare de tensiune continuu VTC.

2.3. Alimentarea prin variator de tensiune

Variatorul de tensiune continuu VTC este convertizorul care reglează circulația de energie în circuite de c.c. după principiul compenzi prin variația frecvenței și/ sau durată impulsului de tensiune [37]. VTC este de fapt un întretreruptor (mechanic sau cu semiconductoare) la care se pot comanda timpul de conductie și de tensiune, obținindu-se impulseri de tensiune de lățime variabilă.

Valoarea medie a tensiunii de ieșire din varistorul de tensiune continuă se poate modifica teoretic între zero și valoarea tensiunii de alimentare.

Positionarea VTC în schemele de acționare a motoarelor electrice de c.c. se poate face în serie (fig.2.3) dacă tensiunea U_2 de ieșire este mai mică decât tensiunea U_1 de intrare, sau în paralel (fig.2.4) dacă U_2 este mai mare ca U_1 [78].

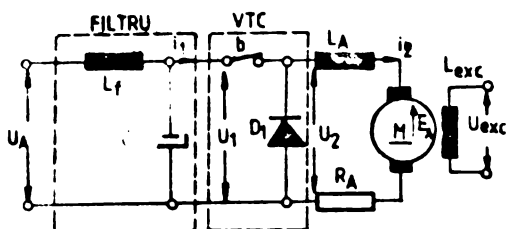


Fig.2.3.Conecțarea în serie a VTC.
tă și a ridicării rândamentului sursei de alimentare.

In literatura de specialitate [10,78,109] un loc tot mai important îl constituie tratarea VTC în impulsuri. Acestea pot lucra în următoarele regimuri:

- modulație în durată sau lățime, avind frecvență constantă;
- cu modulație în frecvență, avind durată sau lățimea constantă;

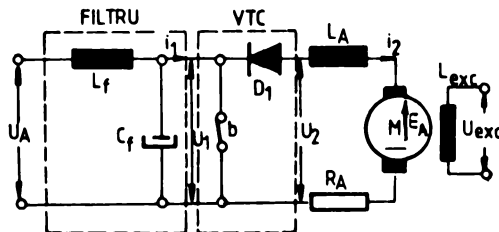


Fig.2.4.Conecțarea în paralel a VTC.
- cu modulație în durată și frecvență.

Varistorele cu modulație în durată sunt folosite în special în acționările de patere medie și mereu având următoarele avantaje :

- echipamentul de comandă este mai simplu în realizare pentru toată gama de reglare, deci nu sunt necesare doar circuite de menținere constantă a frecvenței;
- se pot calcula mai ușor filtrele temporale care rețin și

factorii de perturbație;

- se poate folosi întreaga putere a motorului de acționare prin slăbirea excitării după atingerea factorului de comandă maxim $f_c \text{ max}$.

Dezavantajul acestor VTC cu modulație în durată constă în utilizarea unui filtru tempon și inductanță serie de valori mari.

Pentru varistore de putere mici, realizate cu tranzistori unde $T_c \text{ min}$ este dat de timpul de comutare al tranzistorilor, frecvența de lucru a VTC se alege în gama 500 Hz - 3 kHz.

Varistorele cu modulație în frecvență sunt folosite în special la acționările de puteri mici decarează filtrul de intrare și inductanță serie sănătatea redusă, iar sistemul de comandă mai simplă. Ca dezavantaj sporește faptul că la $f_c \text{ max}$, frecvența impulsurilor este mare, iar căderea de tensiune ΔU pe varistor este mare.

Varistorele cu modulație în durată și frecvență, urmărind criterii optimale, sunt impuse să lucreze la frecvențe mici, din care motiv filtrul tempon (fig.2.3 și 2.4) trebuie să aibă o valoare mare. Modificarea frecvenței de lucru se face funcție de factorul de comandă f_c .

In acționările electrice reglabilă sunt utilizate atât sisteme de reglare analogice ERA sau sisteme de reglare numerice SNN, cât și sisteme de reglare hibride. Comparativ între cele două sisteme de reglare analogice și numerice se face urmărind precizia valorii măsurate, punctul de zero și performanțele în regim dinamic. Dacă condițiile unui proces tehnologic se referă numai la constanta reglării, se adoptă o soluție de suprapunere a unui ERA pe un ERA. E sarcinile ce revin în acest caz sunt : SNN realizează constanta reglării la precizia dorită, iar ERA asigură performanțele impuse în regim dinamic.

In concluzie, prioritățea sistemelor de reglare numerice SNN, este la bază:

- Precizia reglării foarte bună, fără de ERA unde erourile calculate sunt apreciate în regim stationar depășesc limitele impuse.

- Din punct de vedere al comportării în regim dinamic, SNN este preferat în acționările unde se produc frecvent perturba-

ții sau salturi de viteză impusă, al căror efect trebuie determinat într-un timp minim și care are la un răspuns transitoriu calculat sau evaluat. Aceasta în cazul în care amplitudinea și durata sunt de același ordin de mărime ca amplitudinea, respectiv un multiplu al perioadei armonicilor parzite ale semnalelor analogice din proces.

- S.R.M. sănătate preferată în acțiunările electrice cu motoare de curent continuu unde se urmărește menținerea constantă a vitezei motorurilor de acțiune cu o precizie de 0,1 % sau a raportului dintre vitezele mai multor motoare dintr-un proces complex.

- S.R.Nedea posibilitatea realizării unor acțiunări electrice reglabilă capăt programe flexibile, ce permit simularea și comportarea reală în cele mai variate regimuri.

**3. MODULUL MATEMATIC AL ACTIGEASILOR CU MOTOCRE
DE C.C. CONSTATE IN IMPULSEURI**

**3.1. Schema structurală a motorului de c.c. cu
excitație independentă și constantă**

În figura 2.2. se poate vedea schema electrică echivalentă a motorului de curent continuu cu excitație independentă. Se păstrează același notații și în ipoteza neglijării relinierităților introduse în funcțiunile de rezistență, considerindu-se curentul de excitație constant și variații treptă ale sarcinii. Aplicând calculul operațional ca transformate Laplace unești (2.11), (2.6), (2.9) și (2.5) în condiții inițiale nule, se poate arăta că:

$$U_A(s) = E_A(s) = I_A(s) R_A(1 + sT_A) \quad (3.1)$$

$$z_A(s) = c \underline{\Omega}(s) \quad (3.2)$$

$$i(s) = c I_A(s) \quad (3.3)$$

$$L(s) = L_A(s) = i(s) \underline{\Omega}(s) \quad (3.4)$$

$$T_A = \frac{R_A}{c} \quad (3.5)$$

unde T_A reprezintă constanta el-electromagnetică de tip τ a circuitului indusului. R_A este rezistența perturbatoare, iar tensiunea de alimentare U_A este mărimea de reglare, care fiind variată, se obțin viteze de rotație diferite.

În similaritatea ecuațiilor motorelor electrice de curent continuu cu excitație independentă și constantă, prezintă interes același de variație a vitezelor de rotație $\underline{\Omega}$ și a curentului din indus I_A , funcție de tensiunea de alimentare U_A .

Transformata Laplace a vitezelor de rotație $\underline{\Omega}(s)$ se obține prin suprapunerile efectelor determinate tensiunii de alimentare și sarcinii motorului, linierizând ecuațiile diferențiale ce descriu fenomenele fizice.

Dacă capul static rezistent este neglijat, $L_A = C_A$, relațiile (3.3) și (3.4) devin:

$$N(s) = i(s) \underline{\Omega}(s) = c I_A(s) \quad (3.4')$$

Inlocuind valoarea lui $I_A(s)$ în relație (3.1) rezultă:

$$U_A(s) - E_A(s) = \frac{I_A(s)}{c} \cdot R_A(1 + sT_A) \quad (3.1')$$

ssi

$$\frac{\underline{\Omega}(s)}{U_A(s) - E_A(s)} = \frac{c}{J \cdot R_A(1 + sT_A)} \quad (3.6)$$

Aplicind algebre schimilor de structură, se poate întocmi schema bloc din figura 3.1, unde F reprezintă coeficientul de frecări viscoase.

Pe baza schemei bloc din figura 3.1 rezultă funcția de transfer pe calea directă :

$$Y_d(s) = \frac{\underline{\Omega}(s)}{U_A(s) - E_A(s)} = \frac{c}{J \cdot R_A(1 + sT_A)} \quad (3.6')$$

iar pe calea de reacție

$$Y_p(s) = \frac{E_A(s)}{\underline{\Omega}(s)} = c \quad (3.7)$$

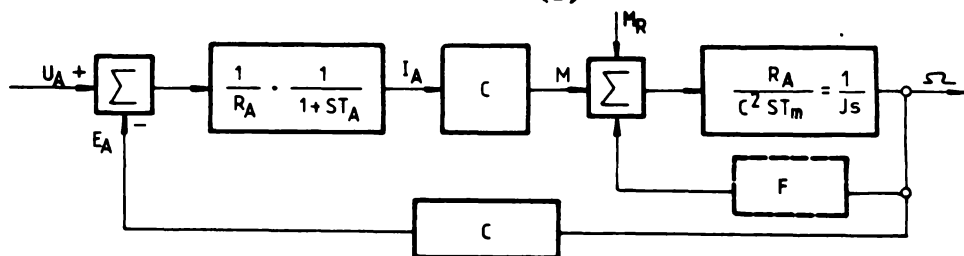


Fig.3.1. Schema bloc a motorului de c.c. cu excitare independentă pentru $\underline{\Omega} = f(U_A)$

În cazul formării unei bucle de reglare, la conectarea în circuit închis, un element este conectat contrar sensului de acțiune a celuilalt.

Definind $Y_d(s)$ elemental pe calea directă și $Y_p(s)$ elemental pe cale de reacție, rezultă funcția de transfer în circuit închis [58] .

$$Y(s) = \frac{1}{\frac{1}{Y_d(s)} - Y_p(s)} = \frac{Y_d(s)}{1 - Y_d(s) \cdot Y_p(s)} \quad (3.7)$$

Dacă se face $E_A(s) = 0$ și $\underline{\Omega}(s)$ en sensuri opuse, rezultă că $Y_p(s) = -c$.

Functie de transfer a circuitului inchis, considerind ca mărimea de ieșire viteza de rotație Ω , iar ca mărime de intrare tensiunea de alimentare U_A conform [loc] este :

$$Y_{\Omega U_A}(s) = \frac{Y_d(s)}{1 + Y_d(s) Y_p(s)} = \frac{1}{c} \cdot \frac{1}{T_m T_A s^2 + s T_m + 1} \quad (3.8)$$

T_m fiind constantă electromecanică de timp a instalației de acționare și are valoarea :

$$T_m = \frac{J R_A}{e^2} \quad (3.9)$$

Decarece la acționările electrice reglabile concomitent cu reglarea vitezei se face și o limitare a curentului rotoric la pornire și frânare, trebuie studiată și variația curentului rotoric I_A funcție de tensiunea de alimentare, corespunzător schemei bloc din figura 3.2. [loc].

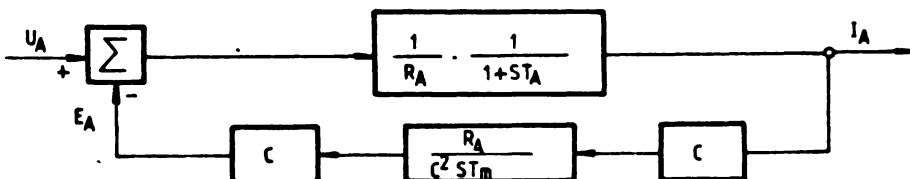


Fig.3.2. Schema bloc a motorului de c.c. cu excitare independentă pentru $I_A = f(U_A)$.

Functie de transfer corespondătoare figurii 3.2. este:

$$Y_I(s) = \frac{I(s)}{U(s)} = \frac{1}{R_A} \cdot \frac{s T_m}{T_m T_A s^2 + T_m s + 1} \quad (3.10)$$

iar dacă $T_m \gg T_A$ rezultă o formă simplificată:

$$Y_I(s) = \frac{1}{R_A} \cdot \frac{1}{T_A s + 1} \quad (3.11)$$

Pentru stabilirea funcției de transfer în raport cu mărimea perturbatoare N_S , mărimea de ieșire fiind viteza de ieșire Ω , se consideră $U_A = 0$, rezultă schema bloc din figura 3.3 [loc].

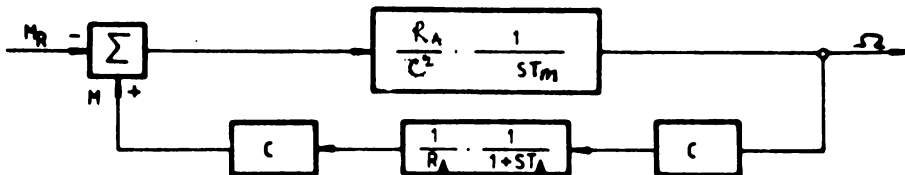


Fig.3.3. Schema bloc a motorului de c.c. cu excitare independentă pentru $\Omega = f(M_R)$

Funcția de transfer pe cale directă este :

$$Y_{dM}(s) = - \frac{R_A}{c^2} \cdot \frac{1}{s T_m} \quad (3.12)$$

iar pe calea de reacție avem :

$$Y_{rM}(s) = \frac{c^2}{R_A} \cdot \frac{1}{1 + sT_A} \quad (3.13)$$

Pe baza relațiilor (3.12) și (3.13) și a figurii 3.3, rezultă funcția de transfer a circuitului închis, în raport cu perturbația M_R :

$$\frac{\Omega}{M_R}(s) = \frac{1}{c} \cdot \frac{1 + sT_A}{T_m T_A s^2 + T_m s + 1} \quad (3.14)$$

Din relațiile (3.8) și (3.14) rezultă transformata Laplace a vitezei de rotație Ω în raport cu tensiunea de alimentare U_A a motorului.

$$\frac{\Omega_U(s)}{U_A} = \frac{1}{c} \cdot \frac{1}{T_m T_A s^2 + T_m s + 1} \cdot U_A(s) \quad (3.15)$$

și în raport cu cuprul perturbator M_R :

$$\frac{\Omega_{M_R}(s)}{M_R} = - \frac{R_A}{c^2} \cdot \frac{1 + sT_A}{T_m T_A s^2 + T_m s + 1} M_R(s) \quad (3.16)$$

Prin superpoziția celor două viteze Ω_U și Ω_{M_R} rezultă transformata Laplace a vitezei unghiulare :

•

$$\underline{U}_A(s) = \frac{1}{c} \cdot \frac{1}{T_B T_A s^2 + T_B s + 1} \left[U_A(s) - \frac{R_A}{c} (1 + sT_A) M_R(s) \right] \quad (3.17)$$

Transformata Laplace a curentului indus este :

$$I_A(s) = \frac{\frac{1}{R_A} s T_B U_A(s) + \frac{1}{c} M_R(s)}{T_B T_A s^2 + T_B s + 1} \quad (3.18)$$

Tratarea functiilor de transfer, utilizind transformatele Laplace este un mijloc util prin care urmarim comportarea dinamica a sistemelor electrice de actionare, deci implicit a motorului de curent continuu.

3.2. Modelarea matematică a motorului electric de curent continuu cu excitatie independentă și constantă

Studiul sistemelor fizice cu ajutorul calculatorului implică reprodusearea funcțiilor de transfer ale elementelor componente ale sistemelor. Simularea pe calculator a sistemelor fizice, în spate motorul electric de curent continuu cu excitatie independentă și constantă, se bazează pe stabilirea schemei bloc a sistemului, reprezentat separat printr-o schema care modelază funcția de transfer. Prin aceasta se simplifică studiul influenței parametrilor diverselor elemente asupra comportării sistemului, precum și interpretarea rezultatelor. În modelarea unei funcții de transfer se pot folosi metode bazate pe soluțiile ecuației diferențiale corespunzătoare funcției de transfer cu ajutorul unui singur element operational, având în intrare și reacție impedanțe operaționale corespunzătoare [14].

Funcția de transfer $Y_1(s)$ se poate modela urmărind următorul mers de calcul :

$$Y_1(s) = \frac{E_o(s)}{E_i(s)} = - \frac{T}{1 + sT} \quad (3.19)$$

unde : E_o este mărimea de ieșire, E_i este mărimea de intrare, s este variabila complexă, iar T constantă de timp electromagnetica. Relația (3.19) corespunde ecuației diferențiale scrisă

sub formă operatională :

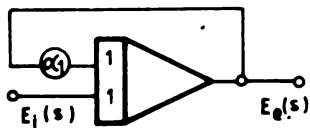
$$(sT + 1) E_e(s) = -T E_1(s) \quad (3.20)$$

Analog, relația (3.20) se poate pune sub forma :

$$E_e(s) = -\frac{E_1(s)}{s} - \frac{E_1(s)}{T \cdot s} \quad (3.21)$$

Relația (3.21) corespunde schemei bloc reprezentate în figura 3.4.

In figura 3.4 modelarea a inclus un element integrator și un potențiometru α_1 ce realizează constanta de timp T de valoare $\alpha = \frac{1}{T}$.



Pentru funcția de transfer $Y_2(s)$ reprezentată prin raportul a două polinoame :

$$Y_2(s) = \frac{E_e(s)}{E_1(s)} = \frac{a_2 s^2 + a_1 s + a_0}{s^2 + b_2 s^2 + b_1 s + b_0} \quad (3.22)$$

Fig.3.4. Schema bloc a funcției de transfer $Y_1(s)$. Modelarea se face urmând următorul algoritm [62].

- se împarte polinomul de la numărător și cel de la numitor cu operatorul s la puterea cea mai mare întâlnită la numărător;

$$Y_2(s) = \frac{E_e(s)}{E_1(s)} = \frac{a_2 + a_1 \frac{1}{s} + a_0 \frac{1}{s^2}}{s + b_2 + b_1 \frac{1}{s} + b_0 \frac{1}{s^2}} \quad (3.23)$$

- se separă în membrul stîng derivatele de ordinul cel mai mare, iar în membrul drept termenii se grupează după puterile lui s ,

$$sE_e(s) = a_2 E_1(s) - b_2 E_e(s) + \frac{1}{s} [a_1 E_1(s) - b_1 E_e(s)] + \frac{1}{s^2} [a_0 E_1(s) - b_0 E_e(s)]$$

Pentru această ecuație se întocmescă graful de semnale din figura 3.5.

Le graful reprezentat se formează în nodurile (1), (2), (3), (4), succesiiv următorii termeni :

- în nodul (1) termenul:

$$\{ a_0 \alpha_1(s) - b_0 E_e(s) \}$$

- în nodul (2) termenul:

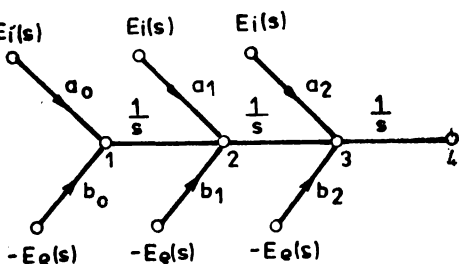


Fig.3.5. Graful reprezentat

$$\left\{ \frac{1}{s} [a_0 \alpha_1(s) - b_0 E_e(s)] + [a_1 \alpha_1(s) - b_1 E_e(s)] \right\}$$

- în nodul (3) termenul :

$$\begin{aligned} & \left\{ [a_2 \alpha_1(s) - b_2 E_e(s)] + \frac{1}{s} [a_1 \alpha_1(s) - b_1 E_e(s)] + \right. \\ & \quad \left. + \frac{1}{s^2} [a_0 \alpha_1(s) - b_0 E_e(s)] \right\} \end{aligned}$$

- în nodul (4) termenul :

$$\{ E_e(s) \}$$

Se întocmescă spați schema analogică pentru realizarea funcției de transfer $Y_2(s)$ conform figurii 3.6.

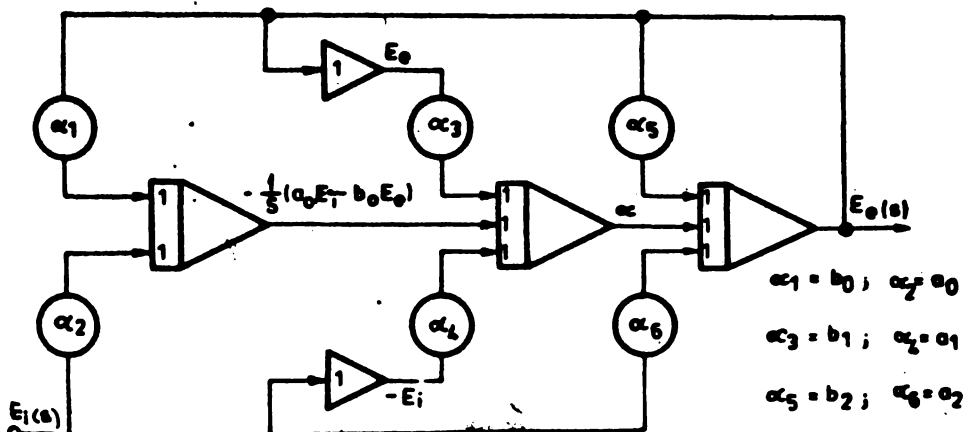


Fig.3.6. Schema bloc a funcției de transfer $Y_2(s)$

Coefficienții polinoamelor de la numărător și numitor se reglează cu potențiometrele $\alpha_1, \alpha_2, \dots, \alpha_6$.

In scheme din figura 3.6 se observă că valorile coeficienților polinoamelor $a_0, a_1, a_2, b_0, b_1, b_2$ ale căror valori sunt date în figură, se pot regla prin potențiometre $\alpha_1, \alpha_2, \alpha_3, \alpha_4, \alpha_5, \alpha_6$.

Relația 3.15 ce stabilește formulele lui $\underline{\Omega}_Y(s)$ poate fi identificată cu funcția de transfer $Y_3(s)$:

$$Y_3(s) = \frac{U_2}{U_1} = \frac{1}{(1 + sT_1)(1 + sT_2)} \quad (3.24)$$

Careia îl corespunde schema bloc din figura 3.7.

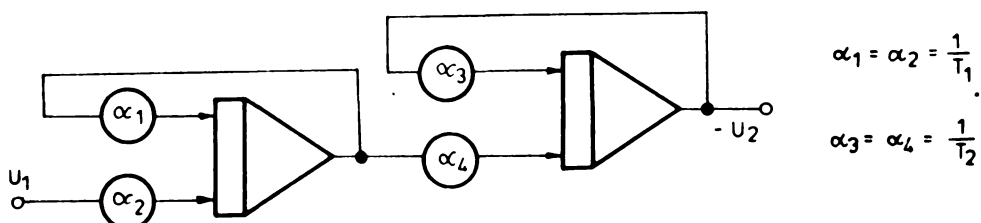


Fig.3.7. Schema bloc a funcției de transfer $Y_3(s) = \underline{\Omega}_Y(s)$

Relația (3.24) ce stabilește formulele lui $\underline{\Omega}_M(s)$ poate fi identificată cu funcția de transfer $Y_4(s)$

$$Y_4(s) = \frac{U_2}{U_1} = \frac{1 + sT_1}{(1 + sT_2)(1 + sT_3)} \text{ avind } T_1 > T_2 \quad (3.25)$$

Careia îl corespunde schema bloc din figura 3.8.

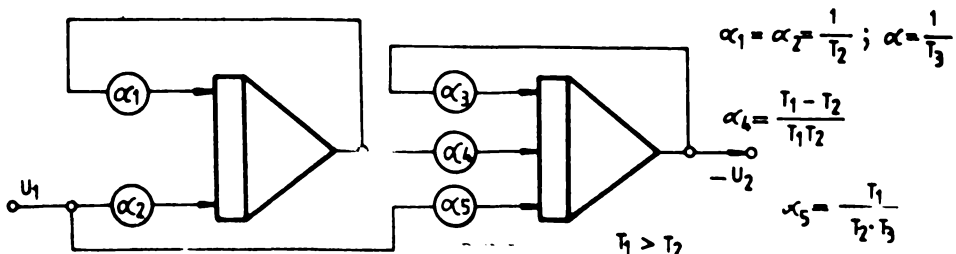


Fig.3.8. Schema bloc a funcției de transfer $Y_4(s) = \underline{\Omega}_M(s)$

Schemele bloc din figurile 3.7 și 3.8 au inclus cîte două elemente integratoare și un număr de potențiometre $\alpha_1 \dots \alpha_5$ cu valori preciseate în figura. Modelarea s-a făcut în accepția unei condiții initiale nule. Condițiiile inițiale menite implică înășterea unei tensiuni corespunzătoare termenilor ce apar în plasă, aplicând transformata Laplace ecuației ce generează funcția de transfer.

3.3. Sinteză și simularea analogică a acționărilor electrice cu motore de curent continuu

Studiul funcțiilor de transfer ale sistemelor de acționare electrică cu motoare de c.c. se poate face aproximativ identic pînă la teste cele trei tipuri de excitare: independentă, serie și mixtă.

Simularea a fost concepută pe baza unui pachet de trei programe care se apelează între ele, numite „Determinarea optimă a transferului intern” pe scurt „DCTI”, deoarece ele pot servi la simularea numerică cît și la optimizarea acționărilor reglabilă, urmărind comportarea dinamică la modificările valorilor prescrise și la modificările mărimilor perturbatoare.

Programul de calcul din pachetul de programe pentru simulare se bazează pe 16 funcții continue și discontinue. Sunt utilizate funcțiile: treaptă unitară "CON", rampă "IDN", potențiometru "GAIN", sinus "SIN", cosinus "COS", întârziere "LAG", releu ideal "BANG", limitator "LIM", zonă moartă "DEAD", absolut "ABS", releu cu zonă moartă "RLY", releu cu histerezis "RLYH", multiplicator "MUL", divisor "DIV", sumator "SUM", integrator "INT". Aceste funcții elementare însoțite de mnemonic (simbol), ecuații descriptive, constante caracteristice și reprezentări grafice (prezentate în [86]) sunt descrise de subrutine de calcul ce realizează comportarea intrare – ieșire a elementului respectiv. Subrutinile sunt spuse de programul principal ori de câte ori este necesar. Calculul comportării sistemului la diferite semnale de intrare se face pornind de la elementele cărora le cunoștem starea ieșirii la momentul initial (aceasta pentru integrator, elementul de întârziere și funcțiile de semnal) continuind apoi cu celelalte elemente fără memorie ale sistemului.

La elaborarea pachetului de programe pentru simulare "DOTI", compus din cele trei programe: "DOTI - 1", "DOTI - 2" și "DOTI - 3" s-a avut în vedere schema logică prezentată în figura 3.9 din [95].

Programele în ordinea 1,2,3 au fost înregistrate pe o casetă cu bandă magnetică. Ele sunt elaborate în limbajul PASIC [116] și au fost testate și rulate pe calculatorul WANG - 2200 al Centrului de Calcul al Universității din Brașov. Este suficientă încărcarea programului "DOTI - 1" prin comanda (LOAD) și lansarea lui în execuție prin comanda (RUN) și ele se vor ejecuta unul pe altul ori de căte ori este nevoie.

Programul Doti-1 de modelare a sistemului prin funcția de transfer

Cuprinde un număr de 83 instrucțiuni și se bazează pe metoda formelor seriale.

Într-o sistemele date sub formă funcției de transfer :

$$Y_K(p) = \frac{A_0 p^0 + A_1 p^{0-1} + A_2 p^{0-2} + \dots + A_{p-1} p + A_p}{B_0 p^0 + B_1 p^{0-1} + B_2 p^{0-2} + \dots + B_{p-1} p + B_p} \quad (3.26)$$

programul DOTI-1, folosind metoda formelor seriale, prezentată în anexa 1, elaborată schema bloc, din elemente discrete simple.

Programul cere introducerea gradului numitorului, a numitorului, coeficienții $A_0, A_1, A_2, \dots, A_n$ și $B_0, B_1, B_2, \dots, B_n$ în ordine crescătoare.

Dialogul se poartă la DISPLAY și calculatorul cere introducerea funcțiilor de transfer $Y_K(p)$ și numărul K. Deodată se sunt introduse toate funcțiile de transfer din sistem, programul elaborând schema bloc cu elemente discrete comunicând numărul intrării și numărul ieșirii din schema bloc. Întotdeauna numărul intrării este 1, indiferent de gradul funcției de transfer $Y_K(p)$.

Programul DOTI - 1 poate simula în forme în care a fost conceput (dimensiunile atribuite matricilor), pentru simularea unui sistem cu maxim 16 elemente discrete din care 6 elemente pot fi elemente integratoare. Programul complet este dat în anexa 1.

Programul DOTI-2 de modelare a sistemului
dat prin scheme bloc.

Programul DOTI - 2 face introducerea și definirea elementelor discrete și efectuează sortarea elementelor. Programul cuprinde un număr de 147 instrucțiuni. Dialogul cu calculatorul se face la DISPLAY cere cere :

TIP ELEMENT ? - se introduce mneonimul

NUMARUL IESIRII ? - se introduce Y din schema bloc

NUMARUL INTRARILOR : - se introduc intrările x_1 , x_2 , x_3
în ordinea din schema bloc.

CONSTANTA CARACTERISTICĂ ? - se introduce constanta e_1 .
apoi dacă este cazul e_2 . Dacă elementul introdus nu are constantă caracteristică se introduce zero "0".

In continuare programul formează matricile $A(1,Y) = Y$;
 $A(2,Y) = I$; $A(3,Y) = x_1$; $A(4,Y) = x_2$; $A(5,Y) = x_3$; $A(6,Y) = e_1$;
 $A(7,Y) = e_2$; $A(8,Y) = 0$.

Calculatorul cere pe rînd introducerea tuturor tipurilor de elemente. Dacă s-a terminat de introducere se clăpează instrucția END.

După aceasta începe sortarea elementelor, elaborind secvență corectă de calcul a sistemului, ținând cont de legătura dintre elementele sistemului. Dacă numărul unei intrări sau ieșiri a fost introdus greșit, programul nu poate elabora secvență corectă de calcul și se oprește și dă mesajul „NU SE PODEA FACE SORTAREA ELEMENTELOR”.

După realizarea secvenței corecte de calcul, programul cere introducerea următoarelor date de la consola :

“TIIMPUL MAXIM DE SIMULARE”, T

“PASUL DE INTINZARE”, P_1

“PASUL DE TIPIRIRE”, P_2

“EROAREA DE INTINZARE”, E_2

“IESIRI CE VOR TIPIARI”, $C(L)$.

Să pot tipări patru ieșiri la elegere. După tipărirea numerelor lui ieșirilor ce se vor tipări, programul cere spălarea lui DOTI - 3. Programul detaliat DOTI-2 este dat în anexa 2.

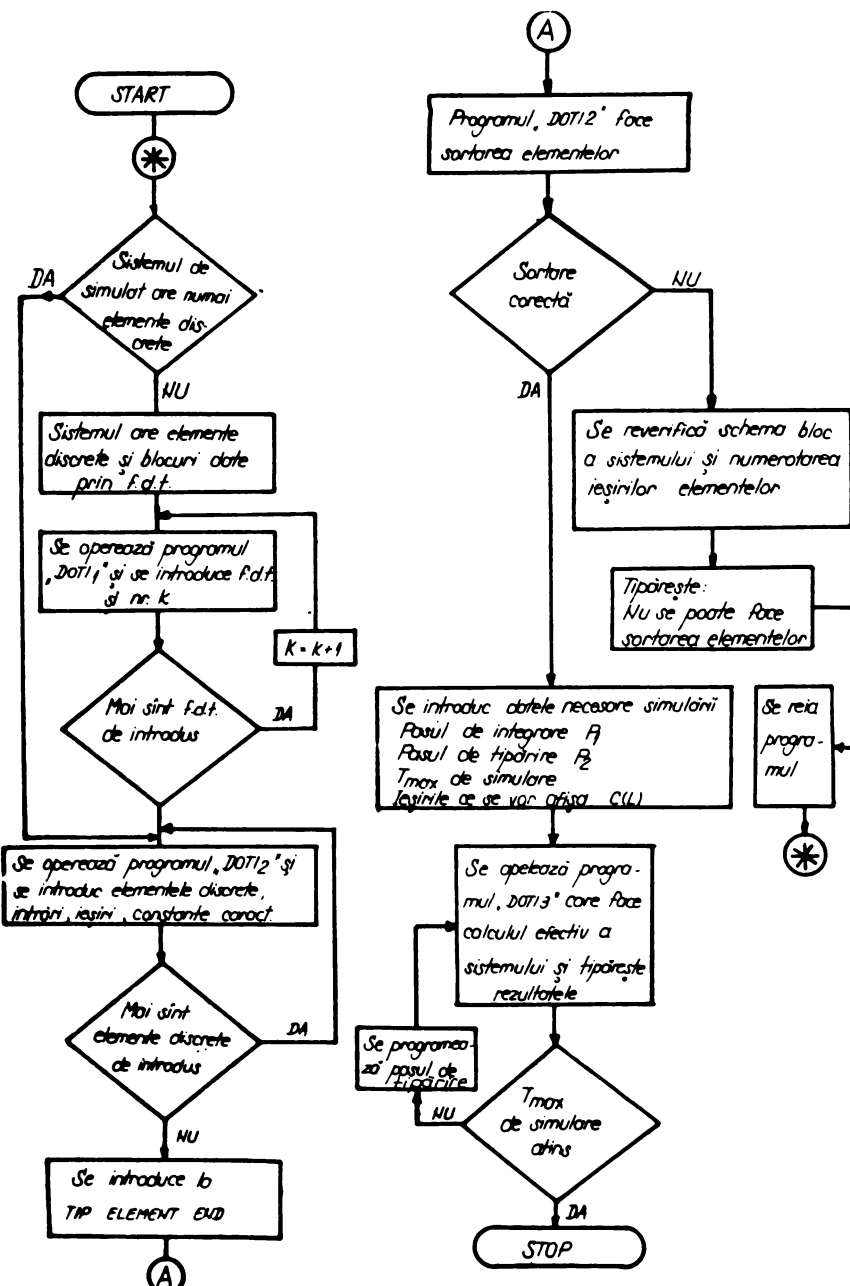


Fig.3.9. Schema logica pentru elaborarea programelor "DOTI".

Programul DOTI-3 de calcul efectiv al elementelor sistemului

Acum program are un număr de 186 instrucțiuni și face calculul elementelor discrete din care este format sistemul. Sunt apelate pe rînd ori de cîte ori este nevoie, subrutine pentru calculul funcțiilor elementare [28].

Subrutina integrator realizează integrarea sumei mărimii de la intrare, folosind o metodă predictor-corector. Există mai multe metode de integrare. Metoda Runge-Kutta, este din cele mai eficiente metode cu pași separați, dar prezintă dezavantajul că pentru calculul fiecărei ordinată e necesară evaluarea funcției pentru mai multe valori ale lui x , ceea ce conduce la o mărime a timpului de lucru. Metodele de predicție-coracție cu pași legați sunt, din acest punct de vedere, mult mai avanțate. Principalul dezavantaj al acestor metode este că nu se autopermese. Aceasta este un avantaj pentru metodele cu pași separați. Dificultatea de a nu se putea determina valorile inițiale pentru pornire se poate înălța prin calcularea valorilor inițiale de pornire cu ajutorul unei metode cu pași separați.

De aces pentru calculul elementului integrator se folosește metoda predictor-coractor a lui Adams-Boulton [27].

Programul este prevăzut cu instrucțiuni de tipărire(POINT) pentru valorile în timp a patru ieșiri. După atingerea timpului maxim de simulare programul se oprește.

Programul DOTI-3 este dat în anexa 3.

3.4. Tratarea acțiunilor cu notare de c.c. comandate în impulzuri

Factorul de comandă, notat cu f_c , este raportul dintre durata de conecție T_c și durata de tact a impulsului T :

$$f_c = \frac{T_c}{T} \quad (3.27)$$

Schemă principală din figura 2.3 poate funcționa la o frecvență constantă, comanda făcindu-se prin variație factorului de comandă f_c , sau cu o frecvență variabilă, păstrând constantă durata de conectare T_c . Păstrând ipotezele adoptate în subcapitolul 3.1 și notatiile din figura 2.3 se determină valorile curen-

talui maxim, minim și mediu din motor $I_2 \text{ max}$, $I_2 \text{ min}$ și $I_2 \text{ med}$. Presupunem că motorul se află în regim staționar de curent neîntrerupt ($I_2 \text{ min} > 0$) și că viteză de rotație este practic constantă.

Pentru $0 \leq f_c \leq 1$, în intervalul de la 0 la $f_c T$:

$$U_1 = R_A i_1 + L_A \frac{di_1}{dt} + E_A \quad (3.28)$$

În intervalul de la $f_c T$ la T avem relație :

$$0 = R_A i_2 + L_A \frac{di_2}{dt} + E_A \quad (3.29)$$

Conform relației (3.5) $T_A = \frac{L_A}{R_A}$ și introducând valoarea constantei electrice de timp a rotundului rezultă :

$$I_2 \text{ max} = \frac{1}{R_A} U_1 \left[\frac{1 - e^{-\frac{f_c T}{T_A}}}{1 - e^{-\frac{T}{T_A}}} \right] = B_A \quad (3.30)$$

$$I_2 \text{ min} = \frac{1}{R_A} U_1 \left[\frac{e^{-\frac{1 - f_c}{T_A}} - \frac{f_c T}{T_A}}{1 - e^{-\frac{T}{T_A}}} \right] = b_A \quad (3.31)$$

$$I_2 \text{ med} = \frac{f_c U_1 - \bar{x}_A}{R_A} \quad (3.32)$$

Relațiile de mai sus sunt valabile în cazul regimului de curent neîntrerupt adică $I_2 \text{ min} > 0$.

Dacă reprezintă :

$$U_2 = \frac{1}{T} \int_0^T U_1 dt = \frac{1}{T} \int_0^T f_c U_1 dt = f_c U_1 \quad (3.33)$$

rezultă că se poate obține o variație a tensiunii medii de ieșire din varistor și implicit o reglare a curentului prin motor cu pierderi relativ mici de energie prin varierea factorului de comandă f_c .

Pentru acționarea motorului electric de c.c. cu VTC căre lucreează cu frecvență constantă, se adoptă schema simplificată din figura 3.1c.a.

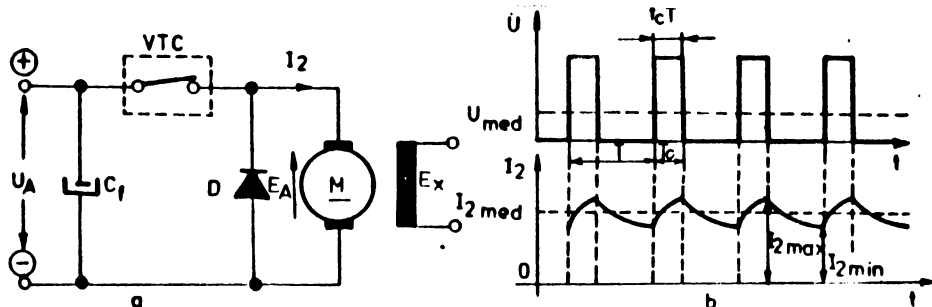


Fig.3.1c. Acționarea cu VTC cu frecvență constantă.

In figura 3.1c.b sunt date formele de undă ale tensiunii și ale curentului prin motor. Pentru un regim stabilizat sunt verosimile relațiile [7c] :

$$E_A = J_A \frac{d\phi}{dt} = f_c J_A \quad (3.34)$$

$$I_{2 \max} = I_{2 \min} + (J_A - E_A) \frac{T_c}{L_A} \quad (3.35)$$

$$I_{2 \min} = I_{\max} - E_A (T - T_c) \frac{1}{L_A} \quad (3.36)$$

$$I_{2 \text{med}} = \frac{1}{2} (I_{2 \max} + I_{2 \min}) \quad (3.37)$$

În cazul neintrerupt, adică $I_{2 \min} \geq 0$, rezultă în cel mai defavorabil :

$$I_{2 \max} = 2 I_{2 \text{med}} \quad (3.38)$$

$$I_{2 \max} = f_c (1 - f_c) U_A \frac{T}{L_A} \quad (3.39)$$

Pentru $f_c = 0,5$ rezultă valoarea maximă a lui $I_2 \text{ max}$, iar valoarea duratării de tact este :

$$T = 8 I_{2 \text{ med}} \frac{L_A}{U_A} \quad (3.40)$$

Relația (3.40) permite determinarea perioadei maxime de lucru a VTC pentru un motor dat, deci implicit determinarea frecvenței limită pentru impulsurile de comandă pentru ca motorul să lucreze în regim de curent neîntrerupt. Valoarea lui $I_{2 \text{ med}}$ se ia de obicei valoarea curentului maxim de pornire a motorului.

Din relațiile (3.34), (3.38) și (3.39) rezultă expresia $I_{2 \text{ max}} = f(I_{2 \text{ med}})$ sub forma :

$$I_{2 \text{ max}} = I_{2 \text{ med}} (1 + 4 f_c - 4 f_c^2) \quad (3.41)$$

Relația (3.41) este redată grafic în figura 3.11.

Pentru o durată de tact dată, tensiunea minimă de ieșire pe variator depinde de $f_c \text{ min}$ decarece :

$$U_{\min} = f_c \min U = \frac{T_c \min}{T} U \quad (3.42)$$

Factorul de comandă f_c depinde de tipul de variator adoptat și de puterea lui. Valoarea lui $f_c \text{ max}$ din practică cădere de tensiune pe variator [35], și enunț :

$$U = U - f_c \max U = U (1 - f_c \max) \quad (3.43)$$

La variatoarele de putere ΔU este cuprins între 2-5 % din spectrul curentului prin motor este pulsator, de formă triunghiulară, suprapus peste componente continue a curentului [65].

Motorul de curent continuu comandat prin impulsuri de tensiune dreptunghiulare de frecvență constantă este indicat să lucreze în regim de curent neîntrerupt. Regimul de curent întrerupt, în sfârșit septului să prezinte caracteristici mecanice de acord mai puțin dure, are mărele dezavantaj de a lucra cu pierderi mari [79]. În practică regimul de curent întrerupt trebuie evitat.

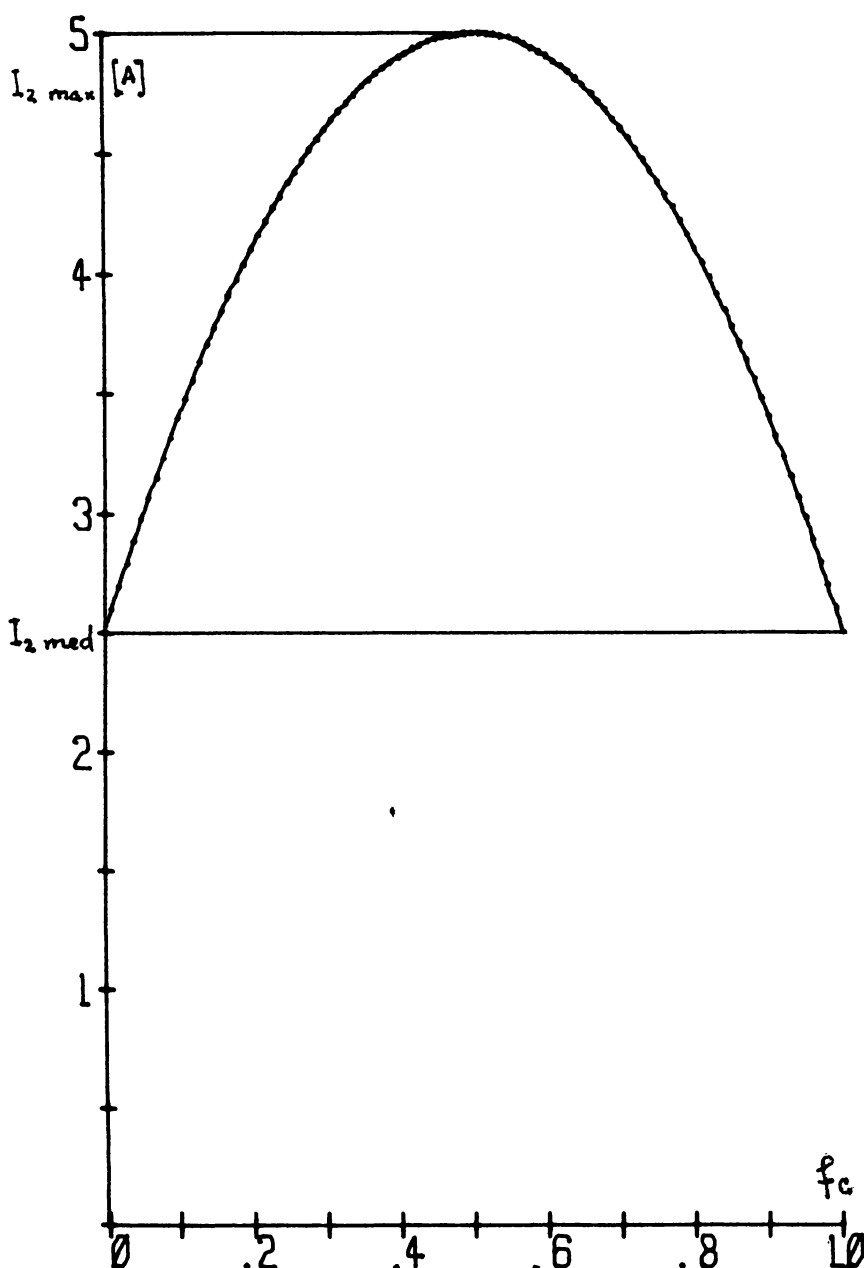


Fig.3.11. Variația curentului din motor funcție de f_c .

4. COMANDA MOTORULUI DE CURENT CONTINUU CU MICROSISTEME

In cale se urmeaza se urmareste comanda unui motor de curent continuu in trei variante utilizand :

- calculatorul WANG
- microsistemul MICROPROG 228
- microsistemul SEPAMMCC

4.1. Conectarea calculatorului WANG la sistemul de actionare

Schema de conectare a calculatorului WANG la un motor electric de curent continuu este data in figura 4.1.

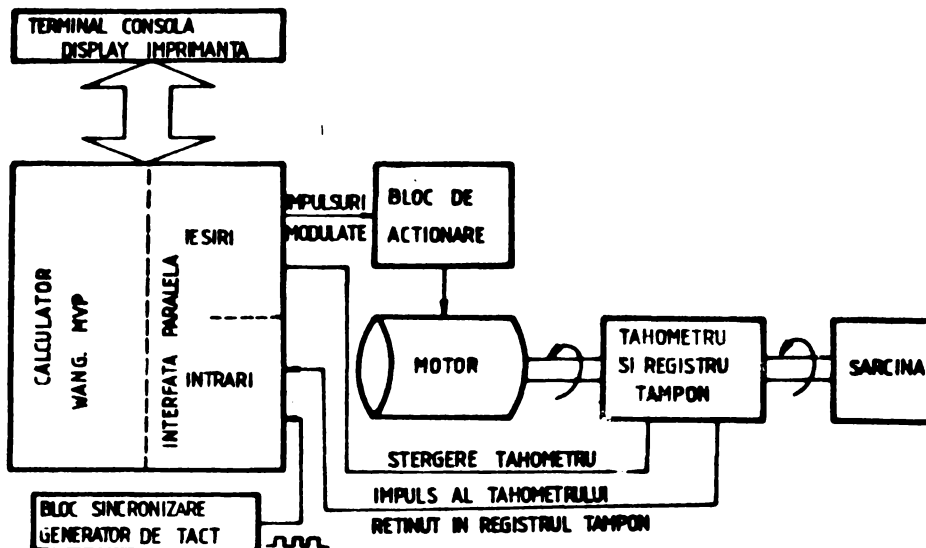


Fig.4.1. Conectarea calculatorului WANG la un motor electric de c.c.

Legatura dintre calculator si motor se face printr-o interfata paralela de intrare/iesire. La calculator sunt conectate două ieșiri paralele și două intrări paralele. O ieșire comandă modulul de acționare a motorului, cu impulsuri de aceeași amplitudine dar factor de mărire variabil, impulsuri generate de calculator, iar cealaltă ieșire comandă registrul tampon. La o intrare sunt aplicate impulsurile generată de calculator.

de tact, iar la colectă se numesc impulsurile de la tachometru ce au fost reținute în registrul tempor. Aceste impulsuri cu lase de calculator constituie baza de calcul a vitezei de rotație a motorului.

Blocul de sincronizare emite impulsuri dreptunghiulare cu factor de comandă 50 %. În scopul de a sincroniza evenimente trebuie să existe acces în fiecare moment la numărul impulsurilor de tact ceputate de la tachometru.

Tachometrul este realizat dintr-un disc cu fante rotit de un motor și dintr-un cuplu fotodiодă - fototransistor ce generează impulsuri proporționale cu turăția, transmise calculatorului. Dacă calculatorul nu prelucrează semnalele primite prin interfață paralelă suficient de rapid, el poate pierde impulsuri. Pentru înățurarea acestui inconvenient este prevăzut un circuit de tip registru tempor, ce memorizează faptul că s-a spărat un impuls. Registru tempor este principal similar cu cel prezentat în subcap. 4.3.4.

4.2. Conectarea microsistemului MICROPROG 228 la sistemul de acționare

Programatorul analogic cu microprocesor Microprog 228, este un aparat care utilizează un microprocesor INTEL-8008, pentru generarea, prin segmente, a două mărimi analogice variabile în timp și comutarea a 1 - 8 relee la anumite momente de timp în conformitate cu programele introduse.

Microprog 228 este destinat să furnizeze două mărimi analogice variabile în timp, sub formă unor tensiuni în gama: 0 - 10 V sau 0 - 5 V sau 1 - 5 V sau curenti în gama: 2 - 10 mA sau 4 - 20 mA. Microsistemul poate genera la ieșirile sale analogice orice funcție ce poate fi aproxiimat prin segmente de tip „pelier” și/sau „ramă”, modificabile prin program.

Echipamentul este compus din 5 module funcționale:

- modulul unitate centrală „MINI 1”
- modulul pentru afișaj „APRO-AF”
- modulul tastatură „APRO-TAS”
- modulul ieșiri numerice și analogice „APRO-LNA”
- modulul cu relee „APRO-REL”.

Modulul unitate centrală MINI I a fost conceput ca un SBC (Single Board Computer) având următoarele structuri: microprocesorul 8080; generatorul de tact, logica de RDY, RST și CLOCK; logice de interruperi și generare comenzi; controller de interruperi; cace programabil; logice de decodificare adrese; bloc de memorie EPROM (de 8 Koct) cu logica de selecție; bloc de memorie RAM CMOS (de 4 Koct) cu logica de selecție; 2 interfețe de comunicație serială (UART 1 - UART 2); 2 interfețe periferice parallele programabile (IPP-1, IPP-2); interfețe programabile pentru tastatură și display.

Modulul pentru afișaj APRO-AP permite operatorului să vizualizeze datele introduse, să urmărească evoluția parametrilor în timpul execuției automate, să identifice diferențele stări și regimuri ale echipamentului. El prezintă următoarele elemente: 28 de leduri organizate în 4 grupuri GL 1 - GL 4; 6 celule duble de afișare cu 7 segmente; logica de selecție și comandă celule sau grup de leduri; interfață cu magistrala de date a sistemului.

Modulul tastatură APRO-TAS permite operatorului să transmită sistemului date și comenzi. Acest modul cuprinde: tastatura cu logica eferentă și logica de comandă a 8 buturi introduse în tastele T1 - T8.

Modulul ieșiri numerice și analogice APRO-ENA asigură conversia numeric-analogică pentru cele două ieșiri analogice, prelucrarea celor două semnale analogice precum și comanda celor 3 ieșiri numerice de tip contact. Acest modul cuprinde următoarele elemente: interfață periferică programabilă IPP-3; două convertoare numeric-analogice pe 8 biți pentru ieșirile analogice; două convertoare curent tensiune; două amplificatoare de curent; un generator de tensiune și curent.

Modulul cu relee APRO-REL asigură comanda celor 8 ieșiri numerice de tip contact, comanda a încă 1 - 3 ieșiri de tip contact utilizate în alte scopuri, precum și citirea unor condiții din exterior. El conține logica de comandă a celor 8 + 1 + 3 relee de tip EM5, precum și logica de citire a octetului de condiții externe.

Echipamentul prezintă din punct de vedere funcțional trei regimuri de lucru: „Programare”, „Execuție automată” și „Normal”.

In regimul „Programare” se pot programe: totul numai analogice pe cele 2 canale analogice apelind programele „A1” și „A2”; comutarea în timp a celor 2 relee apelind programul „B1”; programeaza momentului de lansare în execuție automată și fixarea numărului de relatări apelind programul „C”; treceres în regim manual apelind programul „M”.

In regimul „Execuție automată” se intră prin comutarea cheii de regim la eșalonul programului „M”, echipamentul intrând în execuție automată după prisarea confirmării din exterior prin inchiderea butonului SYNC.

In regim „Manual” se intră numai cind echipamentul se află în regim execuție automată, stare care este exprimată prin dezactivarea celor 2 programelor și starea celor 2 relee „P1 și P2” înghesurate, iar valorile parametrilor pe cele 2 canale analogice pot fi modificate, succesiv, cu ajutorul tastelor „increment” și „decrement”; după orice modificare introdusă ca una din aceste taste, noua valoare este imediat transmisă canalului respectiv.

Conectorele microsistemeului MICROPROG 228 pentru comanda unui motor de curent continuu sunt locați în schema din figura 4.2.

In comparitorul analogic intră tensiunea U_c , programată pe canalul A 1 și tensiunea U_r , de reacție rezultată din convertorul numeric analogic în care se acordă impulsurile de la redactorul numeric.

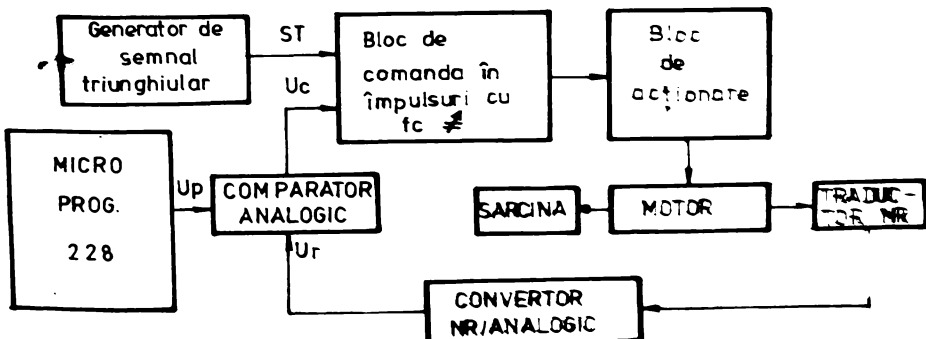


Fig.4.2. Conectorele microsistemeului MICROPROG 228 la un motor electric de c.c.

Blocul de acționare cuprinde în principal un varistor de tensiune continuă (VTC) (chopper) care transformă tensiunea continuă aplicată la intrare, în impulsuri dreptunghiulare de tensiune la ieșire, cu ajutorul unui comutator static (CS). Comutatorul static poate fi un tiristor sau un transistor, conectat în paralel cu o diodă de fugă, care preia curentul sarcinii inductive (a motorului) cînd CS este deconectat [9].

Valoarea medie a tensiunii de ieșire a varistorului poate fi variată între 0 și valoarea tensiunii de alimentare în funcție de factorul de comandă f_e . Comutatorul static poate comanda timpul de conectare și de deconectare a tensiunii de alimentare a motorului.

Reglarea puterii motorului poate fi realizată prin comenzi varistorului ce lucrează în regim de comutare. Cel mai avantajos mod de comutare îl constituie variația duratei de conectare, decorece la frecvență constantă de lucru netezirea curentului prin motor se poate realiza în condiții optime [41].

La varistoarele de tensiune continuă, VTC, dacă sarcina este pasivă poate fi realizat doar un singur sens de tensiune a energiei de la sursă la sarcină. Decorece sarcina este un motor electric de c.c. acesta poate avea două regimuri, de motor și de generator. În regimul de generator sensul de transmisie a energiei se inversează, varistorul lucrind în două cadre. Pentru a realiza ambele sensuri de rotație și ambele regimuri de funcționare ale mașinii electrice de curent continuu este necesară adoptarea unui varistor în patru cadre.

Realizarea funcționării în cele patru cadre este posibilă cu un varistor de tensiune continuă care conține patru transistoare cu rel de comutare statică și patru diode de fugă. Schema unui astfel de varistor este reprezentată în figura 4.3.a.

În figura 4.3.b. este reprezentată caracteristica de conductie în cele patru cadre. Schema electrică constituită din patru transistoare npn conectate în puncte are într-o diagonala conectat motorul de c.c.

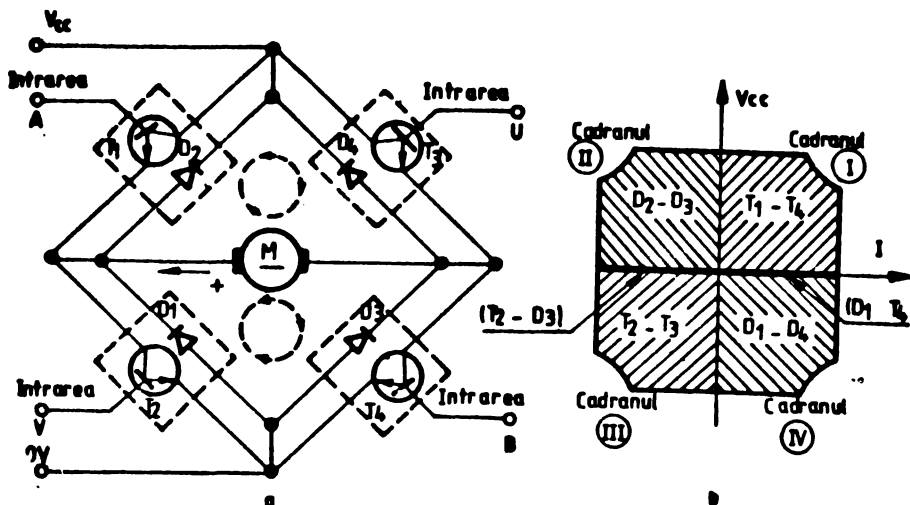


Fig.4.3. Schema variatorului cu tranzistoare in patru cadrane.

Pentru functionarea in cadranele I si II tranzistorul T_4 este in conductie permanenta iar tranzistorii T_1 si T_2 conduc in etapa. In cadrul I curentul sarcinii se inchide prin T_4 si alternativ prin T_1 si dioda D_1 . Trecerea din cadrul I in II se realizeaza cu ajutorul sarcinii (masina de c.c. schimbind regimul de motor in regim de generator cu $\underline{Q} > 0$) fara perioada conductiei intrerupte. In cadrul II conduc in mod alternativ T_2 si D_2 iar D_3 este amorsat tot timpul. La trecerea dintr-un cadrul in altul lucresca toate cele patru dispositive T_1 , D_1 , T_2 si D_2 .

La functionarea in cadranele III si IV tranzistorul T_2 este comandat continuu, iar T_3 si T_4 sunt in comutatie in antietaza. In cadrul III curentul sarcinii se inchide prin T_2 si alternativ prin T_3 si D_3 , iar masina este in regim de motor cu $\underline{Q} < 0$. In cadrul IV conduc in mod alternativ T_4 si D_4 , iar D_1 este amorsat tot timpul, masina functionind in regim de generator cu $\underline{Q} < 0$. La trecerea din cadrul III in IV conduc toate cele patru dispositive T_3 , D_3 , T_4 si D_4 la fel ca in cadrul anterior.

Functionarea in cele patru cadrane se face in cazul conexiunii punctii cu impulsuri de tensiune unidirectionale. Avantajul

acestui mod de comandă constă în necesitatea utilizării unor bobine de filtrare mai mici decât în cazul comenzi cu impulsuri de tensiune bidirectionale [43]. Dezavantajul apare în trecerea din cadrele I și II (cu $V_{c.c.} > 0$), în cadrele III și IV (cu $V_{c.c.} < 0$), deoarece trebuie modificat modul de comandă.

O variantă de comandă - program a tranzistorilor în puncte o constituie transformarea semnalelor analogice în semnale digitale, în vederea realizării unui control corespunzător asupra varistorului [5]. Schema de principiu pentru comandă punții cu tranzistoare a varistorului este dată în figura 4.4.

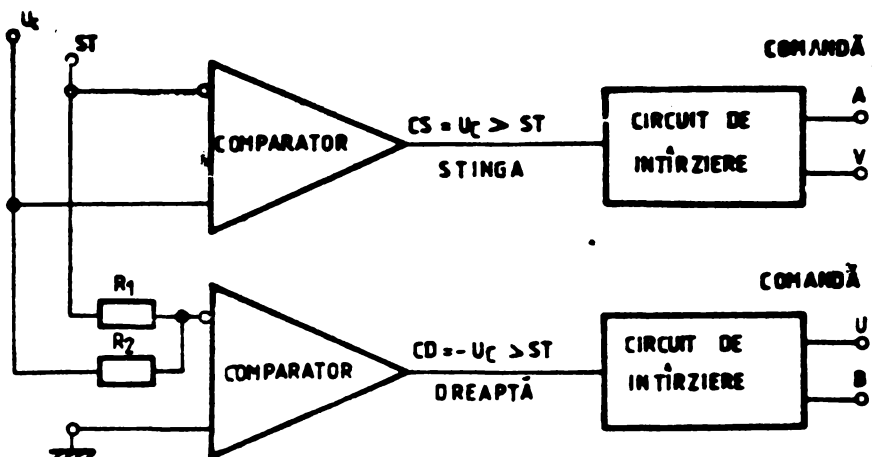


Fig.4.4. Schema bloc de comandă a varistorului.

Schema de comandă cuprinde două circuite identice formate din cîte un comparător și un circuit de întărire. Unul din circuite comandă semipuntea din stînga (CS), iar celălalt comandă semipuntea din dreapta (CD). Semnalul de comandă a duratei impulsurilor U_c , este aplicat la una din intrările comparatorului. La cîndată intrare se aplică un semnal triunghiular (ST) avind o frecvență de 1 kHz [11].

Comparatorul care comandă semipuntea stîngă, dă la ieșirea CS un impuls pozitiv dacă semnalul de comandă U_c este mai mare decît semnalul triunghiular ST.

Comparatorul care comandă semipuntea dreaptă, dă la ieșirea CD, un impuls pozitiv dacă semnalul de comandă negativ U_c este mai mare decît semnalul triunghiular ST.

Tranzistorii T_1 și T_2 precum și T_3 și T_4 nu se comandă simultan. La comutare instantane, are loc scurte circuitarea sursei. De aceea este necesar un circuit de întârziere sau defazor între semnalele A și V respectiv B și S.

În figura 4.5. sunt reprezentate formele de undă ale rezonanțului de comandă U_c , semnalul triunghiular ST precum și a impulsurilor de comandă stinge-dreapta (CS = CD) pentru un factor de comandă $i_c = 33\%$.

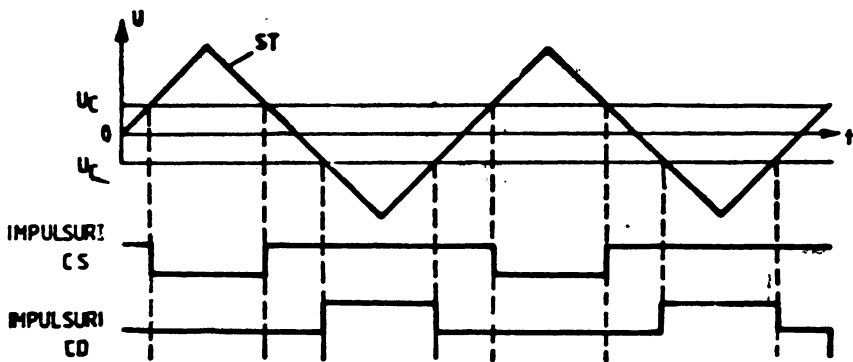


Fig.4.5. Impulsuri de comandă stinge-dreapta pentru $i_c = 33\%$.

În figura 4.6 sunt reprezentate aceleși semnale pentru un factor de comandă $i_c = 66\%$.

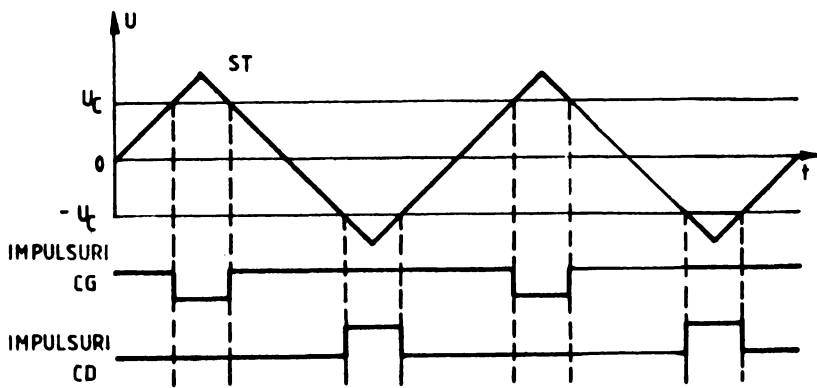


Fig.4.6. Impulsuri de comandă stinge-dreapta pentru $i_c = 66\%$.

modul de producere a impulsurilor de comandă defazate pentru evitarea scurtcircuitării este ilustrat în figura 4.7.

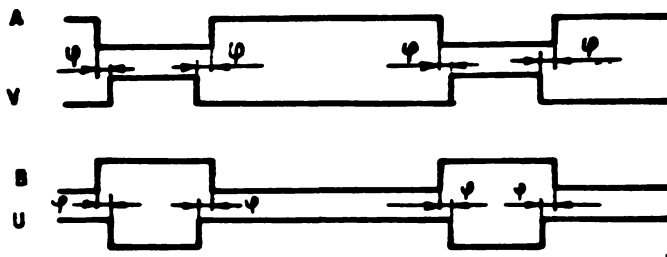


Fig.4.7. Defazarea impulsurilor de comandă.

Defazajul se face atât în frontul descrescător cît și la frontul crescător cu aceeași valoare φ adăugată după, respectiv înainte.

4.3. SEFAKECC - Sistem experimental cu microprocesor pentru acționarea motoarelor de curent continuu

SEFAKECC este un sistem experimental cu microprocesor pentru acționarea motoarelor electrice de curent continuu, constituind parte din comandă a unui robot electric de sudare. Comanda motoarelor electrice de curent continuu se face în impulsuri, cu factor de umplere verisibil, urmărind un profil de viteză și acceleratie impus.

Îleagind de la configurația sistemului ICAROM-800 și ținând seama de scopul microsistemasului de a gestiona și superviza acțiunile electrice cu motoare de curent continuu s-a conceput o structură hardware în două configurații.

I. Configurație minimă se compune din următoarele module functionale:

- UC - modul unitate centrală
- RAM - modul memorie RAM de 4 k
- EPROM - modul memorie EEPROM de 4 k
- MP - modul panou
- CDT - modul comandă dispositiv de test
- GI - modul numărător generator de impulsuri
- I/O - modul intrare/ieșire.

Această configurație s-a denumit - SEFAKECC -

III. Configurația extinsă cuprinde în plus față de configurație minima următoarele module funcționale :

- RAM - modul memorie RAM de 4 k
- CNA - modul converter numeric analogic
- CAN - modul converter analog numeric
- IN - modul intrări numerice
- EN - modul ieșiri numerice
- MAS - modul multiplexor static
- CAS - modul comandă sincron asincron

SEPARMECC - conține în elice modulelor funcționale expuse anterior, module de alimentare și module magistrale. Acestea sint:

- MSG - modul sursă generală alimentată la: 220 V \pm 10 %, 50 Hz \pm 1 %, ca monitor pentru supravegherea alimentării echipamentului și ca următoarele tensiuni de ieșire: + 5 V c.c. \pm \pm 5 % la 30 A; - 9 V c.c. \pm 5 % la 5 A și \pm 12 V c.c. \pm 5 % la 1 A;

- MSA 1 - modul sursă auxiliară alimentată la 220 V \pm 10 %, 50 Hz \pm 1 %, avind tensiuni de ieșire + 5 V c.c. \pm 5 % la 30 A; - MSA 2 - modul sursă auxiliară alimentată la 220 V \pm 10 %, 50 Hz \pm 1 %, avind tensiuni de ieșire \pm 15 V c.c. \pm 3 % la 1,5 A;

Modul surse alimentare

Ansemblu sesiun

Modulul de test

Modul I/E

Modul UC

Modul memorie

RAM

Modul memorie
sf-ROM

Modul NGI

Modul CAS

Modul CNA

Modul CAN

Modul MX

Modul I/O

Modul adaptor

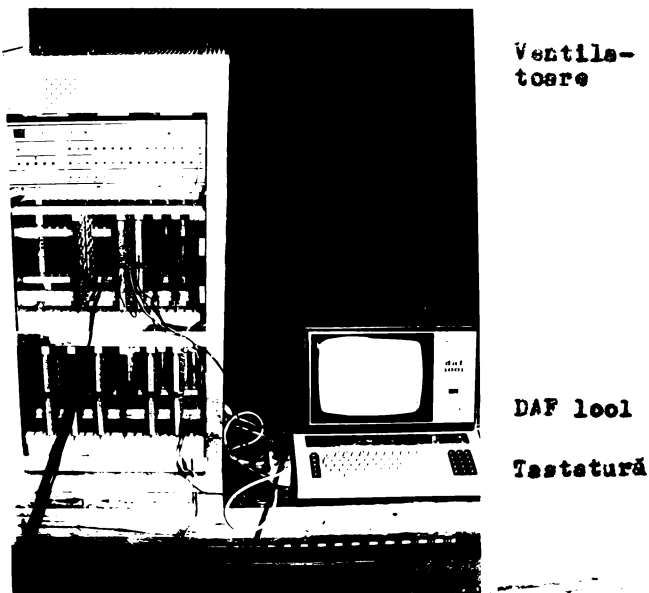


Fig.4.8.Echipamentul SEPAMECC

- MUS - modul magistrală universală de sistem;

- MUP - modul magistrală universală de proces.

Toate aceste module au fost utilizate vertical într-un duplex cu două sertare având la nivelul superior varianta I, de configurație minimă, iar la nivelul inferior varianta II, de configurație extinsă. Realizarea experimentală a echipamentului SEPAMECC este ilustrată în figura 4.8.

Schemă bloc modulară a structurii hardware a microsistemului SEPAMECC și a circuitelor auxiliare este dată în figura 4.9.

Conform figurii 4.9, în echipamentul SEPAMECC sunt conectate o serie de dispozitive auxiliare: display, tastatură și imprimantă precum și o serie de circuite auxiliare: traductoare, bloc de intrări, registrator tempor, bloc de ieșiri, bloc defazor, blocul de acționare și surse de putere.

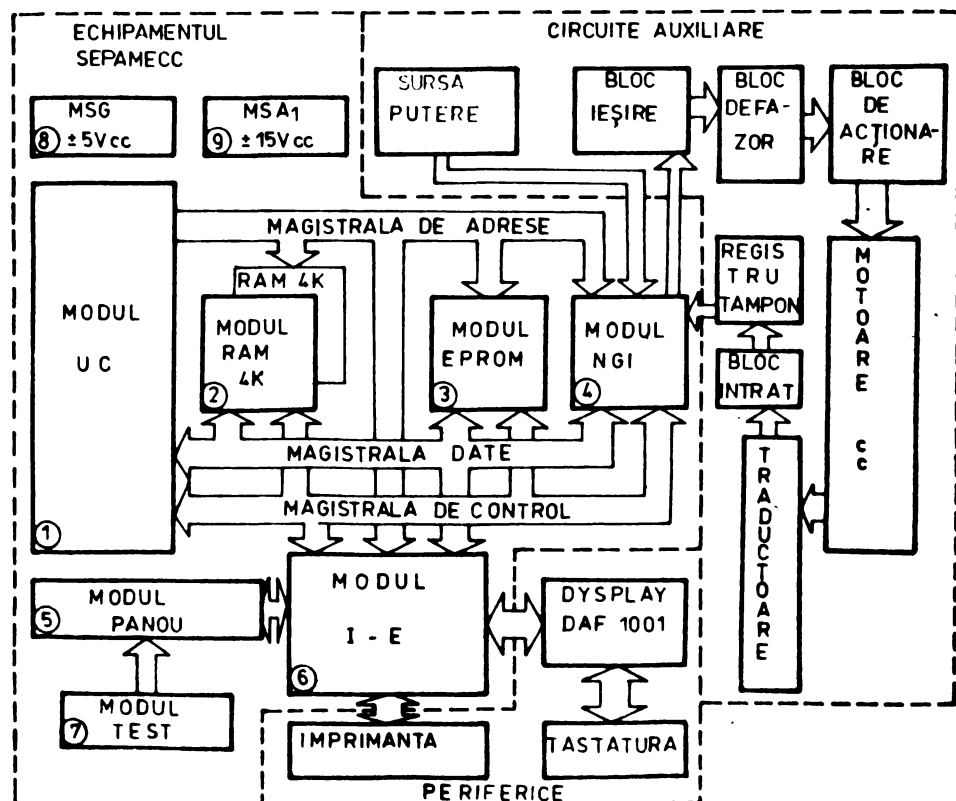


Fig.4.9. Schemă bloc modulară SEPAMECC și circuitele auxiliare.

4.3.1. Modulele microsistemeului SIMASCO

1. Modulul unitate centrală - UC - asigură funcționarea automată a întregului sistem pe baza instrucțiunilor primite de la memorie.

Funcțiunile îndeplinite de UC sunt: controlul operațiilor intrare/iesire; prelucrarea informațiilor; execuția corectă a întregului set de instrucțiuni; generația a două baze de timp real; comunicarea directă cu memoria perifericelor; lansarea activității prioritare și asigurarea comunicării cu panoul de test și consola.

Modulul UC cuprinde din punct de vedere funcțional următoarele blocuri, între care se află o permanență legată:

- microprocesorul INTEL - 8080 ;
- generatorul de tact ;
- logica de „HADY” ;
- logica de „ROLL” ;
- logica de „RESET” ;
- generatorul de comenzi ;
- bloc emițător comenzi;
- bloc emițător/receptor date;
- bloc emițător de adrese ;
- bloc emițător semnale de sincronizare și semnalizare;
- ceas de timp real;
- sistem de întreruperi.

Caracteristicile modulului UC sunt : [122, 123]

- setul de instrucții în număr de 78 ;
- durata unei instrucții 2 - 16 μ s . .;
- unitatea de informație prelucrată este de 8 biți;
- operații executabile pe 16 biți;
- formatul instrucției 1,2 sau 3 octeți;
- capacitatea de adresare: 64 Kocteți de memorie, 256 porti de intrare și 256 porti de ieșire;
- sistem de întreruperi cu 16 nivele ierarhizate cu posibilitatea de maskare și demaskare;
- orologiu de timp real cu 7 frecvențe programeabile în gama 16 μ s - 1 minut.

2. Modulul memorie-RAM - 4 Kocteți - este destinat memorării informațiilor variabile din proces în funcție de necesități și a unor programe nepermanente. Constituie o memorie cu conținut aleatoriu în timp, permitând păstrarea datelor variabile în timp și transmiterea și - sau receptia acestora de către UC. În același timp permite citirea sau modificarea datelor stocate [12].

Modulul RAM - 4 K - este alcătuit în principal din următoarele blocuri funcționale :

- bloc receptie adresa;
- bloc emisie-receptie date;
- bloc receptie comenzi;
- bloc emisie/receptie semnale de sincronizare;
- logica de selecție și comandă;
- logica de „READY” ;
- 4 blocuri de memorie RAM, fiecare cu o capacitate de 1 Kocet;
- un bloc de memorie EEPROM cu o capacitate de 256 octeți;

Caracteristicile tehnice ale modulului RAM sunt [119,123]

- memorie semi-conductoare cu acces aleatoriu;
- posibilitatea de inscriere și citire;
- capacitate 4 kocet;
- 256 octeți EEPROM, suprapuși pe adresa peste primii 256 octeți RAM ;
- timp de acces : 650 μ sec.;
- numărul maxim de module RAM, direct adressabile de către nodul UC : 16.

Modulul RAM este realizat fizic ca circuite integrate pe scară largă (L.I) tip INTEL 21x2 A - 2 (memorii MOS - statice), fiecare având o capacitate de 1x24 biți.

3. Modulul memorie EEPROM - 4 k - asigură păstrarea datelor și programelor permanente și transmiterea lor către unitatea centrală. Constituie o memorie al cărui conținut nu se pierde la căderea tensiunilor de alimentare și care poate fi decitită.

Modulul EPROM - 4 k - este alcătuit în principal din următoarele blocuri funcționale [25] :

- bloc recepție adrese;
- bloc emisie date;
- bloc recepție comenzi;
- bloc emisie/recepție semnale de sincronizare;
- logice de selecție și comandă;
- logica de „READY”;
- 16 blocuri de memorie EPROM.

Caracteristicile tehnice ale modulului EPROM sunt [118, 123] :

- memorie semiconductoare cu acces aleatoriu;
- posibilitate număr de citire;
- reprogramare electrică;
- memorie indestructibilă la căderea tensiunii;
- numărul maxim de module EPROM direct adresabile de către UC : 16;
- capacitatea 4 kocetă;
- timp de acces: $1,3 \mu$ sec.

4. Modulul panou - MP - asigură interfață între echipament și dispozitivul de test. El asigură 5 regimuri de lucru: automat, manual pas cu pas, oprire pe adresă, acces direct și substituție. Acest modul asigură afișarea de stări, cicli, adrese și date.

5. Modulul comandă dispozitiv de test - CDT - este destinat verificării bunei funcționări a echipamentului și a executării corecte a programelor implementate. El asigură selectarea oricărui regim de lucru și permite afișarea mărimilor de stare ale echipamentului. Modulul se interconectează cu dispozitivul de testare.

4.3.2. Modulul NGI - Numărător Generator de Impulsuri

Modulul NGI - numărător generator de impulsuri - asigură numărarea impulsurilor din proces în registre de 16 biți sau generarea de impulsuri pentru comanda echipamentului. Acest modul este o componentă esențială a microsistemului RAFAELCO și a stat la baza concepției de realizare a comenziilor de simulare a acțiunilor cu motoare electrice cu curent continuu.

Utilizarea modulului NGI în sistemul de microprocesor în aplicările privind prelucrarea unor señales sub formă de trezuri de impulzuri simplifică în mod considerabil software-ul necesar acestor prelucrări.

Modulul NGI conține următoarele blocuri funcționale [12a, 12b]:

- 1 - bloc receptor adresa;
- 2 - bloc receptor comenzi;
- 3 - bloc emițător/receptor date;
- 4 - bloc "READY";
- 5 - bloc intreruperi;
- 6 - bloc registre NGI;
- 7 - bloc de intrări/ieșiri cu izolare galvanică;
- 8 - bloc de intrări/ieșiri fără izolare galvanică;
- 9 - bloc logică de selecție și comandă;
- 10 - bloc multiplexare ieșiri (OUT 0 - OUT 14).

ACESTE 10 blocuri funcționale precum și legăturile de interconectare sunt reprezentate în schema bloc a modulului NGI din figura 4.10.

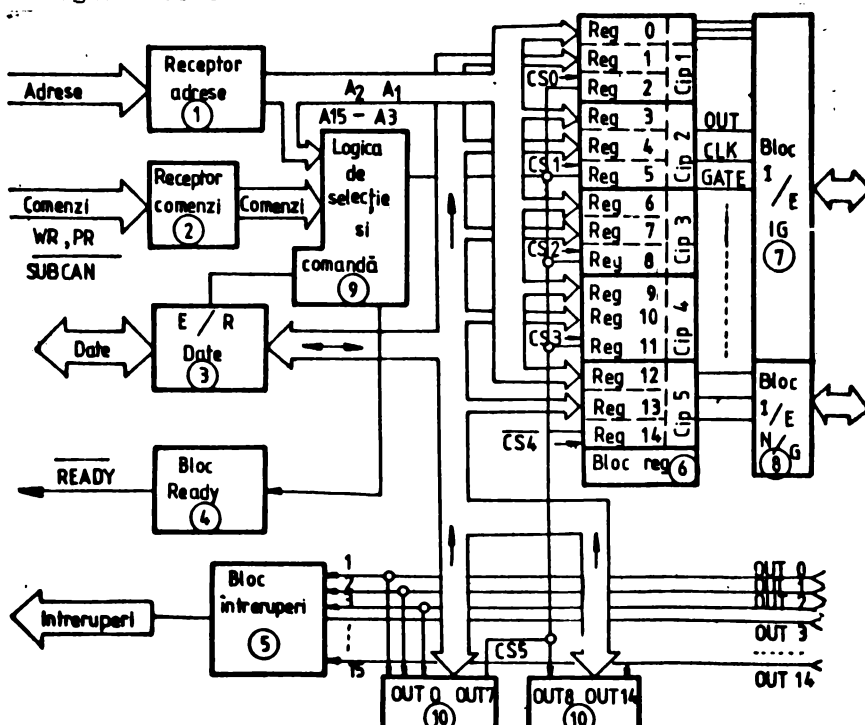


Fig.4.10. Schema bloc a modulului NGI.

Blocul receptor de adrese 1 (fig.4.10), asigură interfață între magistrale de adrese și modulul NGI. Este constituit din circuitele INTEL 3404 în număr de trei. Blocul receptor de comenzi 2 (fig.4.10), asigură interfață între magistrale de comenzi și modulul NGI. Este realizat cu circuitul INTEL 8226. Comenziile utilizate sunt: AF pentru înscrriere, RP pentru citire și SJECAN pentru selectarea modulului SGI.

Blocul emițător receptor date 3 (fig.4.10), asigură interfață între magistrala bidirectională de date și modulul NGI, realizând înscrrierea și citirea în/și din registrele circuitelor 8253. Realizarea acestui bloc este făcută cu două circuite INTEL 8216.

Blocul READY 4 (fig.4.10), transmite către magistrale de comenzi semnalul READY, generat de o memorie mai lentă în funcționare decât microprocesorul și indică acestuia să-și suspende ciclul pînă cînd nu se realizează citirea. Transmiterea semnalului READY se face prin circuitul INTEL 8226, iar cîștoral intern # 2 și canalul RESET se transmite la modulul NGI prin circuitul INTEL 3404.

Blocul intreruperi 5 (fig.4.10), realizează etarea de intreruperi prin semnalele OUT 0 - OUT 14 pe oricare din cele 16 nivele de intreruperi, ca subnivele, sau fiecare semnal OUT pe cîte un nivel de intrerupere. În funcție de numărul de intreruperi legate de un singur nivel, rezistența de sarcină corespunzătoare colectorului emițătorului de intreruperi, trebuie recalculate.

Blocul registre NGI 6 (fig.4.10) se compune din cîinei circuite INTEL 8253, circuit contor/periodizator programabil. Fiecare cip 8253 conține 3 registre numărătoare generațoare de impulsuri de 16 biți, avînd după intrări (CLOCK și GATE) și o ieșire (OUT) și un registru de control de 8 biți. În total modulul NGI are 15 registre numărătoare generațoare de impulsuri și trei registre de control.

Blocul de intrări/ieșiri cu izolare galvanică 7 (fig.4.10) realizează izolarea galvanică a ieșirilor și intrărilor primele 12 registre, utilizînd elemente optocuplare electronice de tipul HP 2531.

Blocul de intrări/ieșiri fără izolare galvanică 8 (fig.

4.10) scoate ieșirile OUT 12 - OUT 14 direct la cupla de proces fără izolare galvenică.

Blocul logică de selecție și comandă 9 (fig.4.10) primește adresele A 3 - A 15 de la receptorul de adrese și comenziile de la receptorul de comenzi, realizând logica pentru blocul emițător/receptor date.

Blocul multiplexare ieșiri le (fig.4.10) realizat cu 4 circuite INTEL 8226 citează cele 15 semnale de ieșire OUT 0 - OUT 14 ale registrelor R0 - R 14 a circuitelor 8253. Acestea prin două circuite INTEL 8212 pot fi comandate cele 16 intrări GATE (GATE 0 - GATE 14) ale registrelor circuitelor 8253. Atât citirea semnalelor OUT cît și comanda intrărilor GATE sunt validate de semnalul OE 5.

Modulul numărător/generator de impulzuri - NGI - este prezentat în figura 4.11.

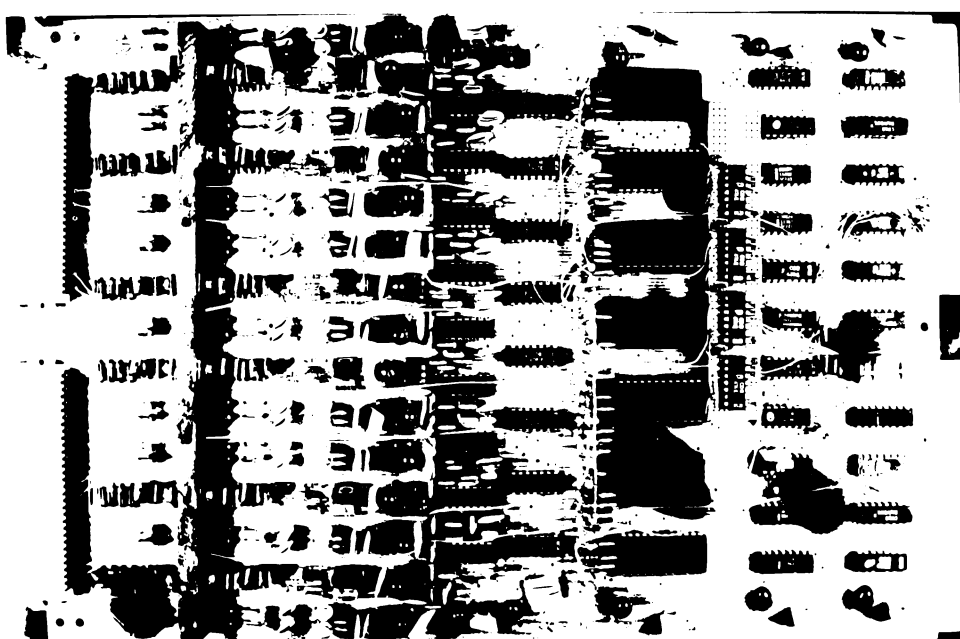


Fig.4.11. Modulul NGI

4.3.3. Arhitectura modulului 8253

Componenta principală a modulului 8253 este circuitul electronic INTEL 8253, numărător divizor programabil, realizat în tehnologia NMOS pe o pastilă de 24 terminale, alimentat la tensiuni de + 5 V c.c. Acest circuit este organizat sub formă a trei registre independente, ce călătoresc în biți, și sunt conectate logică corespunzătoare pentru comunicare cu unitatea centrală de prelucrare și cu mediul exterior. Schema bloc internă a circuitului 8253 este dată în figura 4.12.

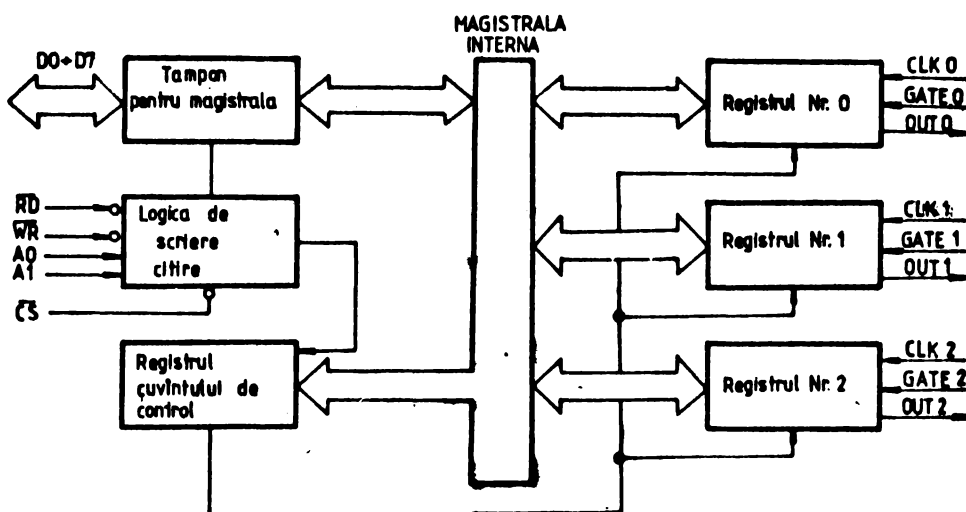


Fig.4.12. Schema bloc internă a circuitului 8253.

În structura internă a circuitului 8253 avem următoarele componente [61]: tamponul (buffer) magistralei de date, logica scrie/citeste, registrul cuvintului de control, cele trei registre „1, 2, 3” număratore și magistrala internă.

Tamponul sau bufferul magistralei de date este bidirectional organizat pe 8 biți cu elemente cu trei stări și realizează interfața circuitului 8253 cu magistralele de date a unității centrale de prelucrare. Prin intermediul acestui tampon se realizează: programearea modurilor de lucru pentru circuitul 8253 încărcarea contorilor, citirea valorilor datelor din contor.

Logica scrie/citeste primește semnale de la magistrale

echipamentului și generarea comenzi pentru funcționarea co-rectă a circuitului 8253. Blocul de logică este selectat sau deselectat prin semnalul CS, astfel că nu poate avea loc nici o operație de scriere sau citire cu circuitul 8253 dacă acesta nu este selectat. Întru CS = "0" circuitul este selectat, iar pentru CS = "1" este deselectat. Un alt semnal RD (Read) = "0" informează circuitul că UC (unitatea centrală) primește date de la registrele numărătoare. Semnalul WR (Write) = "0" informează circuitul că UC trimite informații (date) către registrele numărătoare. Linile A0 și A1 sunt conectate la magistralele de adresa și servesc la selectarea uneia dintre registrele numărătoare sau la cel de control.

Registrul cuvintului de control, primește de la magis-trala informația prin care se comandă modul de lucru al fie-cărui conter, în cod binar sau BCD și comandă încărcarea cu o valoare prestatibilă a fiecărui registru numărător. Selec-tarea se face prin adresa A1A0 = "11". Conținutul registrului de control poate fi numai inserat sau și citit. Informație transmisă pe magistrale de adresa pentru înscririile registru-lui de control furnizează cuvintul de control.

Registrele 0,1 și 2 sunt identice, fiind implementate fiecare printr-un numărător, de 16 biți, programabil, numă-rătoarea fiindu-se prin decrementare. Registrele sunt inde-pendente și pot fi programate să opereze în cod binar sau BCD, în diverse configurații, privind intrările de cces, poarte de comandă și ieșire. Citirea conținutului fiecărui registru nu-mărător poate fi făcută direct printr-o operație de RRD sau în timpul numărării fără perturberea intrărilor de cces.

Registrele interne de date au trei funcțiuni: progra-marea modurilor de lucru ale circuitului 8253; încărcarea valoriilor dorite în registre; citirea valoarei registrelor.

Modurile de funcționare ale circuitului 8253, în număr de 6 pot fi stabilite complet prin software, încărcând regis-trul de control cu un cuvânt corespondător, după care se în-scrie valoarea prestatibilă. Cele două operații de înscrriere se fac prin două instrucțiuni SHLD de proces, iar citirea se realizează prin instrucțiunea LHLD de proces.

Modurile de funcționare ale circuitului 8253 sunt :

Mod 0 : numărător de impulsuri

Mod 1 : monopuls programabil

Mod 2 : generator de impulsuri

Mod 3 : generator de impulsuri cu factor de umplere 1/2

Mod 4 : strob triggerabil software

Mod 5 : strob triggerabil hardware.

Pentru scopul propus de a comanda 4 motoare electrice de c.c. în impulsuri de tensiune cu factori de umplere variabili, din modulul NGI avem nevoie de 5 registre unul lucrând în mod 2 iar 4 lucrând în mod 1.

Modul 1 este definit ca monopuls programabil sau monostabil programabil. Ieșirea registrului trece de la un nivel ridicat la unul coborât numai după ce cuvântul de comandă și control au fost incircate și semnalul aplicat la poartă are o tranziție pozitivă. Această tranziție declanșează decrementarea, ceea ce la atingerea valorii finale (zero) ducă la nivel ridicat ieșirea registrului selectat, conform diagramei din figura 4.13.

Dacă în timp ce ieșirea este la nivel coborât, o nouă valoare este inscrisă în contor, aceasta nu afectează durata monoimpulsului, pînă la următoarea declanșare, valoarea curentă a conținutului poate fi citită în orice moment, fără a afecta monoimpulsul.

Dacă intrarea la poartă G are o tranziție pozitivă, indiferent de faptul că decrementarea s-a terminat sau nu, registrul este relansat cu valoarea incercată inițial. În cazul în care pe parcursul decrementării, se încercă o nouă valoare în registru, aceasta este lăsată în considerație la prima tranziție pozitivă a semnalului la poarte G.

Modul 2 este definit ca generator de impulsuri divizate cu un număr N. Ieșirea este forțată la nivel coborât, după incarcarea cuvântului de comandă și a numărătorului selectat cu constantă N, pe o perioadă egală cu cea a semnalului de c.c.s. Perioada impulsurilor astfel generate este egală cu N. În figura 4.14 este dată diagramea de funcționare în mod 2 la divi-

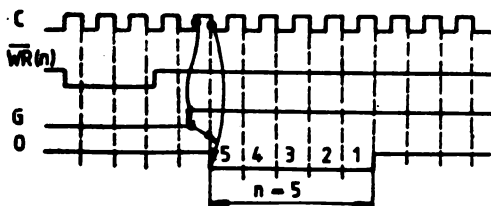


Fig.4.13.Modul 1 de funcționare a circuitului 8253.

zarea impulsurilor cu $N = 5$.

Dacă pe parcursul operării, intrarea G (poarta) este forțată la nivel coborât, ieșirea O este adusă la nivel ridicat, iar la revenirea lui G la un nivel ridicat, registratorul se decrementează din nou, dar la valoarea inițială.

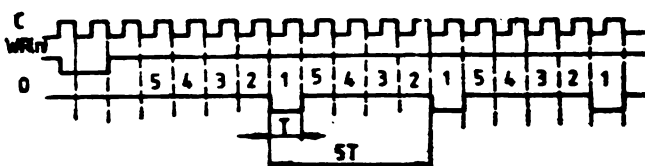


Fig.4.14. Modul 2 de funcționare a circuitului d253.

Ce se începe decrementarea imediat ce s-a avut loc octetul cel mai semnificativ. Pentru a obține o sincronizare dorită la începutul operării, se poate comanda poarta G a registratorului selectat.

Pentru comanda directă a unui motor electric de c.c., printr-un convertor de putere, comandat prin impulsuri de tensiune dreptunghiulară, de amplitudine constantă, dar de durată variabilă, se conectează două registre numărătoare ca în figura 4.15.

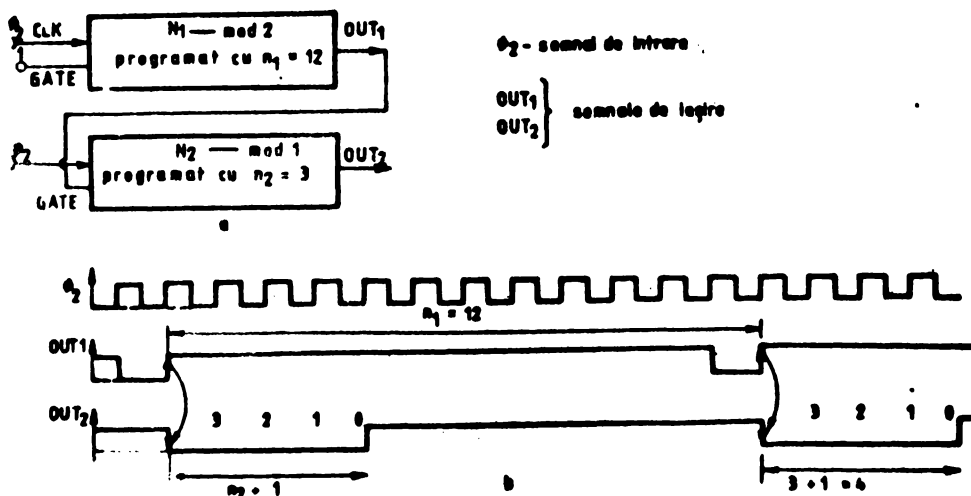


Fig.4.15. Conectarea a două registre numărătoare și diagrame de semnal.

In figura 4.15, a, registrul N_1 lucrează în mod 2 fiind programat cu $n_1 = 12$, iar registrul N_2 lucrează în mod 1 fiind programat cu $n_2 = 3$. Diagramele impulsurilor la ieșirile OUT 1 și OUT 2 sunt date în figura 4.15,b.

Dacă n_1 este constant și n_2 este variabil se obțin impulsuri de frecvență constantă cu factori de umplere (de comandă) $\frac{n_2}{n_1}$ variabili. Aplicându-se acest semnal unui circuit inversor, rezultă complementul lui. Cu semnalul direct și cu cel complementar se comandă tranzistoarele în montaj push-pull, rezultând în final o variație comandată a motorului de curent continuu.

Pentru comanda în impulsuri a patru motoare electrice de curent continuu cu factor de comandă variabil, $f_c = n_2/n_1$; $n_2/n_1; n_4/n_1; n_3/n_1$ se realizează scheme de principiu din figura 4.16,a. Registrul numărător N_1 ce realizează baza de timp este același pentru toate intrările (GATE) a registrelor N_2 , N_3 , N_4 , N_5 ce sunt programate cu valorile n_1 , n_2 , n_3 , n_4 , n_5 . Registrul N_1 lucrează în mod 2, iar N_2 , N_3 , N_4 și N_5 în mod 1. Pe toate intrările CLOK este aplicat același semnal sincron de 2. Aplicând la ieșiri cîte un circuit inversor rezultă atît semnalul direct cît și cel inversat. În figura 4.16,b sunt date diagramele în timp ale semnalelor de ieșire OUT 2, OUT 3, OUT 4 și OUT 5 și valoarea factorului de comandă f_c .

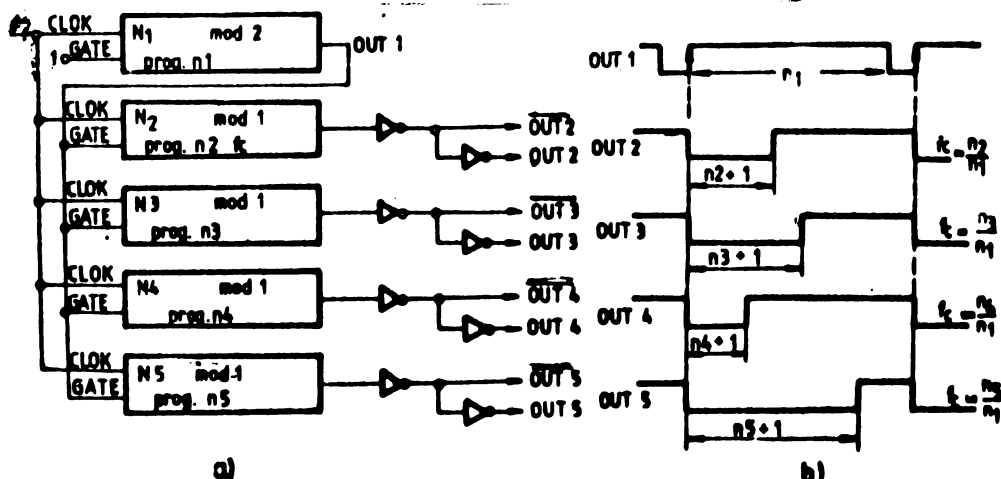


Fig.4.16. Scheme de conectare și diagramele impulsurilor pentru comanda a patru motoare.

- 5 -

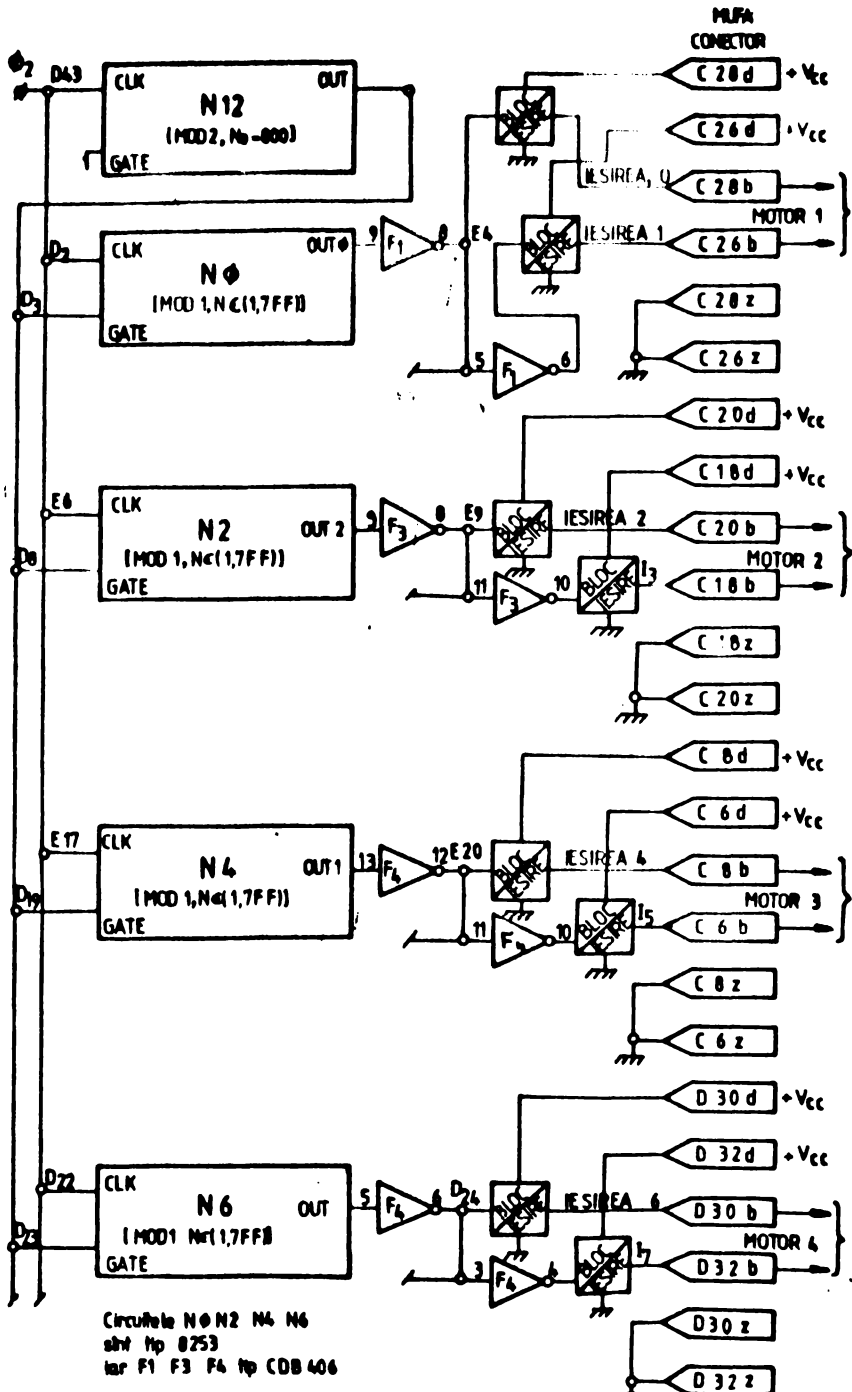


Fig. 4.17. Schéma elektrickej programatiky s modulom STGI.

In figura 4.11 se prezintă plecheta modului NGI iar în figura 4.17 schema electrică programată a modului NGI. Pe schema electrică sunt notate și bornele mufei conector de ieșire a plechetei la care se aduc tensiunile de alimentare ale motoarelor precum și bornele la care se conectează cele patru motoare de acționare ale robotului.

4.3.4. Circuite și dispozitive auxiliare SEFAMCC

În echipamentul SEFAMCC sunt conectate următoarele dispozitive auxiliare: terminalul DAF lool și testatura MICRO - SWITCH 75 SW 12 și imprimanta AER 5632.

Dispozitivul DAF lool este un terminal destinat conexiiei cu calculatorul. Textul se transmite la microsistem în cod ISO printr-o interfață serie cu o viteză de 110 sau 300 bps. Sistemul cu μ P transmite mesajele afișate pe ecran [6]. Afisarea informației se poate face numeric, grafic și grafic alfanumerice. Frevenția de regenerare a imaginii este de 50 cadre/secunde. Operatorul și microsistemul disponă de 24 operații pentru redactarea, transmiterea mesajelor și comutarea regimurilor. Operatorul poate stabili 5 regimuri de funcționare prin comutare [26].

În locul acestui terminal se poate conecta dispozitivul DAF 2ole. Această terminală alfanumerică, semigrafică, constituie pe o structură cu microprocesor care, sub controlul firmware-ului rezident într-o memorie PROM, permite: introducerea, prelucrarea, transmiterea și receptarea informațiilor. El este conectat la microsistem direct sau prin modem, ca terminal de tip ASCII, schimbul de date făcindu-se asincron sau sincron. Transferul de informații se face în timp real, iar sincronizarea cu un sistem de intreruperi tratează secvențial [60].

Celelalte circuite auxiliare cuplate la echipamentul SEFAMCC în vederea realizării acțiunării motoarelor electrice de curent continuu, existante de microprocesor sunt: traductorul de turatie, blocul de intrare, registrul tempor, blocul de ieșire, blocul de acționare, blocul defazor și surse de putere.

Traductorul de turatie este un traductor numeric realizat pe principiu optic bcc - fontă - fototransistor. Impulsurile

date de trădutor sunt obținute pe două canale separate, ele rezultând de la un sistem dublu de fetotransistor, pentru a se putea sesiza sensul de rotație a motorului. Pe axul motorului este prevăzut un disc opac cu un număr de fante stabilite în funcție de precizia necesară măsurării turării.

Trădutorul de turărie a motorului este realizat dintr-un disc cu fante prin care trece impulsul luminos, de la un bec, care este captat de un fototransistor. Numărul de fante ale discului poate fi mai mic sau egal cu 20 pentru o turărie de 3000 de rot/min. În acest caz se va obține o poziționare teoretică a rotorului cu o eroare de 18 grade. Pentru a se putea stabili sensul de rotație spre dreapta sau spre stînga au fost montate două becuri și două fototransistoare captoare de tipul HCIL 31. Discul este prevăzut cu patru fante, asigurind o precizie a poziției rotorului cu plus-minus 90° . Discul și poziția celor două fototransistoare A_1 și B_1 sunt reprezentate în figura 4.18.

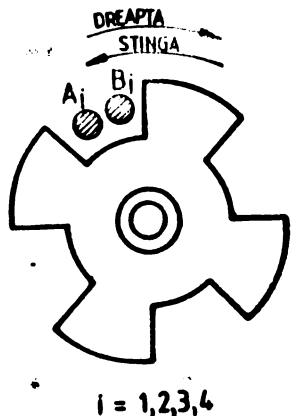


Fig.4.18. Discul trădutorului de turărie. În ambele cazuri frontal posterior al semnalului este format prin semnalul de sincronizare 1 A.

Impulsurile generate de trădutorul numeric, purtătoare de informații privind viteză de rotație și sensul, sunt generate într-un circuit formator, realizat cu porti logice TTL de tipul CDB 413, după care sunt introduse în registrul tempor care este o memorie de dimensiuni reduse, nu lucrează pe semnalul de orologiu a microsistemu lui și poate păstra un timp predeterminat, informația utilă rezultată de la trăduc-

In figura 4.19,a, este reprezentat modul de formare a impulsurilor de comandă și control, pentru sensul de mers spre dreapta ilind semnificative impulsurile generate de celula B, rezultând impulsurile CU. In figura 4.19,b, sunt reprezentate impulsurile pentru sensul de mers spre stînga, semnificative ilind impulsurile generate de celule A și rezultând

semnalul CD la mersul spre stînga.

In ambele cazuri frontul posterior

torul mecanic. Registrul tampon sau circuitul de zăvorire are rolul de a păstra impulsurile generate de fototranzișto-

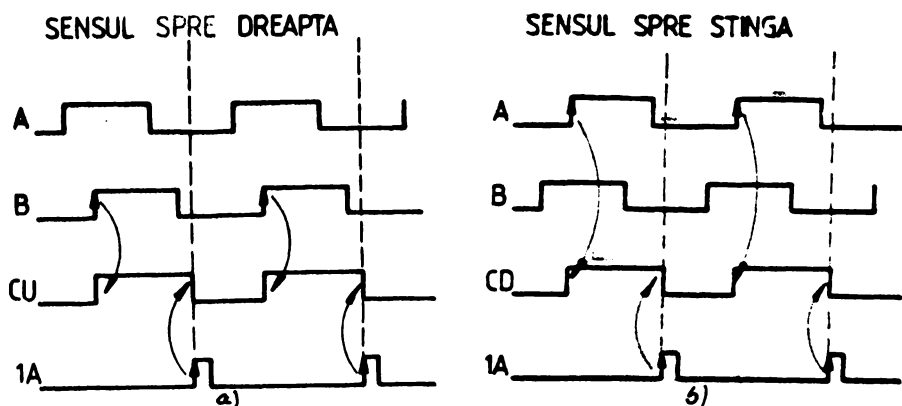


Fig.4.19. Impulsurile trădutorului de turăcie.

ro în văzerea numărărilor corecte. Deoarece nu prelucrează suficient de rapid impulsurile determinate de trădutorul numeric, unele din acestea pot fi pierdute. Soluția înălăturării acestui neajuns se face prin registrul tampon, iar ilustrarea modului de detectie este prezentată în figura 4.20.

In figura 4.20,a, este reprezentat semnalul de intrare (impulsurile de la trădutorul numeric). In figura 4.20,b,

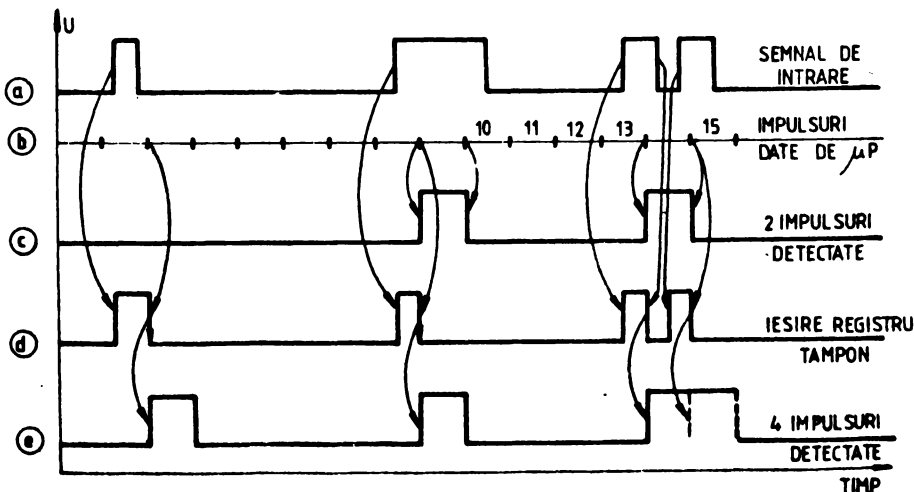


Fig.4.20. Diagrama detectării impulsurilor cu și fără registru tampon.

sunt figurate impulsurile de tact ale microprocesorului. În cazul lipsei registrului tempon μ P detectează doar două impulzuri (fig.4.20,c), iar dacă registrul tempon există, la ieșirea lui rezultă impulzurile ilustrate în figura 4.20,d. Rezulta că utilizarea registrului tempon conduce la detecțarea corectă a semnalului de intrare, respectiv la detecțarea a patru impulzuri după cum se observă în figura 4.20,e.

Registrul tempon este realizat cu circuitul CDB 474, care conține două bistabile tip D cu comutări pe front [117]. Pentru comanda căilor patru motoare ale robotului sunt necesare patru canale de tip traductor-formator-registrul tempon a căror schema electrică se prezintă în figura 4.21.

În figura 4.21 sunt marcate bornele de intrare de la traductor și cele de ieșire spre micsistem precum și semnalele de intrare pentru cele patru motoare ale robotului.

Impulsurile de ieșire din registrul tempon își formează frontul anterior din frontul crescător al impulsului de ieșire din tractor, iar frontul posterior din frontul crescător al semnalului de sincronizare de repunere a registrului. Acest lucru este ilustrat în figura 4.22.

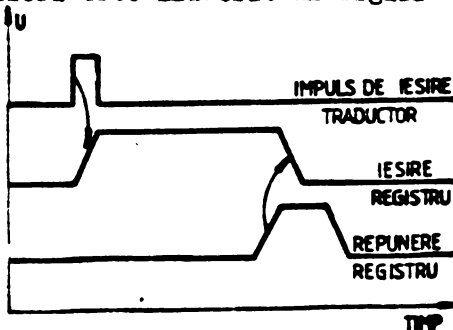


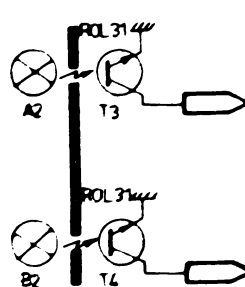
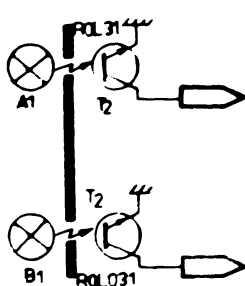
Fig.4.22. Formarea impulsului de ieșire.

Semnalele rezultate din registrul tempon sunt aplicate blocului de intrare ce realizează cuplarea galvenică între lantul circuitelor de intrare și circuitele 253. Cuplarea se face prin optocuplare ie tipul HP2531.

Blocul de intrare, reprezentat în figura 4.23 pentru două canale, realizează izolare galvenică prin elemente optoelectronice BI de tipul HP 2531 a intrările CLOCK și GATE a primelor 12 registre (R0 - R11).

- 61 -

TRADUCTOR IMPULSURI



TRADUCTOR IMPULSURI

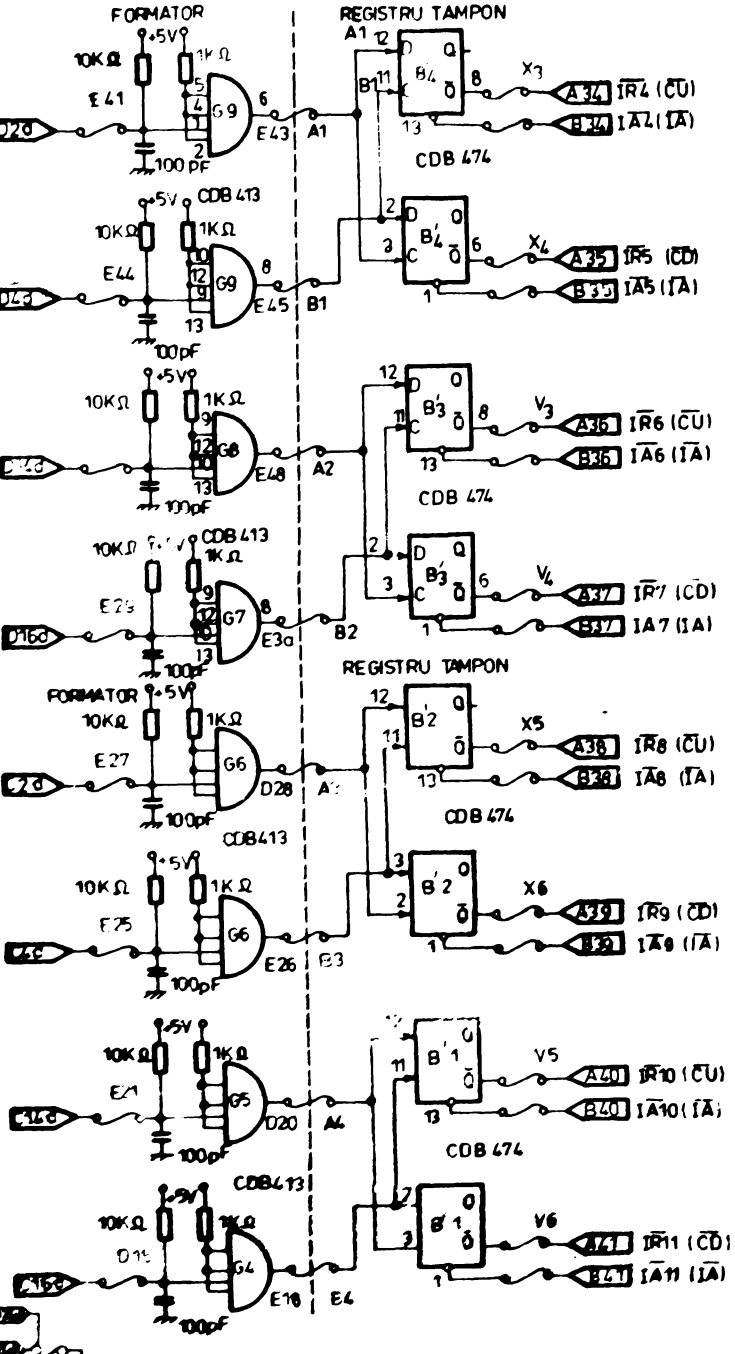
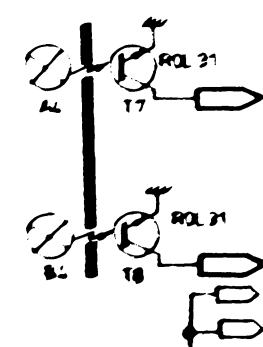
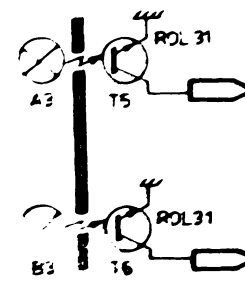


Fig. 4.21. Schéma électrique à circuit intégré traducteur - formator - registre tampon.

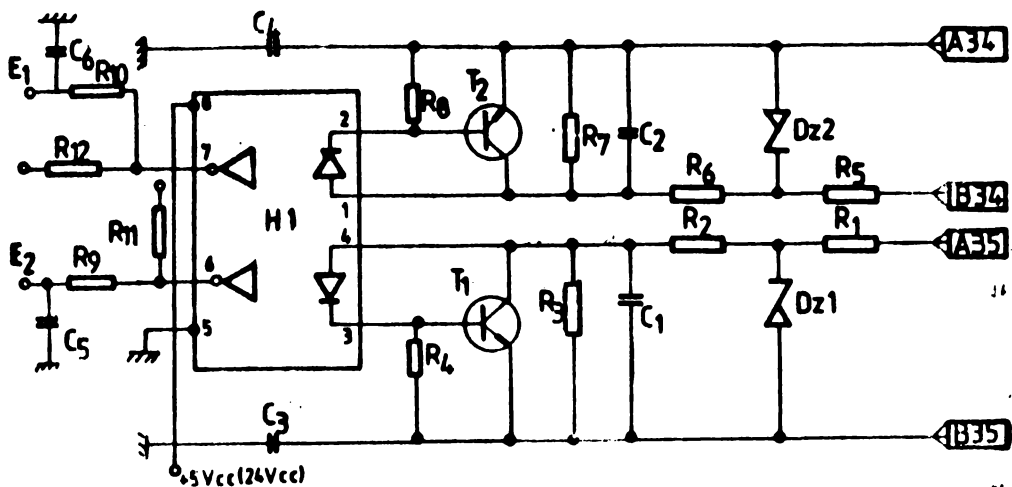


Fig.4.23. Blocul de intrare pentru 2 canale.

Cele 12 registre R0 - R11 au 18 intrări și anume CLOCK 0 = CLOCK 11 și GATE 0,2,4,6,8,10, grupate cîte două. Celelalte intrări sunt comandate numai intern. Figure 4.23 se referă doar la 12 canale (intrări) din cele 18 care sunt accesibile, realizind 18 astfel de linii de intrare. Încărcarea liniei de intrare conține cîte un stabilizator format din dioda Zenner Dz1 (Dz2) și rezistență R1 (R5), un filtru RC format din condensatorul C1 (C2) și rezistență R2(R6); opțional o rezistență R3 (R7) pentru filtrarea semnalelor parasite, în cazul comenziilor prin releu; un regulator de tensiune realizat cu transistorul T1 (T2) și cu rezistență R4 (R8) pentru limitarea curentului de intrare în optocuplător. Încărcarea liniei de intrare mai conține un filtru suplimentar RC, după optocuplător, realizat cu componentele R9 - C5 (R10 - C6) și un condensator C3 (C4) pentru tensiunile de mod comun. Intrările sunt la bornele A-34 și B-34 (A 35 - B 35), iar ieșirea se poate face direct la borna E 1 (E 2) sau pe rezistență R12 (R11). Tensiunea de alimentare poate fi 5 V c.c. (20 mA) sau 24 V c.c. (40 mA).

In figura 4.24 se prezintă schéma electrică a blocului de intrare pentru două canale, respectiv pentru două motoare ale robotului.

Conform schemei bloc din figura 4.9, impulsurile pentru

acționarea unui motor electric rezultă la ieșirea modulu-lui NGI parcurs circuitele : blocul de ieșire - circuitul de fazor - motor.

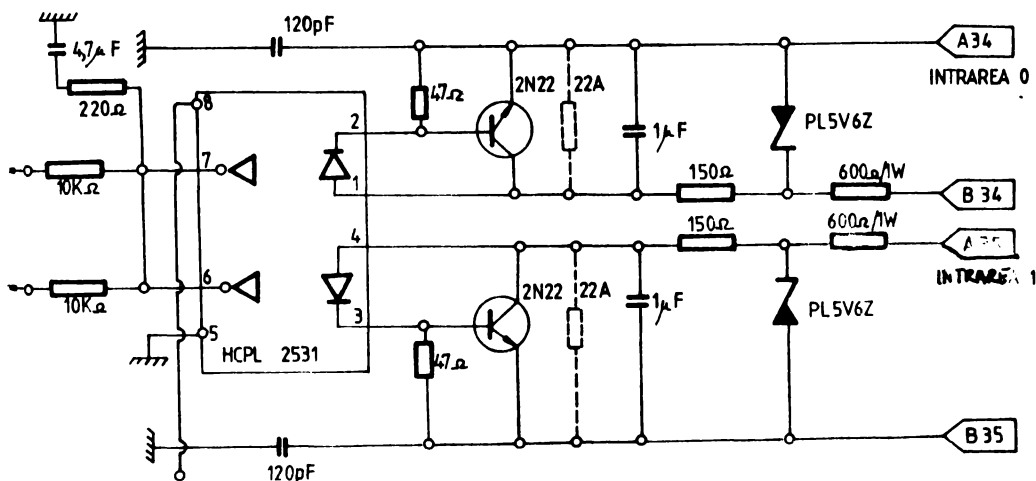


Fig. 4.24. Schema electrică a blocului de intrare pentru două canale.

Blocul de ieșire realizează izolare galvanică a ieșirilor OUT pentru elemente optoelectronice. În figura 4.25 este prezentată schema electrică principală a blocului de ieșire

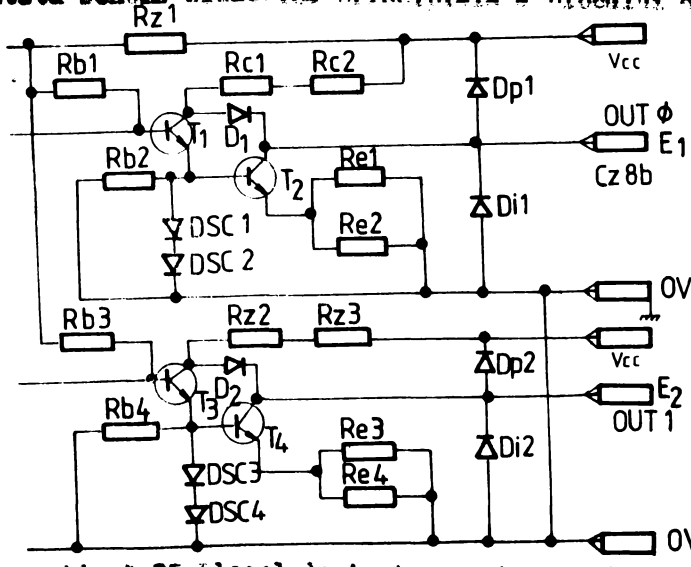


Fig. 4.25. Blocul de ieșire pentru două canale.

pentru două canale (ieșiri) OUT 0 și OUT 1. Optocouplerul H_2 este de tipul HP 2531.

Piecare canal sau linie de ieșire conține: etajul final al semnalului de comandă pentru variabilele din proces; un stabilizator parametric pentru două canale necesar amplificării optocouplelor; circuite de protecție la sarcini inductive, la conectarea inversă a tensiunii externe și la suprascină pe ieșire. Alimentarea etajelor de ieșire se poate face la 5 V, 24 V sau 28 V. Piecare din cele 12 ieșiri ale registrelor Ro-Rll, pot fi alimentate fie cu aceeași tensiune fie cu tensiuni de valori diferite.

Stabilizatorul parametric care asigură + 15 V pentru optocouplare este prevăzut cu rezistențe de balast R₁₁ (sau R₂₂, R₃₃), a cărei valoare depinde de tensiunea de alimentare. Diode Zener D₂ pot să fie străpătă, iar condensatoarele C₂ și C₃ asigură filtrarea tensiunii. Pentru ieșirile OUT 0 stabilizatorul se compune din transistoarele T₁ și T₂ ce sunt polarizate de rezistențele R_{b1} și R_{b2}, protecția la conectarea inversă a tensiunii externe se realizează cu dioda D_{p1}. Ieșirile E₁ și E₂, fiind de tipul "open-collector", sarcina poate fi comandată atât în curent cât și în tensiune. Când avem ieșire în curent se montează dioda D_{p1} (D_{p2}), iar dacă ieșirea este în tensiune se va monta o rezistență. Dacă se dorește o protecție la tensiunile de nod comun cu fronturi mai abrupte se poate introduce condensatorul C₁ între masa blocului logic și masa blocului de ieșire.

Blocul de ieșire realizează separarea galvanică între SEPANBCC și circuitele de putere. Isolare galvanică se realizează tot prin optocouplare de tipul HP 2531. Schema electrică completă a blocului de ieșire pentru două canale este redată în figura 4.26.

Alimentarea blocului de ieșire se face de la tensiunea $V_{cc} = + 42 V_{cc}$.

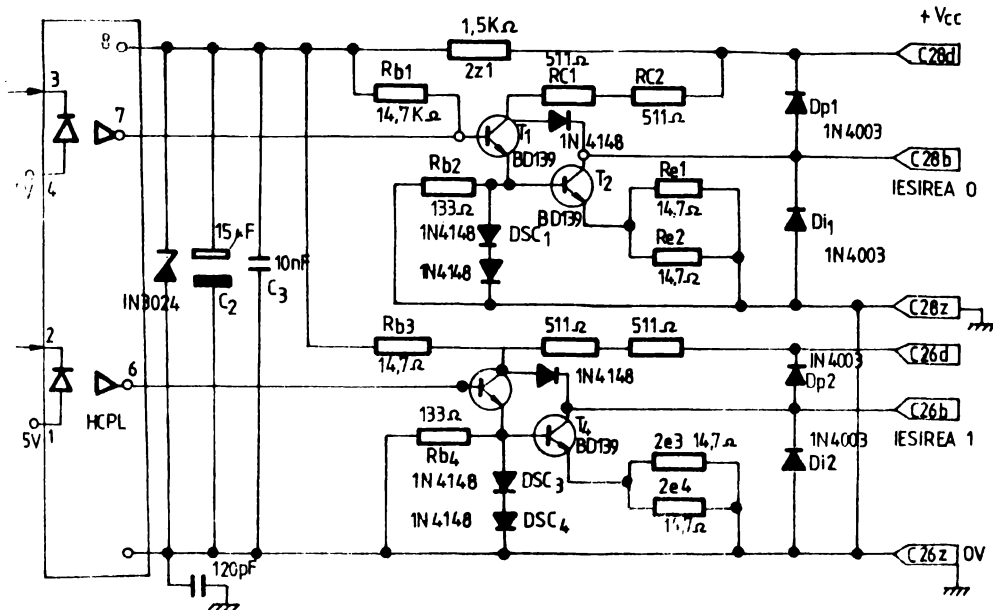


Fig.4.26. Schema electrică a blocului de ieșire pentru două canale.

In figura 4.27 se prezintă blocul intrării-ieșirii pentru acționarea celor patru motoare ale robotului.

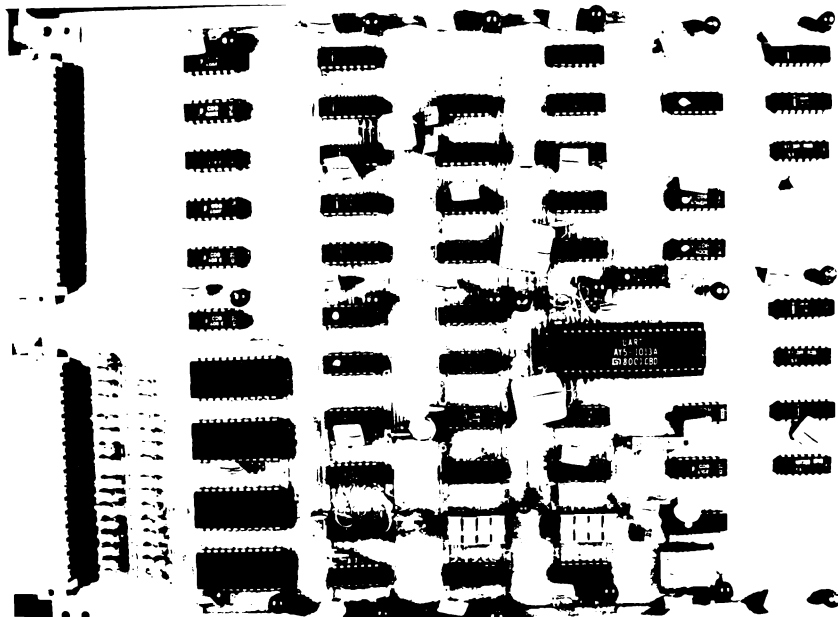


Fig.4.27. Blocul de intrări-ieșiri.

Circuitul defazor avind rolul de a întârzi impulsurile aplicate tranzistorilor în punte, care comandă motorul, este realizat cu monostabilul CDB4121. Declanșarea de la o tranziție „Jos – Sus” este realizată prin aplicarea impulsului de intrare pe pinul 5 (intrarea B). Intrarea B a triggerului Schmitt permite băncuirea monostabilului pentru semnalele de intrare cu durată de tranziție de ordinul 1 V/s. După declanșare, ieșirile sunt independente de tranzițiile ulterioare ale semnalelor de intrare și depind numai de constanța de timp [117]. Schema electrică a circuitului defazor este prezentată în figura 4.28.

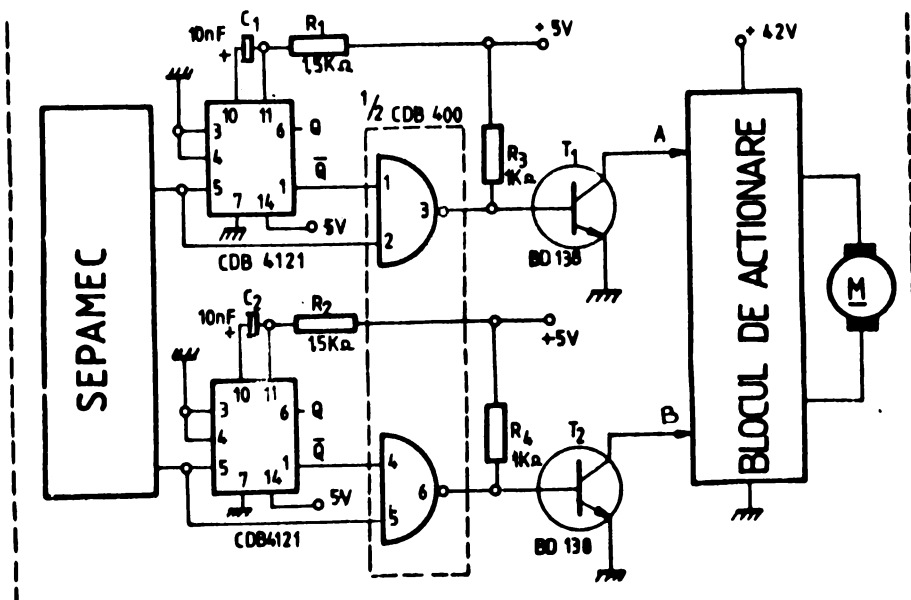


Fig.4.28. Schema electrică a circuitului defazor.

Circuitul defazor este intercalat între blocul de ieșire și echipamentului SEPAMECC și blocul de acționare. În vederea obținerii unor impulsuri de ieșire cu o durată precisă repetabilă, se conectează între pinii 11 și 14 și circuitului o rezistență externă $R_1 = 1,5 \text{ k}\Omega$, pinul 9 fiind în gol. Între pinii 10 și 11 se conectează un condensator electrolitic $C_1 = 10 \text{ nF}$.

Durata impulsului de ieșire este dată de relația : [53]

$$t_1 \approx C_1 R_1 \ln 2$$

Iesirile A și B din circuitul defazor, figura 4.28, se fac la colectorul a două tranzistoare T_1 și T_2 de tip BD138, care atacă bazele transisitoarelor din blocul de acționare.

Blocul de acționare realizează acționarea în patru cadre-ne a motorului electric de curent continuu utilizând un montaj în punte cu tranzistoare. Funcție de putere motorului, fiecare latură a punții este formată dintr-un tranzistor de putere 2N3055 sau mai multe în paralel și protejate printr-o diodă rapidă de putere de tip DR6 [77].

Impulsurile de comandă modulate în durată, din circuitul de fazor, rezultate la bornele A și B se aplică printr-un tranzistor inversor tip BD140 pe baza transisitorului de putere ce va lucra în regim de comutare [110]. Schema electrică a blocului de acționare este dată în figura 4.29. Tranzistorii de putere și dioda de protecție sunt montate pe radiatoare.

Blocul de acționare este alimentat de la o sursă de tensiune stabilizată de 42 V cu limitare de curent la 10 A.

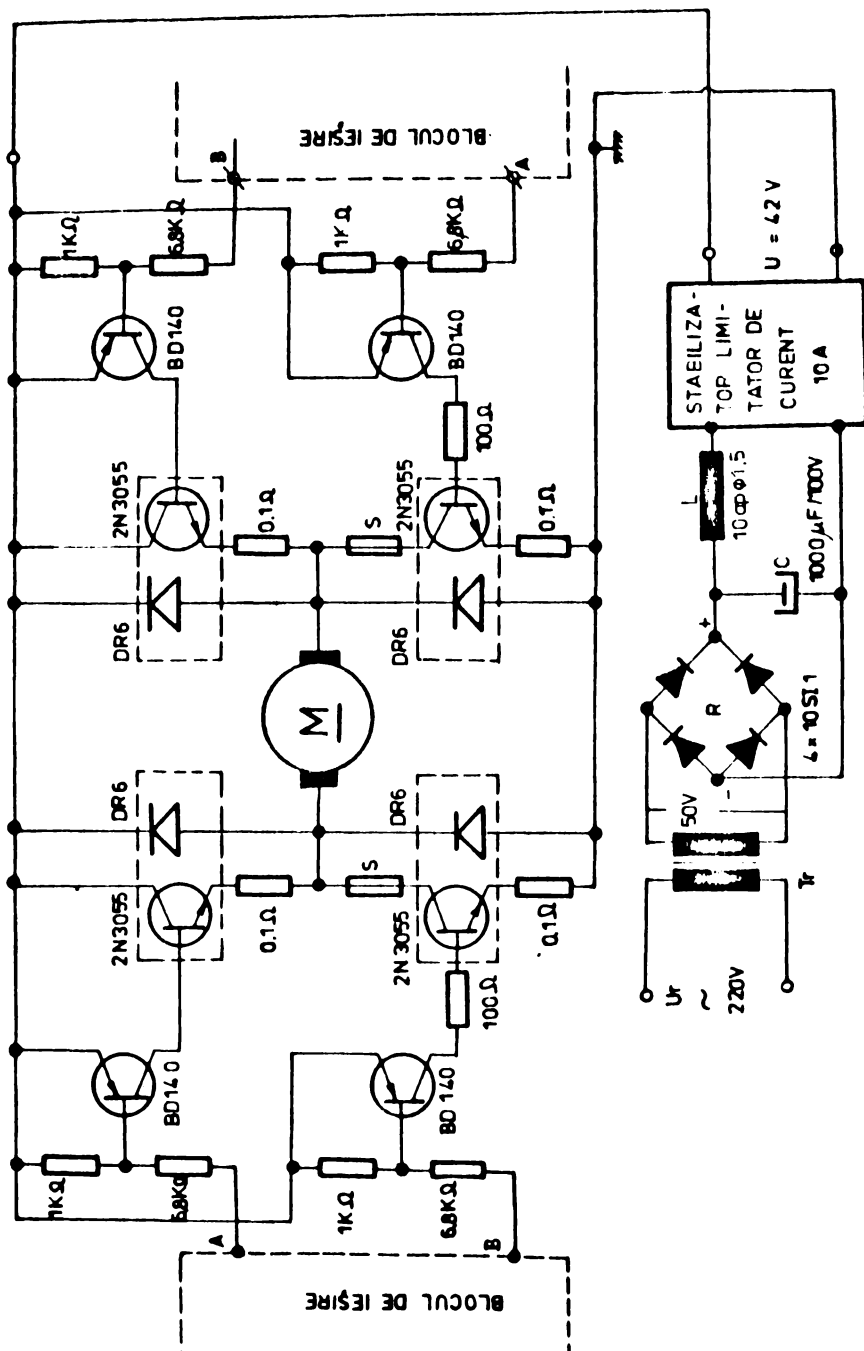


Fig.4.29. Schema electrică a blocului de acționare.

5. PROGRAMAREA MICROSISTEMILOR PENTRU REALIZAREA DIAGRAMELOR DE MISCARĘ

S-au elaborat programe pentru cele trei microsisteme : - WANG; - MICROPROG 228 și - SEPAMICC, care comandă motorul de curent continuu în vederea implementării unor diagrame de mișcare.

5.1. Programarea calculatorului WANG.

Programarea calculatorului WANG se face prin trei programe : A_1 - de sincronizare; A_2 - de testare a vitezei și A_3 - de testare a motorului.

Programul de sincronizare A_1 , fixează timpul necesar atingerii vitezei nominale. El a fost întocmit pe baza schemei de tranziție a stărilor, prezentată în figura 5.1.

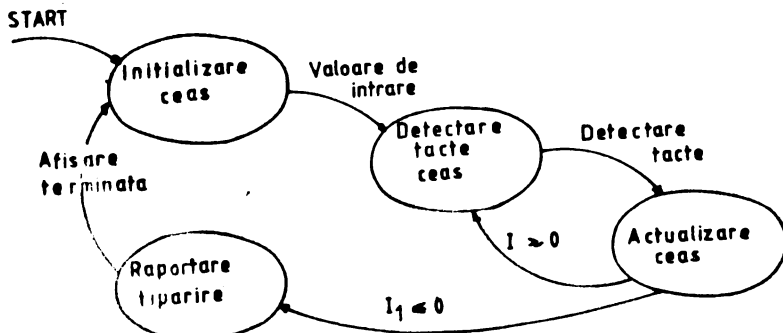


Fig.5.1. Schema de tranziție a programului de sincronizare.

Programul a fost întocmit pe baza schemei logice prezentată în figura 5.2.

Programul începe cerind utilizatorului introducerea numărului de tacte ale sincronizatorului care trebuie să treacă înaintea elaborării unei raportări. Acest timp de așteptare este necesar pentru ca motorul să ajungă la o viteză constantă. Reportarea este un mesaj tipărit sau afișat de către terminal, imprimată sau display, că timpul a trecut ("Timp terminat").

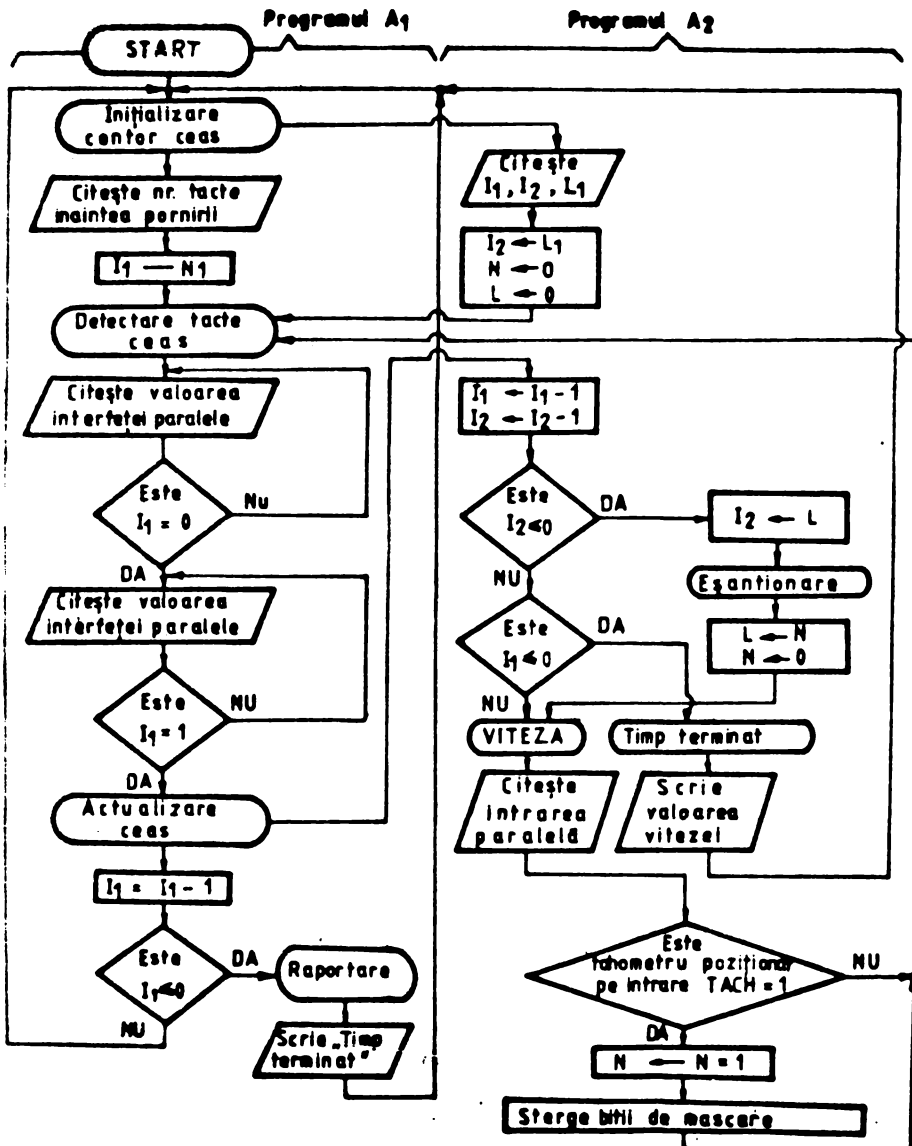


fig.5.2. Schema logică a programului de sincronizare.

Frecvența sincronizatorului este redusă, ca programul să înceapă căutarea unei tranziții nivel jos-nivel sus, a impulsului, înainte ca acesta să fi evit loc. După detectarea unui tact, modulul "Actualizare ceas" decrementeză cu o unitate.

numărul de tace I_1 , compunând spații valoare cu zero. Dacă I_1 nu este zero, modulul de detectie a tactelor așteaptă tactul următor. Dacă $I_1 \leq 0$ se efectuează raportarea la numărul de impulsuri culese din tachometru, făcindu-se în acest fel un control al vitezei motorului în timp real.

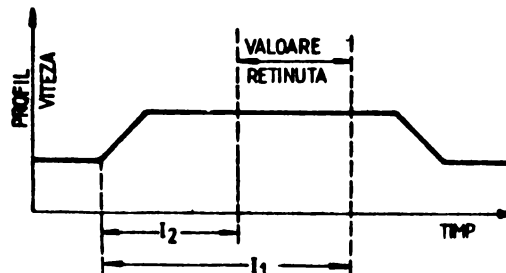
Programul în extensie este dat în anexa 5.

Programul A_2 de implementare a algoritmului de calcul al vitezei se bazează pe numărarea impulsurilor date de discul cu fante într-o perioadă de timp stabilită și viteză de rotație a motorului în : rotații/minut - obținută din înmulțirea valorii anterioare cu raportul număr impulsuri tact/minut. Algoritmul a fost astfel proiectat încât să eșantioneze repetat viteză motorului, dar să comunice utilizatorului numai ultimul eșantion lăsat pentru a nu include și faza de accelerare. Figura 5.3 stabilește relația temporală între impulsul de sincronizare I_1 și impulsul de sincronizare a turării I_2 , pe profilul de viteză a motorului, determinând valoarea reținută. De fiecare dată cînd programul primește un tact al sincronizării externe, reduse ambele variabile de sincronizare I_1 și I_2 cu o unitate. Dacă nici o variabilă nu este zero, programul consideră impulsul de intrare dat de tachometru. Dacă I_2 este redus la zero în

blocul actualizare ceas, programul consideră impulsul de intrare dat de tachometru. Dacă I_1 este zero, programul intră în stare "Timp terminat" și tipărește ultima valoare a numărului de impulsuri L (corespunzătoare valoii vitezei) după care reintră în stare inițială.

Fig.5.3. Modul de sincronizare a impulsurilor I_1 și I_2 .
ține valoarea curentă într-o variabilă L . Dacă I_1 este zero, programul intră în stare "Timp terminat" și tipărește ultima valoare a numărului de impulsuri L (corespunzătoare valoii vitezei) după care reintră în stare inițială.

Programul de testare a vitezei - A_2 - a fost elaborat pe baza schemei logice din figura 5.2 și este dat în extensie în anexa 6. Acest program cere utilizatorului să introducă următoarele valori: timpul de testare, frecvența de eșantionare, frecvența și factorul de comandă a impulsurilor de



acționare a motorului.

Programul - A_3 - de test al motorului adaugă stările de motor oprit și motor pornit. Intrarea în program se face la starea motor oprit, pentru a putea permite utilizatorului să introducă parametrii testului. Aceștia sunt : 1) frecvența generatorului de test (sincronizare) extern, în Hz; 2) lungimea intervalului de timp pentru testare, în secunde; 3) timpul de eșantionare, în secunde; 4) frecvența impulsurilor de comandă a motorului, în Hz; 5) factorul de comandă, în %.

După comanda START, motorul pornește lucrind cu viteză impusă de condițiile initiale. La sfârșitul timpului de testare viteză este afișată și motorul se oprește.

Programul - A_3 - este dat în extensie în anexa 7.

5.2. Programarea microsistemului MICROPROG 228

Din sistemul de programe al echipamentului MICROPROG 228 se utilizează următoarele componente:

- „ A_1 ” și „ A_2 ” care permit programarea mărimii analogice de pe canalul A_1 , respectiv A_2 .

- „ St ” care permite programarea lansării în execuție automată a programelor „ A_1 ” și „ A_2 ”.

- „MA” care permite variația celor 2 ieșiri analogice în regim analan direct de la tastatura echipamentului.

Pentru programarea unei mărimi analogice se aproximează variația acesteia prin segmentele de dreaptă cu o eroare de neliniaritate impusă, reținindu-se periochile dădate „timp-valoare”. Prin „nod” se înțelege punctul de pe curvă în care se intersectează două segmente slăturate. În timpul programării se folosesc cele 23 taste, cele 12 celule de afișare, cele 25 de leduri, precum și cheia de regim RUN/PROG, toate dispuse pe panoul frontal al echipamentului.

În figura 5.4. se prezintă două diagrame de mișcare cu reprezentarea corespunzătoare a variației în timp a spațiului lui S, vitezei V și acelerării a.

În figura 5.4,a. este prezentată o diagramă de mișcare implementată pe canalul analogic A1 având un spațiu de acce-

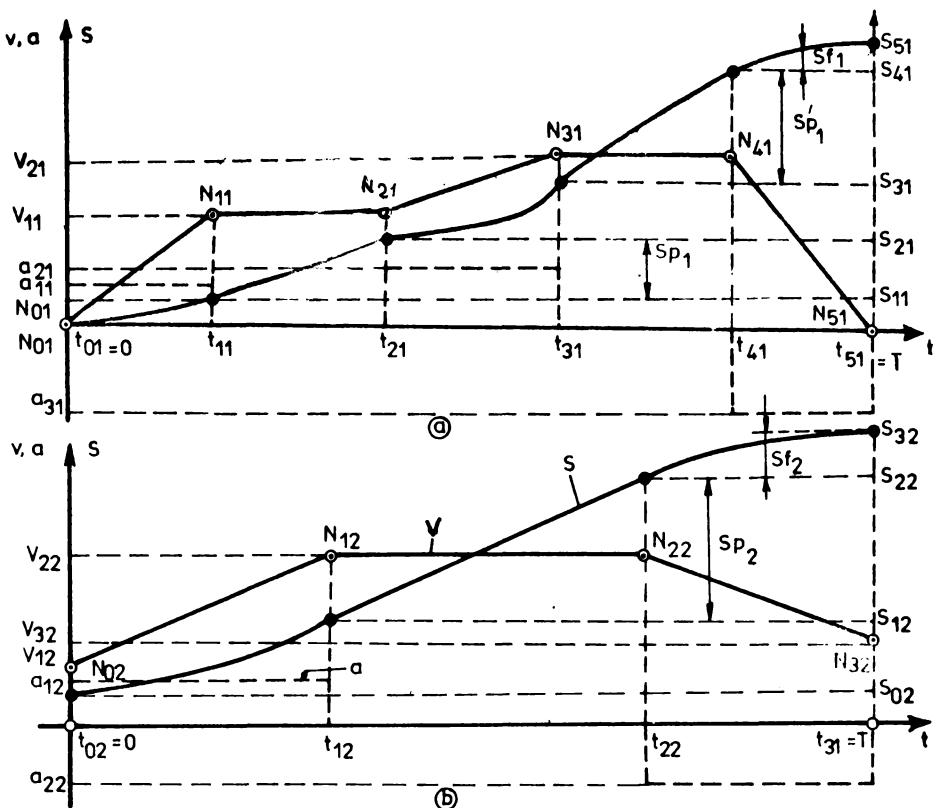


Fig.5.4. Diagramme de mișcare implementată.

Ierere $S_{11} = S_{11}$; un spațiu parcurs cu viteză constantă $s_{11} = s_{21} = S_{11}$; un nou spațiu de accelerare $s_{31} = s_{21}$; un nou spațiu parcurs în viteză constantă $s_{41} = s_{31} - s_{11}$ și un spațiu de frânare $s_{51} = S_{51} - S_{41}$. Acestei variații în timp a spațiului îi corespunde o diagramă a vitezei formată din segmente de dreptă duse între nodurile $N_{01} - N_{11}$ și o diagramă a accelerării de tip treptă, de valori a_{11}, a_{21} și a_{31} .

Programarea profilului de viteză din figuri 5.4, a se face prin testele „ A_1 ” și „ ENT ”, înscriindu-se timpul și tensiunile pentru fiecare din nodurile: $N_{01}(t_{01}, v_{01}); N_{11}(t_{11}, v_{11})$; $N_{21}(t_{21}, v_{11})$; $N_{31}(t_{31}, v_{21})$; $N_{41}(t_{41}, v_{21})$; $N_{51}(t_{51}, v_{01})$.

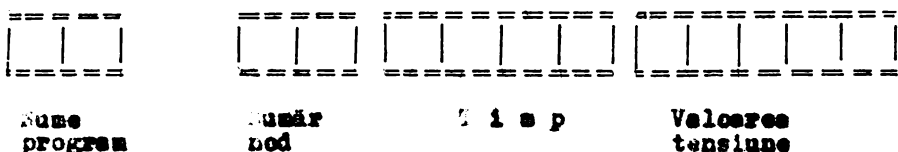
Programarea canalului A_2 prin operările testelor A_2 și ENT ,

cu înscrisele valorilor timp tensiune ale nodurilor:

$N_{02}(t_{02}, V_{12})$; $N_{12}(t_{12}, V_{22})$; $N_{22}(t_{22}, V_{22})$; $N_{32}(t_{32}, V_{32})$, se face pentru deplasarea din figura 5.4,b, caracterizată prin diagrame de tip treptă și accelerată a, căruia îi corespund diagrame V și S a vitezelui și S a spațialului.

Capacitatea programelor este definită între 1 și 99 număr de noduri pentru canalul analogic A_1 și între 0 și 99 număr de noduri pentru canalul analogic A_2 . Programele pentru cele două ieșiri analogice se pot relua de un număr de ori cuprins între 1 și 99.

Semnificația cișmărilor afișajului în timpul operării sub control programului A_1 respectiv A_2 este următoarea:



5.3. Implementarea acțiunărilor cu motoare de c.c. prin SEPAMECC

Prin microsistemu SEPAMECC se reglează automat în mod incremental (prin deplasări elementare) poziția motorului de curent continuu.

Schimb principală de reglare incrementală este dată în figura 5.5, în care se scot în evidență SEPAMECC ca bloc multifuncțional, motorul de c.c. și traductorul numeric de poziție.

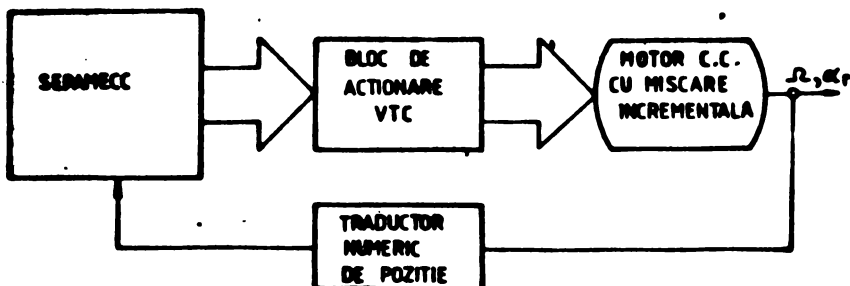


Fig.5.5. Sistemul de reglare incrementală a poziției.

Elementele de referință ale mișcării sint date de: poziție sau spațiu, reprezentate prin numărul de incremente de deplasare S_0 ; acelerare de pornire a_1 ; viteza maximă atinsă v_1 ; acelerare de frânare a_2 ; viteza finală v_2 ; viteza de succesiune a incrementelor, respectiv numărul de fante ale trădutorului și creșterea de poziționare ε .

În dimensionarea acțiunărilor electrice cu motoare de c.c. urmărind poziționarea punct cu punct intermitentă, cu ciclu de viteză, se ține seama de următorii factori [42, 74] :

- profilul de viteză impus;
- acordarea reportului de transmisie motor-sarcină;
- durata minimă sau frecvența de repetare a ciclului de poziționare.

În toate cazurile se urmărește ca solicitarea termică a indușului să nu depășească limitele admise, fapt pentru care se calculează energia termică dezvoltată în induș E_d , pe durata unui ciclu de poziționare t_c :

$$E_d = \int_0^{t_c} R_A I_A^2(t) dt = \frac{R_A}{c^2} \int_0^{t_c} (M_R + J \frac{d\Omega}{dt})^2 dt \quad (5.1)$$

sau:

$$E_d = \frac{R_A}{c^2} \left[\int_0^{t_c} I_A^2 dt + \int_0^{t_c} 2M_R Ja(t) dt + \int_0^{t_c} J^2 a^2(t) dt \right] \quad (5.2)$$

unde prin $a(t) = \frac{d\Omega}{dt}$ s-a notat aceleratia unghiulară.

În mareă majoritate a aplicărilor ciclul de poziționare, reprezentat prin curbele $S(t)$, $\Omega(t)$ sau $v(t)$ și $a(t)$, are o formă simetrică pe durata unui ciclu $0 - t_c$. În acest caz diagrama acelerării $a(t)$ are o porțiune de aria pozitivă egală cu una negativă. Rezultă atunci că termenul din mijloc al expresiei (5.2) este nul, rezultând pentru energie termică:

$$E_d = \frac{R_A}{c^2} \left[M_R^2 t_c + J^2 \int_0^{t_c} a^2(t) dt \right] \quad (5.2')$$

Exprimia (5.2') este valabilă pentru aplicatii cu $M_R =$ constant, frecuri viscoase mici și în ipoteza $\int_0^t c \cdot a(t) dt = 0$

Diagramme de mișcare reprezintă o legătură funcțională în timp între parametrii: (a, v, Ω, s, α) = $f(t)$.

Sunt cunoscute profilele de viteză: dreptunghiular, parabolic, trapezoidal și triangulare [13,48] cu intervalele t_a - de accelerare, t_o - de mers cu viteză constantă și t_p - de pauză.

În REPAMCC se implementă diagramme de mișcare conform figurii 2.6, având un profil de viteză trapezoidal.

În figura 2.6 se reprezintă diagrama spațiului, vitezei, accelerării și a constantei de acțiune ΔK , precum și mărimele care intervin.

Din relația (2.18) rezultă:

$$U_A = c \cdot \Omega + (R_A + R) M \quad (5.3)$$

Iar din relația (2.5), rezultă:

$$M = M_R + J \cdot \frac{d \cdot \Omega}{dt}$$

Inlocuind în relația (5.3) valoarea cuplului electro-magnetic al mașinii electrice și neglijind cuplul de sarcină $M_K = 0$, rezultă:

$$U_A = c \cdot \Omega + \frac{R_A + R}{c} \cdot J \cdot \frac{d \cdot \Omega}{dt} \quad (5.4)$$

În ipoteza $c = \theta_0 = \text{constant}$, introducem notațiile:

$$\alpha = c = k \cdot \theta = K \cdot \theta_0 \quad \text{și},$$

$$\beta = J \cdot \frac{R_A + R}{c}$$

Rezultă că pentru obținerea unei diagramme de mișcare în care se impune viteză și accelerare este necesară o tensiune de alimentare:

$$U_A = \alpha \cdot v + \beta \cdot a$$

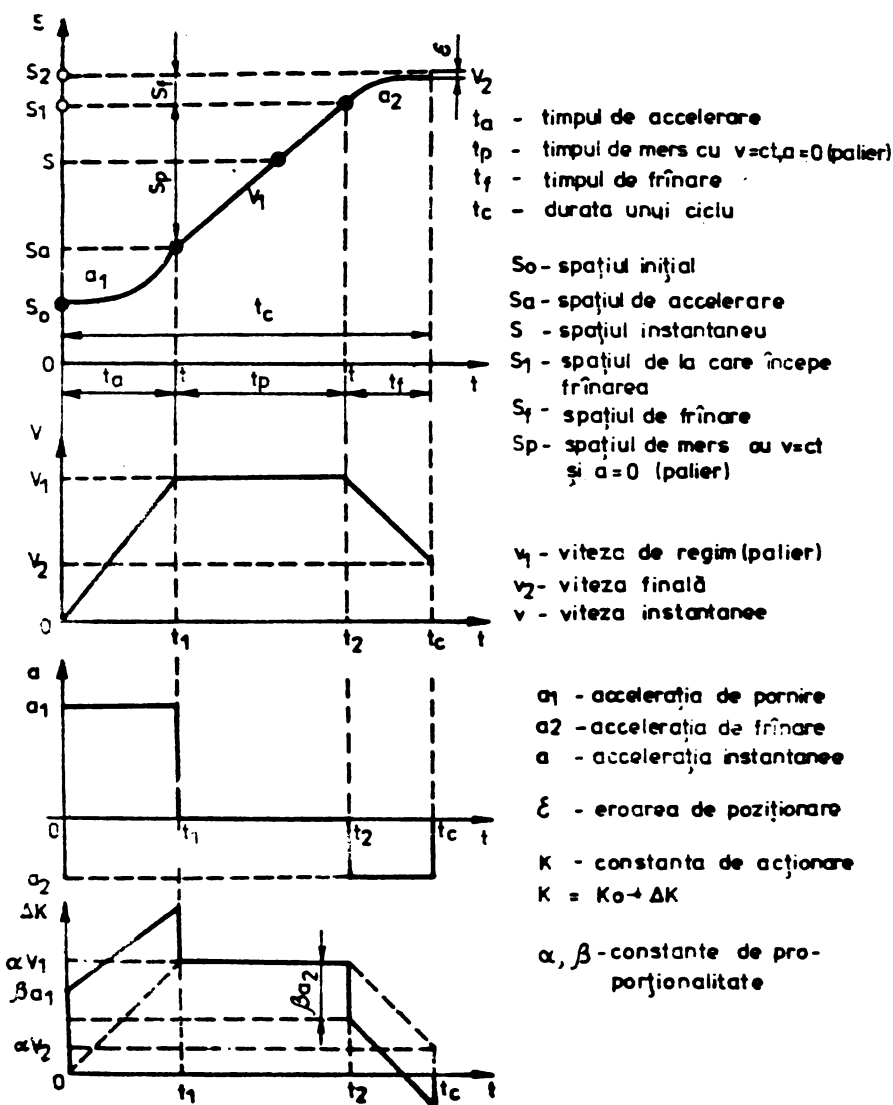


Fig.5.6. Diagrama de mișcare implementată.

Această vîltoare de tensiune o generează microsistemul CEPMECO calculind constante de acționare:

$$\Delta K = \frac{\alpha v + \beta a}{20} \quad (5.5)$$

Divizarea cu 20 rezultă din valourile impuse maxime pentru $\alpha v + \beta a < 5000$. Pentru introducerea în gamă 500, valoarea cu care sunt generate impulsurile de comandă ce au frecvență de 1 KHz, se adună valoarea $K_0 = 400$.

Rezultă valoarea constantei de acțiune :

$$K = \Delta K + K_0 \quad (5.6)$$

În proiectarea mișcării intermitente de poziționare se consideră cunoscute următoarele date ce se introduc de la consola terminalului:

- ε - eroarea de poziționare,
- α și β - constante de proporționalitate,
- S_2 - spațiul final parcurs pe durata unui ciclu t_c ,
- v_1 - viteza de regim (de palier),
- v_2 - viteza finală la sfârșitul ciclului,
- a_1 - acceleratia de pornire,
- a_2 - acceleratia de frânare.

Echipamentul SAPAMECC testeză în fiecare moment posibilea zotărului calculind spațiul necesar frânării în subroutines de acțiune **ACT**, conform relației :

$$S_f = \frac{v^2 - v_2^2}{2 a_2} \quad (5.7)$$

Optimizarea diagramei de mișcare se face în funcție de aceste date impuse, unde un rol determinant îl are viteza de palier v_1 care este viteza de lucru tehnologică, ce trebuie să fie menținută pe durata t_p .

Caracteristică poziționării incrementale este faptul că distanța programată S_2 se obține urmărind profilului de viteză impus. Se concepe astfel programul de simulare a acțiunilor, redat în subcap. 5.3, încit fiecare linie de program să realizeze un "pas" de deplasare, adică de la un spațiu S_0 la un spațiu S_2 .

Pozitionarea intermitentă de la o poziție la alta se face printr-o reglare discretă a poziției, pe durata unui ciclu de poziționare unde are loc o reglare continuă a vitezelor.

5.4. Programul de simulare și actionare

Modul de operare conține în : inițializarea sistemului de la panoul de comandă al echipamentului "SEPAMCC", apăsând scurt intrerupătorul "INIT". Pe ecranul terminalului DAF apare :

M . V.1.(Monitor versiunea 1).

Se apasă clește "G" a tastaturii, introducind adresa F o o o la care se află depus programul principal **PP** în memorie ROM. Comanda este : - G F o o o

Este spelat programul de încărcare **P I**, se execută transferul programului principal **PP**, aflat în memorie EEPROM la adresa F o o o, în zona de memorie RAM începînd de la adresa 200.

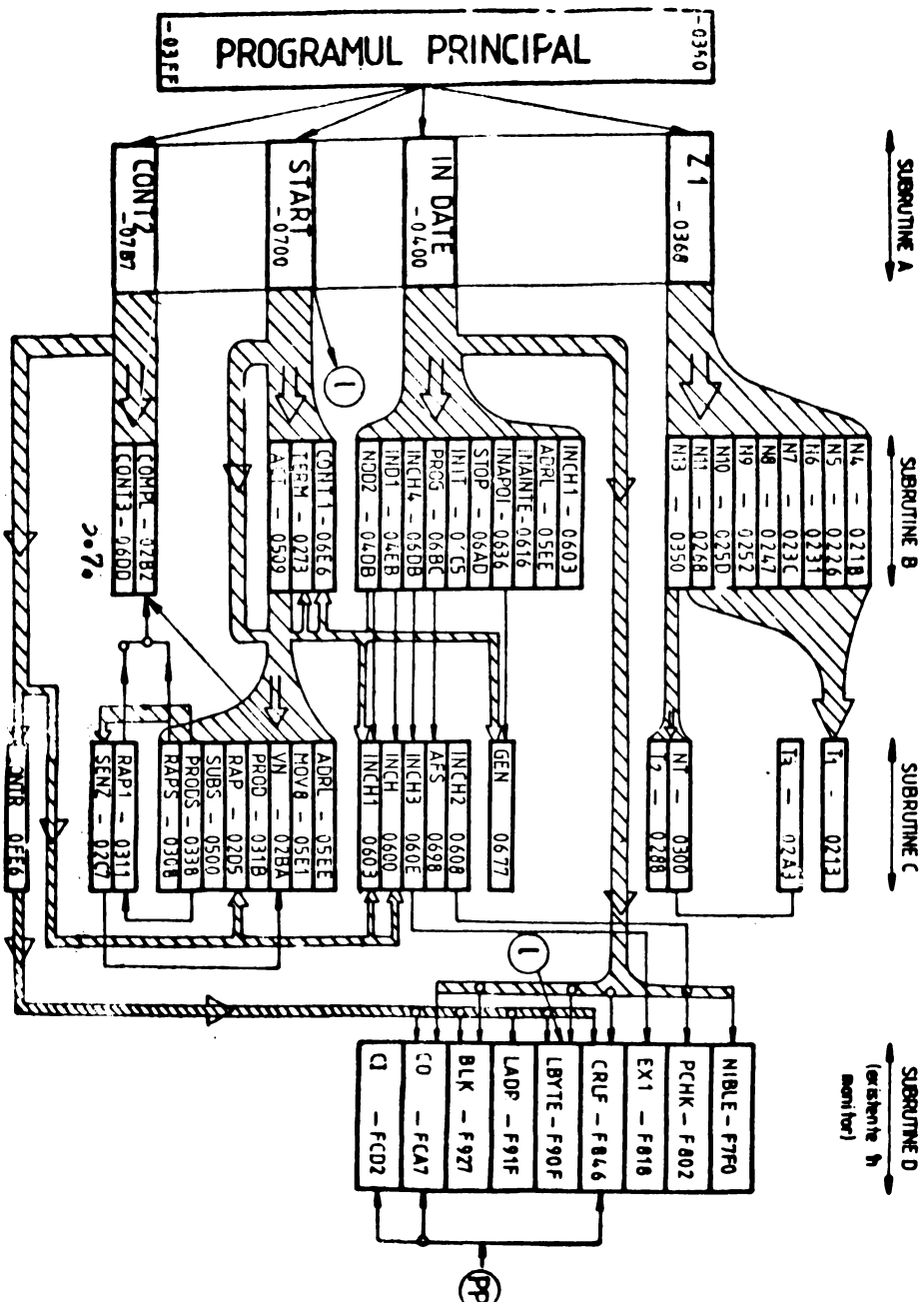
Programele elaborate se prezintă desfășurat conform capului de tabel :

Numărul pa- silor din program	CODUL mașină al ins- trucțiunilor (ASCII)	PROGRAMUL SURSA (scris în limbaj de asamblare) MNEMONICUL și ADRESA	COMENTARIU (cu referințe la setări de instrucțiuni și subrute- nele apelate)
-------------------------------------	--	---	---

Programul de încărcare **P I**

21	LXI H F000		
11	LXI D 0200	←	
7E	MOV A,M		
12	STAX D		
23	INX H		
13	INX D		
7A	MOV A,D		
FE	CPI 08		
C2	JNZ F006	—	
C3	JMP 0380	→ PP	

PP Programul principal începe la adresa 0380, se termină la adresa 03FF și conține un număr de 58 subrute-
ne grupate pe patru nivele A, B, C, D. Intreg programul de
simulare, mai puțin subrutele D ce sunt apelate din coni-



tor, este implantat de la adresa 200 la 07FF.

Biblioteca de subrutine elaborate și grupate pe cele patru nivele, ordinea de înălținare și adresele lor de implantare sint date in figura 5.7.

După cum rezultă din figura 5.7, în grupe subrutinelor tip A: este **Z₁**, o subrutină ce conține o listă a adreselor subrutinelor **N₄** - **N₁₅** pentru tratarea intreruperilor, subrutinelor de nivel B.

IN DATE - subrutină pentru introducerea datelor care apeleză alte subrutine de nivel B, C și D.

START - subrutină care declanșează acțiunarea, apelind la rândul ei alte subrutine de nivel B, C și pe **LENTE**.

CONT 2 - subrutină care tipărește, cu posibilitate de modificare a constantelor de acțiune. Această subrutină apeleză și ce alte subrutine de nivel B, C și D conform figurii 5.8.

După încărcarea programului principal pe ecranul terminalului apare simbolul "f", moment ce marchează inițializarea ceeașului de timp **CTR**.

In cadrul rubricii COMENTARIU s-au introdus următoarele însemne prin notatiile :

xxxx **NNNN** - nume de subrutină de nivel A, B, C existentă la adresa xxxx.

xxxx (xxxx) - nume de subrutină - de nivel D existentă în monitor la adresa xxxx.

(PP XX) sau (XX) - numărul pasului de program marcat pe schema bloc.

xxxx (Px) - numărul pasului de program aflat la adresa xxxx.

(“ ”), (“U”) - caracter alfa numeric, cu testă la consolă.

Programul de simulare a acționdrilor electrice cu motoare de curent continuu a fost întocmit pe baza schemei logice prezentate in figura 5.8.

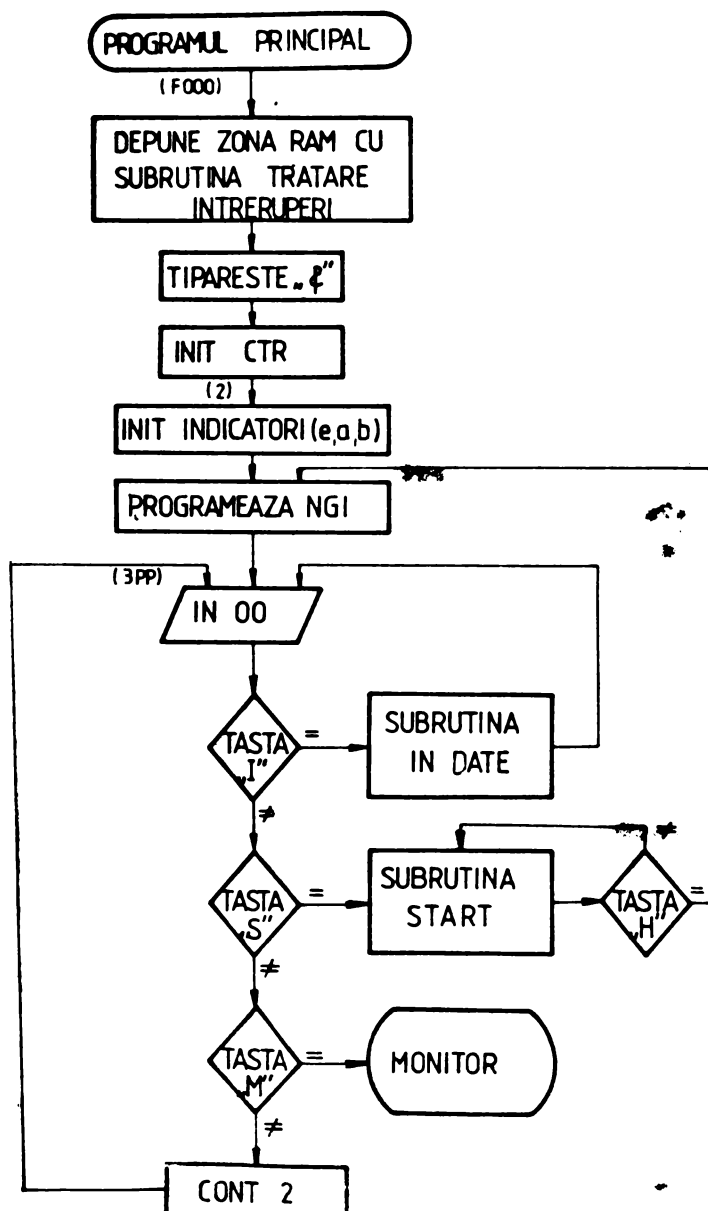


Fig.5.3. Schema logică a programului principal.

Programul principal PP

(1PP)	01	LXI H <u>0006</u>	Z ₁	Depunere adreselor subrutinelor nivele de intrerupere în zona RAM 0000 - 0100
	21	LXI H <u>0020</u>		
	11	LXI D <u>0368</u>		
	3E	MUL A C3		
	77	MOV B,A		
	23	INX H		
	1A	LDAX D		
	77	MOV M,A		
	13	INX D		
	23	LDAX H		
(2PP)	1A	LDAX D	(1PP) ("§") Marcarea inceputului de (CO) program CRIF	Programează CTR (cessul de timp) Programează cursorul, PI
	77	MOV M,A		
	13	INX D		
	09	DAD B		
	7D	MOV A,L		
	FE	CPI <u>00</u>		
	C2	JNZ <u>0389</u>		
	0E	LDI C 26		
	CD	CALL FCA7		
	CD	CALL F846		
(4PP)	3E	MUL A <u>A0</u>	(2PP)	Sterge indicatorii de la adresa M <u>120</u> la M <u>147</u> .
	DE	OUT FE		
	AF	XRA A		
	D3	OUT FF		
	FB	RI		
	21	LXI H <u>0120</u>		
	AF	XRA A		
	77	MOV M,A		
	20	INR L		
	7D	MOV A,L		
(4PP)	FE	CPI <u>00</u>		
	C2	JNZ <u>03AE</u>		
	21	LXI H <u>3434</u>		
	22	SHLD C <u>026</u>		
	21	LXI H <u>0000</u>		
	22	SHLD C <u>026</u>		
	21	LXI H <u>3232</u>		
(4PP)	22	SHLD C <u>006</u>		
	22	SHLD C <u>016</u>		

21	Lx1 H B2E2	Progressand număratoarele 0,2,4 și 6 din modul NGL, în mod.1, ca menastabile progresabile divizat cu $N = 400$
22	SHLD C006	
21	Lx1 H 7272	
22	SHLD C00E	
21	Lx1 H 0400	
22	SHLD C000	
22	SHLD C004	
22	SHLD C00A	
22	SHLD C00E	
21	Lx1 H FFFF	
22	SHLD C028	
Progressand portile(GATE)		
(3PP)	CD CALL <u>FCD2</u>	(CI)
FE	CPI 49	("T")
CA	JZ <u>0400</u>	IN DATE
FE	CPI 53	("S")
CA	JZ <u>0700</u>	START
FE	CPI 40	("M")
C2	JNZ <u>02B2</u>	CONT 2
C7	RST 0	

In ordinea apelarii de către **PP** a subrutinelor de tip A, este tratată intială **Z1** ce conține lista adreselor subrutinelor tip B pentru tratarea întreprinderilor notate cu **N4** – **N15**.

Subroutine **Z1** se află la adresa **0368** și conține următoarea listă de adrese:

<u>021B</u>	-	N4
<u>0226</u>	-	N5
<u>0231</u>	-	N6
<u>023C</u>	-	N7
<u>0247</u>	-	N8
<u>0252</u>	-	N9
<u>025D</u>	-	N10
<u>0268</u>	-	N11
<u>0350</u>	-	N15

Modulul unitate centrală – UC – este un sistem de întrepreri cu 16 nivele ierarhizate cu posibilitate de măscare și demascare.

Subroutine **IN DATE** de tip A, are 64 de linii de program pentru sincronizarea a 4 motoare electrice și este utilizată pentru introducerea datelor de intrare : S_2 = spațiu final; V_1 = viteza maximă pe palier; V_2 = viteza finală; a_1 = accelerare de pornire; a_2 = accelerare de frânare. Pentru spațiu și viteză s-a folosit rezervat cîte un cuvînt de 16 biți, iar pentru accelerării cîte un cuvînt de 8 biți. Modul de dispunere a datelor de intrare pentru o linie de program este ilustrat în figura 5.9.

		$S_2(0)$	$V_1(0)$	$V_2(0)$	$a_1(0)$	$a_2(0)$	ADRESA
LINIA 0	MOTOR 1	x x x x	x x x x	x x x x	x x	x x	800
	MOTOR 2	x x x x	x x x x	x x x x	x x	x x	
	MOTOR 3	x x x x	x x x x	x x x x	x x	x x	
	MOTOR 4	x x x x	x x x x	x x x x	x x	x x	
LINIA 1	MOTOR 1	x x x x	x x x x	x x x x	x x	x x	820
	MOTOR 2	x x x x	x x x x	x x x x	x x	x x	
	MOTOR 3	x x x x	x x x x	x x x x	x x	x x	
	MOTOR 4	x x x x	x x x x	x x x x	x x	x x	
-----		$S_2(1)$	$V_1(1)$	$V_2(1)$	$a_1(1)$	$a_2(1)$	
LINIA 64	MOTOR 1	x x x x	x x x x	x x x x	x x	x x	F000
	MOTOR 2	x x x x	x x x x	x x x x	x x	x x	
	MOTOR 3	x x x x	x x x x	x x x x	x x	x x	
	MOTOR 4	x x x x	x x x x	x x x x	x x	x x	

Fig.5.9. Dispunerea datelor de intrare.

Programul pentru subroutine **IN DATE** are schema logică prezentată în figura 5.10.

Modul de formare a adresei curente la programul mașină este ilustrat în figura 5.11. Indicatorul din N 120, păstrează informație de bază de la care se pleacă în calculul adresei curente la programul mașină.

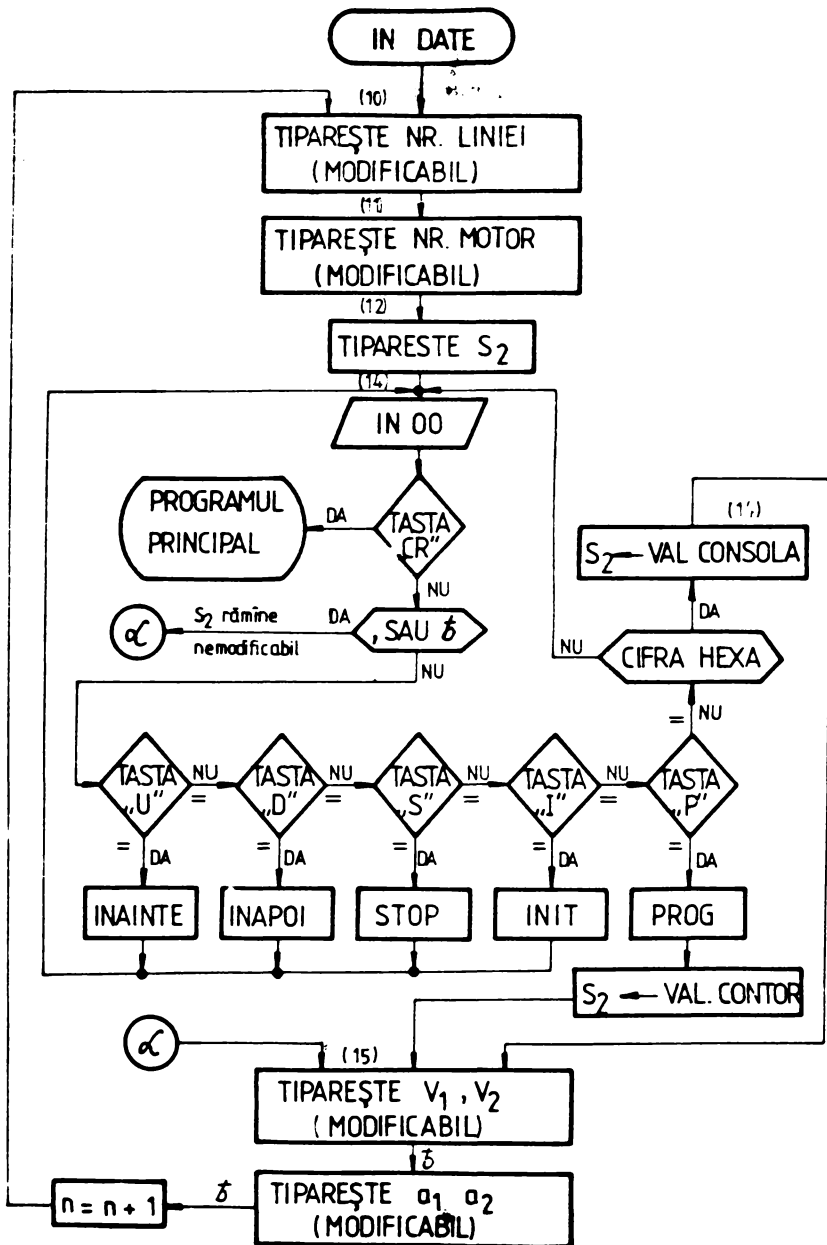


Fig.5.10.: schema logică a subruteinei **IN DATA**.

IN DATA.

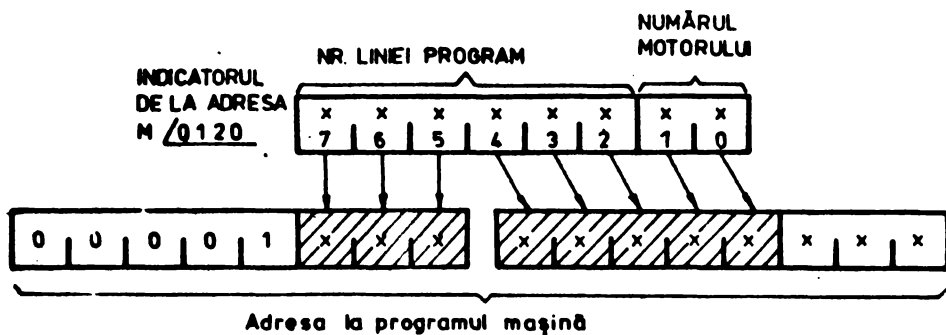


Fig.5.11. Adresa la programul mașină.

		<u>Subrutina</u>	<u>IN DATE</u>
(10)	CD	CALL <u>E846</u>	(CRLF)
3A	LDA <u>0120</u>		
B6	ANI Fc		A A ← nr.liniei program
0F	BRG		
0F	RIC		
CD	CALL <u>I90F</u>		
CD	CALL <u>0603</u>		(LEYTE) tipărește nr.liniei la consolă
INC H1			
0D	DCR C		
CA	JZ <u>0421</u>		(11) nu s-a modificat
3A	LDA <u>0120</u>		
B6	ANI 03		
47	MOV B,A		(Modifică nr.liniei program)
7D	MOV A,L		
07	RLC		M 120 M 120 ∩ 03 la nr.moto-
07	RLC		torului anterior care seedu-
Bo	DRA B		nă nr.liniei (nou)
32	STA <u>0120</u>		
CD	CALL <u>E927</u>		(ILK)
3A	LDA <u>0120</u>		A ← nr.motorului
B6	ANI 03		
CD	CALL <u>F90F</u>		(LEYTE) afișează nr.motorului
CD	CALL <u>0603</u>		INC HL încarcă opțional nr.
0D	DCR C		altri motor.
CA	JZ <u>0440</u>		(12) - nr.motorului nu s-a
3A	LDA <u>0120</u>		modificat

	E6	ANI Fc	<u>M 120</u>	<u>M 120</u>	Fc la care
	47	MOV B,A			nr.liniei (anterioare) se
	7D	MOV A,L			adună nr.motorului (nou)
	E6	ANI 03			
	B0	ORA B			
	32	STA 0120			
(12)	CD	CALL 1927	(BLK)		
	0E	MVI C 53	"S"		
	CD	CALL FCA7	(CO)		formează adresa spa-
	0E	MVI C 34	";"		țiului s din linia
	CD	CALL FCA7	(CO)		de program
	CD	CALL 05EE	ADRL		
	5E	MOV b,m			
	23	INX H	[H,L]	← S	
	56	MOV D,M			
	EB	X CHG			
	CD	CALL F91F	(LADR)		
	0E	MVI C 2D	"-"		
	CD	CALL FCA7	(CO)		
(14)	CD	CALL F802	(PCHK)	se poste cere (t,	
	C2	JNZ 0468	(13)	, CR)	
	DA	JC 03ED	(3PP)	- revine în PP dacă	
	C3	JMP 0492	(15)	a fost "CR"	
(13)	FE	CPI 55	"U"	S nu s-a modificat, a	
	CA	JZ 061C	INAINTE	fost sau ; se trece	
	FE	CPI 44	"D"	la programarea vitezi	
	CA	JZ 0636	INAPOI		
	FE	CPI 53	"S"	Actionare manuală	
	CA	JZ 06AD	STOP		
	FE	CPI 49	"I"		
	CA	JZ 0605	INIT		
	FE	CPI 50	"P"		
	CA	JZ 06Bc	PROG		
	47	MOV B,A			
	CD	CALL F7F0	(NIBBLE)	→ se vede dacă este	
	DA	JC 045C	(14)	caracter hexa	
	78	MOV A,B		s fost eroare (adică un caracter	
	CD	CALL 06D8	INC H4	neutilizat) incărcarea lui S de la	
				consolă.	

(16)	ED	VCHG		
	CD	CALL <u>05EE</u>	ADRL	
	73	MOV M,E		S ← spațiu S (nou)
	23	INX H		
	72	MOV M,D		
(15)	CD	CALL <u>E927</u>	(BLK)	
	DE	MVI C 56	"V"	
	CD	CALL <u>FCA7</u>	(CO)	tipărește expresia "V ₁ "
	01	MVI C 31	"1"	
	CD	CALL <u>FCA7</u>	(CO)	
	CD	CALL <u>E927</u>	(BLK)	
	CD	CALL <u>05EE</u>	ADRL	
	23	INX H		
	23	INX H		
	CD	CALL <u>04EB</u>	IND 1	tipărește V ₁ anterior și încercă optional valoarea nouă.
	0E	MVI C 32	"2"	
	CD	CALL <u>FCA7</u>	(CO)	tipărește expresia V ₂ respectiv "2"
	CD	CALL <u>E927</u>	(BLK)	
	CD	CALL <u>04EB</u>	IND 1	tipărește V ₂ anterior și încercă optional valoarea nouă.
	0E	MVI C 41	"A"	
	CD	CALL <u>FCA7</u>	(CO)	tipărește expresia A ₁
	0E	MVI C 31	"1"	
	CD	CALL <u>FCA7</u>	(CO)	
	CD	CALL <u>E927</u>	(BLK)	
	CD	CALL <u>04EB</u>	IND 2	tipărește A ₁ anterior și încercă optional valoarea nouă
	0E	MVI C 32	"2"	
	CD	CALL <u>FCA7</u>	(CO)	tipărește expresia A ₂ respectiv "2"
	CD	CALL <u>E927</u>	(BLK)	
	CD	CALL <u>04EB</u>	IND 2	tipărește A ₂ anterior încarcind optional va- loarea nouă
	21	LXI H 0120		- pregătește linia de program(respectiv nr. motorului) următoare
	34	IAR M		
	C3	JMP <u>0400</u>	(lo)	

Urărind schema logică rezultă că între pașii de program (10) și (11) este loc modificării numărului liniei de program; între pașii (11) și (12) este loc modificării numărului moto- rului ce va fi setionat; între pașii (12) și (16) este loc o codificare optională a spațiului cu posibilitatea setionării manuale.

Sabrutina **START**, tot de tip A, este implantată la adresa H 700 și se apelașă prin clapa „S” de la claviatură. Prin această subrutină este declanșată de fapt acțiunea motorurilor. Acestea în rândul ei apelează alte subruteine de tip B,C și D printre care și subruteinile **ACT** și **GAK** pentru fiecare linie de program specificată și pentru fiecare motor în parte.

Modul de operare în vederea declanșării acțiunării se face astfel: după ce su fost introduse datele E_2 , V_1 , V_2 , a_1 și a_2 , prin apelarea subruteinei **IN DATE** cu clapa „I”, se ieșe din această subrutină prin clapa „CR”, după care se testează clapa „S”. Programul subruteinei **START** a fost elaborat pe baza schemei logice din figura 1.12.

		<u>Subrutina</u>	<u>START</u>
	3A	LDA 0120	
	0F	PRC	
	0F	HRC	
	B6	ANI 3F	
	6F	MOV L,A	
	CD	CALL 090F	
	CD	CALL 0603	
	00	NOP	
	00	NOP	
	00	NOP	
	DA	JC 03ED	
	7D	MOV A,L	
	E6	ANI 3F	
	07	RLC	
	07	RLC	
	32	STA 0120	
	C3	JMP 0744	
(200)	21	LXI H 0101	
	22	SHLD 0170	
	22	SHLD 0172	
(202)	DB	IN ol	
	E6	ANI ol	
	C2	JNZ 06B6	
			afisează numărul liniei de program
			(LEYTE)
			INC H₁ - posibilitatea de a modifica nr.liniei de program
			(3FF) - revine cu „CR”
			IP
			- depune nouă nr. al liniei de program
			- rotește acumulatorul spre stinge
			(203) pentru a tipări „CF” și „RI”
			- inițializează funcțiile de acțiune cu el
			CONT 1
			este apelată „intrare-iesire” de la consolă, ci întind vertical el.

(204)	CS	CALL <u>0273</u>	TERMINATĂ - dacă acțiunea s-a terminat fericită sint 00,00,00,00 sau timpul impus la CTR=30 sec. a expirat incrementează nr.liniei de progres
	DA	JC <u>074E</u>	
	3A	LDA 0120	
	C6	ADI 04	
	B6	ANI FC	
	32	STA 0120	
	0F	RRC	
	0F	RRC	
	CD	CALL <u>190F</u>	
	CD	CALL <u>F846</u>	
(203)	AF	XRA A	initializează controlul ccesului de timp (CTR) (200)
	32	STA 0168	
	C3	JMP 071F	
(201)	CD	CALL <u>0509</u>	
	CD	CALL <u>0677</u>	ACT GAR
	3A	LDA 0120	
	47	MOV E,A	
	3C	INR A	
	B6	ANI 03	
	4F	MOB C,A	
	78	MOV A,B	
	BA	ANI FC	
	E1	ORA C	
	32	STA 0120	
	C3	UMP <u>0728</u>	
			(202)

După cum rezultă din schema logică a subroutinei START, figura 3.12 din programul prezentat, la pasul 202 este apelată „întreprumperă” de la consolă, citind portul 01. Interfață pentru consolă folosește 4 adrese de intrare/iesire și anume: adresa de ieșire FD/16, FE/16 și adresa de intrare FD/16, FE/16. La adresa de intrare numai bitii 0 și 1 sunt semnificațivi pentru o interfață de consolă și anume bitul 1, (R X RDY = RECEIVER READY) cind este „1” arată că receptorul a terminat recepționarea bitilor transmiși de o consolă [49].

Ultima subroutine de tip A ce este apelată direct de programul principal FF este subroutine COMT 2 ce se află la adresa 9787. Această subroutine tipărește la consolă avind și

posibilitatea de a modifica valorile constantelor de acționare : α - eroare de oprire (spațiul sau numărul de turări ce se impune a fi acceptat pînă la oprire); și β constante multiplicative pentru viteza respectiv accelerare. Aceste date inițiale sunt depuse astfel :

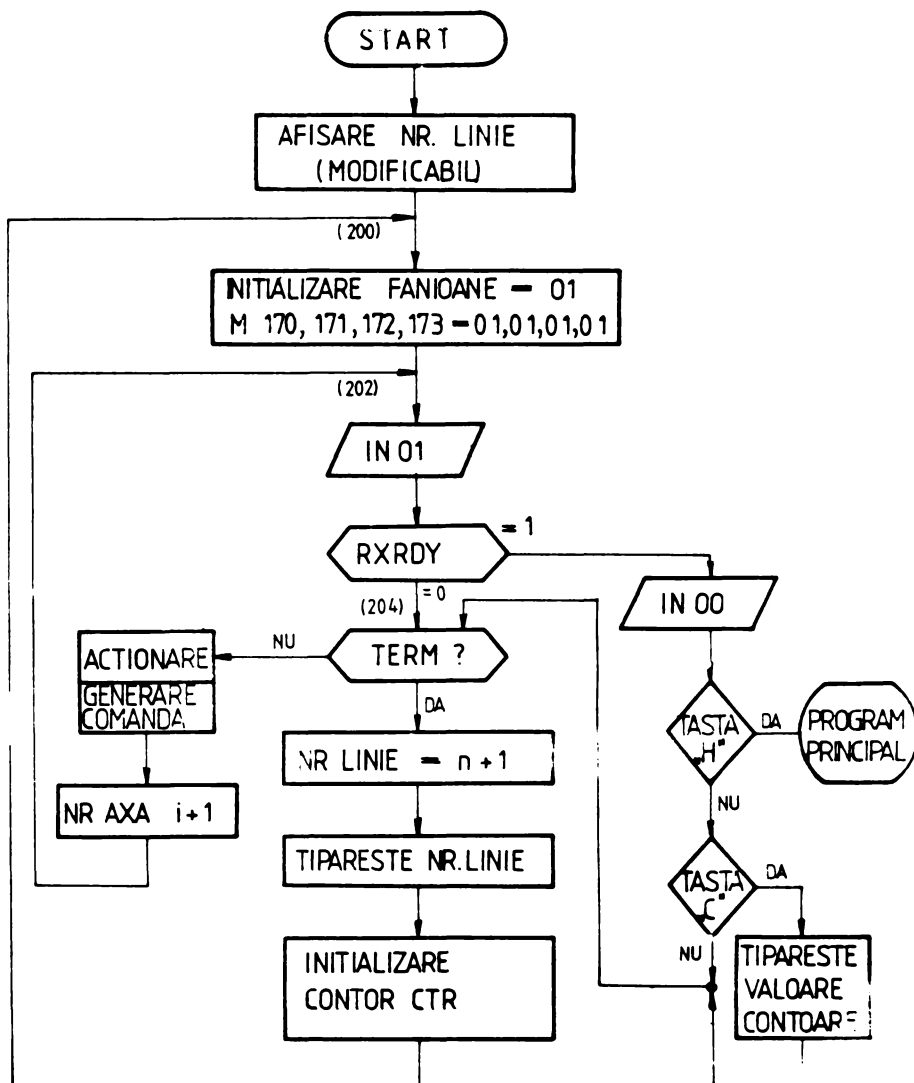


Fig.5-12. Schema logică a subruteinei **START**.

α în M[160, 161] și β în M[162 și β în M[164. Valorile se introduc în hexa și pot fi pentru α maximus FFFF, iar pentru α și β maximus 7F.

SUBROUTINA CONT 2

	CD	CALL F846	(CRLF)
	0B	MVI C 65	"a" } tipărește "a"
	CD	CALL FCA7	(CO) }
	2A	LHLD 0160	- se incercă pe Σ } tipărește
	CD	CALL 0282	COMPL } valoarea lui Σ
	CD	CALL 0600	INC H1 } { cu posibili-
	0D	DCR C	lătatea de modificare
	CA	JZ 0702	(6) - Σ nu trebuie modificat
	CD	CALL 02E2	COMPL
	22	MHLD 0160	- stochează valoarea lui Σ
	0B	MVI C 61	"a" }
	CD	CALL FCA7	(CO) } tipărește "a"
	3A	LDA 0162	- incercă pe α
	CD	CALL F90F	(LEYTE) } tipărește valoarea
	CD	CALL 0603	INC H1 } lui α cu posibilitățile de modificare
	0D	DCR C	
	CA	JZ 0708	(7) - α nu trebuie modificat
	7D	MOV A,L	
	32	STA 0162	- stochează valoarea lui α
	0B	MVI C 62	"b" }
	CD	CALL FCA7	(CO) } tipărește "b"
	3A	LDA 0164	- incercă pe β
	CD	CALL F90F	(LEYTE) } tipărește valoarea
	CD	CALL 0603	INC H1 } lui β cu posibilitățile de modificare
	0D	DCR C	
	CA	JZ 0610	(8) (8 CONT 3)
	7D	MOV A,L	
	C3	JMP p6DD	CONT 3

Subrutine

CONT 3

52	STA 0164	- stochează valoarea lui
CD	CALL F846	(CRLF)
C3	JMP 03ED	(3FF) → salt în programul principal la pasul (3FF) de adresa 03ED

Subrutinile de nivel 8 se prezintă după locul de implementare în memorie.

	Subrutine N4
E5	PUSH H
2A	LHLD 100
23	INX H
22	SHLD 100
C3	JMP 213

- tratare intrerupere nivel 4, execuția incrementarea contorului motorului 1, aflat la adresa M|100.

	Subrutine N5
E5	PUSH H
2A	LHLD 100
2B	DCX H
22	SHLD 100
C3	JMP 213

- tratare intrerupere nivel 5, execuția decrementarea contorului motorului 1, aflat la adresa M|100.

	Subrutine N6
E5	PUSH H
2A	LHLD 108
23	INX H
22	SHLD 108
C3	JMP 213

- tratare intrerupere nivel 6, execuția incrementarea contorului motorului 2, aflat la adresa M|108

	Subrutine N7
E5	PUSH H
2A	LHLD 108
2B	DCX H
22	SHLD 108
C3	JMP 213

- tratare intrerupere nivel 7, execuția decrementarea contorului motorului 2, aflat la adresa M|108.

	Subrutine N8
E5	PUSH H
2A	LHLD 110

- tratare intrerupere nivel 8, execuția incrementarea contorului motorului 3, aflat la adresa M|110.

23 INX H
22 SHLD 110
C3 JMP 213

Subrutina N9
25 PUSH H
2A LHLD 110
2B DCX H
22 SHLD 110
C3 JMP 213

T₁

- tratare intrerupere nivel 9, execu-
tă decrementarea contorului moto-
rului 3, aflat la adresa M|110.

Subrutina N10
25 PUSH H
2A LHLD 118
23 INX H
22 SHLD 118
C3 JMP 213

T₁

- tratare intrerupere nivel 10, execu-
tă incrementarea contorului moto-
rului 3, aflat la adresa M|118.

Subrutina N11
25 PUSH H
2A LHLD 118
2B DCX H
22 SHLD 118
C3 JMP 213

T₁

- tratare intrerupere nivel 11, execu-
tă decrementarea contorului moto-
rului 4, aflat la adresa M|118.

Subrutina N15
F5 PUSH DW
CD CALL 500
E5 PUSH H
21 LXI H 100

T₁

- execută actualizarea ceasului de
temp CTR

NT15

- incrementarea contor, refe-
re cursor, EI.

CD CALL 280
CD CALL 280
CD CALL 280
CD CALL 280
E1 POP H
F1 POP PEW
C9 RET

T₂

- pentru motorul 1

T₂

- pentru motorul 2

T₂

- pentru motorul 3

T₂

- pentru motorul 4

La adresele M|170, 171, 172, 173 sunt rezervate fanio-
nele pentru actionarea celor patru motoare. Dacă aceste fani-
one sunt ce motorul este oprit, iar dacă sunt xx el este per-
nit.

La adresa M[168] este depus contorul ceasului de timp, CTR, pe un octet. Dacă valoarea lui este mai mare decât F9 (TIME OUT) se consideră timpul efectuat acționării unei linii de program terminat și acționarea motorului pentru acea linie de program încheiată. Se trece în acest caz în **[PF]** la executarea pasului următor, adică la o nouă linie de program.

Subrutina **TERM**

```
01    LXI B FFFF
2A    LHLD 0170
09    DAD B
DA    JC 0282      (x)
2A    LHLD 0172
09    DAD B
(x)   D0    RNC      → nici una din adunările indexate
3A    LDA 0168      nu a dat carry = 1 deci semnă-
          lul [H,L] = cc cc.
FE    CPI F9      → valoarea contorului CTR
C9    RET
```

Dacă cy = 1 acționarea nu s-a terminat, iar dacă cy = 0 acționarea s-a încheiat pentru acea linie de program.

Subrutina **COMPL** completează **[H,L]** și transferă **[H,L] → [H,L]**

```
7D    MOV A,L
2F    CMA
6F    MOV L,A
7C    MOV A,M
2F    CMA
67    MOV H,A
23    INX H
C9    RET
```

Subrutina **IND 2** tipărește valoarea veche de un octet (M[H,L]) cu posibilitatea de modificare (LBYTE)

```
7E    MOV A,M
CD    CALL F90F
```

EB	XCHG	
CD	CALL <u>0602</u>	INC H1
LB	XCHG	
ED	DCR C	
CA	JZ 04E6	(121)
73	MOV F,E	
(121) 25	INX H	- se pregătește pasul următor
CD	CALL F927	(HLX)
C9	RET	

Subroutine IND 1

5E	MOV E,M	- tipărește valoarea veche de doi octeți ($M[H,L+1], M[H,L]$) cu posibilitatea de modificare.	
2E	INX H		
56	MOV D,M		
LB	XCHG		
CD	CALL <u>0600</u>	INC H	
LB	XCHG		
ED	DCR C		
CA	JZ 04F8	(111) → nu s-a modificat	
2B	SCX H		
73	MOV E,E		
23	INX H	} - dau pregătirea adresei următoare	
72	MOV M,D		
23	INX H		
CD	CALL F927	(HLX)	
C9	RET		

O subroutine foarte importantă de tip B este subroutine

ACT care calculează valoarea de acționare K a motorului. Această subroutine este implementată începând de la adresa $M[5e9]$ și folosește în rindul ei alte subroutine ce sunt specificate atât în partea de comentariu cît și prin adresele respective [54]. Programele de asamblare s-au făcut în funcție pe baza schemei logice prezentate în figura 5.15.

Subroutine ACT

(P1) CD CALL 05E5 ADRL - formează adresa la linia program

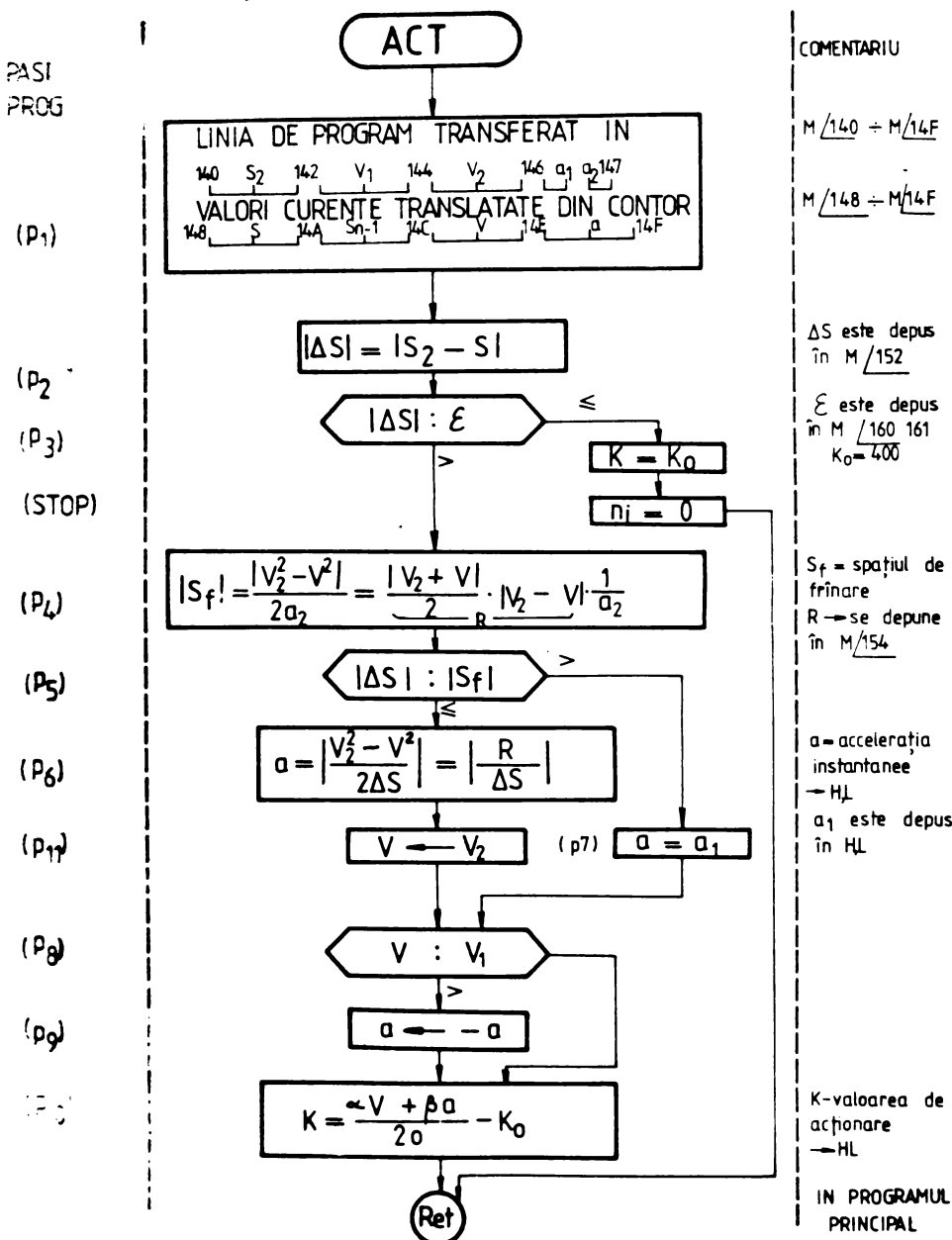


Fig. 5.13. Schema logică a subruteinei **ACT**.

11 LXI D 0140
 CD CALL 05E1
 26 MVI H 01
 78 MOV A,B
 B6 ANI 18
 6F MOV L,A

(P2) CD CALL 05E1
 2A LHLD 0148
 CD CALL 02B2
 EB XCHG
 2A LHLD 0140
 19 DAD D
 CD CALL 02BA
 22 SHLD 0152

(P3) EB XCHG
 2A LSLD 0160
 19 DAD D
 D2 JNC 05D1

(P4) 2A LHLD 0144
 EB XCHG
 2A LHLD 014C
 19 DAD D
 CD CALL 02BA

AF XRA A
 7C MOV A,H
 IF RAR
 47 MOV B,A
 7D MOV A,L
 IF RAR
 4F MOV C,A

2A LHLD 014C
 CD CALL 02B2
 19 DAD D
 CD CALL 02BA
 EB XCHG
 CD CALL 031B
 22 SHLD 0154

MOV8 - linie de program a moto-
 rului 1,2,3,4 este trans-
 lata la adresele :
 M 140 - M 147

MOV8 - valorile curente sint
 H,L \leftarrow S translate in M 148 - M 14F
COMPL

$$\begin{array}{l} [D, H] \leftarrow S \\ [D, L] \leftarrow S_2 \\ [H, L] \leftarrow S_2 - S \end{array}$$

VM H,L $\leftarrow |S_2 - S|$
 - stocheaza $|S_2 - S|$

$[E, H] \leftarrow -\varepsilon$
 $[E, L] \leftarrow |\Delta s| - \varepsilon$
(STOF) $\Delta s < \varepsilon$

- incercă pe V_2
 - incercă pe V
 - adună $V + V_2$
VM $|V + V_2|$

$$[E, L] \leftarrow \frac{|V + V_2|}{2}$$

- incercă pe V
COMPL $[H, L] \leftarrow -V$
 $V_2 = V$
VM $[D, H] \leftarrow |V_2 - V|$
PROD calculatează pe $R = \frac{|V_2 + V|}{2} \cdot |V_2 - V|$
 $[E, L] \leftarrow B, C \cdot DH = R$

	3A	LDA 0147	- stochează pe R în H,L
	5F	MOV B,A	- incarcă pe a_2
	16	XVI D 00	$[D, E] \leftarrow 000_2$
	CD	CALL <u>02D5</u>	$\boxed{\text{RAP}} [H, L] \leftarrow [H, L] : DE = \frac{ V^2 - V_2^2 }{2a_2} = S_2$
(P5)	1B	XCHG	
	2A	LHLD 0152	- incarcă Δs
	CD	CALL <u>0200</u>	$\boxed{\text{SUBS}}$ calculează $\Delta s = S_2$
	07	RLC	
	D2	JNC 057B	(7) $\Delta s \geq S_2$
(P6)	2A	LHLD 0152	- incarcă ΔE
	AB	XCHG	
	2A	LHLD 0154	- incarcă pe R
	CD	CALL <u>02D5</u>	$\boxed{\text{RAP}} [H, L] \frac{ V^2 - V_2^2 }{2 \Delta s } = 0$
	44	MOV B,H	
	4D	MOV C,L	
	2A	LHLD 0144	- se incarcă pe V_2
	C3	JMP 0588	(12)
(P7)(7)	2A	LHLD 0146	- incarcă pe a_1
	26	XVI H 00	$[H, L] \leftarrow 000_1$
(P8)	44	MOV B,H	
	4D	MOV C,L	
	2A	LHLD 0142	- incarcă pe V_1
	2E	XCHG	
	2A	LHLD 014C	- incarcă pe V
	CD	CALL <u>0200</u>	$\boxed{\text{SUBS}}$ calculează $V = V_1$
	07	RLC	
	DA	JC 05AB	(10) $V = V_1$
	CD	CALL <u>02EA</u>	$\boxed{\text{VM}} V - V_1 $
(12)	1B	XCHG	$[D, E] \leftarrow V$
	2A	LHLD 0160	- incarcă pe -E
	19	DAD D	
	DA	JC 05A4	(9) $ \Delta v > \varepsilon$
	01	LXI B 0000	
	C3	JMP 05AB	(10)
(P9)(9)	78	MOV A,B	
	2F	CMA	
	47	MOV B,A	
	79	MOV A,C	

2F CMA
4F MOV C,A
03 INY B

(Plo)(lc) 3A LDA 0164 - incarcă pe β (un octet)
5F MOV E,A
16 DIV D 00 [D,E] \leftarrow 00 β
CD CALL 0338 PRODE H,L \leftarrow D,E . B,C = β *
85 PUSH H
3A LDA 0162 - incarcă pe α
4F MOV C,A
06 DIV B 00 [B,C] \leftarrow 00 α
2A LHLD 214C - incarcă pe v
EB XCHG [D,E] \leftarrow v
CD CALL 0338 PROD E H,L \leftarrow D,E . B,C = α v
EB XCHG
E1 POP H
19 DAD D [H,L] \leftarrow α v + β *
11 LXI D 0020 [H,L] \leftarrow $\frac{\alpha v + \beta}{20}$ pentru a fi în
CD CALL 0338 RAP S gama \pm 400
01 LXI B 0400
09 DAD B
C9 RET [H,L] \leftarrow $\frac{\alpha v + \beta}{20}$ + 400 = K valoare de acționare
00 NOP

(STOP) 3A LDA 0120
E6 ASI 03 - Sterge fanioanele de acționare
C6 ADI 70 pentru fiecare motor 1,2,3,4,
6F MOV L,A N 170, 171, 172, 173 \leftarrow *
26 DIV H 01
36 AVI M 00
21 LXI H 0400 [H,L] \leftarrow 400 intrerupe acționarea

Subrutina [ADRL] - formează adresa reală la linie de program
3A LDA 0120
6F MOV L,A
26 DIV H 01
29 DAD H
29 DAD H
29 DAD H

C9 RET

01 LXI B 0300 - corecție în [ACT] face pe s = 0
C3 JMP 05A4 P(9)

Subroutine	INAINTE	- execută acțiunile menasădă prin taste „J”, însinete.
3A LDA <u>0124</u>		- adresa din M <u>124</u> folosită în formarea comenzi.
A7 ANA A	(141)	- dacă este zero se face el
C2 JNZ <u>0622</u>		(142) - are loc acțiunile
3E XVI A 01		(143)
C3 JMP <u>0653</u>		- dacă este negativ are loc ro-
(141) F2 JP <u>062D</u>		tația zecimalui spre dreapta
0F RRC		(142) - depășire, zecimalul a ajuns în
DA JG <u>0653</u>		poziția cy, nu mai are ce ro-
AF XRA A		ti și se va face cc.
C3 JMP <u>0653</u>		(143) - dacă este pozitiv are loc ro-
(143) 07 RLC		tația spre stînga pe l.
AF ANA A		(142) - depășire deoarece l a ajuns
F2 JP <u>0653</u>		pe poziția D7.
0F RRC		
C3 JMP <u>0653</u>	(142)	

Subroutine	INAPOI	- execută acțiunile menasădă prin taste „D”, însapo.
3A LDA <u>0124</u>		- adresa din M <u>124</u> folosită în formarea comenzi.
A7 ANA A	(144)	
C2 JNZ <u>0642</u>		- dacă este zero se face FF
3B XVI A FE		(142)
C3 JMP <u>0653</u>		(145)
(144) FA JK <u>064D</u>		- dacă este negativ are loc ro-
0F RRC		tația spre dreapta pe l.
D2 JNC <u>0653</u>		(142) - depășire, l a ajuns în cy, se
AF XRA A		face cc
C3 JMP <u>0653</u>		(142) - dacă este pozitiv are loc ro-
(145) 07 RLC		tația spre stînga a zecimalui.
AF ANA A		(142) - depășire, zecimalul a ajuns în po-
FA JK <u>0653</u>		ziția D7.
0F RRC		
32 STA <u>0124</u>		

11 LXI D 0000 - memorană nouă velocare
A7 ANA A
F2 JF 0669 (146)- comanda este pozitivă
11 LXI D F027 - comanda este negativă
07 RLC conform fig. 5.14.
07 RLC
07 RLC
P5 PUSH PSW
B6 ANI 03
B2 ORA D
57 MOV D,A
F1 POP PSW
E6 ANI F8
B3 ORA E
5F MOV E,A
21 LXI H 0400
19 BAD D
CD CALL 0677 GEN - subrutină de generarea co-
menzi de acționare.
C3 JFM 045C (PF14)

Subrutina STOP - execuția oprirea acționării în
comandă manuală .

21 LXI 0400
CD CALL 0677 GEN
CD CALL F027 (BIK)
CD CALL 0698 AFB
C3 JKP 0156 PF(14)

Modul de realizare a comenzi de acționare menajă în-
între și înapoi și formarea adreselor corespunzătoare acționării
sunt date explicit în figura 5.14, în care este dată starea con-
trollerului K124 ce caracterizează starea de comandă. Deplasarea
înainte (dreapta) sau înapoi (stinga) se face prin „defilarea”
lui „1” respectiv „0” în cele 7 poziții posibile realizându-se
în ultima treaptă, viteza maximă de rotație în sensul comandat.
Prinul bit dă sensul de rotație și semnifică depășirea din
gumi.

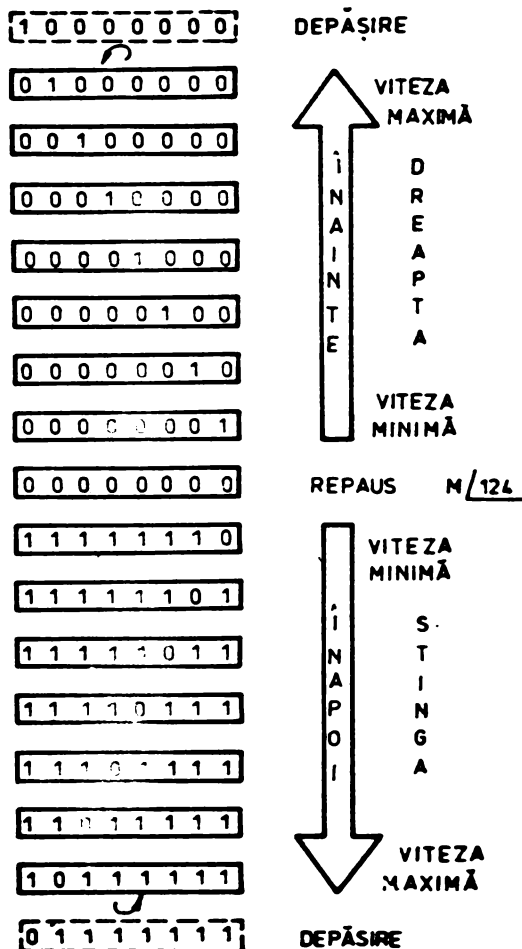


Fig.5.14. Realizarea comenzilor de acționare manuală INAINTE - INAPOI

Subroutine **E90G** - execută memorarea spațiului percurs S în program mașini.

CD CALL E927 (BLK)

CD CALL 0698 [AFC]

C3 J.P 0441 [FP16]

- citește, afișează și reține S în contor

- revine în [FP] în subroutine **E90AE** cu memorarea spațiului S.

Subroutine **INIT**

3A LDA 0120
 36 ANI 03
 07 RLC
 07 RLC
 07 RLC
 6F DDX L,A
 26 MVI H 01
 36 MVI H 00
 23 INX H
 36 MVI H 00
 C3 JMP 045C

- execută punerea pe zero a con-
terului S pentru fișiere motor.

(PPL4) - revine în **PF** în subru-
tine **INIDATE** cu posibili-
tatea altor acționări
asupra motorului.

Subroutine **INC H4**

0E MVI C 01
 C3 JMP 060E

INC H3

Subroutine **CONT 1**

DB IN 00
 FE CPI 48
 CA JZ 03B7

- execută încărcarea registrilor
(H,L) de la consola cind primul
caracter a fost testat și se a-
flă în A.

INC H3

- execută întreruperea acționă-
rii și este apelată din subru-
tina **START**.

- teste „H” întrerupe acțiunarea

(4PP)

Exemplificarea și tratarea subroutineelor de tip C este pre-
zentată în figure 5.7.

Sistemul de întreruperi are rolul de a permite sincroniza-
reaza activității procesorului cu evenimentele externe care
pot surveni la momente de timp electoare față de derularea
programului principal din microprocesor. Subroutinele aritme-
tice calculează spațiu, viteza și accelerăție momentană ci -
clie la $\Delta t = 100 \text{ ms}$ prin semnale generate de ceasul de timp
(CTR). Notând ca s_n spațiu la momentul de timp t_n și ca s_{n-1}
spațiu la timpul t_{n-1} , iar prin analogie v_n și a_n viteza, res-
pectiv accelerăție la momentul t_n , valorile momentane ale vi-
tesei și ale accelerăției sunt :

$$v_n = \frac{s_n - s_{n-1}}{\Delta t} \quad \text{și} \quad a_n = \frac{v_n - v_{n-1}}{\Delta t} \quad (5.8)$$

Condiție preliminară obligatorie pentru intrarea în secțiunea de sistemului de întreruperi, pentru a calcula v_n și a_n , este ca el să fie activat de către programul procesorului pentru executarea unei instrucțiuni EI (Enable Interrupts) ce produce pozitionarea bistabilului intern INTB (Interrupt Enable).

În subroutinele de tratare a întreruperilor se utilizează subroutines T_1 implantată la adresa 0213.

Subroutine T_1 - reprogramază cursorul și generează instrucțiunea EI.

E1	POP H	
F5	PUSH PSW	
AF	XRA A	
D3	OUT FF	
F1	POP PSW	
FE	EI	- instrucțiune de validare a întreruperilor (întreruperile care intervin în program după această instrucțiune pot fi acceptate).
C9	RET	

Subroutine T_2 - calculează $v_n = S_n - S_{n-1}$ și $a_n =$

C5	PUSH B	$= v_n = v_{n-1}$
D5	PUSH D	
4E	MOV C,M	
23	INX H	
46	MOV B,M	$[E,C] \leftarrow S_p$
23	INX H	
CD	CALL <u>0245</u>	$T_2 [D,E] \leftarrow \Delta S_n$
71	MOV M,C	
23	INX H	$[H] \leftarrow S_{n-1}$
70	MOV M,B	
23	INX H	$[B,C] \leftarrow v_n$
4B	MOV C,E	
42	MOV B,D	
CD	CALL <u>0245</u>	$[T_3]$
71	MOV M,C	$[H] \leftarrow v_n$
23	INX H	

```

70    MOV H,B
23    INX H
73    MOV H,E
23    INX H
72    MOV H,D
23    INX H
D1    POP D
C1    POP B
C9    RET

```

$$[H] \leftarrow a_n$$

Subroutine

T_3

```

7B    MOV A,M
2F    OMA
5F    MOV E,A
23    INX H
7B    MOV A,M
2F    OMA
57    MOV D,A
2B    DCX H
13    INX D
EB    XCRC
C9    DAD B
EB    XCRC
C9    RET

```

- este o anexă a subroutinei T_2 pentru calculul $\Delta S_n = S_n - S_{n-1}$ și a lui $\Delta V = V_n - V_{n-1}$

$$[D,E] \leftarrow \bar{H}$$

$$\begin{array}{ll} [H,L] \rightarrow [D,E] & [D,E] \rightarrow [E,C-D,E] \\ [H,L] \rightarrow [E,C + D,E] & (S_n - S_{n-1}) \\ [H,L] \leftrightarrow [D,E] & (V_n - V_{n-1}) \end{array}$$

La adresa M loc din subroutinele N4 și N5 se află datele de stare ale motorului 1 (subroutinele N4 și N5), la adresa M 1e8 datele motorului 2 (subroutinele N6 și N7), la adresa M 110 datele motorului 3 (subroutinele N8 și N9), iar la M 118 datele motorului 4 (subroutinele N10 și N11).

Valeoare repartizării datelor de stare pentru fiecare motor și adresele la care se află implementate sint date în figura 5.15.

După stabilirea motorii comunită, dacă este pozitivă se salvează la adresa ffff, iar dacă este negativă se încarcă registrul parohie D cu valoarea FCe7 și se adună valoarea constantei de acționare inițială $K_0 = 400$.

Modul de pregătire a registrilor H, L în vederea generării comunită de acționare spre FGJ este dată în figura 5.16.

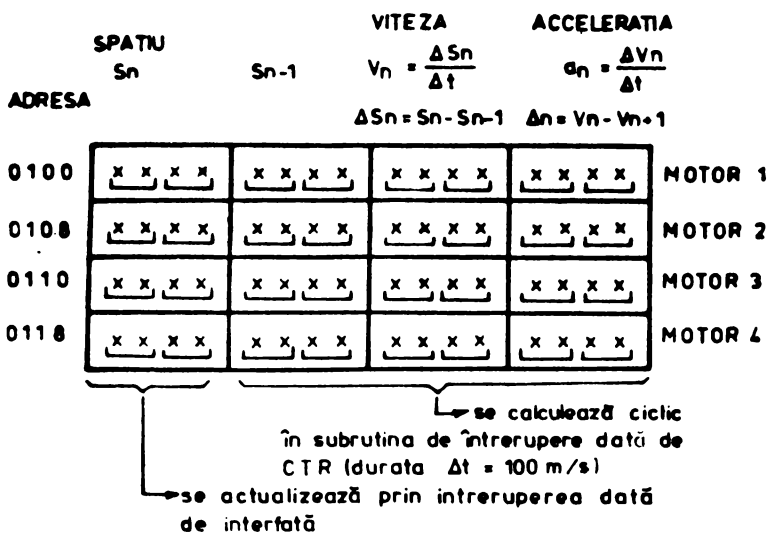


Fig.5.15. Implementarea datelor de stare.

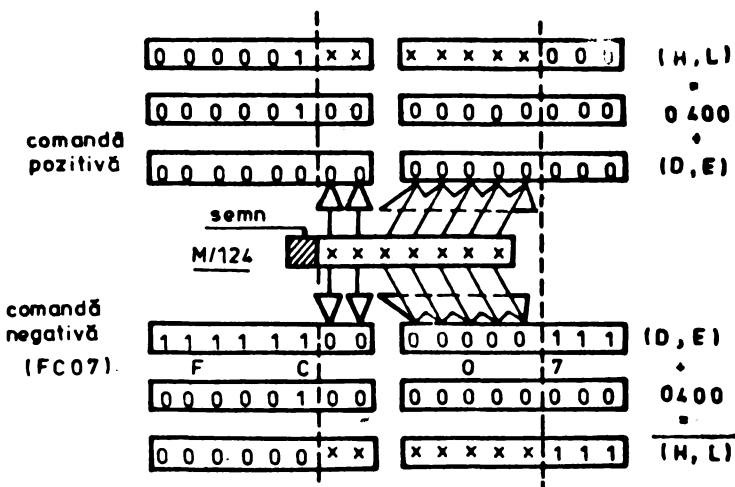


Fig.5.16. Pregătirea registrelor pentru acțiuni-
rea NGI.

Subrutina VN - calculează funcția modul pentru
 7C NOV A,H valorile registrelor $[H,L] \leftarrow [L,H]$
 07 RLC
 Do RNC

CD	CALL <u>02B2</u>	COMPL
E5	PUSH H	
21	LXI H <u>0166</u>	complementară indicatorul de semn din H 166, folosit la înmulțirea și împărțirea cu semn.
34	INR M	
E1	POP H	
C9	RET	

Subroutine **SGNZ** - pregătește operațiile pentru înmulțirea, respectiv împărțirea, fără semn. Semnul rezultatului este depus în H 166 al, adică bitul 0 din M 166.

3E	MVI A 00	
32	STA 0166	
CD	CALL <u>02BA</u>	VN R,L —— H,L
EB	XCHG	
CD	CALL <u>02BA</u>	VN } D,E —— D,E
EB	XCHG	
C9	RET	

Pentru efectuarea împărțirii se folosește metoda „firă refacește restului” 55. Deoarece X este împărțitorul, Y împărțitorul, Z cîțul, iar R restul acestei împărțiri, operația ce se efectuează este :

$$X = Z \quad Y + R \quad (5.9)$$

Presupunem că în momentul apelării subroutinei de împărțire, de împărțitorul și împărțitorul se află deja introduse în stivă. Algoritmul care se implementează cuprinde următoarele etape:

a) cei doi operandi să fie citesc din stivă și se introduc în registrele microprocesorului; de împărțitorul introducindu-se în B,C iar împărțitorul în D,E. Se anulează registrele [H,L] în care se așaștează bitii cîțului.

b) se stabilește bitul de semn al cîțului: acesta va fi egal cu XS dacă YE = 0 sau va fi egal cu $\bar{X}E$ dacă YE = 1. Bitul de semn se introduce în L₀ (ranguл cel mai puțin semnificativ al perechii de registre H,L în care se constituie cîțul).

c) se verifică posibilitatea de efectuare a împărțirii; pentru aceasta se efectuează etapele:

- se adună împărțitorul la împărțit, dacă XS ≠ YE sau se adună împărțitorul din împărțit dacă XS = YE;

- dacă $(D_7) = 0$ și $(E_7) = (L_0)$ sau dacă $(D_7) = 1$ și $(E_7) \neq (L_0)$ sau dacă $(D_7) = 1$ și $(E_7 \dots E_0, C_7 \dots C_0) \neq 0$ nu se poate efectua împărțirea și se semnalizează D C R (depășire, capacitate, registru).

d) se calculează cifrele curente ale cîrfului percurgindu-se următoarele etape :

- se deplasează cu o poziție spre stînga registrelor E,C,H,L considerate în prelungire;

- dacă $(L_1) = 0$ se adună împărtitorul (aflat în D,E) la conținutul registrelor E,C iar dacă $(L_1) = 1$ se scade în împărtitorul din conținutul acestor registre;

- dacă $(D_7) = 0$ se inscrie (E_7) în L_0 , iar dacă $(D_7) = 1$ se inscrie (E_7) în L_0 ;

/ceastă etapă se repetă de 15 ori.

e) se corectează cîrul conținut în registrelor [H,L] prin adunarea la conținutul acestor registre a unei unități de ordinul cel mai puțin semnificativ;

f) se inscrie în stivă rezultatul, adică cîrul Z din registrele H,L și restul R din registrele E,C.

Subrutina **[RAF]**

01	LXI B 0000
05	PUSH B
(3) 29	DAD H
79	MOV A,C
17	RAL
4F	MOV C,A
78	MOV A,B
1F	RAR
47	MOV B,A
C5	PUSH B
79	MOV A,C
93	SUB L
4F	MOV C,A
78	MOV A,B
94	SBB D
47	MOV B,A
DA	JC <u>02F0</u>
F1	POP FSR
3E	MVI A 01
C3	JMP <u>02F2</u>
(1) C1	POP B
AF	IRE A

- efectuează împărțirea fără semn:
 $[H,L] \quad [H,L] : [D,E]$, utilizând metoda „împărțirii fără refacerea restului”.

- Se face $[E,C] = 0000$ și se deplasează spre stînga cîte 1 bit al registrelor [E,C,H,L] considerate în prelungire .



- Se încercă scăderea $E,C - D,E$ și dacă este posibilă se adaugă 1 la rezultat. Dacă nu se adaugă 0.

$$[BC] \leftarrow [B,C] - [D,E]$$

(1)- Rezultatul se formează în „scăda” registrelor [H,L], care împreună cu [E,C] conține în final valoarea acestuia.

(2) In registrele [E,C] rezultă restul împărțirii.

(2) B5 ORA L
C7 MOV L,A
B3 XTHL
24 INR H
7C MOV A,H
A3 XTHL
F2 CPI 10
C2 JNZ 02D9 (3)
F1 POP PSW
C9 RET

Subroutine **RAPF** - efectuare împărțirea cu semn

CD CALL 02C7 **SGNZ** $[H,L] \leftarrow [H,L] : [D,E]$.
CD CALL 02D5 **RAP**
7C MOV A,H
07 RNC
D8 RC - depășire, CY = 1

Subroutine **RAP 1** - depune semnul rezultatului în ± 166 .

3A LDA 0166
1F RAR
D0 RNC
CD CALL 02E2 **COMPL**
AF XRA A
C9 RET

Pentru efectuarea înmulțirii a doi operanzi X și Y se folosesc metoda „Booth - Booth” [63]. Rezultatul înmulțirii Z = X * Y se obține în modul :

a) se citesc din stivă cele doi operanzi și se introduc în registrele măreșteșerului, deîmulgitorul se introduce în $[B,C]$, iar înmulțitorul în $[D,E]$;

b) se anulează registrele $[H,L]$ în care se constituie produsul și bitul CY care prelungesc înmulțitorul spre dreapta ;

c) se detectează și se semnalizează apariția DCR (depășire capacitate registru) în cazul cind X = 8000 H și Y = ± 8000 H.

d) se inspectează perechea formată din bitul cel mai puțin semnificativ al registrului înmulțitorului, L_0 și bitul suplimentar CY care prelungesc spre dreapta acest regisztr.

Se pot întîlni următoarele cazuri :

- dacă cei doi biți sunt identici se face deplasarea aritmetică cu o poziție spre dreapta a regisztrelor pentru produs și înmulțitor considerate în prelungire (deplasarea aritmetică este deplasarea în care se păstrează bitul de semn, în cazul considerat primul bit din stinge al produsului) ;

- dacă cei doi biți considerați $[L_0, CY]$ au valoarea 0 se adună deîmpărțitul cu produsul parțial, rezultatul inscriindu-se în regiszrele $[H, L]$ pentru produs, iar apoi se face deplasarea aritmetică spre dreapta a regisztrelor pentru produs și înmulțitor considerate în prelungire;

- dacă perechea celor doi biți considerați are valoarea 1 se scade deîmpărțitul din produsul parțial, iar apoi se face deplasarea aritmetică spre dreapta a regisztrelor produsului și înmulțitorului considerate în prelungire.

Această etapă se repetă de 16 ori, ultima dată numărindu-se însă deplasarea aritmetică spre dreapta.

e) se înscrive în stivă rezultatul înmulțirii, rezultat în regiszrele $[H, L, D, E]$.

Subrutina **PROD** - efectuează înmulțirea fără semn:
 $[D, E, H, L] \leftarrow [B, C] \times [D, E]$

21	LXI H <u>0000</u>	E,L 0000
35	PUSH H	
(2) 29	DAD H	
7B	MOV A,E	CY [D] [E] [H] [L]
17	RAL	$CY = 0$
5F	MOV E,A	$[D, E, H, L] \leftarrow [D, L, H, L] + [B, C]$
17	RAL	
57	MOV D,A	
D2	JNC <u>032h</u>	(1) cont = cont + 1
09	DAD B	
D2	JNC <u>032h</u>	
13	INX D	

F1 POP PSW
3C INR A
F5 PUSR PSW
F8 CPI 1c
C2 JNZ 031F (2)
F1 PGP PSW
C9 RET

Subrutina **PRODS** - efectuare înmulțirea cu semn:
 $[D,E,H,L] \leftarrow [B,C] \times [D,E]$

60 LDV H,D
69 MOV L,C
CD CALL 02C7 **SGNZ**
44 MOV B,H
4D MOV C,L
CD CALL 031B **PROD**
7A MOV A,D
A7 ANA A
C0 RNZ
7B MOV A,E
A7 ANA A
C0 RNZ
7C MOV A,H
B6 ANI 80
C0 RNZ
C3 JMP 0311 **RAP 1** se pune semnal → avem depășire

C altă subrutină aritmetică utilizată este subrutina de scădere a doi operanși X și Y. Rezultatul scăderii Z = X - Y se obține urmărind următorul algoritm :

- se citesc din stivă cei doi operanși și se introduc în registrele microprocesorului ;
- se efectuează scăderea octet cu octet a celor doi operanși;
- se detectează și se semnalizează eșerile DCR (depășirea capacitatei registrelor);
- se inscrie în stivă rezultatul.

Subrutina **SUB S** - efectuare scădere
7D MOV A,L) $[H,L] \leftarrow [H,L] - [E,E]$

93 SUB L
6F MOV L,A
7C MOV A,H
9A EBE D
67 MOV H,A
C9 RET

$Z (= X-Y) \longrightarrow [H,L]$

Subroutine **MOV S** - copiază 8 octeți din M[H,L]
in M[D,E]

(1) 3E MVI A,03
F5 PUSH PSW
7E MOV A,M
12 STAX D
23 INX H
13 INX D
F1 POP PSW
3D DCR A
C2 JNZ 05E3 (1)
C9 RET

Subroutine **INC H** - afișează continutul regis-
trelor H,L cu posibilitatea
de modificare
LABEL

CD CALL E91P

Subroutine **INCH 1**

0B MVI C 2D
CD CALL FCA7 - introduce semnul .."-"
(CO)

Subroutine **INCH 2** - optional poate cere semnale:
virgulă, tiacă, CR (., , ,CR)
(PCKH)

CD CALL F802 Subroutine **INCH 3** - se inseră în registrul [C]
valoarea 1

0E MVI C 01
C8 RE
21 Lxi H 0000
CD CALL F818
B1 POP H
C9 RET

Subrutina **GEN** - execută generaerea comenzi de acționare; conținutul registrului **[H,L]** → se transferă modului NGI (numărator generator de impulseni) pentru motoarele 1 - 4
- se caută numărul motorului care va fi acționat.

3A LDA 012
B6 ANI 03
3D DCR A
CA JZ 068C }
3D DCR A
CA JZ 0690 }
3D DCR A
CA JZ 0694 }
22 SHLD C000 }
C9 RET
22 SHLD C004 } Cu **[H,L]** pregătiți în prealabil are loc comanda modului NGI corespunzător numărului de motor care este acționat.
C9 RET
22 SHLD C004 }
C9 RET
22 SHLD C00A }
C9 RET
22 SHLD C00E }
C9 RET

Subrutina **AF S** - afișează la display spațiul S pentru fiecare motor.

3A LDA 0120 }
B6 ANI 03 }
07 RLC }
07 RLC }
07 SLC }
6F MOV L,A }
26 DIV H 01 }
5E MOV E,M }
23 INX H }
56 MOV D,M }
EB HCHG }
E5 PUSH H }
CD CALL F01FLADR afișează **[H,L]** la display.
B1 POP H } - LADR determină conținutul lui **[H,L]**
C9 RET }

Subrutina **CONTR** - realizează vizualizarea contorelor în care se stochează valoarea spațiului, viteze și accelerări.

2A LHLD 011E }
A5 PUSH H }
2A LHLD 011C }

B5	PUSH H	
24	LHLD ol1E	- Instrucțiunea LHLD <u>ADR</u> încercă registrul pereche, H cu conținutul locației de memorie de adresa <u>ADR</u> .
E5	PUSH H	
2A	LHLD ol16	- Instrucțiunea PUSH H, salvează în stivă registrul pereche H.
B5	PUSH H	
2A	LHLD ol14	
E5	PUSH H	
2A	LHLD ollo	
E5	PUKH H	
2A	LHLD ol0E	
B5	PUSH H	- are loc salvarea valorii cotoscărilei în timpul cel mai scurt („fotografieră”)
2A	LHLD ol0C	
B5	PUSH H	
2A	LHLD ol08	
B5	PUEH H	
2A	LHLD ol06	
B5	PUSH H	
2A	LHLD ol04	
B5	PUSH H	
2A	LHLD ol00	
B5	PUSH H	
16	MVI D 04	
(206) CD	CALL <u>F946</u>	(CRLF)
1E	MVI E 03	
(205) E1	POP H	
CD	CALL <u>F91F</u>	(LADR)
CD	CALL <u>F927</u>	(HLR) are loc vizibilizarea valorilor din conteneur, la display
ID	DCR E	
C2	JNZ <u>07A5</u>	(205)
15	DCR D	
C2	JNZ <u>07A9</u>	(206)
C3	JMP <u>F546</u>	(CRLF)

Subroutine (CRLF) conține la sfîrșit și instrucțiunea RET care este apelată la sfîrșitul subroutinei **CONTR**. Din această cauză subroutine de tip C (CRLF) apelată în modul nu se mai spelează cu CALL.

Ultimele familie de subroutines sunt cele de tip D, care sunt existante in MONITOR. Urmărind modul lor de implementare în biblioteca de subroutines prezentată în figura 5.7 rezultă că ele sunt apelate de mai multe ori în diverse subroutines.

Subroutines MONITORULUI utilizate sunt în număr de 9 și ele sunt date în tabelul nr. 5.1 **[125]**.

În subroutinesle residente în monitor este dat mnemonicul, adresa de implementare în hexa, descrierea sau rolul subroutinei precum și locul unde sunt utilizate.

Tabelul 5.1

Subroutines ale monitorului

Nr. crt.	Mnemonic subroutinei	Adresă hexa	Descriere a subroutinei	Subroutines unde este folosită
1	NIBBLE	F7F0	- Conversie ASCII în HEYA în acumulator	INDATE,
2	PRCK	F802	- Citește caracterul CR de la consolă	INDATE, INCH2,
3	E x l	F818	- Modifică H,L de la consolă	INCH3,
4	CRLF	F846	- Tipărește „CR” și „LF”	PP, IN DATE, CONT3, START,
5	LEYTE	F90F	- Tipărește la consolă conținutul hexa a lui A .	IN DATE, IND2, START,
6	LADR	F91F	- Tipărește în consolă conținutul hexa a lui H,L	IN DATE, INCH, APS,
7	BLK	F927	- Tipărește în „ ” la consolă	IN DATE, IND2 IND1 , PROG,
8	C O	FCA7	- scrie la consolă conținutul din registrul C	PP, IN DATE, INCH 1,
9	C I	FCD2	- Citește un caracter (ASCII) de la consolă cu rezultatul în A	PP,

Listingul complet al programului cursă de simulare și
execuție este dat în anexa 8.

În anexa 9 este dat programul obiect ca este menținut
în memorile EEPROM.

6. REALIZARI EXPERIMENTALE

In acest capitol se prezinta o serie de realizari experimentale legate de actionarile electrice cu motoare de curent continuu comandate cu microproceseare. Majoritatea exemplificarilor se referă la aplicații din domeniul sudării.

Experimentările au fost făcute pe mai multe tipuri de motoare electrice de curent continuu fabricate în țară. Motoarele care au stat la baza aplicațiilor sunt de tipul MRF, SUC, SMUTI, EP1, EP2 și EP3.

Prezentarea rezultatelor experimentale se face gradat începând cu actionarea unui motor de curent continuu tip MRF și finalizând prin prezentarea robotului, REMECC - 03, aflat sub controlul echipamentului SEPAMECC.

6.1. Actionarea motorului electric tip MRF

Motorul electric de curent continuu tip MRF are următoarele date tehnice de catalog :

- cuplu 0,29 N.m
- putere utilă 150 W
- tensiunea de alimentare 42 V c.c.
- curent rotoric 4,5 A \pm 10 %
- tensiunea de excitare 42 V c.c.
- curentul de excitare 0,4 A \pm 10 %
- turăție în sarcină 5000 rot/min \pm 15 %
- turăție în gol 5200 rot/min \pm 15 %
- rendamentul 86% - 15 %
- serviciul tip continuu 8h

Acest motor este echipat cu un reductor 1 : 30. Motoreduectorul are următoarele date tehnice de catalog:

- cuplu 3,6 N.m
- turăție în sarcină 166 rot/min \pm 15 %
- turăție în gol 170 rot/min \pm 15 %
- rendamentul 45 % - 15 %
- serviciul tip continuu 8h.

Pe baza acestor date s-a calculat următoarele mărimi :

[17, 75]

$$\begin{aligned} \Phi_{up} &= \text{fluxul util pe pol} \\ L_A &= \text{inductivitatea circuitului indușului} \\ R_A &= \text{rezistența infășurării indușului} \\ \Phi_{up} &= \alpha_i \cdot \tau \cdot l_i \cdot B_f \end{aligned} \quad (6.1)$$

unde : $\alpha_i = 0,65$ - coeficientul de acoperire ideală a pasului polar

$B_f = 0,3$ T - inducție maximă în intreșifer

$l_i = 60$ mm - lungimea ideală a indușului

τ = pasul polar ce are expresia:

$$\tau = \frac{\pi \cdot D}{2p} = \frac{\pi \cdot 43}{2 \cdot 1} = 67,54 \text{ mm} \quad (6.2)$$

unde $D = 43$ mm - diametrul exterior al indușului

p = numărul de poli

Inlocuind datele cunoscute în relație (6.1) rezultă:

$$\Phi_{up} = 0,65 \cdot 67,54 \cdot 60 \cdot 0,3 \cdot 10^{-6} = 7,9 \cdot 10^{-4} \text{ wb}$$

Numărul total de spire N este :

$$N = n_c \cdot z \quad (6.3)$$

unde n_c = numărul de conductoare în creștătură

z = numărul de creștături

Inlocuind rezultă :

$$N = 36 \cdot 12 = 436 \text{ spire.}$$

Inductivitatea circuitului indușului este :

$$L_A = \frac{\Phi_{up}}{I_s} \cdot n_c \quad (6.4)$$

unde : I_s este valoarea curentului pe o cale de curenț, calculată ca relație :

$$I_s = \frac{I_A}{2s} = \frac{4,5}{2} = 2,25 \text{ A}$$

iar

$$L_A = \frac{7,9 \cdot 10^{-4}}{2,25} \cdot 432 = 0,16 \text{ H}$$

Resistențe infășurării indușului se calculează cu relația : [36]

$$R_A = \rho_0 \cdot \frac{N \cdot l_{med}}{(2a)^2 \cdot S_{cond}} \quad (6.5)$$

unde :

ρ_0 - rezistivitatea materialului la temperatură de lucru

l_{med} - lungimea medie a unui conductor

$2a$ - numărul de căi de curent în paralel ale infășurării indușului

S_{cond} - secțiunea standardizată a conductorului

Din (6.5) rezultă valoarea rezistenței indușului

$$R_A \approx 0,4 \Omega.$$

Acstea valori au fost necesare ca date de intrare în simularea analogică prezentată în subcapitolele 3.3 și 3.4.

Pentru acest motor s-a traseat grafic pe ploterul calculatorului WANG în figura 3.10, reiajia (3.41).

Din studiul regimului de curent neîntrerupt al varistorului de tensiune continuă VTC, prezentat în subcapitolul 2.2 și din lucrarea [78], rezultă expresia caracteristicii mecanice a mașinii de curent continuu de forma :

$$\frac{U}{\sqrt{R_0}} \approx f_c - \frac{l_2 \text{ med}}{I_{K_1}} \left[f_0 + (1 - f_c)^\gamma \right] \quad (6.6)$$

unde :

$$I_{K_1} = \frac{U_0}{r_1} \quad \text{și} \quad (6.7)$$

$$\gamma = \frac{r_1}{r_2} \quad (6.8)$$

iar : r_1 , r_2 - reprezintă rezistență echivalentă VTC în perioada de conduction și respectiv în perioada de blocare.

Expresia (6.6) a fost traseată grafic pe ploterul calculatorului WANG pentru $\gamma = 2$ și diferite valori ale factorului de comandă f_c . Caracteristica mecanică pentru patru cadre de acționarea cu VTC este dată în figura 6.1.

La acest tip de motor s-a montat un redactor numeric de poziție de concepție și construcție originală a cărui intrare este conectată la echipamentul SEPAMCC. Motorul este comandat de SEPAMCC prin intermediul unui bloc de secționare, realizat cu tranzistoare.

Motorul de tip KRF precum și cel de tip SUC au fost testate la diferite regimuri de funcționare utilizând programul descris în subcapitolul 5.4, introducindu-se date de simulare, în hexa, de la consola.

6.2. Instalație de metalizare

Metalizarea se face cu o instalație a cărei schema bloc este dată în figura 6.2.

Cele două sîrmă și sint conectate la bornele transformatorului electric de sudură T_p , avansind paralel de pe cei doi colții de sîrmă CS prin două ghidaje izolate electrice. Sîrmele sint entranțe de două relee prescare ce sint rotite de un motor electric de curent continuu cu reductor, tip KRF - 1. Durată motorului reglabilă, de la blocul de comandă BC, este în corelație cu intensitatea curentului de sudare. În urma formării arcului electric, sîrmele se topesc la vîrf, iar picăturile de metal sint entranțe de aerul comprimat, adus prin pistoletul P. Arcul electric se intrerupe prin expulzarea materialului topit și se restabilește periodic, prin avansul sîrmelor. Numărul secvențelor poate ajunge la 100 pe secundă și depinde de curentul alternativ sau continuu de alimentare.

In figura 6.3 este prezentată instalația de metalizare realizată.

Acționarea sîrmelor la instalația prezentată se face cu motor electric de curent continuu cu reductor tip KRF, comandat electronic în impulsuri.

In rezilierea experimentală a instalației de metalizare prezentată s-a avut în vedere : corelația vitezei de avans a sîrmelor cu valoarea intensității curentului; economia eficiență și condițională; eleganța distanței optime de

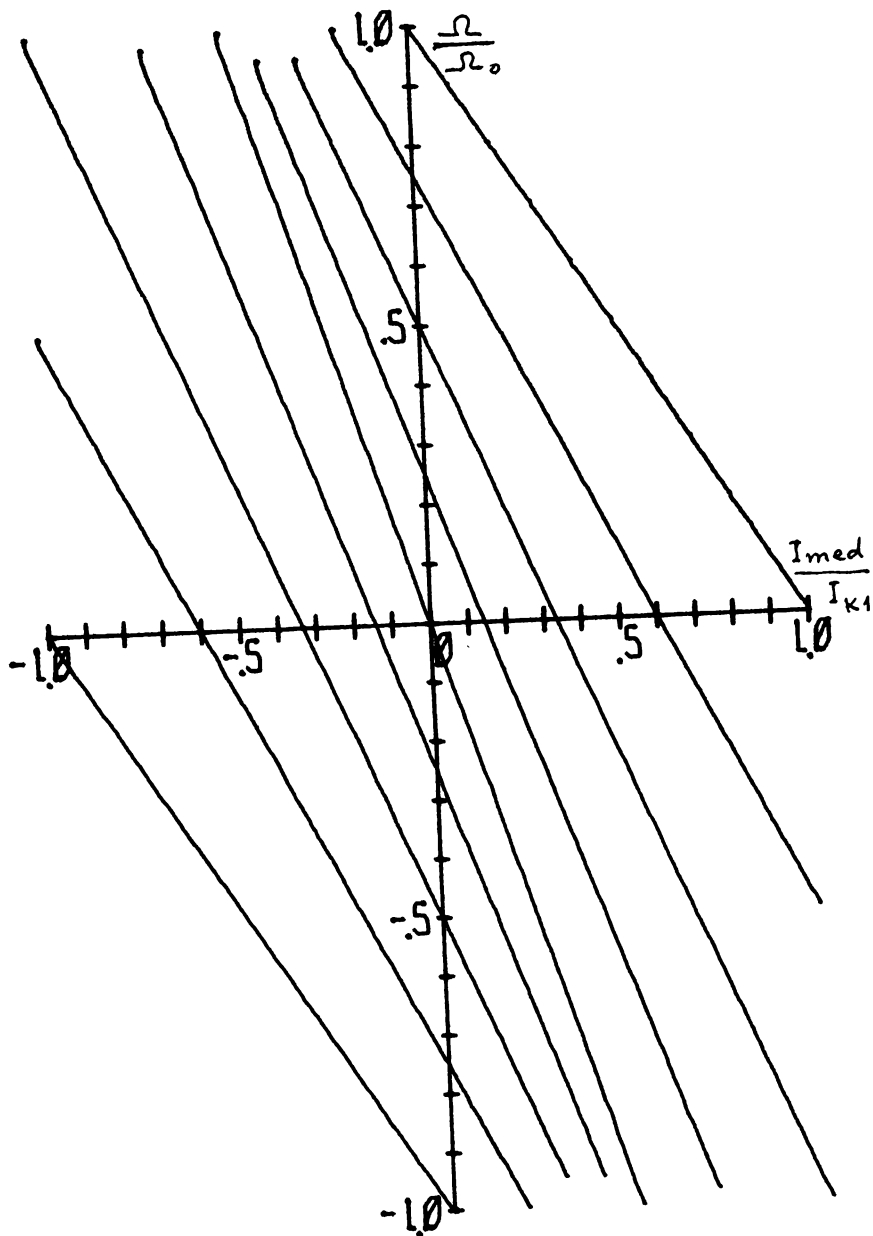


Fig.6.1. Caracteristice mecanice pentru patru cadrane la acționarea motorului MEF cu VTC.

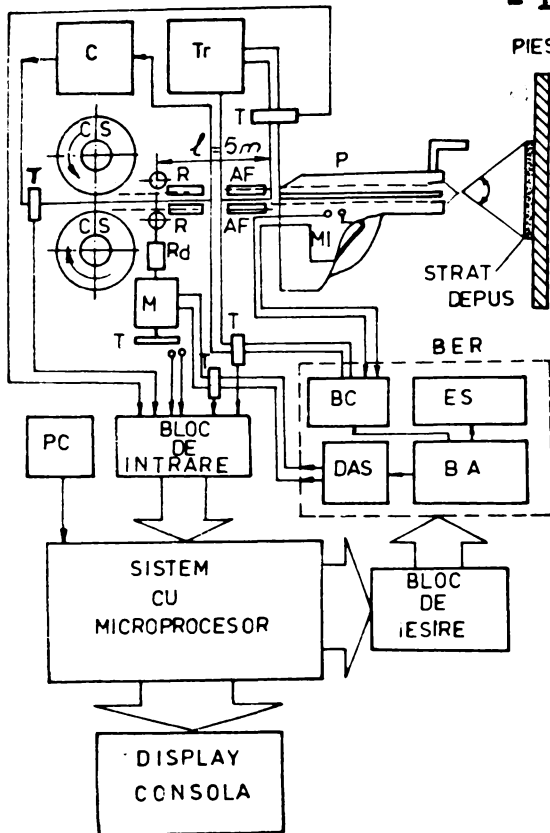


Fig.6.2. Schema bloc a instalației de metalizare.

PIESA
Tr - transformator de sudură,
C - compresor de aer
CS - colac de sîrmă
R - role de avans sîrmă
M - motor electric de c.c.
Rd - reductor de turatie
DAS - dispozitiv de avans sîrmă
AF - arbore flexibil pentru conducedere sîrmel S
P - pistolet de metalizare
MI - microintrerupător
BC - bloc de comandă
BER - bloc electric de reglare
BS - bloc de semnalizare
BA - bloc de alimentare
PC - pupitru de comandă
T - traductoare

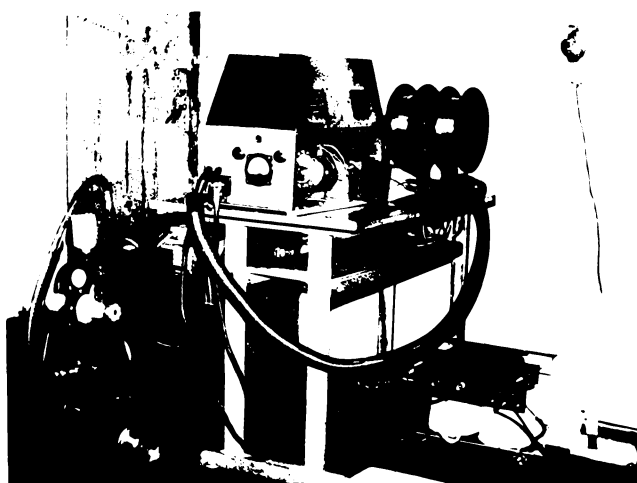


Fig.6.3. Instalație de metalizare.

pulverizare; formarea unor depuneri în straturi cu rugozitate mare; mobilitatea și eficiența mare a instalației cu un consum de materiale și energie redus.

6.3. Analizor al factorului de comandă

În cadrul contractului de cercetare științifică nr.10/1981 cu Întreprinderea Electroprecizie Sâcele [103] a fost realizat un aparat capabil de a măsura și afișe numeric, factorul de comandă f_c . Determinarea lui este importantă în vederea cunoașterii valorii cu care este comandat blocul de acționare, respectiv variatorul de tensiune continuă, VTC, la care este conectat motorul de curent continuu.

Aparatul se compune din următoarele blocuri principale: bloc selectare impulsuri, bloc de calcul, bloc de afișare și bloc de alimentare [94].

Blocul de alimentare îl constituie două surse de tensiune stabilizată cu protecție de scurtcircuit, una de + 5 V și alta de + 12 V c.c. Blocul de selectare impulsuri se compune dintr-un formator și un registru tempor realizat cu circuite besculente bistabile și circuite logice TTL [84].

Blocul de calcul, ce stabilește valoarea numerică a factorului de comandă, respectiv raportul dintre durata de conductie și durata de tact a impulsului în procente, este prezentat în figura 6.4. [85].

Blocul de afișare a valorii numerice pentru f_c este prezentat în figura 6.5. [89].

Aparatul construit realizează și alte funcții ca : numărător de impulsuri, frecvențmetru și poate determina coeficientul de alunecare "s" al motoarelor asincrone. Are o precizie de 2 % și o bună fiabilitate.

În figura 6.6 este prezentat aparatul pentru determinarea factorului de comandă.

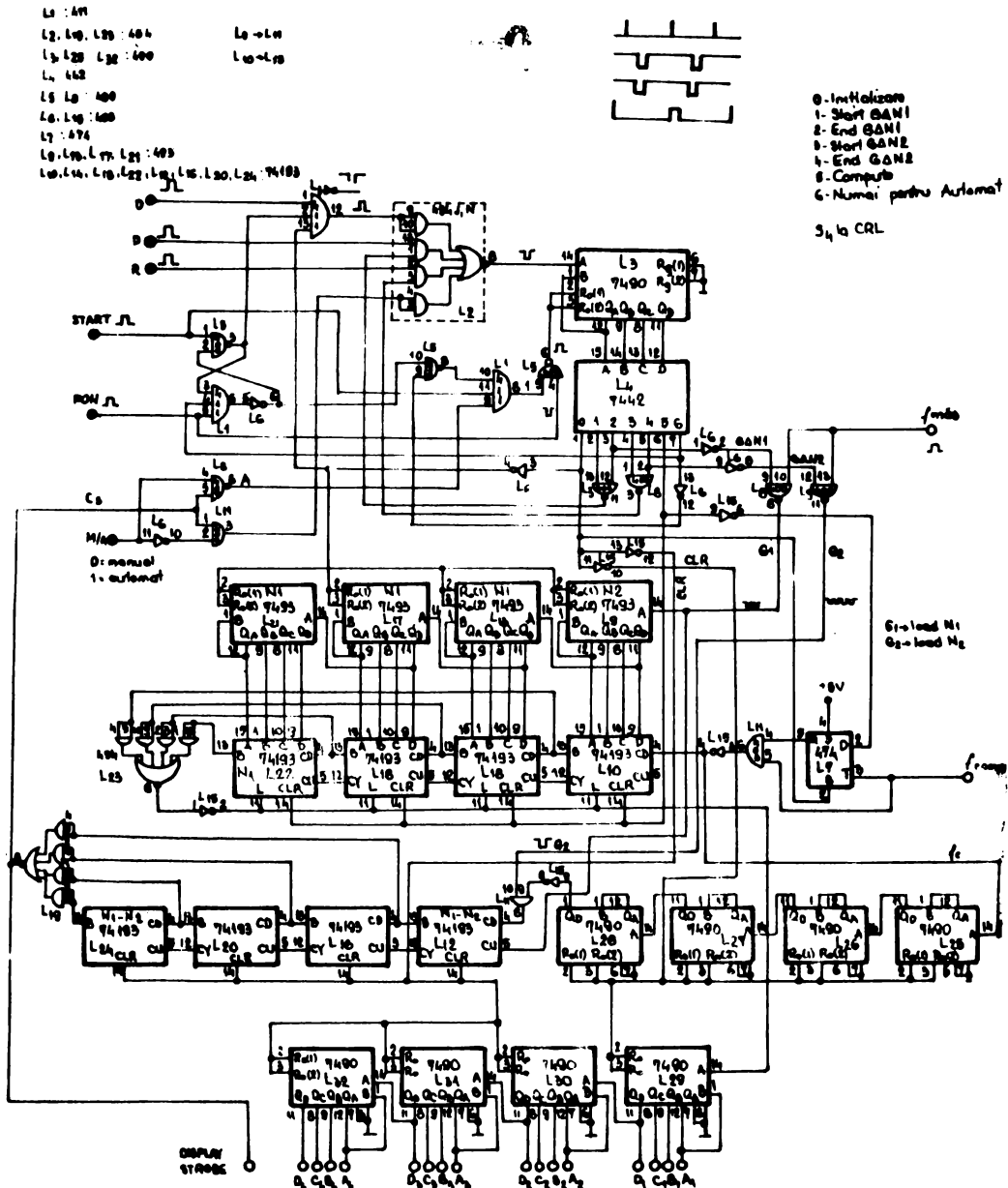


Fig. 6.4. Blocul de calcul al analizorului.

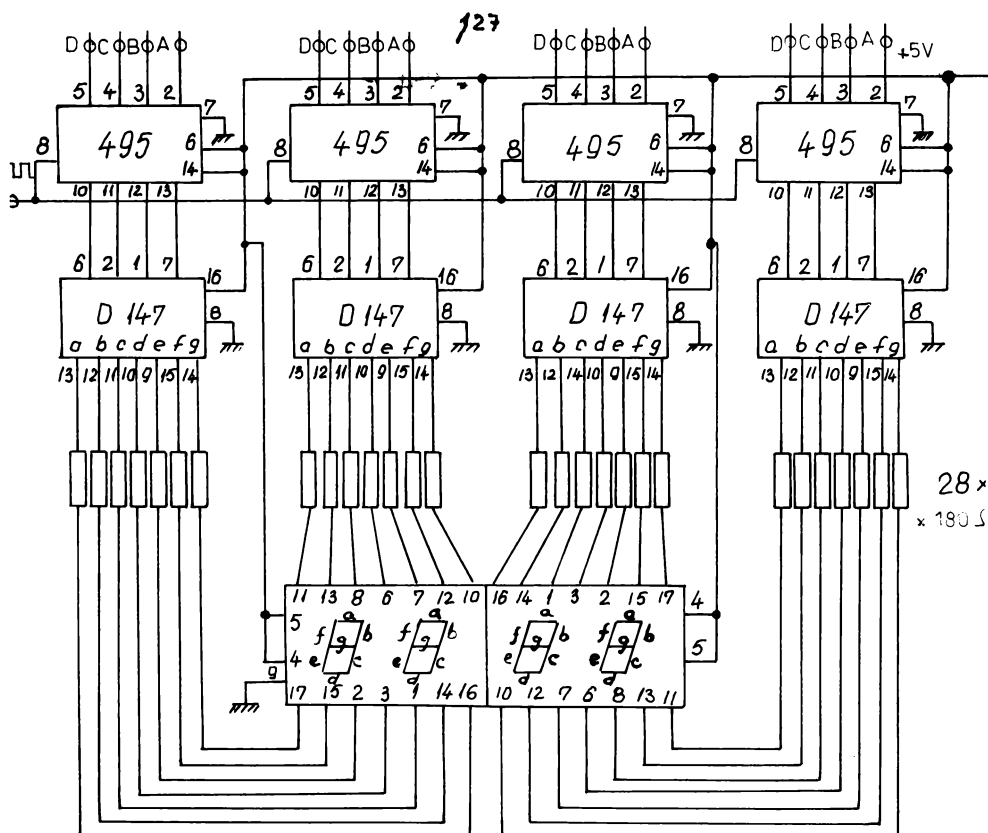


Fig. 6.5. Blocul de afișaj

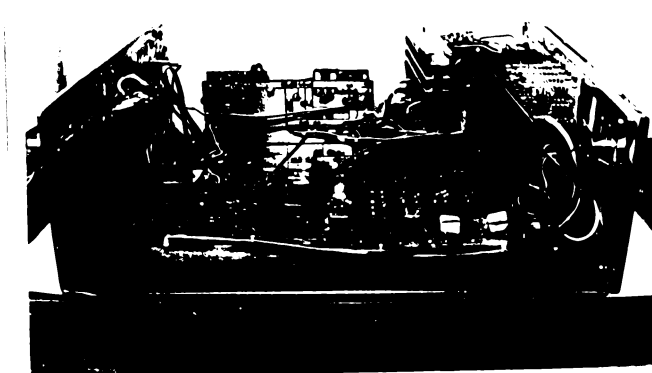
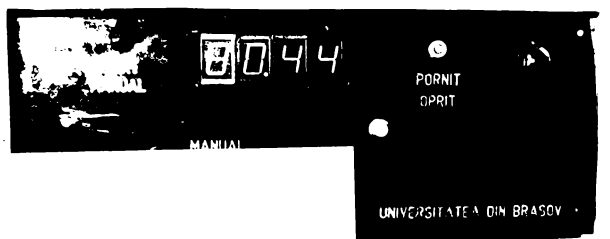


Fig.6.6.Aparat de determinare a factorului de comandă

6.4. Robotul RETAP

Robotul RETAP - Robot experimental de Tăiere Electrică cu Plasma - este destinat tăierii și sudării cu plasma în coordonate plane pe baza unui program prestatabilit urmărind un contur impus.

Robotul are la bază o configurație tip masă de poziționare, două grade de libertate în coordonatele x - y și un al treilea grad de libertate pentru poziționarea pe verticală a pistolului.

Caracteristicile tehnice sunt [103] :

Grade de libertate 3

Sistem de coordonate carteziane

Varianta constructivă T T T

Gradul de libertate	Curse pe axă	Viteză pe axă
Translație pe x	1650 mm	65 - 470 mm/min.
Translație pe y	1450 mm	65 - 470 mm/min.
Translație pe z	200 mm	30 - 80 mm/min.

Capacitatea de încărcare	2 pistolete
Acționarea	electrică cu motoare de c.c.
Comanda	cu MICROPROG 228 cu SEFAMECC cu automat programabil
Dimensiuni de găberit	1500 x 1200 x 800 mm
Greutatea totală	150 kg
Eșanțial de lucru	cub (1450x1050x200 mm)

Schemă cinematică structurală se prezintă în figura 6.7.

In figura 6.7. se prezintă următoarele elemente :

1 - calea de rulare

2 - cremalieră

3 - echipaj mobil pe axa x

4 - traversă de ghidare

- 5.- șurub conducător
 - 6 - șurub de poziționare pe verticală a capului
 - 7 - port cap tâiere sau sudare
 - 8 - cap tâiere - sudare
 - 9 - roți dințate
 - 10 - echipaj mobil
 - 11 - ax pentru antrenare
 - 12 - echipaj mobil condus axa y
 - 13 - masă suport piese.

Instalația are o autonomie de deplasare de 1000 m pe axa X și 1500 m pe axa Y. Deplasarea pe axa X este asigurată de motorul electric E_1 de curenț continuu cu reductor tip DVF cuplat la un surub pe care culisează echipajul mobil, pe care este montat capul de tăiere sau sudore. Deplasarea pe axa Y este realizată de motorul electric E_2 de curenț continuu cu reductor tip DVF cuplat la un surub pe care culisează echipajul mobil, pe care este montat capul de tăiere sau sudore.

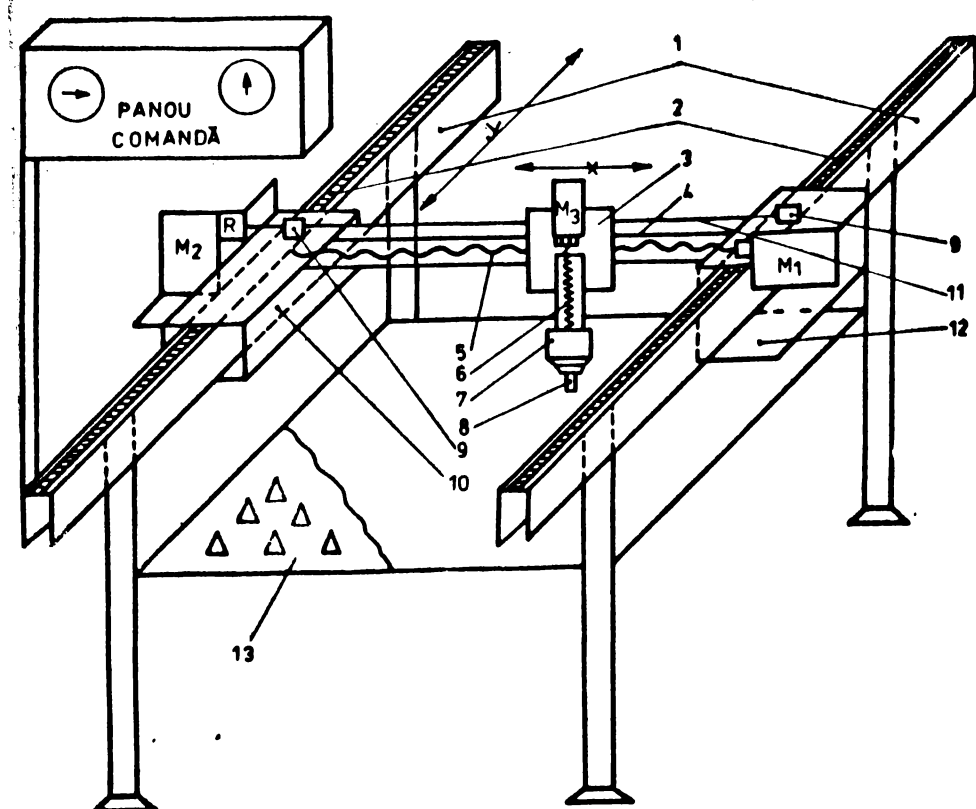


Fig.6.7. Schema cinematică structurală a robotului RTRF

seră pe axa Y este asigurată de motorul M_2 cu reductor tip ERF ce antrenă și un sistem de roți dințate pe două cremeliere prin intermediul unui ax. Poziționarea pe verticală a capului de tăiere sau sudare se face prin motorul M_3 de tipul SUC cu reductor ce antrenează surubul θ . Capul de tăiere sau sudare se fixează într-un suport ce realizează și inclinarea corespunzătoare. Semifabricatale ce urmează să fie debitate sau sudate se aşeză pe masă suport, prevăzută cu conuri de aşezare. Piezocure motor electric de c.c. are pe rotor un disc cu traductor optic ale cărui impulsuri sunt introduse în echipamentul SAPAMACC. Aceste comenzi prin blocuri de secționare individuale fiecare motor. Comanda se face în impulsuri dreptunghiulare de tensiune cu frecvență constantă și cu factor de comandă f_c (de ampliere) impus prin program [100].

În această instalație s-a montat securizatorul de sudare SACO-3 al cărui pistolet a fost fixat în suportul mobil, în coordonate X - Y. Realizarea practică este prezentată în figura 6.8.

Pentru debitarea, instalația de tăiere în coordonate a fost cuplată cu echipamentul de microplasma care a fost realizat de autor în cadrul catedrei de Tehnologie

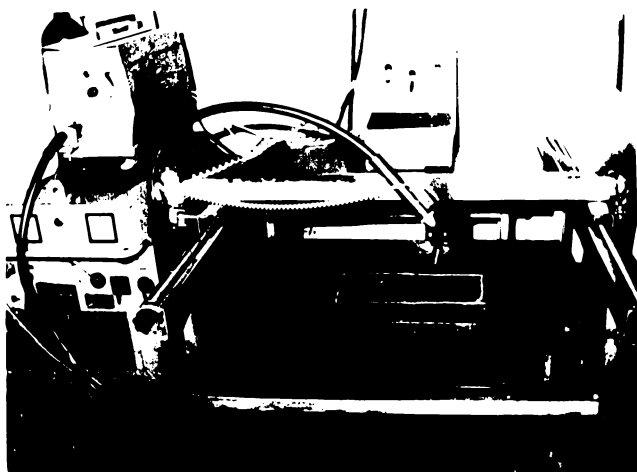


Fig.6.8. Robotul RETAP.

metalelor și a sudirii. Urse de curent pulsat a generatorului cu microplașmă precum și circuitele de comandă sunt prezentate în figura 6.9.

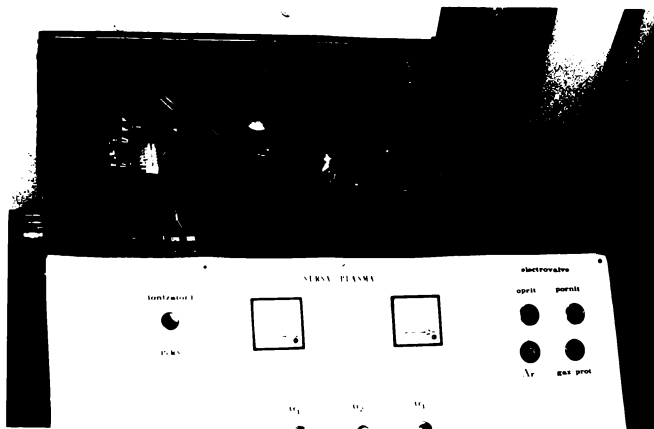


Fig.6.9. Urse de curent pulsat a scăperentului de microplasmă.

În elaborarea tehnologiei de tăiere cu microplasmă a metalelor s-a avut în vedere următorii parametri : viteza de tăiere v_t ; curentul electric al plăcsei I_p ; tensiunea jetului de plasma U_g ; amortecul de gaze plasmagen; rezitivitatea ρ și poziționarea generatorului față de materialul de tăiat. Determinarea vitezei de tăiere v_t se face în baza bilanțului energetic al procesului de tăiere prin topire [106].

Viteza de tăiere se optimizează experimental, astfel încât să aibă loc relația :

$$v_s < v_p < v_t < v_L \quad (6.9)$$

unde : v_s este viteza la care fețele tăieturii sunt paralele,

v_p - viteza la care netezimea feței tăieturii este maximă, neapărind pe față de jos plăcuri solidificate,

v_L - viteza pentru care tăierea nu mai are loc.

Regimurile de tăiere cu plasma se stabilesc diferențiate în funcție de natura metalului sau a aliajului metallic de tăiat și de natura gazelor plasmogene folosite.

6.5. Robotul REMUS

Robotul REMUS - Robot Experimental de Metalizare Uniformă și Sudare - este destinat operațiilor de recondiționare prin metalizare și încărcare prin sudare.

Robotul are patru grade de libertate : trei translații și o rotație, lucrând în coordonate cilindrice.

Caracteristicile tehnice sunt [164] :

Grade de libertate	4
Sistem de coordonate	cilindric
Varianta constructivă	T R T T

Gradul de libertate	Cursa pe axă	Viteză pe axă
Translația 1	2000 mm	0,25 - 1,25 m/min.
Rotetă 2	360° nelimitat	2 - 20 %/s.
Translația 3	1200 mm	0,06 - 0,1 m/min.
Translația 4	750 mm	0,25 - 1,25 m/min.

Capacitatea de încărcare	4 kg
Acționare	electrică cu motoare de c.c.
Comandă	cu MICROFROG 228 cu 5MPA/ECC manuală
Suprafața de bază	700 x 700 mm
Greutate totală	70 kg
Spațiul de lucru	toroid (1650x900x1100 mm)

Schemă cinematică structurală este reprezentată în figura 6.10.

Cele patru grade de libertate, conforme figurii 6.10, sunt realizate astfel :

Translația 1 pe axa x este realizată de motorul MR1 printr-un angrenaj selectabil AM1 având raportul de angrenare : 1 : 40. Roata dințată este solidară cu arborele de extenare a reșilor conduse. Împreună cu celelalte două reșii conduse ansamblul formează un cărăier ce se deplasează pe două căi de rulare CR.

Rotetă θ în jurul axei z se face cu un unghi de 360°

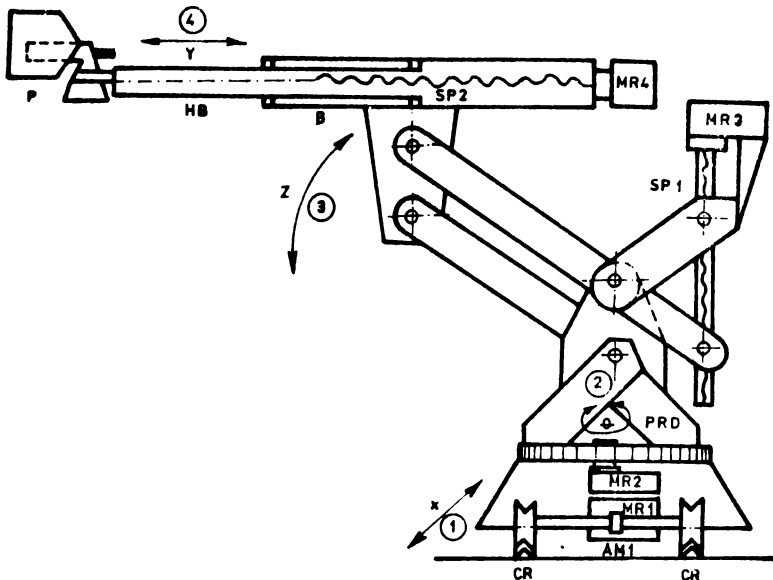


Fig.6.10. Schema cinematică a robotului REMUE.

în ambele sensuri. Aceasta se realizează cu motoreductoarele MR 2 printr-un pinion-roată dințată PRD. Pinional are 9 dinți și este antrenat de motoreductorul solidar pe căruier. Roata dințată are 148 dinți și este solidară cu platoul robotului.

Translația 3 pe axa Z este realizată printr-un mecanism paralelogram articulat care realizează menținerea permanentă a brațului în poziție orizontală. În acest fel se obține cu un singur motor stătă deplasarea pe axa z și pe axa y. Mișcare se realizează prin acționarea mecanismului surub-piuliță SP 1, ce are pasul de 1,5 mm, de către motoreductorul MR 3.

Translația 4 pe axa y este realizată de motoreductorul MR 4 care antrenează mecanismul surub-piuliță SP 2 cu pasul de 6 mm. Pe antebrațul AB este fixat pistoletul de metalizare P.

Robotul este acționat cu motoreductoare de curent continuu de tipul KP 1 și KP 2, alimentate cu tensiune variabilă linier, în timp, în ceea ce se face cu mici comenzi.

sistemul MICROPROG 228 sau în impulsuri de tensiune cu factor de umplere programabil, deci comanda se face cu microsistemul SEPAMECC.

Instruirea se face prin învățare de la pencil de comandă manuală, memorindu-se comenzi și traiectorii, astfel cind robotul este cuplat la microsistemul SEPAMECC.

Dacă robotul este cuplat cu două microprogramatoare MICROPROG 228 se face programarea în timp a celor patru canale analogice de tensiune.

Robotul REMUS lucrează într-o celulă flexibilă împreună cu instalația de metalizare prezentată în subcapitolul 6.2. și un manipulator cu două picioare de lucru. Manipulatorul realizat cu motoare electrice de curent continuu are 5 grade de libertate și poate fi cuplat la microsistem. Cele două picioare de lucru pot lucra individual sau simultan.

În figura 6.11 este prezentat robotul REMUS.

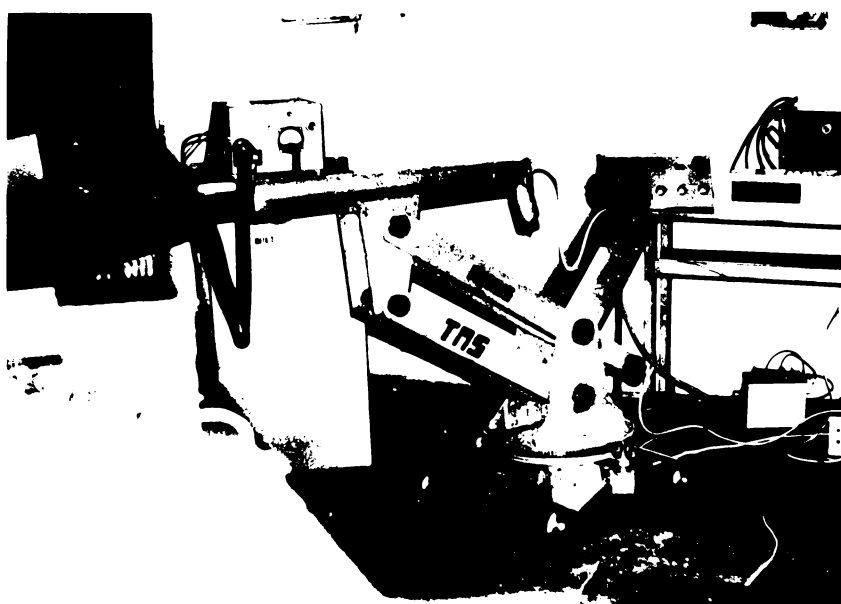


Fig.6.11. Robotul REMUS.

6.6. Robotul ROCCOS

Robotul ROCCOS - Robotul Organizat în Coordonate Cilindrice Optimal pentru Sudare - este destinat operațiilor de sudare în mediu de CO_2 .

Sudarea cu electrod fusibil în mediu de gaz protector - MIG - MAG - constituie procedeul cel mai convenabil de robotizat în aplicațiile de sudare cu arc electric. Protecția băii de metal topit și a arcului se face cu gaz activ (CO_2).

Robotul are patru grade de libertate : două translații și două rotații, lucrând în coordonate cilindrice.

Caracteristicile tehnice sunt [105] :

Grade de libertate 4

Sistem de coordonate cilindrice

Varianta construcțivă RTTR

Gradul de
libertate

Rotatia 1 360° nelimitat 10 - 24 °/s

Translația 2 800 mm 0,05 - 1 m/min

Translația 3 1200 mm 0,9 - 5,3 m/min

Rotatia 4 $\pm 60^\circ$ 6 - 12 °/s

Capacitatea de încărcare 5 kg

Pistolet de sudare 2

Aționare electrică cu motoare de c.c.

cu MICROPROG 228

cu EXPAMMCC

manual și secvențială

Dimensiuni de găbit 2000x1900x800 mm

Greutate totală 150 kg

Spațiu de lucru cilindru tubular cu $d_{ext} =$
 $= 3200 \text{ mm}$, $d_{int} = 800 \text{ mm}$,
 $h = 800 \text{ mm}$.

Schema cinematică structurală este reprezentată în figura 6.12.

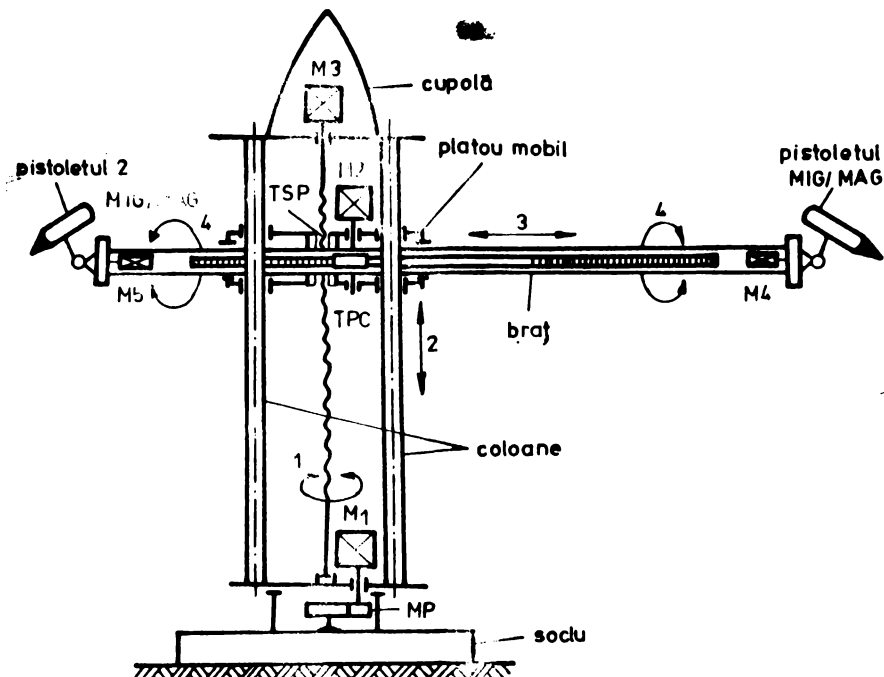


Fig.6.12. Schema cinematică structurală a robotului ROCCOES.

Cele patru grade de libertate, conform figurii 6.12, sunt realizate astfel :

Sistemul de rotație include și structura de bază realizată într-un batiu de formă cilindrică cu rolul de susținere și de stabilitate al robotului. Pe structura de bază este rigidizat subsistemul de ghidare al nișcărilei de rotație, realizat printr-un peștar pentru rulmenți. Roata se realizează printr-un mecanism planetar MP cu roți dințate cilindrice acționat de un motoreductor melcat M_1 . Mecanismul de rotație cuprinde o coroană dințată fixă și un pinion satelitic.

Sistemul de deplasare pe verticală, cuprinde subsistemul de antrenare de tip mecanism surub-piulișă TSP, acționat de motoreductorul melcat M_3 și subsistemul de ghidare ce constă dintr-un ansamblu de patru coloane cilindrice pe care culisează un platou mobil, ghidarea făcându-se pe patru rulmenți de translație cu bile. Cele patru coloane de ghidare sint dispuse vertical, fiind rigidizate prinț-e

plată de bază și o placă superioară. Placa de bază susține lagărul surubului de antrenare pe verticală, motoreductorul și lagările subsistemului de antrenare a mișcării de rotație. Pe placă superioară se consolidează și întreazădă cele patru coloane este fixat motoreductorul de antrenare a surubului M3 și capela rebotului.

Platformul mobil constă din două plăci paralele între care sunt rigidizate piulițe mecanismului surub-piuliță TSP și cele patru rulmenți de translație.

Sistemul de deplasare pe orizontală, cuprinde platoul mobil și brațul.

Subsistemul de deplasare pe orizontală este realizat după un mecanism pinion-cremaliere TPC acționat de un motoreductor select M2. Cremaliere este rigidizată pe traversa suport ce formează cele două brațe pe care sunt fixate cele două pistolete de sudare MIG - MAG.

Subsistemul de ghidare constă dintr-un ansamblu de patru role de ghidare cu rulmenți având profilul secțiunii traversei suport dispuse două cîte două la marginile platoului mobil. Capul de sudare (pistoletul) este fixat la una dintre extremitățile traversei printr-un dispozitiv de prindere și retragere.

Rebotul poate lucra și cu al doilea cap de sudare dublindu-i productivitatea dacă se sudă în două coturări îndepărtate.

Subsistemul de rotație al pistoletului este realizat printr-un motoreductor M4, respectiv M5, ce face posibilitatea sub anguli dorit.

Rebotul poate fi comandat manual de la un pupitru de comandă sau de la un display cînd se află sub controlul microsistemului SAFANIECC.

Cînd se află sub controlul microsistemului MICROPROG 228 programarea lui se face de la tastatura echipamentei - lui, introducîndu-se valorile tensiune - timp corespunzătoare disprezelei de mișcare.

Pe brațul rebotului se monteză sau sunt două pistolete de sudare ce sunt legate la semiautomatul de sudare SAGO 3. Experimental s-a realizat programe pentru sudarea

unor piese după contur dreptunghiular și triangulare.
În figura 6.13 se prezintă robotul ROCCOS.

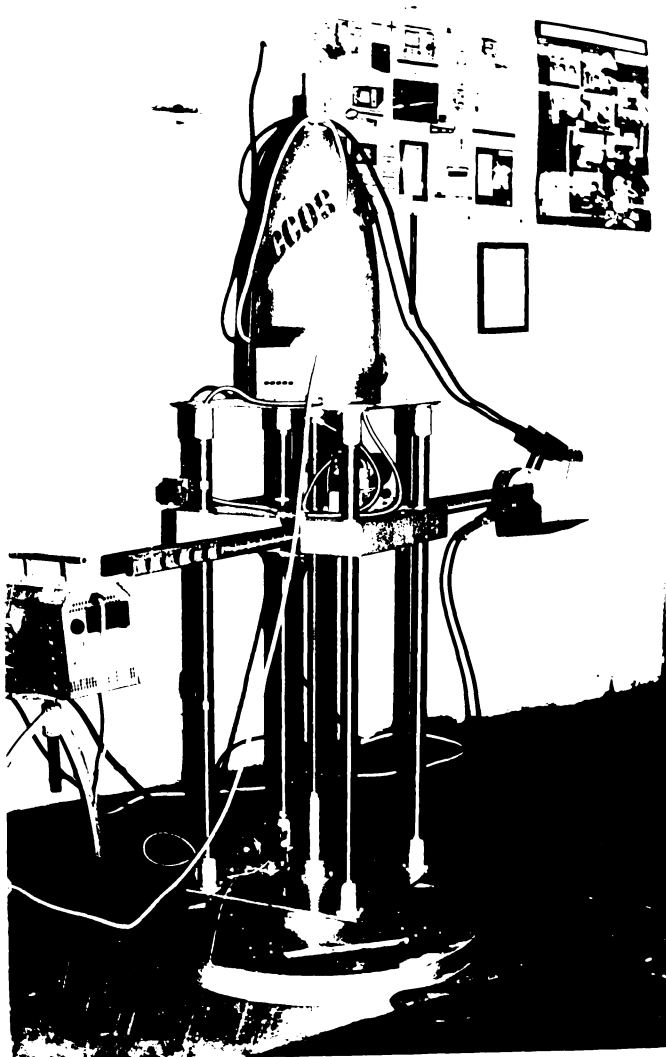


Fig.6.13. Robotul ROCCOS.

6.7. Robotul ROMUS

Robotul ROMUS - Robot Organizat Multifuncțional pentru Utilajul de Sudare - este destinat operațiilor de sudare - WIG - cu electrod nefuzibil din wolfram în mediul proteector de gaz inert (argon sau heliu).

Robotul are cinci grade de libertate, primele trei grade aparțin sistemului generator de traiectorie iar ultimale două aparțin sistemului de poziționare și lucrează în coordinate polare.

Caracteristicile tehnice sunt [1e6] :

Grade de libertate 5

Sistem de coordonate polar complex

Variante constructive RHTRE

Gradul de libertate	Cursa pe axă	Viteză pe axă
Rotația 1	360° nelimitat	0,6-18 % (0,1-3 rot/min)
Rotația 2	85° (-35°; + 50°)	0,7-22 % (0,12-3,6 rot/min)
Translația 3	485 mm	75-2500 mm/min
Rotația 4	180° (-90°; + 90°)	0,3-11,1 % (0,05-1,35 rot/min)
Rotația 5	360°	0,48-16,56 % (0,08-2,76 rot/min)

Capacitatea de încărcare	5 kg
Acționare	electrică cu motoare de c.c.
Comandă	manuală cu MICROPORG 228 cu SEPAMECC
Dotare specială	cameră IV pentru supravegherea procesului de sudare
Espresia de bază	0,56 m ²
Greutatea totală	100 kg
Spațiul de lucru	zonă sferică

Schemă cinematică structurală a sistemului generator de traiectorie este prezentată în figura 6.14.

Pentru obținerea primelor trei grade de libertate diferențiale sistemului de generare a mișcării de transport este concepută schema cinematică funcțională din figura 6.14.

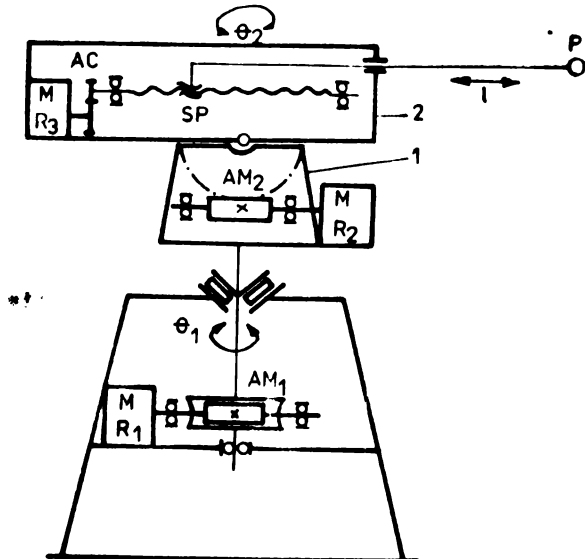


Fig.6.14.

Rotatia θ_1 este generata de motorul MR1, a căruia miscare de rotatie este transmisă engranjajului măcesat AM_1 (cu raportul $i = 40$ și distanța între axe $A = 100$ mm) cu rol de reductor. Elementul 1 se rotește împreună cu celelalte elemente ale lanțului cinematic cu viteze de rotatie între 0,1 - 3 rot/min.

Rotatia θ_2 este generata de motorul MR2, a căruia miscare de rotatie este transmisă engranjajului măcesat AM_2 (cu $i = 25$ și $A = 100$ mm) tet cu rol de reductor. Elementul 2 se rotește împreună cu celelalte elemente ale lanțului cinematic cu viteze de rotatie între 0,12 - 3,68 rot/min.

Translatia 1 este generata de motorul MR3, a căruia miscare de rotatie este prelucrată de engranjajul cilindric AC, cu dinți drepti ($i = 3$ și $A = 40$ mm) cu rol de multiplicator și transmisă mai departe mecanismului gravită - piuliță SF, realizând viteze de translatie între 7,5 - 252 cm/min.

Ultimile două grade de libertate care să permit sistemu lui de orientare sau pozitionare să fie realizate de ante-

braz. Schema cinematică structurală este prezentată în figura 6.15.

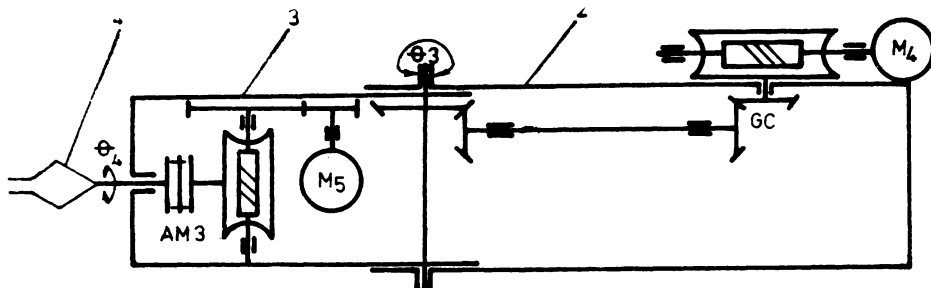


Fig.6.15.

Flexarea θ_3 , a antebrațului se realizează cu un grup conic GC de roți dințate, cu motorul M₄, montat în brațul 2, conform figurii 6.15.

Poziția finală θ_4 de pozițiere a pistoletului în antebraț este realizată de motorul M₅, prin engrenajul melcat ΔY_3 .

În antebrațul 3 se află sistemul de prindere al pistoletului 4.

Comanda robotului se poate face manual de la un panou de comandă, individual sau combinat pentru fiecare motor. Această manevră este necesară în vederea poziționării lui în apropierea pieselor ce se sudeză.

Comanda automată se realizează de la microsistemul MICROPECG 228, făcindu-se programarea canalelor analogice de tensiune sau a comenziilor bipozitionale pe baza diagramei de mișcare impuse.

Robotul este prevăzut cu o comandă TV pentru urmărirea procesului de sudare și a circulației electrică în timpul desfășurării procesului.

În figura 6.16 este prezentat robotul ROKUS.

Robotul este destinat operațiilor de sudare semiautomată a pieselor de dimensiuni medii, având lungimea cordoanelor între 1 și 2 m.

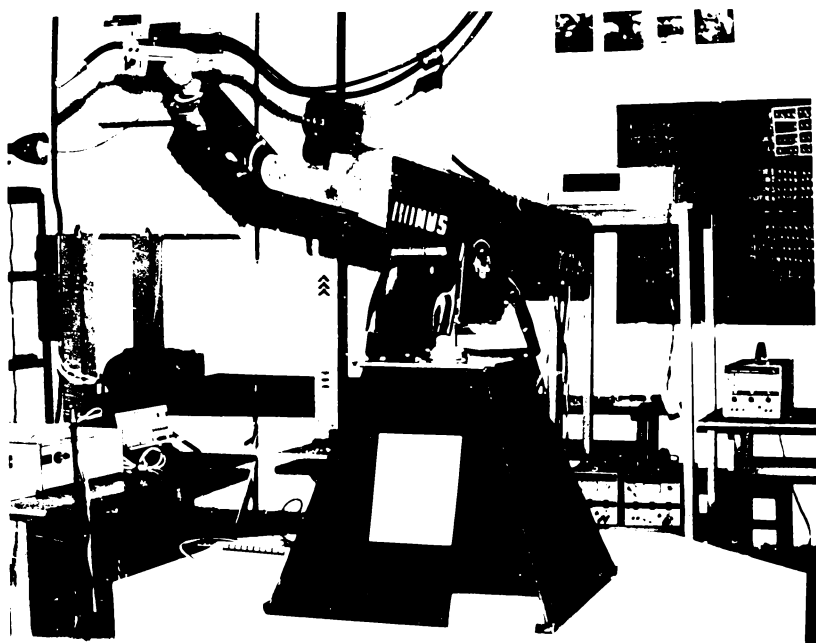


Fig.6.16. Robotul ROMUS.

6.3. Robotul HEMECC - 93

Robotii industriali sunt instalatii pentru „operatii humanoide” (care au acelasi sens executabile de catre om) ale căror miscari sunt comandate după un program flexibil, modificabil în funcție de condițiile mediului și de sarcinile de lucru variabile.

Robotii industriali - RI - se clasifică pe generații sau nivele, în funcție de sistemul de comandă și gradul de dezvoltare a inteligenței lor artificiale [45].

Un RI de generația a 3-a lucrează după un program flexibil, prestatilit de programator ca posibilitatea de a-și修改其 own program la condițiile concrete de lucru, în vederea optimizării operației humanoide de execuție. Flexibilizarea lui implică folosirea unui microcalculator sau al-

crea procesor ce permite realizarea unui intelect artificial.

S-a conceput și realizat de către autor un robot de su-

dare de generație a 3-a denumit RAKBCC - 03 „Robot Experi-

mental cu Rotacări Electrice de Curent Continuu” - care este

sub controlul echipamentului SEPAMECC descris anterior în

subsecțiunile 4.3 și 5.3.

In construcția robotului au fost realizate următoarele

sisteme :

1. sistemul mecanic și de acționare
2. sistemul de comandă și programare
3. sistemul de senzori și traductoare.

In concepția robotului s-a avut în vedere realizarea a

patru grade de libertate și anume: două rotații și două transla-

ții. Pentru realizarea fiecărui grad de libertate este pre-

văzut căsăt un modul ce cuprinde toate cele trei sisteme.

Schela bloc a unui modul al robotului este prezentată

în figura 6.17.

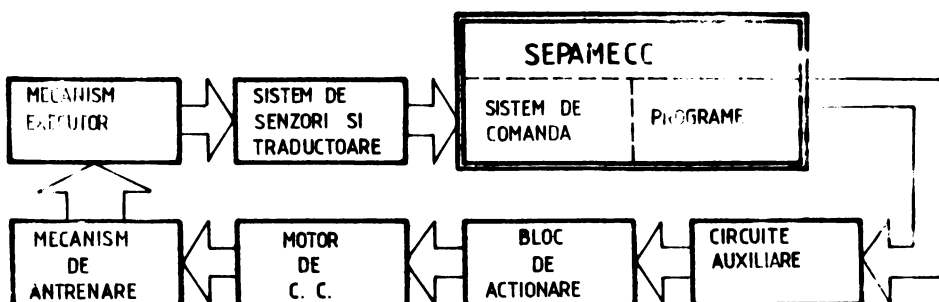


Fig.6.17. Schema bloc a unui modul al robotului.

In total există patru astfel de module care sunt conec-

tate la echipamentul SEPAMECC. Intre aceste module există o

interdependentă strinsă, deoarece mișcările robotului și con-

ducerea procesului se execută combinat. În liniile cele patru

grade de libertate mai există posibilitatea realizării celui

de-al cincilea și anume strângerea și deschiderea mîinii sau

a cleștelui de suțire. In capătul brațului robotului poate

fi montată o mînă cu patru degete poliarticulată sau un eleg-

te de suțire care poate prinde un electrod sau un pistollet.

Rotacia mîinii este optională, funcție de procedeu și repe-

rele de suțire [99].

Caracteristicile tehnice sunt [107] :

Grade de libertate 4 + prehensiune

Sistem de coordonate cilindrice

Varianta constructivă TRIT

Gradul de libertate	Carcă pe axă	Viteză pe axă
Rotativ 1	360°	0,5 - 8 °/sec
Translație 2	500 mm	0,5 - 18 mm/sec
Translație 3	300 mm	0,5 - 10 mm/sec.
Translație 4	800 mm	2 - 20 mm/sec.

Capacitatea de încărcare 2 kg

Dispozitiv de prehensiune - tip clește sau

- degete poliariculare

Aționare electrică cu motoare de c.c.

Comandă manuală

ciclu extins cu MICROPROG 228
cu SIMATEC

Dotare specială

cu cameră TV pentru supravegherea procesului de sudare

Suprafata de lucru 700 x 500 mm

Grație totală 60 kg

Spațiu de lucru cilindru tubular

În sistemul tridimensional de coordonate, robotul încreșă în coordonate cilindrice, având și posibilitatea sălii în lungul traseului de sprijin. Modul de realizare a gradelor de libertate și dispunerea motorurilor electrice de acționare este ilustrat în figura 6.18.

Conform figurii 6.18, cele 4 grade de libertate sunt realizate astfel :

- rotativ γ , cu motorul M_1 , prin anghelajul selector AM 1, cu un unghi de 360° într-un sens și în celălalt. Se obține astfel rotația întregulai subansamblu celor 3 axă C cu viteze unghiulare 0,5 - 8 °/s.

- translație z pe verticală, cu motorul M_2 , prin mecanismul surub-pialită SPL având o cără de 500 mm și viteza între 0,5 - 18 mm/s.

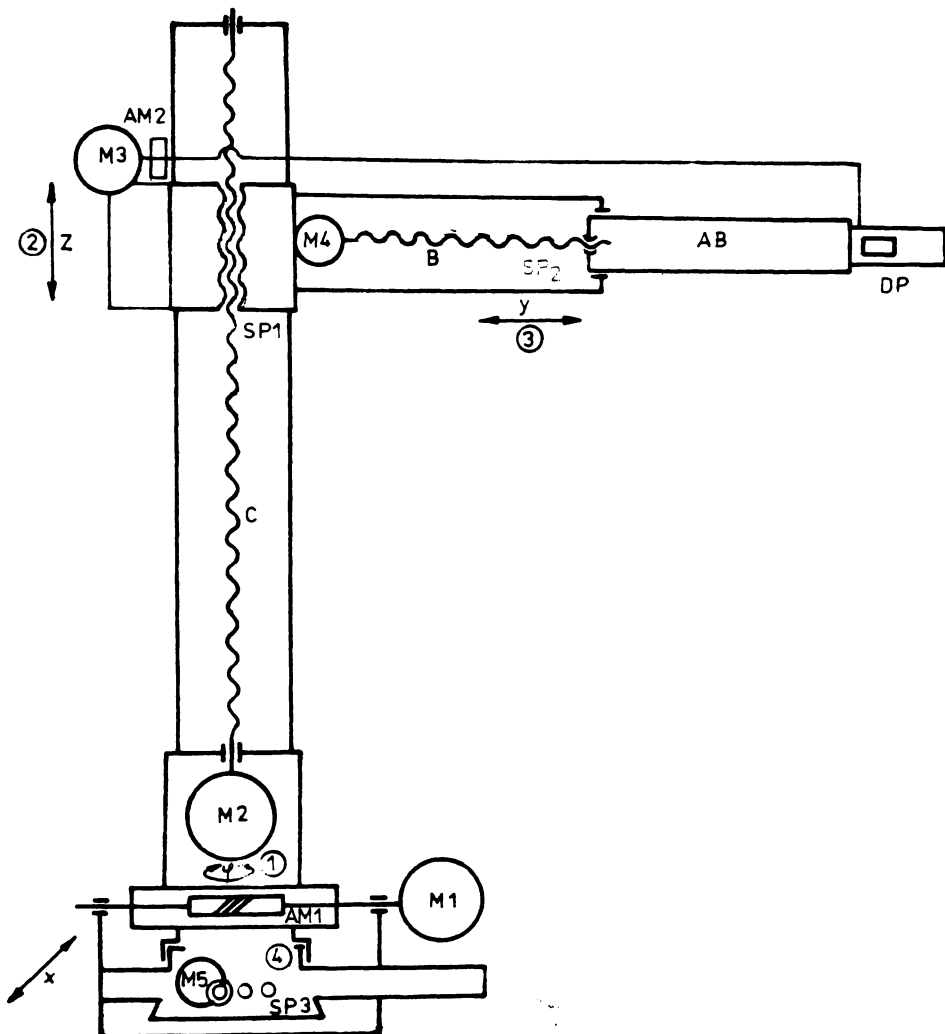


Fig. 6.18. Structura și amplasarea motorurilor.

- translația y de extensie a brațului B prin antebrațul AB , cu motoreductorul M_4 și mecanismul surub-piuliță SP_2 , realizând o cursă de 300 mm cu o viteză de 0,3-1,0 mm/s.

- translație Y de deplasare a cărăciului pe un ghidaj coadă de rîndunica, cu motoreductorul M_5 , printr-un mecanism surub-piuliță SP_3 , obținindu-se o cursă de 800 mm cu o viteză de 2-20 mm/s.

Dispozitivul de prehensionare DP poate prinde un pistolet de sudare, avind portanță de 20 N sau un elește port-

electrod. El este acționat de motoreductorul M_3 , și este angrenajul selectat $A\bar{M}2$ prin intermediul unui arbore flexibil.

Performanțele robotului sunt caracterizate și de spațiul de lucru, rezultat din diferențe spațiilor neutrălități în exterior și interior. Spațiul de lucru este inclus în spațiul de coliziune și are o suprafață de aproximativ $2,5 \text{ m}^2$. Spațiul de pericol este constituit din spațiul de coliziune, la care se adaugă un spațiu de siguranță. Valorile acestor spații sunt date schematic și planar în figura 6.19.

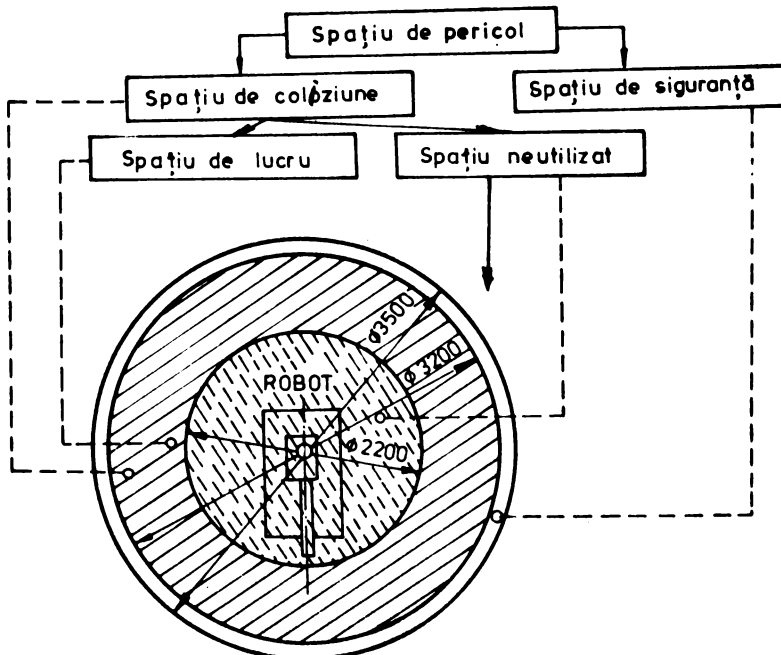


Fig.6.19. Reprezentarea planară a spațiilor aferente robotului.

Acționarea robotului se face cu motoare electrice de curent continuu tip MF și MF_3 , comandate în impulsuri de tensiune modulate în durată.

Sistemul de comandă a robotului REMACC este realizat în trei variante [107]:

- 1-comandă manuală de la un pupitru de comandă prevăzut cu butoane independente pentru fiecare motor.
- 2-comandă în ciclul automat, de la buton sau pedali,

implementarea făcindu-se cu relee de timp și contacte.

3-comandă în ciclu automat programat, implementarea făcindu-se cu echipamentul SEPAMECC.

Comanda programată se face prin cuplarea la robot a microsistemeului SEPAMECC conform figurii 2.20.

ANSAMBLUL SEPAMECC - REMECC - 03

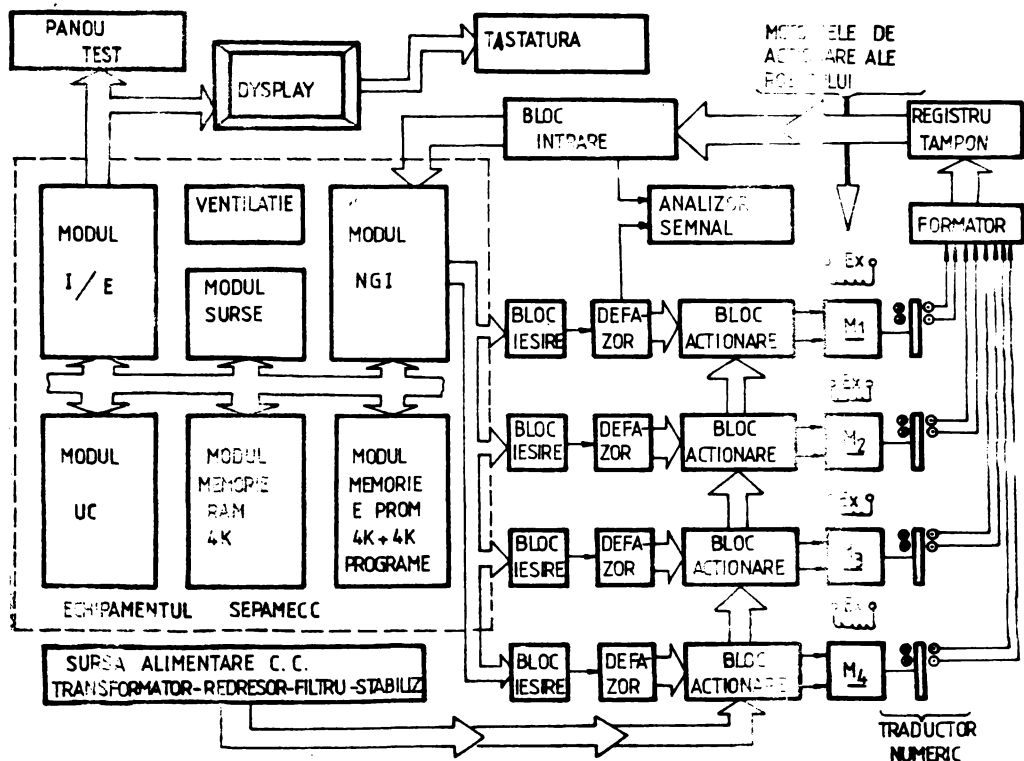


Fig.2.20. Schema bloc de comandă a robotului REMECC-03 cu microsistemul SEPAMECC.

Schema de comandă, conform figurii 2.20 cuprinde cele 4 motoare electrice de c.c. pe care sint montate traductoare numerice a căror impulsuri sint introduse în circuit formator, apoi într-un registru tampon și blocul de intrare. Impulsurile purtătoare de informație privind turările motorelor sint introduse în microsistemul SEPAMECC. Aici la dyplay au fost introduse: lungimea cordonului de sujet,

viteza de sudare, acceleratia de pornire, viteza de frinare si acceleratia de frinare. Se calculeaza spatiul de frinare si se testeaza in timp real viteza si acceleratie - tia materialui urmărind profilul de viteza si acceleratie impas.

Robotul prezentat a fost proiectat si realizat in vederea executarii unor operatii complete de sudura. In acest sens, vitezele lui de deplasare sunt relativ mici, corespunzatoare vitezelor tehnologice de sudare.

Sistemul de conducere a robotului a fost iarashisat pe trei nivele :

- 1 - SERVO - cu posibilitate de armare a pozitiilor capului de sudare, generate la nivelul superior.
- 2 - STRATEGIC - pentru implementarea planificarii traiectoriei propuse.
- 3 - INTELIGENT - pentru prelucrarea informatiilor senzoriale existente la procesul de sudura (viteza de sudare, viteza de avans a electrodului sau a firului, curent de sudare, timp de sudare, temperaturi, intensitate luminoasa a creoului etc.).

Cele trei sisteme purt sub controlul unitatii centrale a minisistemului SEPAMBOC realizand de fapt un control activ al calitatii imbinderii sudate.

Instruirea robotului se face prin invatare suplindu-l pe comanda „MANUAL” si pozitionind capul de sudare la locul de inceput al cordosului. Pistaletul este deplasat prin comenzi manuale pe traiectorie ce urmeaza a fi executata sudares. In acest timp fiecare motor inregistreaza, prin traductoarele optice de turatie, in conurile rezervate in acest scop a microsistemului, spatiul parcurs in numar de impulsuri corespunzator turatiei. La sfirșitul operatiei de invatare se citeste valoarea acestor conrete datele respective constituind datele de intrare pentru spatiul ce-l are de parcurs fiecare motor. Se trece comanda pe „AUTOMAT” introducandu-se viteza tehnologica de sudare, viteza finala la sfirșitul liniei de program, acceleratie de pornire si acceleratie de frinare pentru

fiecare motor. Se reduce capul de sudare la poziție inițială și se dă comanda „START”.

Robotul este montat pe braț o cameră de lucru vedere în vederea supravegherii procesului de sudare și vizualizarea făcindu-se prin două monitoare.

Robotul de sudură RENMCC-03 realizat este prezentat în figura 6.21 [105].

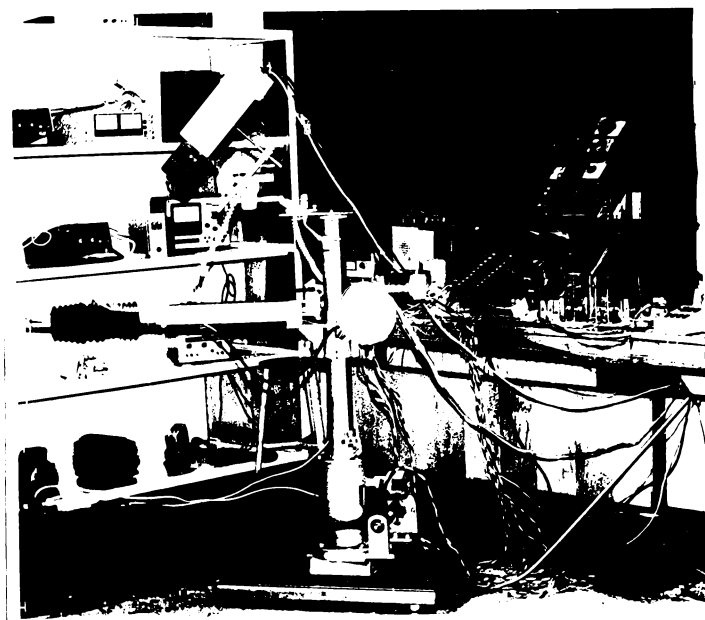


Fig.6.21. Ansamblul robotului RENMCC-03.

Robotul are o funcționare automată care reproduce anumite funcții motrice și intelectuale ale omului în realizarea operațiilor de sudare.

Calitatea unui robot trebuie apreciată în primul rînd prin eficiență acordată în producție. Din acest motiv robotul proiectat și realizat a fost specializat pe operații de sudare. Cu mici adaptări el poate fi ușor folosit la sudarea unor repere variate ca formă și tehnologie precum și la metalizare.

În figura 6.22 este prezentat robotul cuplat la sistemul de comandă SEPAMMCC. Programarea, simularea și testarea robotului se face de la terminalul DAF local.

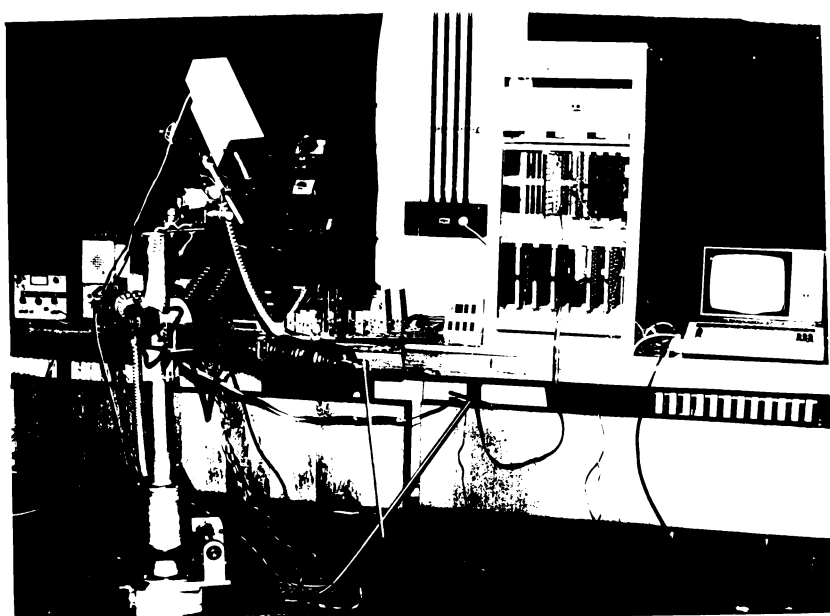


Fig.6.22. Robotul RMKCC-03 cuplat la SF-PAMECC.

În punct de vedere al programului realizat, de tip elastic, robotul construit face parte din generația a III-a, avind și un nivel de inteligență artificială. Automatizarea completă a operației de sudare cu arc electric impune utilizarea unui robot evoluat, dotat cu inteligență artificială, capabil să controleze atât traiectoria cît și calitatea sudurii.

Variantele constructive ale acționării în exclusivitate electrică utilizând motoare electrice de curent continuu, soluție ce se dovedește a fi mult mai autonomă decât o acționare hidraulică sau pneumatică. Fiind acționat numai electric, compatibilitatea lui cu sistemul electronic de comandă este mult mai avantajoasă, fiabilă și precisă.

Experimentările făcute cu robotul electric RMKCC-03 comandat de microsistemul SF-PAMECC au condus la obținerea unor performanțe superioare în ceea ce privește calitatea sudurii.

6.8. Aplicații și utilizări industriale

După modul cum a fost conceput echipamentul SEPANECC, are o aplicabilitate universală. În cadrul acestei lucrări au fost expuse aplicații ale echipamentului SEPANECC : la instalația de metalizare și la robotii de sudare: RETEP, REMUS, ROCCOS, ROMUS și REMECO-63.

Programele de aplicatie prezentate pe larg în subcapitolul 5.4 satisfac deplin comanda acestor realizări experimentale.

Instalația de metalizare prezentată în subcapitolul 6.2 și robotul REMUS prezentat în subcapitolul 6.5 au importanță aplicații industriale la :

- metalizarea pieselor de revoluție cu uzură mare (arbore cotiți de motoare, axe, fusuri, pistoane, axe cu cană, tije de supape, buze, cunimăți, legăre etc.) în vederea recondiționării și recuperării acestor piese,
 - metalizarea suprafețelor plane cu uzură mare și solicitări îndelungate (ghidaje, sămii, căi de rulare etc.) în vederea prelungirii duratei de funcționare,
 - protecția împotriva coroziei a instalațiilor, construcțiilor metalice și mașinilor (poduri metalice, piloni, rezervoare, suprastructuri de nave, porți de ecluse, instalații hidrotehnice, conducte etc.),
 - depunerea prin pulverizare a unui strat de aluminiu în vederea creșterii durabilității suprafețelor solicitate termic (cutii de coacătare, cale și creuzete pentru topitorii și tratamente termice, tuburi, palete de turbine cu gaz, supape de evacuare, apărători pentru tuburi pirametrice etc.),
 - depunerea de material antifrictionist la legăre metalice în industria electrotehnicii și electronică,
 - metalizarea unor panouri solare, pentru creșterea rugozității suprafețelor, în vederea captării unei cantități de căldură sporite.
- Robotii RETEP, ROCCOS și ROMUS se pot utiliza cu rezultate bune la tăiere :
- cu oxigen și oțelurile,
 - cu plasma,
 - cu arc electric(arc-sar, oxiar și cu electrozi in-

veliți).

Calitatea tăierii, precizia, economia de timp și energie precum și posibilitatea obținerii economice a materialelor de debitat sunt obiective care au stat la baza conceperii și aplicabilității industriale ale acestor instalații.

Robotii menționati au o aplicabilitate de mare eficiență în sudarea:

- cu flacără de gaz oxacetilenică
- cu arc electric
- în mediul de gaze protectoare.

În vederea realizării unei suduri de bună calitate, robotii prezentați asigură un control activ atât al poziției pistoletului cît și a parametrilor tehnologici de sudare, gestionând optim energie și materialele de sudare.

Robotul REMECO-e3 realizat și expus la SEPAMECC este un robot multifuncțional de sudare. Cu unele mici adaptări el poate fi aplicat în industrie la :

- A. Sudarea cu electrosi învaliți, fixindu-se electrozul într-un eleger de sudură.
- B. Sudarea sau tăierea oxigen, fixindu-se pe brațul robotului un suflător.
- C. Sudarea în mediul de gaz protector (CO_2 , MIG, MAG), fixind pe brațul robotului un pistolet.
- D. Sudarea cu plasma, menținându-se pe braț un pistolet.
- E. Metalizare, acționându-se pistoletul instalației de metalizare.
- F. Sudarea cu energie înmagazinată, fixând unul din electrosi pe brațul robotului.
- G. Manipularea unei piese și subcomponente în vederea sudării.

Nominalul mare de aplicații la care se potrivește robotul REMECO-e3 este datorat gradului mare de mobilitate, posibilității lui de urmărire a unei trajectoare în spațiul tridimensional, precum și nivelul ridicat de inteligență pe care-l posedă prin posibilitatea lui să obțină și să controlă microsistemul SEPAMECC ce are la bază microprocesorul INTEL 8086.

7. CONCLUZII SI CONTRIBUTII ORIGINALE

In lucrare se tratează comanda după un program complex, urmărind o diagramă de mișcare impusă a motoarelor de curent continuu comandate ca microsisteme simulând și executând funcțiunile principale la care un motor este supus în timpul unei acțiuni.

Ce rezultat al cercetărilor teoretice și experimentale efectuate în această lucrare rezultă următoarele concluzii și contribuții originale:

1. În prezent eficiența economică, ce are în vedere: prețul de cost, randamentul, simplitatea, siguranța în funcționare, factorul de putere, domeniul de reglaj, precizia de reglaj, ușurința controlului și a întreținerii, raportul putere-greutate, găbitit etc., este în favoarea acțiunilor de curent continuu.

2. Comanda numerică directă cu ajutorul microprocesorului este mai avantajoasă decât reglares individuală deoarece microprocesorul are posibilitatea de-a controla mai mulți parametrii în paralel.

3. Simularea pe calculator a sistemelor fizice, în special motorul electric de curent continuu cu excitare independentă și constantă, se bazează pe stabilirea schemei bloc a sistemului, reprezentată separat printr-o schema care modelizează funcția de transfer. Prin aceasta se simplifică studiul influenței parametrilor asupra comportării sistemului de acționare precum și interpretarea rezultatelor.

4. În vederea simularii să se concepe un pachet de trei programe originale, care se spelează între ele. Aceste programe denumite DOTI - „Determinarea optimă a transferului intern” - servesc și la optimizarea acțiunilor reglabile, urmărind comportarea dinamică la modificările valorilor prescrise și la modificările mărimilor perturbatoare. Aceste programe sunt prezentate în anexele 1, 2 și 3.

5. Variatia tensiunii medii de ieșire prin VTC - variator de tensiune continuu, și implicit o reglare a curentului prin motor, se face cu pierderi relativ mici de energie prin

verierea factorului de comandă f_c . Relația (3.40) permite determinarea perioadei maxime de lucru a VTC pentru un motor dat, deci implicit și frecvenței limită pentru impulsurile de comandă, pentru ca motorul să lucreze în regim de curent neintrerupt.

6. Impulsurile de comandă sunt obținute de la microsistem având frecvență de 1 kHz și factorul de ampliere programabil în funcție de profilul vitezei și accelerării.

7. Microsistemul calculează ciclic la loc și viteză – rez vitezei și accelerării, în fiecare moment, ale motorului, executind astfel diagrame de mișcare în timp real.

8. Se propun trei variante pentru comanda motorului de c.c., cu excitație separată și flux considerat constant, utilizând calculatorul WANG și microsistemele MICROPORG 228 și SEPAMECC.

9. Calculatorul WANG se cuplă printr-o interfață paralelă cu sistemul de acționare. El se intocmă programele : de sincronizare, de calcul al vitezei și de test ale motorului în limbaj BASIC, prezentate în anexele 5,6 și 7.

10. Microsistemul MICROPORG 228 comandă motorul de c.c. generind o tensiune liniar variabilă programabilă după un profil de viteză tip rampă și pe lîngă variabile în timp.

11. Microsistemul SEPAMECC a fost conceput și realizat pentru comanda rebotilor de sudare acționate cu motorul electric de c.c.

12. Unitatea centrală a SEPAMECC este realizată cu microprocesorul 8080. Modulele de memorie RAM și EPROM aparțin sistemului ECAHOM 800.

13. Microsistemul SEPAMECC conține o serie de circuite și dispozitive auxiliare care permit dialogul operatorului cu rebotul.

14. Un modul important al microsistemei este modulul

NGI - Numărător Generator de Impulsuri, care conține 6 circuite 3253, numărător divizor programabil, a cărui programare s-a făcut în subcapitolul 4.3.3.

15. Programele originale de aplicații pentru simulare și acționare utilizând limbajul de asamblare specific microprocesorului Z8000. În acest sens a fost elaborat un pașech de programe rulante pe SEPAMEC și memorate pe EPROM.

16. Programele prezentate în subcapitolul 5.4 și anexa 8 au stat la baza contractului de cercetare științifică nr.214/1983 cu Institutul de Fizică și Tehnologie Aparătoare cu sediul București.

17. Realizările experimentale efectuate pe motoare de tip MF, SJC și KP sunt primele încercări în țară de comandă a lor cu microsisteme, iar rezultatele obținute conduc la concluzia că ele pot fi utilizate la acționarea roboților industriali.

18. Determinarea factorului de comandă f_c , în vederea cunoașterii valorii cu care se comandă blocul de acționare, respectiv variatorul de tensiune continuu, la care este conectat motorul electric de c.c. se realizează prin aparatul prezentat în subcapitolul 6.3. în cadrul contractului de cercetare științifică nr.16/1981 cu Întreprinderea Electroprecisie Sâcele.

19. Toate principalele circuite auxiliare echipamentului SEPAMEC sunt realizate cu componente electronice românești, cu o mare fiabilitate, în sistem modular.

20. Algoritmul de calcul a constantei de acționare K a fost implementat cu rezultate bune pentru un număr de fanți ale discului tructoatorului optic, mai mic de 20. Aceasta permite controlul în timp real a poziționării rotorului cu o precisiune de 15° .

21. Modelul matematic și algoritmul de calcul implementat au verificat cercetările experimentale de comandă după profil de viteză și acceleratie impusă.

22. Utilizarea microsistemului SEPAMECC permite poziționarea motorului de c.c., controlul vitezei și al accelerării în timp real fără a mai utiliza bucla de curent.

23. Instalația de metalizare prezentată în subcapitolul 6.2 a fost realizată folosind ca surse termice arcul electric descoperit, ca agent pulverizator aerul comprimat iar ca material de apărt sarma de sudură emisă - năști de un motoreductor tip MEF comandat cu microsistemul SEPAMECC.

24. Cercetările teoretice și experimentale legate de acționarea motoarelor de curent continuu cu excitare separată comandate cu microsisteme au condus la realizarea a 5 roboți de sudare pe care autorul le-a verificat atât portea hardware cît și software a echipamentului SEPAMECC.

25. Concepția celor cinci roboți de sudare: RETEP, REMUS, RUCOS, ROMUS și RMICC - e3 este originală, realizarea lor practică certifică viabilitatea cercetărilor teoretice.

26. Realizările experimentale, cu aplicații directe în robotizarea proceselor de sudare, domeniu în care autorul lucrează de 5 ani, au o mare eficiență economică și implicații directe asupra calității sudurii.

Până experimentările efectuate și prin rezultatele obținute autorul speră că și-a adus o modestă contribuție la crearea unor roboți industriali pentru sudare comandati prin microsisteme și acționati cu motoare electrice de curent continuu, domeniu în care specialistii își pot aduce încă numeroase contribuții.

B I B L I O G R A F I E

- [1] NICOLAE CEAUȘESCU - „Reportul Comitetului Central cu privire la activitatea Partidului Communist Român în perioada dintre Congresul al XIII-lea și Congresul al XIII-lea și activitățile de viitor a partidului în vederea îndeplinirii obiectivelor dezvoltării economico-sociale în cincinalul 1986-1990 și în perspectivă, pînă în anul 2000, a României”.
- [2] x x x Directivele Congresului al XIII-lea al P.C.R.
- [3] AUSLANDER, M. DAVID., SAGUES PAUL - Microprocessors for measurement and control, Berkeley, California, fără an.
- [4] BABUTIA, I., PETRESCU, N., - Automatizări electronice în construcție de mașini, Ed. Facla, Timișoara, 1983.
- [5] BALARANIAN N., BICKART T., - Teoria modernă a circuitelor, Ed. Tehnică, București, 1974.
- [6] BALTAG V. și colectiv. - Felix C.256 - Structura și programarea calculatorului, Ed.Tehnică, București, 1974.
- [7] BALTAG V. și colectiv. - Sisteme interactive și limbaje convenționale - utilizare și proiectare, Ed.Tehnică, București, 1984.
- [8] BENES J., - Sisteme cibernetice cu organizare autonată, Ed.Tehnică, București, 1971.
- [9] BERNARD, J.H., KNUPPERIEZ B., - Înțiere în tiristoare, Ed. Tehnică, București, 1974.
- [10] BLAUFUSS K., - Mekanische gleichstromsteller. Archiv für Elektrotechnik 34-1944 nr.10, p.581-590.
- [11] BODEA M. și colectiv., - Circuite integrate liniare. Manual de utilizare, vol.2, Ed. Tehnică, București, 1980.

- [12] BOGDAN R.C. ș.a., - Memoriile calculatoarelor electronice. Funcționare și utilizare, Ed.Tehnică, București, 1975.
- [13] BOȚAN N.V., SAAL C., - Acționare electrică a mecanismelor cu volant, Ed.Tehnică, București, 1967.
- [14] CALIN E., - Regulațoare automate, Ed.did. și ped., București.
- [15] CATUNELANU V.M.ș.a., - Materiale și componente electronice, Ed.did. și ped., București, 1973.
- [16] CHU Y., - Rezele proiectării calculatoarelor numerice, Ed.Tehnică, București, 1968.
- [17] CIOC I., BOROS I., CRISTEA M., - Mașini electrice. Îndrumer de proiectare, E.S.R. Craiova , 1976.
- [18] CONSTANTIN P. ș.a., - Electronica industrială, Ed.did. și ped., București, 1980.
- [19] CONSTANTINESCU SIMION,L., - Transformatoare electrice de mică putere, Ed.Tehnică, București, 1974.
- [20] GRACIUNCIU V. ș.a., - Elemente de execuție, Ed.Tehnică, București, 1970.
- [21] DAMACHI E. ș.a., - Electronica, Ed.did. și ped., București, 1978.
- [22] DĂSCALU D. ș.a., - Circuite electronice, Ed.did. și ped., București, 1981.
- [23] DAVIDOVICIU A., DIATCU I., - Microcalculatoarele în conducerea proceselor industriale, Ed.Tehnică, București, 1983.
- [24] DAVIDOVICIU A., ș.a. - Modelarea simularon și comanda manipulațoarelor și roboților industriali, Ed.Tehnică, București, 1986.

- [25] DODESCU Gh. ș.a., - Minicalculateare, aplicații, vol.I și II, Ed.Tehnică, București, 1978.
- [26] DODESCU Gh., TOMA M., - Metode de calcul numeric, Ed. did. și ped., București, 1976.
- [27] DODESCU Gh., ș.a., - Limbajul BASIC și aplicării, Ed. did. și ped., București, 1978.
- [28] DORDEA T., - Mașini electrice, Ed. did. și ped., București, 1977.
- [29] DORDEA T., - Proiectarea și construcția mașinilor electrice, vol.I partes 1 și 2, Timișoara, 1982.
- [30] DRAGANESCU M., - A doua revoluție industrială. Micro-electronica, automate, informatica - Factori determinanți, Ed. Tehnică, București, 1980.
- [31] FLOREA S. ș.a., - Electronică industrială și automate - tisări, Ed.did. și ped., București, 1980.
- [32] FLORES I., - Practica programării calculatorelor, Ed. Tehnică, București, 1969.
- [33] FRANEUA AL., MAGUREANU E., TOCACI M., - Mașini și acționări electrice. Culegere de probleme, Ed. did. și ped., București, 1980.
- [34] GEBR T. ș.a., - Echipamente periferice, Ed.Tehnică, București, 1981.
- [35] GLAZENCO M., - Impulsne poluprovodnikovie usiliteli v elektreprebibedah, Ed.Energhia, Moscow, 1965.
- [36] GRAVE H.F., - Măsurăres electrice și mărimile neelectrice, Ed. Tehnică, București, 1966.
- [37] GRAY R.P., SEARLE L.C., - Bazele electroniciei moderne, vol.1 și 2, Ed. Tehnică, București, 1973.
- [38] GRAY R.P., MAYER R., - Circuite integrate analogice. Analiză și proiectare. Ed. Tehnică, București, 1983.
- [39] HERSCOVICI H., - Circuite integrate în aparițuri de automatizare, Ed. Tehnică, București, 1976.

- [40] HU Y.P., - The design of the X - motor the IEM 3850, mass storage system. Proceedings of the 6-th Symposium on Incremental Motion Control Systems and Devices, Univ. of Illinois, SUA, 1977, p.133-140.
- [41] KALEMEN A., ş.a., - Mutatoare, aplicării, Ed.did. și ped., București, 1980.
- [42] KALEMEN A., - Acționări electrice, Ed.did. și ped., București, 1979.
- [43] KALEMEN A., IMECS E., - Electronică de putere, Ed.did. și ped., București, 1983.
- [44] KEAPP P., BADEN , - Ten Years of the BBC Direct D.C. Converter for Short-Distance Vehicles, Publication, BBC Brown Boveri, F.Z. CH - BO600B, 1976.
- [45] KOVACS F., COJOCARU G., - Manipulatoare, roboti și aplicațiile lor industriale, Ed. Facla, Timișoara, 1982.
- [46] KUD C.B., KALEMEN A., CRIVII M., TRIFĂ V., - Sisteme de comandă și reglare incrementală a poziției, Ed. Tehnică, București, 1981.
- [47] LAX D., RICHTMYER - Survey of the Stability of linear finite difference equations, Comm Pure Appl. Math 9, p. 267-293, 1957.
- [48] LAZAROIU D.F., - Mașini electrice cu inerție redusă, Ed. Acad.RSR, București, 1969.
- [49] LUPU C. ş.a., - Microprocesoare. Aplicații, Ed.Militară, București, 1982.
- [50] MAYER M., - Tiristoare în practică. Mutatoare cu comutare forțată, Ed. Tehnică, București, 1970.
- [51] MIHOC Gh. ş.a., - Bazile matematice ale teoriei fiabilității, Ed.did. și ped., București, 1970.
- [52] MIHOC Gh., MICU M., - Teoria probabilităților și statistică matematică, Ed.did. și ped., București, 1980.

- [53] MITROFAN Gh., - Generatoare de impulsuri și de tensiune liniar variabilă, Ed. Tehnică, București, 1980.
- [54] MOLDOVAN G., - Scheme logice și programe FORTRAN, Ed. did. și ped., București, 1978.
- [55] MURGASAN T. ș.a., - Microprocesorul 8080. Aplicații, Ed. Facla, Timișoara, 1981.
- [56] NICOLAU Th. ș.a., - Măsurări electronice în industrie, Ed. Tehnică, București, 1964.
- [57] OBERLAN R.M.M., - Numărătoare electronice, Ed. Tehnică, București, 1978.
- [58] OPPELT W., - Tehnica reglării automate, Ed. Tehnică, București, 1965.
- [59] PAPADACHE I., - Automatizări industriale, Ed. Tehnică, București, 1978.
- [60] PESCARU V., - Inițiere în teleprelucrarea datelor, Ed. Tehnică, București, 1972.
- [61] PETRESCU A. ș.a., - Microcalculatorul Felix M18, M18 B, M 118, vol.1 și 2, Ed. Tehnică, București, 1984.
- [62] PETRESCU A., - Calculatoare automate și programare, Ed. did. și ped., București, 1970.
- [63] POP V., POPOVICI V., - Circuite de comutare aplicate în calculatoarele electronice, Ed. Facla, Timișoara, 1976.
- [64] POPOVICI V., - Ghidul lucrărilor de sudare, tăiere și lipire, Scrierul Rom., Craiova, 1984.
- [65] PUCCARU F., MARCOVICI T., - Mărimi și regimuri electrice nesinusoidale, Ed. Scrierul Rom., Craiova, 1974.
- [66] RACOVLEANU N., - Automatica, Ed. Militară, București, 1980.
- [67] RADU O., SANDULESCU Gh., - Filtre numerice. Aplicații, Ed. Tehnică, București, 1979.
- [68] RADU O., - Componente electronice pasive, Catalog, Ed. Tehnică, București, 1981.

- [69] RÂPEANU ș.a. - Circuite integrate analogice. Manual de utilizare, vol.1 , Ed. Tehnică, Bucureşti, 1983.
- [70] RADUTI C., NICOLESCU E., - Maşini electrice rotative fabricate în România, Ed. Tehnică, Bucureşti, 1981.
- [71] REIMES E., - Design Analysis of Multiphase D.C.Chopper Motor Drive, In : IEEE Trans. I.A.martie 1972.
- [72] RICHTER R., - Maşini electrice, Ed. Tehnică, Bucureşti, 1956-1961.
- [73] SAAL C., SZABO Ș., - Sisteme de acţionare electrică. Determinarea parametrilor de funcţionare, Ed. Tehnică, Bucureşti, 1981.
- [74] SERACIN E., POPOVICI D., - Tehnica acţionărilor electrice, Ed. Tehnică, Bucureşti, 1985.
- [75] SERACIN E., ș.a., - Studiu asupra modelării matematice a motorului de curenț continuu cu excitare derivativă, în Electrotehnica nr.4, 1968.
- [76] SERACIN E., - Utilajul electromecanic al întreprinderilor industriale, Ed.did. și ped., Bucureşti, 1973.
- [77] SRIRAGHAVAN S.M. ș.a., - Circuit inverter monofazic cu controlul duratei impulsului, Rev. Electronica, nr.6/1980.
- [78] STRAINESCU I., - Variatoare statice de tensiune continuă, Ed. Tehnică, Bucureşti, 1983.
- [79] STRAINESCU I., - Variatoare de curenț continuu cu tiristoare pentru tractiunee electrice urbane, ICPE nr.29, 71, p.71-78.
- [80] STRAINESCU I., - Scheme electrice pentru acţionarea vehiculelor urbane alimentate de la linii de curenț continuu, Electrotehnica nr.1, Ian., 1978 p.29-36.
- [81] TOACSE Gh., - Introducere în tehnica utilizării microprocesoarelor, Univ.din Braşov, 1983.

- [82] TRIF N. ș.a., - Cercetări privind comanda electronică a instalațiilor de sudet prin puncte. In „Tehnologii și utilaje noi pentru prolucreri la cald”, vol.2, 78, Univ. din Brașov, p.623-628.
- [83] TRIF N., - Metode de calcul a fiabilității sistemelor. In „Creația tehnică și fiabilitatea în construcții de mașini, secție Organe de mașini și mecanisme, Institutul Politehnic Iași, dec.1978, p.136-143.
- [84] TRIF N. ș.a., - Tester pentru identificarea defectelor circuitelor integrate. In „Creația tehnică și fiabilitatea în construcție de mașini”, secție Organe de mașini și mecanisme, Institutul Politehnic Iași, dec.1978, p.239-240.
- [85] TRIF N. ș.a., - Considerații privind imunitatea la perturbări a circuitelor integrate. In „Creația tehnică și fiabilitatea în construcție de mașini”, secție Organe de mașini și mecanisme, Institutul Politehnic Iași, dec.1978, p.284-289.
- [86] TRIF N. ș.a., - Metode de determinare a fiabilității sistemelor continue prin modelare pe calculetoare numerice. In „Creația tehnică și fiabilitatea în construcție de mașini și mecanisme”, secție Organe de mașini și mecanisme, Institutul Politehnic Iași, dec.1978, p.63-67.
- [87] TRIF N., CRUȚU Gh. ș.a., - Contribuții la îmbunătățirea siguranței în funcționare și protecție mașinilor unelte cu comandă numerică. In „Creația tehnică și fiabilitatea în construcție de mașini”, secție Mașini unelte, scule și dispozitive, Institutul Politehnic Iași, dec. 1978, p.244-249.
- [88] TRIF N., - Mărirea fiabilității traductoarelor de proximitate. In „Creația tehnică și fiabilitatea în construcție de mașini”, secția Tehnologie construcțiilor de mașini, Utilaj tehnologic și metalurgic, Institutul Politehnic Iași, dec.1978, p.132-137.

- [89] TRIF N., - Contribuții privind determinarea numerică a turăției autovehiculelor. In „Creativitatea în construcție de fabricare și exploatare a automobilelor”, vol.3 Automobile, Pitești, nov. 1979, p.153-157.
- [90] TRIF N. ș.a., - Sistem automat de pornire-oprire a autovehiculelor. In „Creativitatea în construcție de fabricare și exploatare a automobilelor”, vol.3, Automobile, Pitești, nov. 1979, p.155-161.
- [91] TRIF N., - Studiul arcului electric prin oscilografie, redare pe circuit inchis TV și înregistrare pe video-magnetoscop. In „Noutăți în domeniul tehnologiilor și utilajelor pentru prelucrarea la cald”, vol.2, Universitatea din Brașov, februarie 1980, p.287-291.
- [92] TRIF N., - Tehnici și mijloace moderne în desfășurarea orelor de laborator și proiect în domeniul automatizării industriale. In volumul „Clasic Modern în procesul instructiv-formativ din învățământul superior”, Ed. Junimea, 1981.
- [93] TRIF N. ș.a., - Realizări practice la metalizarea cu arc electric descoperit. In „Tehnologii și utilaje noi pentru tratamente termice și sudare”, vol.23, Universitatea din Brașov, febr. 1982.
- [94] TRIF N. ș.a., - Fast measuring of the "s" parameter for induction motors using TIL - MEI Technology PROCEEDINGS, The third national conference on electrical drives, Brașov, may 1982, vol.1.
- [95] TRIF N., STANCU L., - Pachet de programe pentru simularea acționărilor electrice cu motoare de c.c. In „Acționări electrice”, vol.6, Conferința Națională de Electrotehnică și Energie, Timișoara, sept.1982, p.221-226.

- [96] TRIF N., - Sistem de acționare electrică cu microprocesor. În „Acționări electrice”, vol.6, Conferința de Electrotehnică și electroenergetică, Timișoara, septembrie 1982, p.213-219.
- [97] TRIF N., - Controlul sudurilor și a construcțiilor sudate, Universitatea din Brașov, 1983.
- [98] TRIF N., - Programarea numărătorului generator de impulsuri "NGI" pentru comanda unui robot de sudare. În „Tehnologii și utilaje noi pentru prelucrări la cald”, Universitatea din Brașov, 1984.
- [99] TRIF N., - Performanțele în sudură ale robotului „RAMBEC-ol”. În „Tehnologii și utilaje noi pentru prelucrări la cald”, Universitatea din Brașov, februarie 1984.
- [100] TRIF N. și c.c., - Măsurarea digitală a factorului de amplierea sursele de sudare în curent pulsant. În „Tehnologii și utilaje noi pentru prelucrări la cald”, Universitatea din Brașov, februarie 1984.
- [101] TRIF N., - Contract de cercetare științifică nr.10/1981 cu Întreprinderea Electroprecizie Sâcele, Brașov.
- [102] TRIF N. și colectiv - Contract de cercetare științifică nr.214/1983 cu Institutul de Fizică și Tehnologia Aparatelor cu Radietări, București.
- [103] TRIF N., - Robotul „RETEP” - În „Robot 86” la al IV-lea Simpozion național de roboți industriali Brașov, decembrie 1986.
- [104] TRIF N., - Robotul „RAMUS” - În „Robot 86” la al IV-lea Simpozion național de roboți industriali, Brașov, decembrie 1986.
- [105] TRIF N., - Robotul „ROCCOS” - În „Robot 86” la al IV-lea Simpozion național de roboți industriali, Brașov, decembrie 1986.
- [106] TRIF N., - Robotul „ROMUS” - În „Robot 86” la al IV-lea Simpozion național de roboți industriali, Brașov, decembrie 1986.

- [107] TRIF N., - Robotul „RUMECC-o3” - In „Robot 86” la al IV-lea Simpozion național de reboți industriali , decembrie 1986.
- [108] TUNSOIU Gh., MARACIN E., SAAL C., - Acțiuniări electrice, Ed.did. și ped., București, 1982.
- [109] VASILIU Gh. și colectiv.- Micromotoare de curenț continuu cu comutăție statică, Ed.Tehnică, București, 1976.
- [110] VATASESCU A. și colectiv.- Circuite cu semiconductoare în industrie. Amplificatoare și oscilatoare, Ed. Tehnică, București, 1971.
- [111] VATASESCU A. și colectiv.- Circuite integrate limite. Manual de utilizare, vol.1, Ed.Tehnică, București, 1979.
- [112] VATASESCU V., APURE S., - Catalog de dispozitive semiconductoare, Ed.Tehnică, București, 1976.
- [113] VOGEL J., - Grundlagen der elektrischen Antriebstechnik mit Berechnungsbeispielen, ed.III-e VEB Verlag Technik,Berlin, 1983.
- [114] ZADAH L.A., POLAK R., - Teoria sistemelor,Ed.Tehnică, București, 1977.
- [115] AEG - Hilfsbuch 2, Handbuch der Elektrotechnik.
- [116] Sistemul de minicalculator WANG-2200, Ed. Tehnică, București, seria AMC.
- [117] Dispozitive semiconductoare - catalog, IPRE Bâneasa, 1984.
- [118] Integrated Circuits Consumer - Catalog Thomsen CBI.
- [119] Burr - Brown - General Catalog 1979.
- [120] Semiconductors, catalog, Prague.
- [121] Linear integrated circuits - catalog, MELEK.
- [122] AEG - Telefunken - Catalog dispozitive semiconductoare.
- [123] ECAROM 800,manual de prezentare,manual de utilizare, manual de testare, IPATCT.
- [124] WANG - manual de utilizare.
- [125] 5080 - manual de utilizare.

ANEXA A

```
0010 REM %

10000 PRINT "TIPUL ELEMENTULUI DE INTRARE", B$
```

0020 REM PARTIEA 1

0030 DEFHN'0"CON"

0040 DEFHN'1"IDN"

0050 DEFHN'2"GAIN"

0060 DEFHN'3"SIM"

0070 DEFHN'4"CUS"

0080 DEFHN'5"LAG"

0090 DEFHN'6"BANG"

0100 DEFHN'7"LIN"

0110 DEFHN'8"DEAD"

0120 DEFHN'9"RLY"

0130 DEFHN'10"RLYH"

0140 DEFHN'11"MULT"

0150 DEFHN'12"DIV"

0160 DEFHN'13"SUM"

0170 DEFHN'14"INT"

0180 DEFHN'15"END"

0190 DEFHN'16"ABS"

0200 CLM C(4),E(50),P1,P2,E2

0210 DIM A\$(1/4)

0220 A\$(1)="CON"
: A\$(2)="IDN"
: A\$(3)="GAIN"
: A\$(4)="SIM"
0230 A\$(5)="CUS"
: A\$(6)="LAG"
: A\$(7)="BANG"
: A\$(8)="LIN"
0240 A\$(9)="DEAD"
: A\$(10)="RLY"
: A\$(11)="RLYH"
: A\$(12)="MULT"
0250 A\$(13)="DIV"
: A\$(14)="SUM"
: A\$(15)="INT"
: A\$(16)="END"
0260 A\$(17)="ABS"
0270 K=1
0280 J=20+1
0290 PRINT HEX(JE), "PROGRAM DE SIMULARE"
0300 PRINT
: PRINT
0310 PRINT USING B\$0
-0320 %ELEMENT LEBIRE INTR.1 INTR.2 INTR.3 CT.CARACT.1 CT.CARACT.2
0330 PRINT
: PRINT
-0340 INPUT "TIPI ELEMENTULUI", B\$
0350 FOR I=1TO 17
0360 IF A\$(I)=B\$ THEN 400
0370 NEXT I
0380 PRINT "TIPI ELEMENTU ERONAT"
0390 GOTO 340

-0400 IF B\$="END"THEN 800
0410 X1,X2,X3=0
0420 C1,C2=0

```
0430 INPUT "NUMARUL DEZERII",Y
0440 IF I<=2THEN 510
0450 INPUT "NUMARUL INTRARII 1",X1
0460 IF I=17THEN 540
0470 IF I<=11THEN 510
0480 INPUT "NUMARUL INVARIAT 2",X2
0490 IF I<=13THEN 510
0500 INPUT "NUMARUL INTPARII 2",X3
-0510 INPUT "CONSTANTA CARACTERISTICA 1",C1
0520 IF D$="RLY"THEN 640
0530 IF B$="RLV!"THEN 640
-0540 REM FORMAREA MATRICEI A
0550 A(1,Y)=Y
0560 A(2,Y)=I
0570 A(3,Y)=X1
0580 A(4,Y)=X2
0590 A(5,Y)=X3
0600 A(6,Y)=C1
0610 A(7,Y)=C2
0620 A(8,Y)=0
0630 GOTO 660

-0640 INPUT "CONSTANTA CARACTERISTICA 2",C2
0650 GOTO 540

-0660 IF I<=2THEN 710
0670 IF B$="INT"THEN 770
0680 IF D$="LAG"THEN 770
-0690 N=N+1
0700 GOTO 340

-0710 E(K)=Y
0720 K=K+1
0730 PRINT USING 740,A$(I,A(2,Y)),A(1,Y),A(3,Y),A(4,Y),A(5,Y),A(6,Y)
-0740 % #####   ##   ##   ##   ##   ####.####   ##.#####
0750 A(1,Y)=0
0760 GOTO 690

-0770 B(J)=Y
0780 J=J+1
0790 GOTO 690

-0800 REM INCEPE SORTAREA ELEMENTELOR
0810 FOR L1=1TO 16
0820 IF A(1,L1)=0THEN 860
0830 PRINT USING 840,A$(I,A(2,L1)),A(1,L1),A(3,L1),A(4,L1),A(5,L1),
L1,A(7,L1)
-0840 % #####   ##   ##   ##   ##   ####.####   ##.#####
-0850 NEXT L1
0860 PRINT
0870 I=1
-0880 IF A(1,I)=0THEN 980
0890 IF A(3,I)=0THEN 980
0900 REM SE CAUTA IN TABEUL CU ELEMENTE SORTATE
0910 FOR P=1TO K-1
0920 IF ABS(A(3,I))>P THEN 1050
0930 NEXT P
```

```

0940 REM SE CAUTA IN TABEULU DE ELEMENTE CU MEMDRIE
0950 FOR M=1TO J-1
0960 IF ABS(A(0,M))>B(M)THEN 1010
0970 NEXT M
0980 I=I+1
0990 IF I=17 THEN 1010
1000 GOTO 880

-1010 S=S+1
1020 IF S=N THEN 1090
1030 I=1
1040 GOTO 880

-1050 IF A(4,I)=0 THEN 1210
1060 FOR P=1TO K-1
1070 IF ABS(A(4,P))=C(M)THEN 1130
1080 NEXT P
1090 FOR M=1TO J-1
1100 IF ABS(A(4,M))=B(M)THEN 1130
1110 NEXT M
1120 GOTO 980

-1130 IF A(5,I)=0 THEN 1210
1140 FOR P=1TO K-1
1150 IF ABS(A(4,P))=C(M)THEN 1210
1160 NEXT P
1170 FOR M=1TO J-1
1180 IF ABS(A(5,M))=B(M)THEN 1210
1190 NEXT M
1200 GOTO 980

-1210 E(K)=A(1,I)
1220 K=K+1
1230 A(1,I)=0
1240 FOR V=1TO 16
1250 IF A(1,V)<>0 THEN 980
1260 NEXT V
1270 INPUT "TIMPUL MAXIM DE SIMULARE";T
1280 PRINT "TIMPUL MAXIM DE SIMULARE";T
1290 INPUT "PASUL DE INTEGRARE";Pi
1300 PRINT "PASUL DE INTEGRARE";Pi
1310 INPUT "PASUL DE TIMARIRE";E
1320 PRINT "PASUL DE TIMARIRE";E
1330 INPUT "EPORAREA DE INTEGRARE";EE
1340 PRINT "EPORAREA DE INTEGRARE";EE
1350 FOR L1=1TO 4
1360 INPUT "IESIRI CE SE VOR MIARI";C(L1)
1370 NEXT L1
1380 GOTO 1430

-1390 PRINT "NU SE PUADE FACE SORTAREA ELEMENTELOR"
1400 STOP
1410 PRINT "CALCULUL CIOTEMULUI SE FACE IN ORDINEA"
1420 PRINT
1430 PRINT USING 1440,E(1),E(2),E(3),E(4),E(5),E(6),E(7),E(8),E(9),
10),E(11),E(12),E(13),E(14),E(15),E(16)
1440 % #####
1450 PRINT
1460 REWIND
1470 LOAD "POLY3"

```

ANEXA 2

0010 REM %

- DOT Y 2

```
0020 REWIND
0030 REM PARTEA 2
0050 DIM D(15),F(10),G(20),L(13,G)
0060 FOR G=1TO 16
0070 IF A(2,G)=15THEN 100
0080 NEXT G
0090 GOTO 120

0100 A(1,G)=A(6,G)
0110 GOTO 80

0120 PRINT USING 130
0130 % -----
0140 PRINT USING 150
0150 %% TIMP *           IESIRI CE SE VOR TIPARI *
0160 PRINT USING 170
0170 %
0180 PRINT USING 190,C(1),C(2),C(3),C(4)
0190 %%          *   ##   *   ##   *   ##   *   ##   *
0200 PRINT USING 210
0210 %
0220 FOR P=1TO 16
0230 IF A(2,P)=1THEN 260
0240 NEXT P
0250 GOTO 280

0260 A(1,P)=A(6,P)
0270 GOTO 240.

0280 S=1
0290 I=1
: J=1
0300 FOR K=1TO N+1
0310 IF A(2,E(K))=1THEN 400
0320 IF A(2,E(K))=2THEN 490
0330 IF A(2,E(K))=15THEN 520
0340 REM
0350 REM
0360 X1=A(1,ABS(A(3,E(K))))*SIGN(A(3,E(K)))
0370 IF A(2,E(K))=17THEN 1890
0380 IF A(4,E(K))=0THEN 420
0390 X2=A(1,ABS(A(4,E(K))))*SIGN(A(4,E(K)))
0400 IF A(5,E(K))=0THEN 420
0410 X3=A(1,ABS(A(5,E(K))))*SIGN(A(5,E(K)))
0420 C1=A(6,E(K))
0430 C2=A(7,E(K))
0440 ON A(2,E(K))-2 GOSUB 260,390,520,550,1070,1120,1190,1260,1410,1440,1500
0450 A(3,E(K))=Y
0460 REM
0470 NEXT K
0480 GOTO 550

0490 D(1)=E(K)
0500 I=I+1
0510 GOTO 470
```

```
--0520  F(3)=E(K)
0530  J=J+1
: GOTO 470

0540  GOTO 450

--0550  IF T1=0 THEN 580
0560  IF T1=S*PB THEN 580
--0570  IF T1=1 THEN 630
0580  GOTO 670

--0590  PRINT USING 600,T1,A(1,C(1)),A(1,C(2)),A(1,C(3)),A(1,C(4))
--0600  %####.#### * #.#####+----#.,#####99999-#.,#####99999-#.,#####
0610  IF T1=0 THEN 570
0620  S=S+1
: GOTO 570

--0630  PRINT USING 640
--0640  % -----
0650  PRINT "SHIRGITAL SIMULATOR"
0660  REWIND
--0670  REM
0680  FOR V=1 TO 3-1
0690  IF A(4,F(V))=0 THEN 730
0700  IF A(5,F(V))=0 THEN 740
0710  L(1,V)=A(1,ABS(A(0,F(V))))*SGN(A(3,F(V)))+A(1,ABS(A(4,F(V))))
  GN(A(4,F(V)))+A(1,ABS(A(5,F(V))))*SGN(A(5,F(V)))
0720  GOTO 750

--0730  L(1,V)=A(1,ABS(A(0,F(V))))*SGN(A(3,F(V)))
: GOTO 750

--0740  L(1,V)=A(1,ABS(A(0,F(V))))*SGN(A(3,F(V)))+A(1,ABS(A(4,F(V))))
  GN(A(4,F(V)))
--0750  NEXT V
0760  GOSUB 1790
0770  IF W=0 THEN 720
0780  GOSUB 050
0790  T1=11+P
0800  IF D(1)=0 THEN 050
0810  FOR R=1 TO 1-1
0820  V=r1
0830  A(1,D(R))=V
0840  NEXT R
--0850  GOTO 290

--0860  REM SUB.1 "GAIN"
0870  Y=C1*X1
0880  RETURN

--0890  REM SUB.2 "SIN"
0900  V=SIN(X1)
0910  RETURN
```

```
-0920 REM SUB.3 "COS"
 0930 Y=COS(X1)
 0940 RETURN

-0950 REM SUB.4 "LAG"
 0960 Z=C1/20
 0970 Zi=Z1+P
 0980 IF Zi>=Z THEN 1010
 0990 Y=G(Z0)
1000 RETURN

-1010 FOR U=1TO 19
1020 G(21-U)=G(20-U)
1030 NEXT U
1040 G(1)=X1
1050 Z1=0
1060 GOTO 990

-1070 REM SUB.5 "DANG"
1080 IF X1>=0 THEN 1100
1090 Y=-C1
   : GOTO 1110

-1100 Y=C1
-1110 RETURN

-1120 REM SUB.6 "LIM"
1130 IF ABS(X1)<C1THEN 1160
1140 IF X1>C1THEN 1170
1150 Y=-C1
   : GOTO 1180

-1160 Y=X1
   : GOTO 1180

-1170 Y=C1
-1180 RETURN

-1190 REM SUB.7 "DEAD"
1200 IF ABS(X1)<C1THEN 1240
1210 IF X1>=C1 THEN 1230
1220 Y=-(C1-X1)
   : GOTO 1250

-1230 Y=C1-X1
   : GOTO 1250

-1240 Y=0
-1250 RETURN

-1260 REM SUB.8 "RLY"
1270 IF ABS(X1)<C1THEN 1300
1280 IF X1>=C1 THEN 1310
1290 Y=-C2
   : GOTO 1320
```

```
-1300  Y=0
      : GOTO 1320

-1310  Y=02
-1320  RETURN

-1330  REM SUB.0 "PLYN"
1340  IF ABS(X1)<C1THEN 1370
1350  IF X1>C1THEN 1380
1360  Y=-02
      : GOTO 1390

-1370  IF ABS(X2)-ABS(X1)>0 THEN 1360
-1380  Y=02
-1390  X2=X1
1400  RETURN

-1410  REM SUB.10 "MUL"
1420  Y=X1*X2
1430  RETURN

-1440  REM SUB.11 "DIV"
1450  IF X2=0 THEN 1480
1460  Y=X1/X2
-1470  RETURN.

-1480  Y=10E+10
1490  GOTO 1470

-1500  REM SUB.12 "SUM"
1510  Y=X1+X2+X3
1520  RETURN

1530  REM SUB.15 "INT"
1540  IF Z8=1 THEN 1570
1550  P=P2/S
1560  Z8=1
-1570  D8=1
-1580  Y1=A(1,D8)
1590  Y2=Y1+P/2*(B*L(1,D8)-L(2,D8))
1600  A(1,D8)=Y2
1610  L(2,D8)=L(1,D8)
1620  IF ABS(Y2)<=1 THEN 1640
1630  E=ABS((Y2-Y1)/Y1)
      : GOTO 1650

-1640  E=ABS(Y2-Y1)
-1650  IF E<=E2 THEN 1700
1660  P=P/2
1670  IF Z7=1 THEN 1700
1680  IF P<=P1 THEN 1760
1690  GOTO 1580

-1700  L(3,D8)=P
1710  FOR D2=1 TO D8
1720  GOTO 1750
```

```
1730 IF P<L(0,Q2) THEN 1670
1740 NEXT Q2
1750 RETURN

1760 PRINT "CONVERGENCE SLABE"
1770 P=P1
: Z7=1
1780 GOTO 1700

1790 REM SUB.16 "INT"
1800 P=/1
1810 FOR V=1 TO 3-1
1820 IF F(V)=0 THEN 1870
1830 Y1=A(1,F(V))
1840 Y2=Y1+P/2*(3*L(1,V)-L(2,V))
1850 L(2,V)=L(1,V)
1860 A(1,F(V))=Y2
1870 NEXT V
1880 RETURN

1890 Y=ABS(X1)
1900 GOTO 450
```

ANEXA 3

0001 REM %

- DUTY 3

```
0010 COM A(8,50),ZB,N,Q8
0020 COM B(20)
0030 DIM A1(5),B1(5),M1(4,4)
0040 W1(1,1)=0
    : W1(1,2)=0
    : W1(1,3)=0
    : W1(1,4)=0
0050 W1(2,1)=0
    : W1(2,2)=7
    : W1(2,3)=0
    : W1(2,4)=0
0060 W1(3,1)=0
    : W1(3,2)=9
    : W1(3,3)=10
    : W1(3,4)=0
0070 W1(4,1)=0
    : W1(4,2)=11
    : W1(4,3)=12
    : W1(4,4)=13
0080 PRINT HEX(0E),      "MEZUA FORMELOR SERIALE"
0090 PRINT
0100 J=1
0110 INPUT "GRADUL NUMI CIRULUI MI";MI
0120 INPUT "GRADUL NUMARATORULUI M2";ME
0130 FOR K1=1 TO M2+1
0140 INPUT "COEF.A1 IN ORDINE CRESCATOARE";A1(K1)
0150 NEXT K1
0160 FOR I1=1 TO MI+1
0170 INPUT "COEF.B1 IN ORDINE CRESCATOARE";B1(I1)
0180 NEXT I1
0190 PRINT "GRADUL NUMITORULUI";MI
0200 PRINT
0210 PRINT "GRADUL NUMATORULUI";ME
    : PRINT
0220 PRINT
0230 PRINT "COEF.A IN ORDINE CRESCATOARE SINT"
0240 PRINT USING 250
0250 %     A0      A1      A2      A3      A4
0260 PRINT USING 270,A1(1),A1(2),A1(3),A1(4),A1(5)
0270 % #####.##### #####.##### #####.##### #####
0280 PRINT
0290 PRINT "COEF.B IN ORDINE CRESCATOARE SINT"
0300 PRINT USING 310
0310 %     B0      B1      B2      B3      B4
0320 PRINT USING 330,B1(1),B1(2),B1(3),B1(4),B1(5)
0330 % #####.##### #####.##### #####.##### #####
0340 PRINT
0350 J=1
0360 FOR J1=0 TO MI-1
0370 I=10
0380 Y=B*MI+3+J1+G1
0390 X1=2+J1+G1
0400 X2=MI+3+J1+G1
0410 X3=W1(M1,J1+1)+G1
```

```
0420 A(1,Y)=Y
      : A(2,Y)=1
      : A(3,Y)=X1
      : A(4,Y)=X2
      : A(5,Y)=X3
0430 B(J)=Y
0440 J=J+1
0450 ZB=J
0460 NEXT J1
0470 I=14
0480 Y=3*M1+3+G1
0490 X1=M1+2+G1
0500 X2=3*M1+2+G1
0510 A(1,Y)=Y
      : A(2,Y)=1
      : A(3,Y)=X1
      : A(4,Y)=X2
0520 FOR G1=0 TO M1
0530 I=3
0540 Y=Z+G1+G1
0550 X1=I+N+GB
0560 P4=X1
0570 C1=A1(G1+1)/B1(M1+1)
0580 A(1,Y)=Y
      : A(2,Y)=1
      : A(3,Y)=X1
      : A(4,Y)=C1
0590 NEXT S1
0600 FOR R1=0 TO M1-1
0610 I=3
0620 Y=M1+3+R1+G1
0630 X1=(-(3*M1+3)+G1)
0640 C1=B1(R1+1)/B1(M1+1)
0650 A(1,Y)=Y
      : A(2,Y)=1
      : A(3,Y)=X1
      : A(4,Y)=C1
0660 NEXT R1
0670 G1=3*M1+3
0680 G2=4+G1+GB
0690 N=N+G1+1
0700 INPUT "SE CONTINUA OU M.F.S.: ",C$
0710 IF C$="0" THEN /70
0720 REWIND
0730 GB=GB+1
0740 PRINT USING 750,G2,GB,I4,GB,G2
0750 % I/O PI. H.D.T. H##(L) GINT X##=## SI Y##=##
0760 LOAD "DUTY1"
-0770 REWIND
0780 GB=GB+1
0790 PRINT USING 800,G2,GB,I4,GB,G2
-0800 % I/O PI. H.D.T. H##(L) GINT X##=## SI Y##=##
0810 LOAD "DUTY2"
```

ANEXA 4

DATE

METODA FORMELOR SERIALE

GRADUL NUMITORULUI 2

GRADUL NUMERATORULUI 0

COFF. A IN ORDINE CRESATORIE SINT

A0	A1	A2	A3	A4
-210	0. 0000	0. 0000	0. 0000	0. 0000

COFF. B IN ORDINE CRESATORIE SINT

B0	B1	B2	B3	B4
0. 0000	0. 0521	0. 0000	0. 0000	0. 0000

I/O PT. F. D. T. H-1657 SINT XTE=1 SI Y=1= 9...

PROGRAM DE STIMULARE

ELEMENT IESTIRE INTR. 1 INTR. 2 INTR. 3 CT. CORRECT 3 CT. CORRECT

CIN	1	0	0	0	25. 0000	0. 0000
CATN	1	1	0	0	0. 0000	0. 0000
CATH	1	1	0	0	0. 0000	0. 0000
CATH	1	1	0	0	0. 0000	0. 0000
CATH	1	1	0	0	0. 0000	0. 0000
CATH	1	1	0	0	0. 0000	0. 0000
TNT	1	1	0	0	0. 0000	0. 0000
ZET	0	1	0	0	0. 0000	0. 0000
SUM	0	1	0	0	0. 0000	0. 0000

ELEMENT REACTIE DE STIMULARE 00

VAL. DE INTEGRARE 1

VAL. DE TIPARIRE 1

SHARPER DE INTEGRARE 1. 00000000E-03

0 1 2 3 4 5 6 7 8 9 0 0 0 0 0 0

*	TIME	*	*	*	TESTI CE SE VOR TIPARI	*
*	*	1	0	7	*	*

STRUCTURAL SIMILARITY

ANEXA 5

0005 REM %

- PROGRAM A1

```
0010 REM PROGRAM DE FIXARE A TIMPULUI PANA LA VITEZA NOMINALA - DDE
A1 -
0020 REM AUTOR TRIF I.N. - VITEZA DE DOCTORAT
0030 DIM B$6
0035 REM INITIALIZARE CONTORUL CEAS
0040 TIME = "000000" PASSWORD "SYSTEM"
0050 REM STAREA INITIALA
0060 INPUT "NUMAR TACIURI DE ASTEPTARE INAINTE DE FORNIRE",N1
0065 I1=N1
0070 GOTO 200

0080 REM 200=DETECTARE IMPULSURI CEAS
0090 REM SFIRSBITUL STAREI INITIALE
0100 REM ****
0110 REM DETECTARE IMPULSURI CEAS
-0200 B$=TIME
0210 B$=B00LB ALL HEX (02)
0220 IF B$<>HEX (303030303030) THEN 200
-0225 B$=TIME
    : B$=B00LB ALL HEX (02)
0250 IF B$=HEX (303030303030) THEN 225
0260 REM => SALV LA ACTUALIZARE CONTOR CEAS
0270 GOTO 300

0280 REM 300=ACTUALIZARE STARE CEAS
0285 REM SFIRSBIT DETECTARE IMPULSURI
0290 REM ****
0295 REM ACTUALIZARE STARE CEAS
-0300 I1=I1-1
0310 IF I1>0 THEN 200
0320 REM 200=DETECTARE IMPULSURI CEAS
0330 GOTO 400

0340 REM 400=SFIRSBIT ACTUALIZARE CONTOR CEAS
-0400 END
```

ANEXA A

0001 REM %
0002 REM !PROGRAM TESTARE VITEZA-D065-A2-
0003 REM AUTOR TRIF I. N.-TEZA DOCTORAT
0010 REM ACEST PROGRAM EXECUTA TESTUL VITEZEI
0012 REM UTILIZATORUL VA VALUARCA INITIALA, LUNGIMEA TESTULUI (NR. IMPULSURI-I1), APoi VALUAREA INTERVALULUI
0013 REM DE TESTARE I2(IMPULSURI)
0014 REM LA SFIRBIT SE AFICHEAZA ULTIMA VALOARE A CONTORULUI TAHOMETRU
LUI
0015 DIM B\$6,M1\$6,M2\$6
0020 REM INITIALIZARE CONTOR CEAS
0030 TIME="000000"PASSWORD "SYSTEM"
0040 M1=1
: CONVERT M1 TO M1\$, (#####)
0045 M2=2
: CONVERT M2 TO M2\$, (#####)
0046 REM M1=MASCA PTR.TAHOMETRU , M2=MASCA PTR. CEAS
0047 REM *****
0048 REM STAREA INITIALA
0050 INPUT "LUNGIMEA TESTULUI (NR.IMPULSURI)",I1
0060 INPUT "LUNGIMEA INTERVALULUI (NR.IMPULSURI)",I2
0070 I2=L1
0080 N=0
0090 L=0
0100 OUT 17,2
0105 REM INITIALIZARE CIRCUIT ZAVDIRE TAHOMETRU
0110 GOTO 200

0120 REM 200=DETECTARI IMPULSURI CEAS
0130 REM SFIRSTITUL STARII INITIALE
0140 REM *****
0150 REM DETECTARE IMPULSURI CEAS
0200 B\$=TIME
0210 B\$=H00LB M2\$
0220 IF B\$<>HEX(303030303030)THEN 200
0230 B\$=TIME
0240 B\$=H00LB M2\$
0250 IF B\$=HEX(300030303030)THEN 230
0260 REM => SALT LA ACTUALIZARE CONTOR CEAS
0270 REM
0280 REM ACTUALIZARE CONTOR CEAS
0300 I1=I1-1
0310 I2=I2-1
0320 IF I2>0 THEN 325
0321 I2=L1
: GOTO 400

: REM STAREA SIMPLA
0325 IF I1>0 THEN 500
: REM STAREA VITEZEI
0340 GOTO 600

: REM SFIRBIT DE TIMP

```
0380 REM STAREA SIMPLA
-0400 L=N
0410 GOTO 500

0480 REM STAREA VITEZEI
-0500 B$=INP(16)
0510 B$=HDLB M1$
0520 IF B$=HEX(303030303030) THEN 200
0530 N=N+1
0535 OUT 17,0
0540 OUT 17,2
0550 REM INITIALIZARE TAHOMETRU
0560 GOTO 200

0570 REM STAREA OFIISIT DE TIMP
-0600 PRINT "ULTIMA VITEZA=";L
0610 INPUT "1-DACA SE REIA TECTUL",A
0620 IF A=1 THEN 50
0630 END
```

ANEXA 7

0005 REM %

- PROGRAM A3

```
0010 REM PROGRAM TEST MOTUR-DUUS-A3-
0020 REM AUTOR TRIF I. N.-TEZA DE DOCTORAT
0021 REM UTILIZATORUL DA= 1)FRECVENTA IMPULS CEAS(HZ),2)LUNGIME TEST(SEC),3)INTERVAL VTR VITEZA(SEC)
0022 REM 4)FRECVENTA IMPULS DE COMANDA MOTOR, 5)PROCENT UMLEERE A TRENULUI DE IMPULSURI
0023 REM MOTORUL PORNESC SI LUCREAZA CU VITEZA DETERMINATA DE IMPULS URILE TRENURILOR DE UNDA
0024 REM VITEZA ESTE SIMPLA, LA SFIRSIUL TESTULUI VITEZA ESTE AFISAT A 12 TURE ALE TAHOMETRULUI DE ROTATIE)
0025 REM SI MOTURUL SE OPreste
0026 DIM M1$6,M2$6,M3$6,M4$6,B$6
0027 T=-1
: REM VALOAREA PTR ADEVARATA
0031 F=0
: REM VALDAREA PTR FALSE
0032 M1=2
: CONVERT M1 TO M1$, (#####
0033 M2=1
: CONVERT M2 TO M2$, (#####
0034 M3=1
: CONVERT M3 TO M3$, (#####
0037 M4=2
: CONVERT M4 TO M4$, (#####
0039 TIME="000000" PADNDRD "SYTEM"
0040 REM STAREA INITIALA
0041 S=T
: REM STARI <===== ADEVARA
0050 OUT 17,3
0060 I=1
0065 REM I=RETINE STAREA CURENTA A MOTORULUI
0070 REM MOTOR OPRIET,FALSG=====INITIALIZARE TAHOMETRU
0075 REM CIRCUITUL DE ZAVORIRE STERS ARE VALOAREA ADEVARATA A IMPULSU RILOU JOASE
0076 IF S9=T THEN 100
0080 IF I2>0 THEN 500
: REM =>STAREA VITEZEI
0090 GOTO 400
:
: REM STAREA SIMPLA
0098 REM STAREA INITIALA
0100 INPUT "FRECVENTA CEAS(HZ)",F1
0110 INPUT "LUNGIME TEST(SEC)",S1
0120 INPUT "INTERVALUL VITEZEI(SEC)",S2
0130 INPUT "FRECVENTA IMPULS COMANDA(HZ)",F2
0140 INPUT "PROCENT UMLEERE",P
0150 REM CALCUL DURATA IMPULS CEAS(SEC)
0160 K1=S1*F1
0162 V1=D2*F1
0165 T1=F1/F2
0170 N1=(T1*P)/100
0171 REM
0175 I2=V1
0180 N=N1
0185 M=T1
0190 S9=F
```

```
0185 REM STAREA DE DETECTARE IMPULSURI CEAS
-0200 B$=TIME
0210 B$=B00LB M1$
0220 IF B$<>HEX(1000000000000000)THEN 200
-0230 B$=TIME
0240 B$=B00LB M2$
0250 IF B$=HEX(3000000000000000)THEN 230
0260 REM ACTUALIZARE CEAS
0300 K1=K1-1
0310 I2=I2-1
0320 N=N-1
0330 M=M-1
0340 IF K1<=0 THEN 600
    : REM SFARSIT DE TIMP
0360 IF N>0 THEN 700
    : REM MOTOR PORNIT
0375 IF M>0 THEN 50
    : REM MOTOR OPRIIT
0385 M=T1
0386 N=N1
0390 GOTD 700

0397 REM STAREA SIMPLA
0400 L4=L6
0410 L6=0
0420 I1=V1
0430 REM STAREA VITEZEI
0500 B$=INP(16)
0510 B$=B00LB M1$
0520 IF B$=ALL HEX(10) THEN 200
0525 L6=L6+1
0530 CONVERT I TO B$, {#####
    : B$=B00LB M3$
0540 OUT 17,B$
0545 CONVERT I TO B$, {#####
    : B$=B00LE M4$
0546 OUT 17,B$
0550 GOTD 200

0590 REM TIMP TERMINAT
0600 PRINI "ULTIMA VITEZA (KPM) ="; (L4*30)/52
0610 S9=T
0620 GOTD 50

0660 REM MOTUR PORNIT
-0700 OUT 17,2
0710 REM ROTIRE MOTUR
0720 I=0
0740 IF I2<=0 THEN 400
0760 GOTD 500

0770 END
```

*B4000 4010
4000 21 LXI H F000
4003 11 LXI D 0200
4006 7E MOV A, H
4007 12 STAX D
4008 23 INX H
4009 13 INX D
400A 7A MOV A, D
400B FE CPI 08
400D C2 JNZ F000
4010 C3 JMP 0380
*B213 21A
0213 E1 POP H
0214 F5 PUSH PSW
0215 AF XRA A
0216 D3 OUT FF
0218 F1 POP PSW
0219 FB EI
021A C9 RET
*B21B 22B
021B E5 PUSH H
021C 2A LHLD 0100
021F 23 INX H
0220 22 SHLD 0100
0223 C3 JMP 0213
*
*B226 23B
0226 E5 PUSH H
0227 2A LHLD 0100
022A 2B DCX H
022B 22 SHLD 0100
022E C3 JMP 0213
*
*B231 23B
0231 E5 PUSH H
0232 2A LHLD 0100
0235 23 INX H
0236 22 SHLD 0100
0239 C3 JMP 0213
*
*B23C 246
023C E5 PUSH H
023D 2A LHLD 0100
0240 2B DCX H
0241 22 SHLD 0100
0244 C3 JMP 0213
*
*B247 251
0247 E5 PUSH H
0248 2A LHLD 0110
024B 23 INX H
024C 22 SHLD 0110
024F C3 JMP 0213
H VI. 5
*B252 25C
0252 25C
0252 E5 PUSH H
0253 2A LHLD 0110
0256 2B DCX H
0257 22 SHLD 0110
025A C3 JMP 0213
*
*B25D 267
025D E5 PUSH H

8. PROGRAMU PRINCIPAL
SURSA

025E 2A LHLD 0118
0261 23 INX H
0262 22 SHLD 0118
0263 C3 JMP 0213
*
*0268 272
0269 E5 PUSH H
026A 2A LHLD 0118
026C 2B DCX H
026D 22 SHLD 0118
0270 C3 JMP 0213
*
*0273 287
0273 01 LXI B FFFF
0276 2A LHLD 0170
0279 09 DAD B
027A 0A JC 0282
027D 2A LHLD 0172
0280 09 DAD B
0281 00 RNC
0282 3A LDA 0168
0285 FE CPI F9
0287 C9 RET
*
*0288 2A4
0289 C5 PUSH B
028A 05 PUSH D
028A 4E MOV C, H
028B 23 INX H
028C 46 MOV B, H
028D 23 INX H
028E CD CALL 02A5
029171 MOV H, C
292 23 INX H
0293 70 MOV H, B
0294 23 INX H
0295 4B MOV C, E
0296 42 MOV B, D
297 CD CALL 02A5
0298 71 MOV H, C
029B 23 INX H
029C 70 MOV H, B
029D 23 INX H
029E 73 MOV H, E
029F 23 INX H
02A0 72 MOV H, D
02A1 23 INX H
02A2 D1 POP D
02A3 C1 POP B
02A4 C9 RET
*
*02A5 2B1
02A5 71 E MOV A, H
02A6 2F CMA
02A7 5F MOV E, A
02A8 23 INX H
02A9 7E MOV A, H
02AA 2F CMA
02AB 57 MOV D, A
02AC 2B DCX H
02AD 43 INX D
02AE EB XCHG
02AF 09 DAD B
02B0 EB XCHG
02B1 C9 RET
*

```

*B2B2 2B9
02B2 7D MOV A, L
02B3 2F CMA
02B4 6F MOV L, A
02B5 7C MOV A, H
02B6 2F CMA
02B7 67 MOV H, A
02B8 23 INX H
02B9 C9 RET
H VI*5
*
*B2BA 2D6
02BA 7C MOV A, H
02BB 07 RLC
02BC 08 RNC
02BD 0D CALL 02B2
02C0 E5 PUSH H
02C1 21 LXI H 01E6
02C4 34 INR H
02C5 E1 POP H
02C6 C9 RET
*
*
*B2C7 2D4
02C7 3E MWI A 68
02C9 32 STA 01E6
02C0 0D CALL 02BA
02CF EB XCHG
02D0 0D CALL 02BA
02D3 EB XCHG
02D4 C9 RET
*
*
*B2D5 2FE
02D5 91 LXI B 0000
02D8 C5 PUSH B
02D9 29 DAD H
02DA 79 MOV A, C
02DB 17 RAL
02DC 4F MOV C, A
02DD 78 MOV A, B
02DE 1F RAR
02DF 47 MOV B, A
02E0 C5 PUSH B
02E1 79 MOV A, C
02E2 93 SUB B
02E3 4F MOV C, A
02E4 78 MOV A, B
02E5 9A EBB D
02E6 47 MOV B, A
02E7 0A JC 02F0
02EA F1 POP PSW
02EB 3E MWI A 91
02ED C3 JMP 02F2
02ED C3 02F2
02F0 C1 POP B
02F1 AF XRA B
02F2 65 ORA L
02F3 6F MOV L, A
02F4 E3 XTHL
02F5 24 INR H
02F6 7C MOV A, H
02F7 E3 XTHL
02F8 FE CPI 10
02FA C2 ZNZ 02D9
02FD F1 POP PSW
02FE C9 RET

```

*
*8300 307
0300 E5 PUSH H
0301 31 LXI H 0168
0304 34 INR H
0305 C3 JMP 0213

*
*8308 316
0308 CD CALL 0207
0309 CD CALL 0205
030E 7C MOV A, H
030F 67 RLC
0310 D8 RC

*
0314 3A LDA 0166
0314 1F RAR
0315 D6 RNC
0316 CD CALL 0262
0319 AF XRA A
031A C9 RET

*
*831B 337
031B 31 LXI H 0000
031E E5 PUSH H
031F 29 DAD H
0320 7B MOV A, E
0321 17 RAL
0322 5F MOV E, A
0323 7A MOV A, D
0324 17 RAL
0325 57 MOV D, A
0326 D2 INC 032E
0329 09 DAD B
032A D2 INC 032E
032D 13 INX D
032E F1 POP PSW
032F 3C INR A
0330 E5 PUSH PSW
0331 FE CPI 16
0332 C2 JNZ 031F
0336 F1 POP PSW
0337 C9 RET

*8338 34F
0338 68 MOV H, B
0339 69 MOV L, C
033A CD CALL 0207
033D 44 MOV B, H
033E 40 MOV C, L
033F CD CALL 031B
0342 7B MOV A, D
0343 A7 ANA A
0344 C6 RNC
0345 7B MOV A, E
0346 A7 ANA A
0347 C6 RNC
0348 7C MOV A, H
0349 E6 ANI 80
034B C6 RNC
034C C3 JMP 0311
034F 66 NOP

*8350 366
0256 F5 PUSH PSW
0251 CD CALL 0309
0254 E5 PUSH H
0255 31 LXI H 0168

0358 CD CALL 0288
 0359 CD CALL 0288
 035E CD CALL 0288
 0361 CD CALL 0288
 0364 E1 POP H
 0365 F1 POP PSM
 0366 C9 RET
 *
 *0368 37F
 0369 1B 02 26 02 34 02 3C 61
 0370 47 02 52 02 50 02 68 02 43 02 43 02
 *
 *0380 3FF
 0381 01 LXI B 0000
 0383 21 LXI H 0020
 0386 11 LXI D 0360
 0389 3E MVI A C3
 038A 77 MOV B,A
 038C 23 INX H
 038E 1A LDAX D
 038F 77 MOV B,A
 0390 13 INX D
 0392 23 INX H
 0394 1A LDAX D
 0395 77 MOV B,A
 0396 13 INX D
 0397 09 DAD B
 0398 7D MOV A,L
 039E FE CPI 00
 039F C2 JNZ 0389
 03A0 0E MVI C 26
 03A1 CD CALL FC07
 03A2 CD CALL F846
 03A3 3E MVI A B0
 03A5 D3 OUT FE
 03A7 AF XRA A
 03A8 D3 OUT FF
 03A9 FB EI
 03AB 21 LXI H 0120
 03AE AF XRA A
 03AF 77 MOV B,A
 03B0 20 INP L
 03B1 7D MOV A,L
 03B2 FE CPI 00
 03B4 C2 JNZ 03AE
 03B7 21 LXI H 3434
 03B8 22 SHLD C026
 03B9 21 LXI H 0000
 03C0 22 SHLD C020
 03C3 21 LXI H 3232
 03C6 22 SHLD C006
 03C9 22 SHLD C016
 03CC 21 LXI H B2B2
 03CF 22 SHLD C006
 03D2 21 LXI H 7272
 03D5 22 SHLD C00E
 03D8 21 LXI H 0400
 03D9 22 SHLD C000
 03DE 22 SHLD C004
 03E1 22 SHLD C00A
 03E4 22 SHLD C010
 03E7 21 LXI H FFFF
 03EA 22 SHLD C028
 03ED CD CALL FC02
 03F0 FE CPI 49
 03F2 C9 JZ 0400

03F5 FE CPI 53
03F7 CA JZ 0786
03FA FE CPI 40
03FC C2 JNZ 07B7
03FF C7 RST 0

*
*8460 492
0400 CD CALL F846
0403 3A LDA 0120
0406 E6 ANI FC
0408 9F RRC
0409 9F RRC
040A CD CALL F90F
040D CD CALL 0603
0410 80 DCR C
0411 CA JZ 0421
0414 3A LDA 0120
0417 E6 ANI 03
0418 97 RLC
0419 47 MOV B,A
041C 97 RLC
041D 80 ORA B
041E 32 STA 0120
0421 CD CALL F927
0424 3A LDA 0120
0427 E6 ANI 03
0429 CD CALL F90F
042C CD CALL 0603
042F 80 DCR C
0430 CA JZ 0440
0433 3A LDA 0120
0436 E6 ANI FC
0438 47 MOV B,A
0439 70 MOV A,L
043A E6 ANI 03
043C 80 ORA B
043D 32 STA 0120
0440 CD CALL F927
0443 9E MWI C 53
0445 CD CALL FC87
0448 9E MWI C 3A
044B CD CALL FC87
044D CD CALL 05EE
0450 5E MOV E,H
0451 23 INX H
0452 5E MOV D,M
0453 EB XCHG
0454 CD CALL F84F
0457 9E MWI C 29
0459 CD CALL FC87
045C CD CALL F802
045F C2 JNZ 0468
0462 D8 JC 03ED
0465 C3 JMP 0493
0468 FE CPI 55
046A CA JZ 0616
046D FE CPI 44
046F CA JZ 0636
0472 FE CPI 53
0474 CA JZ 0680
0477 FE CPI 49
0479 CA JZ 06C5
047C FE CPI 56
047E CA JZ 06BC
0481 47 MOV B,A
0482 CD CALL F7FB

-190-

```

6485  DA  JC  645C
6488  78  MOV A,B
6489  CD  CALL 65D8
648C  EB  XCHG
648D  CD  CALL 65EE
6490  73  MOV H,E
6491  23  INX H
6492  72  MOV H,D
*1493  4D7
6493  CD  CALL F927
6496  6E  MWI C 56
6498  CD  CALL FCA7
649B  6E  MWI C 31
649D  CD  CALL FCA7
649E  CD  CALL F927
64A3  CD  CALI I 65EF
64A6  23  INX H
64A7  23  INX H
64A8  CD  CALL 64EB
64A9  6E  MWI C 32
64B0  CD  CALL FCA7
64B2  CD  CALL F927
64B3  CD  CALL 64EB
64B6  6E  MWI C 41
64B8  CD  CALL FCA7
64B9  6E  MWI C 31
64B0  CD  CALL FCA7
64B6  CD  CALL F927
64C3  CD  CALL 64D8
64C6  6E  MWI C 32
64C8  CD  CALL FCA7
64CB  CD  CALL F927
64CE  CD  CALL 64D8
64D1  21  LXI H 6120
64D4  34  INR H
64D5  C3  JMP 6466
*
*
*
*84D8  4EA
64D8  7E  MOV A,H
64D9  CD  CALL F96F
64DC  EB  XCHG
64DD  CD  CALL 6663
64E0  EB  XCHG
64E1  60  DCR C
64E2  CA  JZ 64E6
64E5  73  MOV H,E
64E6  23  INX H
64E7  CD  CALL F927
64E8  C9  RET*64EB  4FF
64EB  6E  MOV E,H
64EC  23  INX H
64ED  K1  MOV D,H
64EE  EB  XCHG
64EF  CD  CALL 6666
64F2  EB  XCHG
64F3  60  DCR C
64F4  CA  JZ 64FB
64F7  2B  DDX H
64F8  73  MOV H,E
64F9  23  INX H
64FA  72  MOV H,D
64FB  23  INX H
64FC  CD  CALL F927
64FF  C9  RET

```

*8590 046
0500 7D MOV A, L
0501 93 SUB E
0502 6F MOV L, A
0503 2C MOV A, H
0504 94 SBB D
0505 67 MOV H, A
0506 C3 RET
*8599 57B
0509 CD CALL 05EE
0510 45 MOV B, L
0510 11 LXI D 0146
0510 CD CALL 05E1
0513 26 MWI H 01
0515 78 MOV A, B
0516 E6 ANI 18
0518 6F MOV L, A
0519 CD CALL 05E1
051C 2A LHLD 0148
051F CD CALL 02B2
0522 EB XCHG
0523 2A LHLD 0148
0526 19 DAD D
0527 CD CALL 02B8
0528 22 SHLD 0152
0529 EB XCHG
052E 2A LHLD 0160
0531 19 DAD D
0532 D2 JNC 0501
0535 2A LHLD 0144
0538 EB XCHG
0539 2A LHLD 014C
053C 19 DAD D
053D CD CALL 02B8
0540 AF XRA A
0541 7C MOV A, H
0542 1F RAR
0543 47 MOV B, A
0544 7D MOV A, L
0545 1F RAR
0546 4F MOV C, A
0547 2A LHLD 014C
0548 CD CALL 02B2
054D 19 DAD D
054E CD CALL 02B8
0551 EB XCHG
0552 CD CALL 0218
0555 22 SHLD 0154
0558 5F MOV E, A
055C 15 MWI D 00
055E CD CALL 02D5
0561 EB XCHG
0562 2A LHLD 0152
0565 CD CALL 0500
0568 07 RLC
0569 D2 JNC 057E
056C 2A LHLD 0152
056F EB XCHG
0570 2A LHLD 0154
0573 CD CALL 02D5
0576 44 MOV B, H
0577 40 MOV C, L
0578 2A LHLD 0144
057B C3 JMP 0588
. 857E 5DF
057E 2A LHLD 0146

0581 26 MWI H 00
0583 44 MOV B, B
0584 4D MOV C, L
0585 2A LHLD 0142
0588 EB XCHG
0589 2A LHLD 014C
058C CD CALL 0590
058F 07 RLC
0590 DA JC 05A8
0593 CD CALL 02BA
0596 EB XCHG
0597 2A LHLD 0160
0598 49 DAD D
059B DA JC 05A4
05A0 01 LXI B 0000
05A1 C3 JMP 05AB
05A4 78 MOV A,B
05A5 2F CMR
05A6 47 MOV B,A
05A7 79 MOV A,C
05A8 2F CMR
05A9 4F MOV C,A
05AA 03 INX B
05AB 3A LDA 0164
05AE 5F MOV E,A
05AF 46 MWI D 00
05B1 CD CALL 0338
05B4 E5 PUSH H
05B5 3A LDA 0162
05B8 4F MOV C,A
05B9 06 MWI B 00
05B8 2A LHLD 014C
05BE EB XCHG
05BF CD CALL 0338
05C2 EB XCHG
05C3 E1 POP H
05C4 49 DAD D
05C5 41 LXI D 0020
05C8 CD CALL 0308
05CB 01 LXI B 0400
05CE 09 DAD B
05CF C9 RET
05D0 00 NOP
05D1 3A LDA 0120
05D4 E6 ANI 03
05D6 C6 ADD 70
05D8 5F MOV L,A
05D9 26 MWI H 01
05D8 36 MUL H 00
. 05E1 5ED
05E1 3E MWI A 00
05E3 F5 PUSH PSW
05E4 7E MOV A,H
05E5 12 STAX D
05E6 23 INX H
05E7 13 INX D
05E8 F1 POP PSW
05E9 30 DCR A
05EA C2 JNZ 05E3
05EB C9 RET
. 05EE 5F?
05EE 3A LDA 0120
05F1 5F MOV L,A
05F2 26 MWI H 01
05F4 29 DAD H
05F5 29 DAD H

05F6 29 DAD H
05F7 C9 RET
.B5F8 5FF
05F8 01 LXI B 0000
05FB C3 JMP 05A4
05FE 00 NOP
05FF 00 NOP
.B600 502
0600 CD CALL F91F

.B603 70607
0603 DE MWI C 2D
0605 CD CALL FC07

.B608 60A
0608 CD CALL F802

.B60B 615
060B 9E MWI C 01
060D C8 R2
060E 21 LXI H 0000
0611 CD CALL F818
0614 E1 POP H
0615 C9 RET

.B616 633
0616 3A LDA 0124
0618 A7 ANA A
061A C2 JNZ 0622
061D 3E MWI A 01
061F C3 JMP 0653
0622 F2 JP 0620
0625 0F RRC
0626 DA JC 0653
0629 AF XRA A
062A C3 JMP 0650
062D 07 RLC
062E A7 ANA A
062F F2 JP 0653
.B636 674
0636 3A LDA 0124
0638 A7 ANA A
063A C2 JNZ0642
063D 3E MWI A FE
063F C3 JMP 0653
0642 FA JM 064D
0645 0F RRC
0646 D2 JNC 0653
0649 AF XRA A
064A C3 JMP 0653
064D 0M RLC
064E A7 ANA A
064F FA F
064F FA JM 0653
0652 0F RRC
0653 32 STA 0124
0656 11 LXI D 0000
0659 A7 ANA A
065A F2 JP 0660
065D 11 LXI D FC07
0660 07 RLC
0661 07 RLC
0662 07 RLC
0663 E5 PUSH PSW

0664 E6 ANI 03
0666 B2 ORA D
0667 57 MOV D, A
0668 F1 POP PSM
0669 E6 ANI F8
066A B3 ORA E
066C 5F MOV E, A
066D Z1 LXI H 0400
0670 19 DAD D
0671 CD CALL 0677
0674 C3 JMP 045C
.B677 697
0677 3A LDA 0120
067A E6 ANI 03
067C 30 DCR A
067D CA JZ 068C
0680 3D DCR A
0681 CA JZ 0690
0684 3D DCR A
0685 CA JZ 0694
0688 22 SHLD C000
068B C9 RET
068C 22 SHLD C004
068F C9 RET
0690 22 SHLD C008
0693 C9 RET
0694 22 SHLD C010
0697 C9 RET
.B698 6AC
0698 3A LDA 0120
069B E6 ANI 03
069D 07 RLC
069E 07 RLC
069F 07 RLC
06A0 5F MOV L, A
06A1 26 MVI H 01
06A3 5E MOV E, M
06A4 23 INX H
06A5 56 MOV D, H
06A6 EB XCHG
06A7 E5 PUSH H
06A8 CD CALL F91F
06AB E1 POP H
06AC C9 RET
.B6AD 6B9
06AD Z1 LXI H 0400
06B0 CD CALL 0677
06B3 CD CALL F927
06B6 CD CALL 0698
06B9 C3 JMP 045C
.B6BC 6C2
06BC CD CALL F927
06BF CD CALL 0698
06C2 C3 JMP 045C
.B6C5 6D5
06C5 3A LDA 0120
06C8 E6 ANI 03
06CA 07 RLC
06CB 07 RLC
06CC 07 RLC
06CD 5F MOV L, A
06CE 26 MVI H 01
06D0 36 MVI H 00
06D2 23 INX H
06D3 36 MVI H 00
06D5 C3 JMP 045C

. B608 60C
0608 0E MWI C 01
060A C3 JMP 060E
. B60D 60C
060D 32 STA 0164
0609 CD CALL F846
0603 C3 JMP 03ED
0606 D8 IN 00
0608 FE CPI 48
060A CA JZ 0387
B60D 6FF
060D FE CPI 43
06EF CC CZ 076E
06F2 C3 JMP 072F
06F5 00 NOP
06F6 00 NOP
06F7 00 NOP
06F8 00 NOP
06F9 00 NOP
06FA 00 NOP
06FB 00 NOP
06FC 00 NOP
06FD 00 NOP
06FE 00 NOP

-196-

9. PROGRAMUL PRINCIPAL

OBJECT

. D200 2FF
0200 21 00 F0 11 00 02 7E 12 23 13 7A FE
0210 C3 00 03 E1 F5 AF 03 FF F1 FB C9 E5
0220 22 00 01 C3 13 02 E5 2A 00 01 2B 22
0230 02 E5 2A 00 01 23 22 00 01 C3 13 02
0240 2B 22 00 01 C3 13 02 E5 2A 10 01 23
0250 13 02 E5 2A 10 01 28 22 10 01 C3 13
0260 01 23 22 18 01 C3 13 02 E5 2A 18 01
0270 C3 13 02 01 FF FF 2A 70 01 00 0A 82
0280 09 00 3A 68 01 FE F9 C9 05 05 4E 23
0290 02 71 23 70 23 48 42 CD A5 02 71 23
02A0 72 23 01 C1 C9 7E 2F 5F 23 7E 2F 57
02B0 EB C9 70 2F 6F 70 2F 67 23 C9 70 07
02C0 E5 21 66 01 34 E1 C9 3E 00 32 66 01
02D0 CD 4A 02 EB C9 01 00 00 C5 29 79 17
02E0 C5 79 93 4F 78 98 47 00 FG 02 F1 3E
02F0 C1 AF 85 6F E3 24 70 E3 FE 10 C2 D9
. D300 3FF
0300 E5 21 68 01 34 C3 13 02 CD C7 02 CD
0310 D8 3A 66 01 1F F0 CD 82 02 AF C9 24
0320 7B 17 5F 7A 17 57 02 2E 03 09 02 2E
0330 F5 FE 16 C2 1F 03 F1 C9 68 69 CD C7
0340 1B 03 7A A7 C8 7B A7 09 70 E5 80 C0
0350 F5 CD 00 03 E5 21 00 01 CD 88 02 CD
0360 02 CD 88 02 E1 F1 C9 00 1B 02 26 02
0370 47 02 52 02 50 02 68 02 13 02 13 02
0380 01 06 00 21 20 00 11 68 03 3E C3 77
0390 23 1A 77 13 00 70 FE 80 C2 89 03 0E
03A0 CD 46 FB 3E A0 03 FF FB 21 20 D1 AF
03B0 20 70 FE 80 C2 AF 03 21 34 34 22 26
03C0 22 20 C6 21 32 32 22 06 C9 22 16 C6
03D0 06 C9 21 72 72 22 0E C9 21 00 04 22
03E0 CD 22 0A C0 22 10 C0 21 FF FF 22 28
03F0 FE 49 CA 00 04 FE 53 CA 00 07 FE 40
. D400 4FF
0400 CD 46 F8 3A 20 01 E6 FC 0F 0F CD 0F
0410 00 CA 21 04 3A 20 01 E6 03 47 7D 07
0420 01 CD 27 F9 3A 20 01 E6 03 CD 0F F9
0430 CA 49 04 3A 20 01 E6 FC 47 7D E6 03
0440 CD 27 F9 0E 53 CD A7 FC 0E 3A CD A7
0450 5E 23 56 EB CD 1F F9 0E 20 CD 1A 1C FC
0459 58 94 DALED_03 13 97 04 FF 55 CA 16 ..

0470 36 96 01 77 01 00 00 00 00 00 00 00 00 00 00 00
0480 00 47 CD F9 03 0A 00 00 00 00 00 00 00 00 00 00 00
0490 73 23 72 CD 27 F9 0E 00 00 00 00 00 00 00 00 00 00
04A0 CD 27 F9 CD EE 00 23 23 CD EB 04 0E
04B0 CD 27 F9 CD EB 04 0E 41 CD A7 FC 0E
04C0 CD 27 F9 CD EB 04 0E 32 CD A7 FC CD
04D0 04 21 20 01 34 03 00 00 00 00 00 00 00 00 00 00 00
04E0 EB 00 CA E6 04 73 23 CD 27 F9 CA 0E
04F0 00 06 EB 00 CA FB 04 28 73 23 72 23
. 0500 5FF
0500 70 93 6F 70 98 67 09 00 00 00 00 00 00 00 00 00 00
0510 CD E1 05 26 01 78 0E 00 00 00 00 00 00 00 00 00 00
0520 B2 02 EB 2A 40 01 19 CD 0A 02 22 52
0530 01 19 D2 01 2A 44 01 EB 2A 40 01 19
0540 AF 70 1F 47 70 1F 4F 2A 40 01 CD B2
0550 02 EB CD 1B 03 22 54 01 3A 47 01 5F
0560 02 EB 2A 52 01 CD 00 00 00 00 00 00 00 00 00 00 00
0570 2A 54 01 CD 05 02 44 40 0A 44 01 C3
0580 01 26 00 44 40 2A 42 01 EB 2A 40 01
0590 DA AB 05 CD 0A 02 EB 2A 59 01 19 00
05A0 00 C3 AB 05 78 2F 47 79 2F 4F 63 39
05B0 00 CD 38 03 E5 3A 62 01 4F 05 00 00 2A
05C0 38 63 EB E1 19 11 26 00 CD 00 03 01
05D0 00 3A 26 01 EB 03 05 79 6F 26 01 36
05E0 09 2E 00 F5 7E 12 23 13 F1 20 C2 E3
05F0 01 5F 26 01 29 29 29 09 01 00 00 00 C3
. 0600 6FF
0600 CD 1F F9 0E 20 CD 07 FC CD 02 F8 0E
0610 00 CD 18 F8 E1 09 3A 24 01 A7 C2 06
0620 53 06 F2 20 00 0F 08 03 06 AF C3 53
0630 53 06 3F C3 03 06 30 24 01 A7 C2 42
0640 53 06 FA 40 06 0F 03 03 06 AF C3 53
0650 53 06 3F 32 24 01 11 00 00 A7 F2 56
0660 07 07 07 F9 05 03 03 07 F1 05 F8 03
0670 19 CD 77 06 C3 5C 04 3A 26 01 F6 03
0680 3D CA 00 00 3D CA 94 06 22 00 C6 C9
0690 22 0A CA C9 22 16 00 00 3A 26 01 E6
06A0 6F 26 01 5E 23 06 EB 05 CD 1F F9 E1
06B0 CD 77 06 CD 27 F9 CD 98 06 C3 5C 04
06C0 00 06 C3 BC 04 3A 26 01 E6 03 07 07
06D0 36 00 23 36 00 C3 5C 04 0E 01 C3 0E
06E0 CD 46 F8 C3 E0 03 08 00 FE 48 CA B7
06F0 5E 07 C3 2F 07 00 00 00 00 00 00 00
. 0700 7FF
0700 3A 26 01 0F 0F E6 3F 5F CD 0F F9 CD
0710 00 0A ED 03 70 05 3F 07 07 32 26 01
0720 01 01 22 70 01 22 72 01 08 01 E6 01
0730 73 02 0A 4E 07 3A 26 01 06 04 05 FC
0740 3F CD 0F F9 CD 46 F8 0F 32 08 01 C3
0750 05 CD 77 06 3A 26 01 47 3C 06 03 4F
0760 32 20 01 C3 28 07 00 00 00 00 00 00
0770 01 E5 2A 1C 01 E5 2A 08 01 05 24 46
0780 01 E5 2A 10 01 E5 2A 06 01 05 24 01
0790 01 E5 2A 06 01 E5 2A 04 01 05 2A 00
07A0 CD 46 F8 1A 03 E1 CD 4F F8 CD 27 F9
07B0 15 C2 A6 07 C3 46 F8 CD 46 F8 0E 05
07C0 50 01 CD B2 02 CD 00 00 00 00 CA 02 07
07D0 50 01 0E 01 CD 07 FC 3A 62 01 CD 0F
07E0 00 CA E8 07 70 32 62 01 0E 02 CD A7
07F0 CD 0F F9 CD 03 06 00 CA E9 06 70 C3